

สำนักหอสมุดกลาง พระจอมเกล้าลาดกระบัง

ประสิทธิภาพของการจ่ายไฟในระบบพลังงานแสงอาทิตย์

Efficiency of Power Supply in Solar System

โดย

นายเจนรบ หนะศรีโยธิน
นายไครรัตน์ รุจิฉินวงศ์

อาจารย์ที่ปรึกษา

รศ.ดร. วรพงศ์ คังศรีรัตน์

เลขหมู่.....
เลขทะเบียน **62688**
วัน,เดือน,ปี **21 ส.ค. 2549**

b. 1962549
i.

ปริญญาบัตรนี้เป็นส่วนหนึ่งของการศึกษาตามหลักสูตรปริญญาวิศวกรรมศาสตรบัณฑิต

สาขาวิชาวิศวกรรมระบบควบคุม

สถาบันเทคโนโลยีพระจอมเกล้าเจ้าคุณทหารลาดกระบัง

ปีการศึกษา 2548

เอกสารนี้เป็นเอกสารที่สงวนไว้สำหรับการใช้งานเพื่อการศึกษาเท่านั้น ไม่อนุญาตให้นำไปใช้ประโยชน์ด้านการค้า
ไม่ว่ากรณีใดๆ ทั้งสิ้น อีกทั้งห้ามมิให้ตัดแปลงเนื้อหา และต้องอ้างอิงถึงเจ้าของเอกสารทุกครั้งที่มีการนำไปใช้

ปริญญาบัตร ปีการศึกษา 2548

สาขาวิศวกรรมระบบควบคุม

คณะวิศวกรรมศาสตร์ สถาบันเทคโนโลยีพระจอมเกล้าเจ้าคุณทหารลาดกระบัง

เรื่อง ประสิทธิภาพการจ่ายพลังงานในระบบพลังงานแสงอาทิตย์
(Efficiency of Power Supply in Solar System)

ผู้จัดทำ

- | | | |
|----------------|-------------|----------|
| 1. นายเจนรบ | ชนะศรีโยริน | 45010140 |
| 2. นายไครรัตน์ | รุจิรินทร์ | 45010285 |



เอกสารนี้เป็นเอกสารที่สงวนไว้สำหรับการใช้งานเพื่อการศึกษาเท่านั้น ไม่อนุญาตให้นำไปใช้ประโยชน์ด้านการค้า
ไม่ว่ากรณีใดๆ ทั้งสิ้น อีกทั้งห้ามมิให้คัดแปลงเนื้อหา และต้องอ้างอิงถึงเจ้าของเอกสารทุกครั้งที่มีการนำไปใช้

ประสิทธิภาพของการจ่ายไฟในระบบพลังงานแสงอาทิตย์

นายเจนรบ ชนะศรีโยธิน 45010140

นายไตรรัตน์ รุจิฉินวงศ์ 45010285

รศ.ดร. วรพงษ์ ตั้งศรีรัตน์ อาจารย์ที่ปรึกษา

ปีการศึกษา 2548

บทคัดย่อ

โครงการนี้เป็นการศึกษาระบบการจ่ายไฟฟ้าจากพลังงานแสงอาทิตย์แบบตามลำพัง ซึ่งใช้แผงเซลล์แสงอาทิตย์ขนาด 80 วัตต์ 1 แผง โดยเปลี่ยนพลังงานแสงอาทิตย์เป็นไฟฟ้ากระแสตรงผ่านชุดอ็คประจุไฟฟ้าโดยเก็บสะสมพลังงานไว้ในแบตเตอรี่ในตอนกลางวันแล้วในตอนกลางคืนจึงนำพลังงานจากแบตเตอรี่ไปส่งผ่านชุดป้องกันแบตเตอรี่ซึ่งทำหน้าที่ตัดการทำงานเมื่อระดับแรงดันของแบตเตอรี่ลดต่ำกว่าที่กำหนดแล้วจึงส่งพลังงานผ่านวงจรอินเวอร์เตอร์ จากนั้นจึงทำการยกระดับแรงดันโดยใช้หม้อแปลงไฟฟ้า และจะทำการควบคุมแรงดันเพื่อนำไปจ่ายโหลดไฟฟ้ากระแสสลับขนาด 1 เฟส 50 เฮิร์ต 250 โวลต์ พิกัดสูงสุด 50 วัตต์

เอกสารนี้เป็นเอกสารที่สงวนไว้สำหรับการใช้งานเพื่อการศึกษาเท่านั้น ไม่อนุญาตให้นำไปใช้ประโยชน์ด้านการค้า ไม่ว่าจะกรณีใดๆ ทั้งสิ้น อีกทั้งห้ามมิให้ตัดแปลงเนื้อหา และต้องอ้างอิงถึงเจ้าของเอกสารทุกครั้งที่มีการนำไปใช้

(Efficiency of Power Supply in Solar System)

Mr. Janerop Chanasriyothin 45010140

Mr. Trirat Rujichinnawong 45010285

Assoc. Prof. Worramong Tangsirrat
Project Advisor

Academic year 2005

Abstract

This project is based on the principle of a photovoltaic stand alone system. The 80-watt solar cell is used to produce the electrical energy. This electrical energy from the solar cell will then be charged to the battery in DC voltage. The protection circuit has included in the battery for turn off the circuit when the DC voltage level below the threshold point. Form the battery, the DC output voltage will convert to the AC voltage by the inverter. By using the transformer, the 50 Hz 220 V AC output voltage can be supplied to an external load.

เอกสารนี้เป็นเอกสารที่สงวนไว้สำหรับการใช้งานเพื่อการศึกษาเท่านั้น ไม่อนุญาตให้นำไปใช้ประโยชน์ด้านการค้า
ไม่ว่ากรณีใดๆ ทั้งสิ้น อีกทั้งห้ามมิให้ตัดแปลงเนื้อหา และต้องอ้างอิงถึงเจ้าของเอกสารทุกครั้งที่มีการนำไปใช้

กิตติกรรมประกาศ

ในการทำโครงการครั้งนี้ได้รับความช่วยเหลือและแนะนำมากมายจากหลายๆท่าน ขอขอบพระคุณ อาจารย์ที่ปรึกษาโครงการ รวมทั้ง รศ.ดร.สมเกียรติ สุภเดช และเพื่อนๆ พี่ๆ ที่ให้คำปรึกษาอย่างดียิ่งมาโดยตลอด

นายเจนรบ ชนะศรีโยธิน

นายไตรรัตน์ รุจิชินวงศ์



เอกสารนี้เป็นเอกสารที่สงวนไว้สำหรับการใช้งานเพื่อการศึกษาเท่านั้น ไม่อนุญาตให้นำไปใช้ประโยชน์ด้านการค้า ไม่ว่าจะกรณีใดๆ ทั้งสิ้น อีกทั้งห้ามมิให้ตัดแปลงเนื้อหา และต้องอ้างอิงถึงเจ้าของเอกสารทุกครั้งที่มีการนำไปใช้

สารบัญ

	หน้า
บทคัดย่อภาษาไทย	i
บทคัดย่อภาษาอังกฤษ (Abstract)	ii
กิตติกรรมประกาศ	iii
สารบัญ	iv
สารบัญรูปภาพ	vi
สารบัญตาราง	ix
บทที่ 1 บทนำ	1
1.1 จุดประสงค์ของโครงการ	1
1.2 หลักการเบื้องต้นของระบบจ่ายไฟฟ้าจากพลังงานแสงอาทิตย์	2
1.3 วัตถุประสงค์ในการนำไปใช้งาน	2
1.4 ประโยชน์ที่คาดว่าจะได้รับ	2
1.5 ขอบเขต	2
บทที่ 2 โครงสร้างระบบไฟฟ้าพลังงานแสงอาทิตย์และความรู้เบื้องต้นเกี่ยวกับเซลล์	3
2.1 หลักการทำงาน	3
2.2 บล็อกไดอะแกรมการทำงาน	3
2.3 โครงสร้างของเซลล์แสงอาทิตย์	4
2.4 ประโยชน์ของเซลล์แสงอาทิตย์	4
2.5 ลักษณะสมบัติและตัวแปรที่สำคัญของเซลล์แสงอาทิตย์	5
2.6 ตัวแปรที่สำคัญของแผงเซลล์แสงอาทิตย์	6
2.7 ผลกระทบของอุณหภูมิ	8
2.8 ฟิลแฟคเตอร์	9
2.9 บายพาสไดโอดและบล็อกกิ้งไดโอด	9
2.10 ปรากฏการณ์ที่รอยต่อพี-เอ็นในภาวะสมดุลย์	12
2.11 รอยต่อพี-เอ็นในขณะที่ได้รับแรงดันไบอัสตรง	16
2.12 รอยต่อพี-เอ็นในขณะที่ได้รับแรงดันไบอัสย้อนกลับ	17
2.13 ลักษณะความสัมพันธ์ระหว่างกระแสและแรงดันของรอยต่อพี-เอ็น	19

เอกสารนี้เป็นเอกสารที่สงวนไว้สำหรับการใช้งานเพื่อการศึกษาเท่านั้น ไม่อนุญาตให้นำไปใช้ประโยชน์ด้านการค้า ไม่ว่าจะกรณีใดๆ ทั้งสิ้น อีกทั้งห้ามมิให้คัดแปลงเนื้อหา และต้องอ้างอิงถึงเจ้าของเอกสารทุกครั้งที่มีการนำไปใช้

2.14	พารามิเตอร์ของเซลล์แสงอาทิตย์แบบรอยต่อพี-เอ็น	22
2.15	โครงสร้างของเซลล์แสงอาทิตย์แบบรอยต่อพี-เอ็นและวงจรมบูรณ	25
2.16	ผลของความต้านทานอนุกรมและความต้านทานขอนานของเซลล์แสงอาทิตย์	26
2.17	ผลของความเข้มแสงที่มีต่อเซลล์แสงอาทิตย์	28
2.18	ผลของอุณหภูมิที่มีต่อเซลล์แสงอาทิตย์	29
2.19	ผลของชั้นลดลงการสะท้อนแสงที่มีต่อเซลล์	31
บทที่ 3 การคำนวณและการออกแบบวงจรที่ใช้งาน		33
3.1	เซลล์แสงอาทิตย์	33
3.2	แบตเตอรี่	38
3.3	วงจรอค์ประจุแบตเตอรี่	39
3.4	หม้อแปลงไฟฟ้า	42
บทที่ 4 การทดลองและผลการทดลอง		47
4.1	การทดลองหาค่า V-I Curve ของแผงเซลล์แสงอาทิตย์	47
4.2	การทดลองหาค่า V-I Curve ของแผงเซลล์แสงอาทิตย์เมื่อต่อความต้านทาน 14 ค่า	50
4.3	การทดลองหากระแสและแรงดันเมื่อทำการชาร์จเข้าแบตเตอรี่	64
4.4	การทดลองหากระแสและแรงดันเมื่อทำการต่อกับอินเวอร์เตอร์	67
บทที่ 5 บทวิจารณ์และบทสรุป		70
ภาคผนวก		71
เอกสารอ้างอิง		

เอกสารนี้เป็นเอกสารที่สงวนไว้สำหรับการใช้งานเพื่อการศึกษาเท่านั้น ไม่อนุญาตให้นำไปใช้ประโยชน์ด้านการค้า ไม่ว่ากรณีใดๆ ทั้งสิ้น อีกทั้งห้ามมิให้คัดแปลงเนื้อหา และต้องอ้างอิงถึงเจ้าของเอกสารทุกครั้งที่มีการนำไปใช้

สารบัญรูปภาพ

รูปที่	หน้า
1.1 แผนผังการทำงานในตอนกลางวัน	2
1.2 แผนผังการทำงานในตอนกลางคืน	2
2.1 บล็อกไดอะแกรมโครงสร้างของระบบ	3
2.2 แสดงความสัมพันธ์ระหว่างกระแสและแรงดันของแรงดันไฟฟ้าของแผงเซลล์แสงอาทิตย์	5
2.3 กราฟแสดงความสัมพันธ์ระหว่างแรงดันไฟฟ้าเปิดวงจร กระแสลัดวงจร กับความเข้มแสง	5
2.4 กราฟแสดงความสัมพันธ์ระหว่าง แรงดันเปิดวงจร, กระแสลัดวงจร กับอุณหภูมิ	6
2.5 ความสัมพันธ์ระหว่างกระแสและแรงดัน ที่อุณหภูมิที่แตกต่างกัน	7
2.6 กราฟแสดงความสัมพันธ์ระหว่างกระแสและแรงดัน ที่ความเข้มแสงแตกต่างกัน	7
2.7 ผลของอุณหภูมิต่อแผงเซลล์แสงอาทิตย์	8
2.8 แผนผังแสดงการจัดเรียงแบบอนุกรมของ โมดูล	10
2.9 แผนผังแสดงการจัดเรียงแบบขนานของ โมดูล	10
2.10 การรีเวิร์ตไบอัสของแผงเซลล์แสงอาทิตย์	11
2.11 การฟอร์วาร์ดไบอัสของแผงเซลล์แสงอาทิตย์	11
2.12 ลักษณะต่างๆ ของเซลล์แสงอาทิตย์	12
2.13 คุณสมบัติทางไฟฟ้าที่บริเวณรอยต่อ พีเอ็น	14
2.14 รอยสัมผัสของสารชนิดพีและชนิดเอ็นด้วยแถบพลังงาน	16
2.15 ค่าความจุไฟฟ้าที่บริเวณรอยต่อพี-เอ็น	17
2.16 รอยต่อพี-เอ็น ซึ่งได้รับแรงดันไบอัสตรง	18
2.17 โครงสร้างแถบพลังงานของรอยต่อพีเอ็นขณะได้รับแรงดันไบอัสตรง V_a	18
2.18 รอยต่อพีเอ็น ซึ่งได้รับแรงดันไบอัสย้อนกลับ	19
2.19 ลักษณะโครงสร้างพลังงานของรอยต่อพีเอ็นขณะได้รับแรงดันไบอัสย้อนกลับ V_a	20
2.20 ลักษณะความสัมพันธ์ของกระแสและแรงดันของรอยต่อพี-เอ็น	21
2.21 ลักษณะความสัมพันธ์ระหว่างกระแสและแรงดันของรอยต่อพีเอ็นขณะที่ ไม่ได้รับแสงและได้รับแสง	22
2.22 คุณสมบัติของเซลล์แสงอาทิตย์และพารามิเตอร์ที่สำคัญของ Isc และ Ioc แสดงไว้ในกราฟคุณสมบัติของเซลล์แสงอาทิตย์	24
2.23 ลักษณะวงจรสมมูลของเซลล์แสงอาทิตย์แบบรอยต่อพีเอ็น	27

เอกสารนี้เป็นเอกสารที่สงวนไว้สำหรับการใช้งานเพื่อการศึกษาเท่านั้น ไม่อนุญาตให้นำไปใช้ประโยชน์ด้านการค้า
ไม่ว่ากรณีใดๆ ทั้งสิ้น อีกทั้งห้ามมิให้คัดแปลงเนื้อหา และต้องอ้างอิงถึงเจ้าของเอกสารทุกครั้งที่มีการนำไปใช้

2.24 (ก) แสดงผลของความต้านทานอนุกรม	28
2.24 (ข) ผลของความต้านทานขนาน	28
2.25 การลดลงของพลังงานขณะที่ค่าความต้านทานอนุกรมเพิ่มขึ้น	29
2.26 ผลของความเข้มแสงที่มีต่อคุณสมบัติของเซลล์แสงอาทิตย์	30
2.27 ผลของอุณหภูมิที่มีต่อพารามิเตอร์ต่างๆของเซลล์แสงอาทิตย์	32
2.28 การสะท้อนแสงในตัวกลาง	33
3.1 ระบบการใช้งานเซลล์แสงอาทิตย์อย่างง่าย	35
3.2 ลักษณะการต่อเซลล์แสงอาทิตย์	36
3.3 แผนผังแสดงตัวอย่างระบบแผงวงจรเซลล์แสงอาทิตย์	39
3.4 กราฟแสดงการเปลี่ยนแปลงระดับแรงดันในการอัดประจุแบบกระแสคงที่	42
3.5 กราฟแสดงการประจุแบบแรงดันคงที่	42
3.6 วงจรอัดประจุแบตเตอรี่	43
3.7 สัญลักษณ์หม้อแปลง	44
3.8 มงค่านบนของหม้อแปลง	45
3.9 ขนาดของตัวโออิของหม้อแปลง	46
4.1 วิธีการวัดผลการทดลองหาค่า V-I Curve	48
4.2 กราฟแสดงค่าแรงดันที่วัดได้จากเซลล์แสงอาทิตย์ตลอดระยะเวลา 1 วัน	50
4.3 กราฟแสดงค่ากระแสที่วัดได้จากเซลล์แสงอาทิตย์ตลอดระยะเวลา 1 วัน	50
4.4 แสดงวิธีการวัดผลการทดลองหาค่า V-I Curve เมื่อต่อความต้านทานต่างๆ	51
4.5 กราฟแสดงค่าแรงดันและกระแสเมื่อเวลา 9.30 น.	52
4.6 กราฟแสดงค่าแรงดันและกระแสเมื่อเวลา 10.00 น.	53
4.7 กราฟแสดงค่าแรงดันและกระแสเมื่อเวลา 10.30 น.	54
4.8 กราฟแสดงค่าแรงดันและกระแสเมื่อเวลา 11.00 น.	55
4.9 กราฟแสดงค่าแรงดันและกระแสเมื่อเวลา 11.30 น.	56
4.10 กราฟแสดงค่าแรงดันและกระแสเมื่อเวลา 12.00 น.	57
4.11 กราฟแสดงค่าแรงดันและกระแสเมื่อเวลา 12.30 น.	58
4.12 กราฟแสดงค่าแรงดันและกระแสเมื่อเวลา 13.00 น.	59
4.13 กราฟแสดงค่าแรงดันและกระแสเมื่อเวลา 13.30 น.	60
4.14 กราฟแสดงค่าแรงดันและกระแสเมื่อเวลา 14.00 น.	61
4.15 กราฟแสดงค่าแรงดันและกระแสเมื่อเวลา 14.30 น.	62
4.16 กราฟแสดงค่าแรงดันและกระแสเมื่อเวลา 15.00 น.	63

เอกสารนี้เป็นเอกสารที่สงวนไว้สำหรับการใช้งานเพื่อการศึกษาเท่านั้น ไม่อนุญาตให้นำไปใช้ประโยชน์ด้านการค้า ไม่ว่าจะกรณีใดๆ ทั้งสิ้น อีกทั้งห้ามมิให้คัดแปลงเนื้อหา และต้องอ้างอิงถึงเจ้าของเอกสารทุกครั้งที่มีการนำไปใช้

4.17	กราฟแสดงค่าแรงดันและกระแสเมื่อเวลา 15.30 น.	64
4.18	วิธีการวัดผลการทดลองหาค่า V-I Curve เมื่อต่อความต้านทานต่างๆ	65
4.19	กราฟแสดงผลการวัดแรงดันก่อนและหลังผ่านวงจรอัดประจุ	67
4.20	กราฟแสดงผลการวัดกระแสก่อนและหลังผ่านวงจรอัดประจุ	67
4.21	วิธีการวัดผลการทดลองหาค่า V-I Curve เมื่อต่อความต้านทานต่างๆ	68



เอกสารนี้เป็นเอกสารที่สงวนไว้สำหรับการใช้งานเพื่อการศึกษาเท่านั้น ไม่อนุญาตให้นำไปใช้ประโยชน์ด้านการค้า ไม่ว่าจะกรณีใดๆ ทั้งสิ้น อีกทั้งห้ามมิให้ตัดแปลงเนื้อหา และต้องอ้างอิงถึงเจ้าของเอกสารทุกครั้งที่มีการนำไปใช้

สารบัญตาราง

ตารางที่	หน้า
3.1 ตารางความสัมพันธ์ของจำนวนรอบกับขนาดพื้นที่หน้าตัดของขดลวด	47
4.1 ผลการวัดกระแสและแรงดันของแผงเซลล์แสงอาทิตย์ระยะเวลา 1 วัน	49
4.2 ผลการวัดกระแสและแรงดันของแผงเซลล์แสงอาทิตย์เมื่อต่อความต้านทาน ณ เวลา 9.30 น.	52
4.3 ผลการวัดกระแสและแรงดันของแผงเซลล์แสงอาทิตย์เมื่อต่อความต้านทาน ณ เวลา 10.00 น.	53
4.4 ผลการวัดกระแสและแรงดันของแผงเซลล์แสงอาทิตย์เมื่อต่อความต้านทาน ณ เวลา 10.30 น.	54
4.5 ผลการวัดกระแสและแรงดันของแผงเซลล์แสงอาทิตย์เมื่อต่อความต้านทาน ณ เวลา 11.00 น.	55
4.6 ผลการวัดกระแสและแรงดันของแผงเซลล์แสงอาทิตย์เมื่อต่อความต้านทาน ณ เวลา 11.30 น.	56
4.7 ผลการวัดกระแสและแรงดันของแผงเซลล์แสงอาทิตย์เมื่อต่อความต้านทาน ณ เวลา 12.00 น.	57
4.8 ผลการวัดกระแสและแรงดันของแผงเซลล์แสงอาทิตย์เมื่อต่อความต้านทาน ณ เวลา 12.30 น.	58
4.9 ผลการวัดกระแสและแรงดันของแผงเซลล์แสงอาทิตย์เมื่อต่อความต้านทาน ณ เวลา 13.00 น.	59
4.10 ผลการวัดกระแสและแรงดันของแผงเซลล์แสงอาทิตย์เมื่อต่อความต้านทาน ณ เวลา 13.30 น.	60
4.11 ผลการวัดกระแสและแรงดันของแผงเซลล์แสงอาทิตย์เมื่อต่อความต้านทาน ณ เวลา 14.00 น.	61
4.12 ผลการวัดกระแสและแรงดันของแผงเซลล์แสงอาทิตย์เมื่อต่อความต้านทาน ณ เวลา 14.30 น.	62
4.13 ผลการวัดกระแสและแรงดันของแผงเซลล์แสงอาทิตย์เมื่อต่อความต้านทาน ณ เวลา 15.00 น.	63

เอกสารนี้เป็นเอกสารที่สงวนไว้สำหรับการใช้งานเพื่อการศึกษาเท่านั้น ไม่อนุญาตให้นำไปใช้ประโยชน์ด้านการค้า
ไม่ว่ากรณีใดๆ ทั้งสิ้น อีกทั้งห้ามมิให้คัดแปลงเนื้อหา และต้องอ้างอิงถึงเจ้าของเอกสารทุกครั้งที่มีการนำไปใช้

4.14 ผลการวัดกระแสนและแรงดันของแผงเซลล์แสงอาทิตย์เมื่อต่อความต้านทาน ณ เวลา 15.30 น.	64
4.15 ผลการวัดกระแสนและแรงดันก่อนและหลังผ่านวงจรอัตราประจุ	66
4.16 ผลการวัดกระแสนและแรงดันก่อนผ่านอินเวอร์เตอร์	69
4.17 ผลการวัดกระแสนและแรงดันหลังผ่านอินเวอร์เตอร์	69
4.18 ผลการวัดกระแสนและแรงดันก่อนผ่านอินเวอร์เตอร์	70
4.18 ผลการวัดกระแสนและแรงดันหลังผ่านอินเวอร์เตอร์	70



เอกสารนี้เป็นเอกสารที่สงวนไว้สำหรับการใช้งานเพื่อการศึกษาเท่านั้น ไม่อนุญาตให้นำไปใช้ประโยชน์ด้านการค้า
ไม่ว่ากรณีใดๆ ทั้งสิ้น อีกทั้งห้ามมิให้ตัดแปลงเนื้อหา และต้องอ้างอิงถึงเจ้าของเอกสารทุกครั้งที่มีการนำไปใช้

บทที่ 1

บทนำ

การผลิตไฟฟ้าในปัจจุบัน มีการผลิตเพิ่มมากขึ้น เนื่องจากความต้องการใช้ไฟฟ้าของประชาชนมีเพิ่มมากขึ้น อีกทั้งยังต้องใช้ทรัพยากรธรรมชาติ เช่น ถ่านหิน น้ำมัน แก๊สธรรมชาติเพิ่มมากขึ้น อีกทั้งยังทำให้เกิดมลภาวะขึ้นอีกด้วย ทำให้มีการนำ เซลล์แสงอาทิตย์ มาใช้ในการผลิตกระแสไฟฟ้า ซึ่งอยู่ในการพัฒนาการใช้งานได้อย่างมีประสิทธิภาพเหมือนกับใช้ทรัพยากรอื่น ๆ

แสงอาทิตย์เป็นพลังงานที่สะอาด และมีมากมายมหาศาล จึงมีการนำ เซลล์แสงอาทิตย์มาใช้ในการผลิตกระแสไฟฟ้า แต่เนื่องจาก เซลล์แสงอาทิตย์นี้มีราคาแพงมากจึงยังไม่เป็นที่นิยมใช้กันจาก เซลล์แสงอาทิตย์เป็น ไฟฟ้ากระแสตรง และมีขนาดของแรงดันและกระแสต่ำ จึงต้องนำไปแปลงเป็นค่าสูงก่อนนำไปใช้งาน และถ้านำไปใช้กับอุปกรณ์ไฟฟ้ากระแสสลับ เราจะต้องนำกระแสและแรงดันที่ได้แปลงเป็น ไฟฟ้ากระแสสลับก่อนจึงนำไปใช้งานได้

ยังมีสถานที่บางที่ซึ่งอยู่ห่างไกล เช่น เกาะกลางทะเล, บ้านตามภูเขา และไม่มีพลังงานไฟฟ้าใช้ หรืออาจมีบางแห่งที่สามารถผลิตไฟฟ้าใช้ได้เลย โดยอาจผลิตจากเครื่องชนิดดีเซล เป็นต้น ซึ่งการผลิตแบบใช้เครื่องชนิดนั้นต้องใช้น้ำมันเป็นเชื้อเพลิง ซึ่งจะต้องมีการเตรียมเชื้อเพลิงไว้ตลอด จึงมีความลำบากในการจัดหาเชื้อเพลิง แต่มีพลังงานอยู่ชนิดหนึ่ง ซึ่งสามารถนำมาผลิตไฟฟ้าได้ โดยไม่ต้องใช้เชื้อเพลิงใด ๆ เลย นั่นก็คือ พลังงานจากแสงอาทิตย์ โครงการนี้ได้ศึกษาถึงการนำพลังงานแสงอาทิตย์ไปแปรรูปเป็นพลังงานไฟฟ้า ว่ามีขั้นตอนการแปรรูปอย่างไร รวมทั้งการเก็บสะสมพลังงาน เพื่อให้พอเพียงกับความต้องการที่ใช้ในเวลากลางวัน หรือในช่วงฉุกเฉิน ซึ่งทางผู้จัดทำหวังว่า โครงการนี้จะสามารถนำมาใช้ประโยชน์ ได้ไม่มากนักน้อย

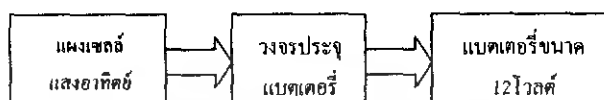
1.1 จุดประสงค์ของโครงการ

1. ศึกษากระบวนการจ่ายไฟฟ้าจากพลังงานแสงอาทิตย์
2. สร้างระบบจ่ายไฟฟ้าจากพลังงานแสงอาทิตย์ เพื่อจ่ายโหลดพลังงานกระแสสลับขนาด 1 เฟส 50 เฮิร์ต 220 โวลต์ และสามารถใช้งานได้ต่อเนื่องเป็นระบบลำพังตัวเอง
3. ศึกษาคุณลักษณะของแบตเตอรี่และสร้างชุดอค์ประจุแบตเตอรี่
4. ศึกษาและสร้างวงจรอินเวอร์เตอร์
5. สามารถจ่ายโหลดได้อย่างต่อเนื่อง
6. ออกแบบและนำพลังงานจากแบตเตอรี่ไปใช้กับอุปกรณ์ไฟฟ้าในเวลากลางวันสำหรับบริเวณที่ไม่มีไฟฟ้า

เอกสารนี้เป็นเอกสารที่สงวนไว้สำหรับการใช้งานเพื่อการศึกษาเท่านั้น ไม่อนุญาตให้นำไปใช้ประโยชน์ด้านการค้า ไม่ว่าจะกรณีใดๆ ทั้งสิ้น อีกทั้งห้ามมิให้คัดแปลงเนื้อหา และต้องอ้างอิงถึงเจ้าของเอกสารทุกครั้งที่มีการนำไปใช้

1.2 หลักการเบื้องต้นของระบบจ่ายไฟฟ้าจากพลังงานแสงอาทิตย์

ระบบจ่ายไฟฟ้าจากพลังงานแสงอาทิตย์ที่ศึกษาในโครงการนี้ ในตอนกลางวันจะนำพลังงานที่ได้จากเซลล์แสงอาทิตย์มาเก็บไว้ในแบตเตอรี่ ด้วยชุดอึดประจุไฟเข้าแบตเตอรี่ เพื่อเก็บพลังงานแสงอาทิตย์ไปใช้ในเวลากลางคืนด้วยการแปลงไฟฟ้ากระแสตรง 12 โวลต์ที่ได้จากแบตเตอรี่เป็นไฟฟ้ากระแสสลับ 220 โวลต์ 50 เฮิร์ต ด้วยวงจรอินเวอร์เตอร์ (inverter) แล้วจึงนำไปผ่านหม้อแปลงไฟฟ้า ดังแสดงใน บล็อกโคอะแกรมดังรูปที่ 1.1 และ 1.2



รูปที่ 1.1 แผนผังการทำงานในตอนกลางวัน



รูปที่ 1.2 แผนผังการทำงานในตอนกลางคืน

1.3 วัตถุประสงค์ในการนำไปใช้งาน

วัตถุประสงค์ของโครงการนี้ คือ เนื่องจากในท้องถิ่นชนบทที่ห่างไกลและทุรกันดาร ไม่มีไฟฟ้าเข้าถึงและจำเป็นต้องปิดป้ายบอกทางในเวลากลางคืนเครื่องนี้จะไปใช้งานสถานที่ประเภทร้านอาหารเพื่อความสะดวกในการติดตั้งไม่ต้องยุ่งยากในการเดินสายไฟจากการไฟฟ้าเข้าไปซึ่งถ้ามีงบประมาณในการดำเนินงานก็สามารถนำไปประยุกต์ใช้กับเครื่องใช้ไฟฟ้าภายในบ้านได้ สิ่งสำคัญคือการพัฒนาาระบบให้มีประสิทธิภาพที่สุดในการนำไปใช้งาน

1.4 ประโยชน์ที่คาดว่าจะได้รับ

1. สามารถนำพลังงานแสงอาทิตย์มาเปลี่ยนเป็นพลังงานไฟฟ้าเพื่อใช้งานได้
2. สามารถออกแบบระบบการทำงานต่าง ๆ ได้
3. สามารถออกแบบระบบวงจร อินเวอร์เตอร์ได้

1.5 ขอบเขต

1. ออกแบบระบบการแปรรูปพลังงานแสงอาทิตย์เป็นพลังงานไฟฟ้าเพื่อเก็บในแบตเตอรี่
2. สร้างระบบไฟฟ้าที่มีแบตเตอรี่ 12 โวลต์ 35 แอมป์ต่อหนึ่งชั่วโมง สำหรับใช้งานในเวลากลางคืนได้เป็นเวลา 8 ชั่วโมง

บทที่ 2

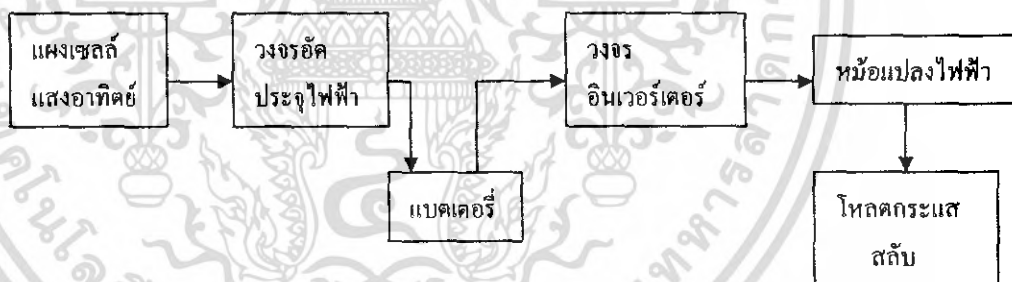
โครงสร้างระบบไฟฟ้าพลังงานแสงอาทิตย์

2.1 หลักการทำงานพื้นฐาน

การทำงานของระบบไฟฟ้าพลังงานแสงอาทิตย์ จะเริ่มต้นจากการที่แผงเซลล์แสงอาทิตย์ทำการแปลงพลังงานแสงอาทิตย์ให้เป็นพลังงานไฟฟ้า พลังงานไฟฟ้าที่ได้จะเป็นพลังงานไฟฟ้ากระแสตรง และนำพลังงานไฟฟ้าที่ได้ไปทำการประจุไฟฟ้าให้แก่แบตเตอรี่ในช่วงเวลากลางวัน และนำพลังงานไฟฟ้าจากแบตเตอรี่ไปจ่ายโหลดในเวลากลางคืน โดยใช้สวิทช์แสงเป็นตัวตัดต่อการทำงาน การนำพลังงานไฟฟ้าจากแบตเตอรี่ไปใช้จ่ายให้กับโหลดไฟฟ้ากระแสตรงขนาด 12 โวลต์สามารถนำไปใช้ได้โดยตรงและส่วนโหลดที่เป็นไฟฟ้ากระแสสลับก็จะนำพลังงานไฟฟ้าจากแบตเตอรี่ไปผ่านวงจรอินเวอร์เตอร์ เพื่อที่จะได้ไฟฟ้ากระแสสลับ หลังจากนั้นจะนำไฟฟ้ากระแสสลับที่ได้ไปผ่านหม้อแปลงไฟฟ้า เพื่อทำการแปลงระดับแรงดันไฟฟ้าที่ได้ให้เป็น 220 โวลต์ 50 เฮิร์ต เพื่อจ่ายให้กับอุปกรณ์ไฟฟ้าต่อไป

2.2 บล็อกไดอะแกรมการทำงาน

บล็อกไดอะแกรมการทำงานของระบบสามารถแสดงได้ดังรูปที่ 2.1



รูปที่ 2.1 บล็อกไดอะแกรมโครงสร้างของระบบ

จากบล็อกไดอะแกรมข้างต้นจะเห็นได้ว่าโครงสร้างของระบบไฟฟ้าพลังงานแสงอาทิตย์จะประกอบไปด้วยส่วนต่างๆ ดังต่อไปนี้

1. แผงเซลล์แสงอาทิตย์ (PV Arrays)
2. วงจรประจุไฟฟ้า (Charger)
3. แบตเตอรี่ (Battery) ชนิด ตะกั่วกรด
4. สวิทช์แสง (Lighting switch)

เอกสารนี้เป็นเอกสารที่สงวนไว้สำหรับการใช้งานเพื่อการศึกษาเท่านั้น ไม่อนุญาตให้นำไปใช้ประโยชน์ด้านการค้า ไม่ว่ากรณีใดๆ ทั้งสิ้น อีกทั้งห้ามมิให้คัดแปลงเนื้อหา และต้องอ้างอิงถึงเจ้าของเอกสารทุกครั้งที่มีการนำไปใช้

5. อินเวอร์เตอร์ (Inverter)
6. หม้อแปลงไฟฟ้า (Transformer)
7. โหลดไฟฟ้ากระแสตรง 12 โวลต์ (DC Load)
8. โหลดไฟฟ้ากระแสสลับ (AC Load)

2.3 โครงสร้างของเซลล์แสงอาทิตย์

โครงสร้างหลักของพลังงานแสงอาทิตย์ ได้แก่ หัวต่อพีเอ็นของสารกึ่งตัวนำ เซลล์แสงอาทิตย์ที่ทำจากซิลิกอนนั้นผลิตขึ้น โดยการนำแว่นผลึกซิลิกอนหนาประมาณ 200-300 ไมครอนมาแพร์ซิมสารเจือปนเพื่อสร้างหัวต่อพีเอ็น โดยมีความลึกของชั้นแพร์ซิมหรือหัวต่อประมาณ 0.3-0.5 ไมครอน จากนั้นนำหัวต่อพีเอ็นไปทำผิวสัมผัสทั้งทางด้านหน้าและด้านหลังด้วยเงินผิวสัมผัสทางด้านหน้ามีลวดลายเป็นรูปนิ้วมือหรือก้างปลาเพื่อให้เหลือพื้นที่รับแสงมากที่สุด ในขณะที่สามารถทำหน้าที่รวบรวมกระแสไฟฟ้าเนื่องจากแสงมีประสิทธิภาพด้วย

2.4 ประโยชน์ของเซลล์แสงอาทิตย์

เซลล์แสงอาทิตย์มีข้อดีหลายประการ ได้แก่

1. ความสามารถในการใช้งานที่ถาวร
2. ไม่ต้องมีค่าใช้จ่ายในขณะที่ใช้งาน
3. ไม่มีของเสียเหลือใช้
4. ความสามารถแปรพลังงานแสงเป็นไฟฟ้าได้โดยตรง
5. เป็นสิ่งประดิษฐ์ที่สามารถให้อัตราส่วนระหว่างกำลังไฟฟ้าต่อน้ำหนักสูงที่สุดเมื่อเทียบกับแหล่งกำเนิดไฟฟ้าอื่นๆ

กับแหล่งกำเนิดไฟฟ้าอื่นๆ

6. สะอาด ปราศจากมลพิษต่างๆ เช่น ควีน เสียง กลิ่น
7. ปลอดภัยต่อชีวิต และทรัพย์สินในระหว่างใช้งาน เช่น ไม่เกิดปัญหาไฟไหม้ ไม่เป็นอันตรายต่อเด็กเหมือนเครื่องใช้ไฟฟ้าอื่นๆ

อันตรายต่อเด็กเหมือนเครื่องใช้ไฟฟ้าอื่นๆ

8. ใช้งานได้ทุกสภาพพื้นที่และภูมิอากาศเช่น กลางทะเล หุบเขา ทะเลทราย อวกาศ
9. สามารถทำงานได้โดยปราศจากคนดูแลและบำรุงรักษา เช่น ไม่ต้องติดเครื่อง ไม่ต้องเติมน้ำมัน

น้ำมัน

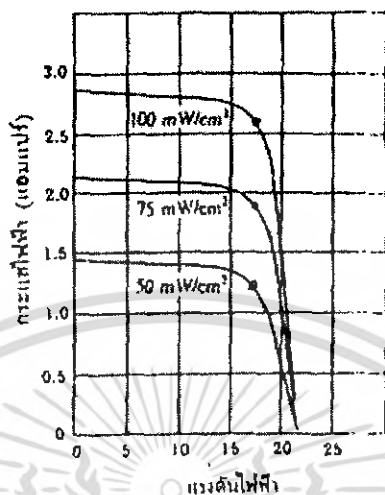
10. มีความเชื่อถือได้สูง

2.5 ลักษณะสมบัติและตัวแปรที่สำคัญของเซลล์แสงอาทิตย์

ลักษณะสมบัติและตัวแปรที่สำคัญของเซลล์แสงอาทิตย์ 3 ประการคือ

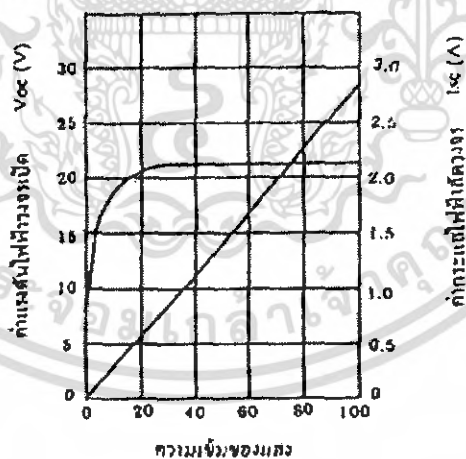
เอกสารนี้เป็นเอกสารที่สงวนไว้สำหรับการใช้งานเพื่อการศึกษาเท่านั้น ไม่อนุญาตให้นำไปใช้ประโยชน์ด้านการค้า ไม่ว่าจะกรณีใดๆ ทั้งสิ้น อีกทั้งห้ามมิให้คัดแปลงเนื้อหา และต้องอ้างอิงถึงเจ้าของเอกสารทุกครั้งที่มีการนำไปใช้

1. แผงเซลล์แสงอาทิตย์จะให้กระแสที่คงที่ ทั้งกระแสและแรงดันไฟฟ้าจะมีความสัมพันธ์กัน จากกราฟแสดงความสัมพันธ์ระหว่างกระแสและแรงดันไฟฟ้า โดยแผงเซลล์แสงอาทิตย์จะมีจุดให้พลังงานสูงสุด ณ ตำแหน่งที่วงกลมในรูปที่ 2.2



รูปที่ 2.2 ความสัมพันธ์ระหว่างกระแสและแรงดันของแรงดันไฟฟ้าของแผงเซลล์แสงอาทิตย์

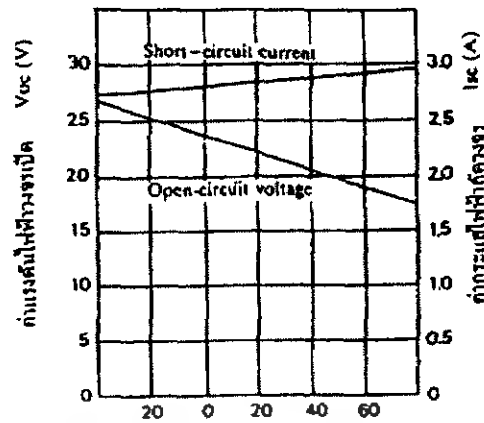
2. กระแสจะเป็นสัดส่วนโดยตรงกับความเข้มของแสง ในขณะที่แรงดันไฟฟ้าแทบจะไม่แปรตามความเข้มแสง ดังความสัมพันธ์ที่แสดงในรูปที่ 2.3



รูปที่ 2.3 ความสัมพันธ์ระหว่างแรงดันไฟฟ้าเปิดวงจร กระแสลัดวงจร กับความเข้มแสง

3. กระแสจะไม่แปรตามอุณหภูมิที่เปลี่ยนแปลง ในขณะที่แรงดันไฟฟ้าจะลดลงเมื่ออุณหภูมิเพิ่มขึ้น ดังแสดงในรูปที่ 2.4

เอกสารนี้เป็นเอกสารที่สงวนไว้สำหรับการใช้งานเพื่อการศึกษาเท่านั้น ไม่อนุญาตให้นำไปใช้ประโยชน์ด้านการค้า ไม่ว่าจะกรณีใดๆ ทั้งสิ้น อีกทั้งห้ามมิให้คัดแปลงเนื้อหา และต้องอ้างอิงถึงเจ้าของเอกสารทุกครั้งที่มีการนำไปใช้



รูปที่ 2.4 ความสัมพันธ์ระหว่าง แรงดันเปิดวงจร กระแสเปิดวงจร กับอุณหภูมิ

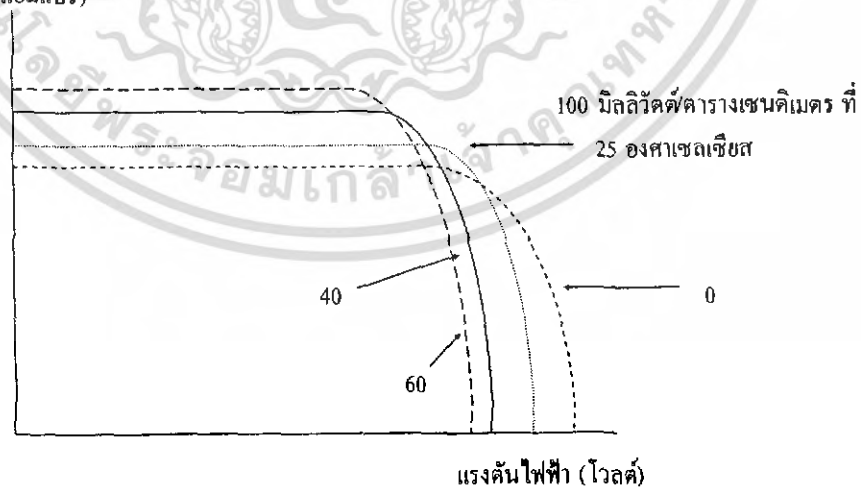
2.6 ตัวแปรที่สำคัญของแผงเซลล์แสงอาทิตย์

ดังที่กล่าวมาแล้วว่า โครงสร้างของเซลล์แสงอาทิตย์ ได้แก่ หัวต่อพีและเอ็นซึ่งมีกระแสแรงดัน เช่นเดียวกับไดโอด โดยทั่วไป ค่ากระแสและแรงดันนี้ยังมีเงื่อนไขอื่นๆ ที่จะทำให้มันเปลี่ยนแปลงได้อีก

1. ค่าแรงดันไฟฟ้าวงจรเปิด เป็นแรงดันไฟฟ้าวัดได้เมื่อเปิดวงจรและไม่ได้ต่ออุปกรณ์ไฟฟ้า

2. ค่าแรงดันไฟฟ้าสูงสุดเป็นแรงดันไฟฟ้าที่ได้เมื่อคือ โหลดที่มีค่าถูกต้องในการนำเซลล์แสงอาทิตย์ไปใช้งานจริง เซลล์ได้รับความร้อนจากแสงอาทิตย์ด้วยดังนั้นอุณหภูมิของเซลล์จึงเพิ่มขึ้น ผลที่คิดตามมาก็คือ คุณสมบัติของเซลล์จะเปลี่ยนแปลงไป ซึ่งพอจะสรุปได้ว่าค่าแรงดันไฟฟ้าจะมีค่าลดลง ดังรูปที่ 2.5

กระแสไฟฟ้า (แอมแปร์)



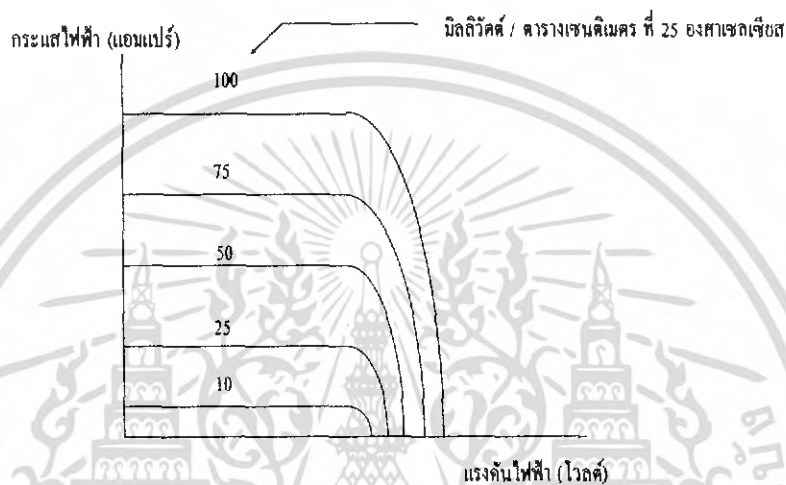
รูปที่ 2.5 ความสัมพันธ์ระหว่างกระแสและแรงดันที่อุณหภูมิที่แตกต่างกัน

เอกสารนี้เป็นเอกสารที่สงวนไว้สำหรับการใช้งานเพื่อการศึกษาเท่านั้น ไม่อนุญาตให้นำไปใช้ประโยชน์ด้านการค้า ไม่ว่าจะกรณีใดๆ ทั้งสิ้น อีกทั้งห้ามมิให้คัดลอกเนื้อหา และต้องอ้างอิงถึงเจ้าของเอกสารทุกครั้งที่มีการนำไปใช้

3. ค่ากระแสไฟฟ้าลัดวงจรเป็นกระแสไฟฟ้าที่วัดได้เมื่อลัดวงจรแผงเซลล์แสงอาทิตย์
4. ปริมาณของกระแสไฟฟ้าที่มีค่าสูงสุดเป็นปริมาณที่วัดได้ขณะเมื่อต่อโหลดที่มีค่าที่ถูกต้อง

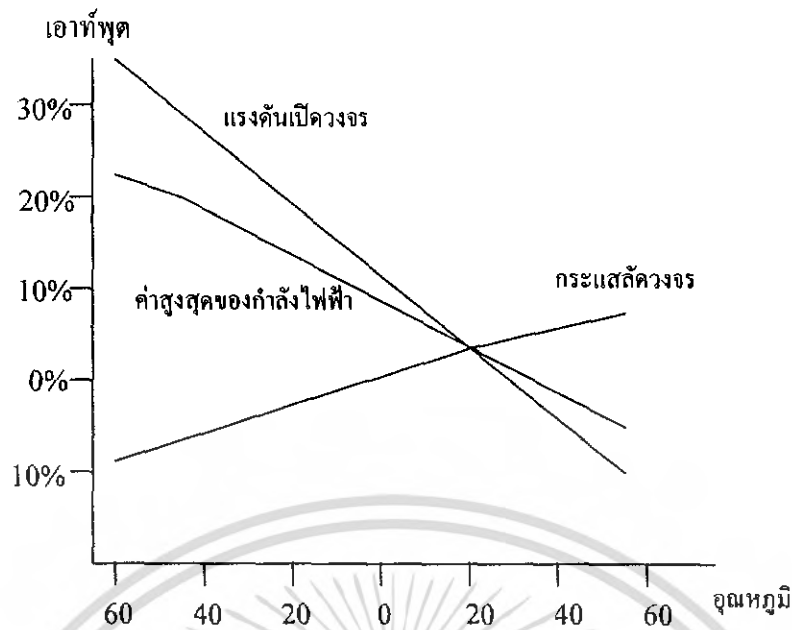
เนื่องจากเซลล์แสงอาทิตย์ขณะทำงานจำเป็นต้องมีพลังงานมากระตุ้นให้เกิดอิเล็กตรอนอิสระและโฮลส์ ดังนั้นถ้าหากแสงที่มีตกกระทบมีความเข้มสูงมากก็จะทำให้เกิดอิเล็กตรอนและโฮลส์สูงขึ้นด้วยจึงได้ว่าปริมาณของกระแสไฟฟ้าจะมากหรือน้อยจะขึ้นอยู่กับความเข้มของแสง

ดังรูปที่ 2.6



รูปที่ 2.6 ความสัมพันธ์ระหว่างกระแสและแรงดัน ที่ความเข้มแสงแตกต่างกัน

แต่ยังมีอุณหภูมิของเซลล์อีกสาเหตุหนึ่ง ที่จะทำให้กระแสไฟฟ้าสูงขึ้น แต่จะเพิ่มเพียงเล็กน้อยเท่านั้นเมื่อเทียบกับแรงดันไฟฟ้าที่ลดลง ซึ่งผลก็คือจะทำให้พลังงานลดลง เมื่อเซลล์มีอุณหภูมิสูงขึ้นดังรูปที่ 2.7



รูปที่ 2.7 ผลของอุณหภูมิต่อแผงเซลล์แสงอาทิตย์

5. ความเข้มแสงอาทิตย์วัดที่มวลอากาศเท่ากับศูนย์ (สภาพของแสงอาทิตย์นอกบรรยากาศโลกเป็นมาตรฐานที่กำหนดโดย องค์การนาซา) จะได้ค่ามีลิวัดต่อตารางเซนติเมตรส่วนความเข้มแสงอาทิตย์วัดที่มวลอากาศ 2 (สภาพของแสงอาทิตย์บนพื้นโลกเมื่อดวงอาทิตย์ทำมุม 60 องศา กับพื้นผิวโลก)จะมีประมาณ 72-75 มิลลิวัตต์ ต่อ ตารางเซนติเมตร

มวลอากาศ 1.5 ซึ่งนิยมใช้กันในการกำหนดสมรรถภาพของเซลล์แสงอาทิตย์ได้แก่ แสงอาทิตย์ที่วัดบนโลกในสภาพอากาศปลอดโปร่งปราศจากเมฆหมอกและวัดที่ระดับน้ำทะเลในสภาพที่แสงอาทิตย์ตั้งฉากกับพื้นโลกความเข้มแสงจะมีค่า 100 มิลลิวัตต์ต่อตารางเซนติเมตร

2.7 ผลกระทบของอุณหภูมิ

อุณหภูมิเป็นสิ่งที่มีความสำคัญต่อคุณลักษณะของเซลล์แสงอาทิตย์ โดยถ้าอุณหภูมิเพิ่มขึ้นจะทำให้ค่าของกระแสที่เกิดจากเซลล์แสงอาทิตย์เพิ่มขึ้นเล็กน้อย โดยเนื่องจากการทดลองของแบนด์แกปเอนเนอจี้ (Bandgap Energy) ของวัสดุ

$$E_g(T) = E_{g(0)} - aT^2 / (T+b) \quad (2.1)$$

แต่ค่าแรงดันเปิดวงจร จะลดลงอย่างเป็นเชิงเส้นต่อการเพิ่มขึ้นของอุณหภูมิ เพราะค่ากระแสอิ่มตัวเพิ่มขึ้นดังสมการ

$$I_0 = A_0 T^3 \exp[-E_g / K_g T] \quad (2.2)$$

ค่ากระแสอิ่มตัว คือกระแสของประจุพาหะส่วนน้อยที่เกิดจากการกระตุ้นของอุณหภูมิจน

2.8 ฟิสิกส์ของฟิล์มแพคเตอร์

ฟิล์มแพคเตอร์ คือค่าอัตราส่วนระหว่าง ค่ากำลังสูงสุด กับ ค่ากระแสลัดวงจรคูณกับค่าแรงดันเปิดวงจร

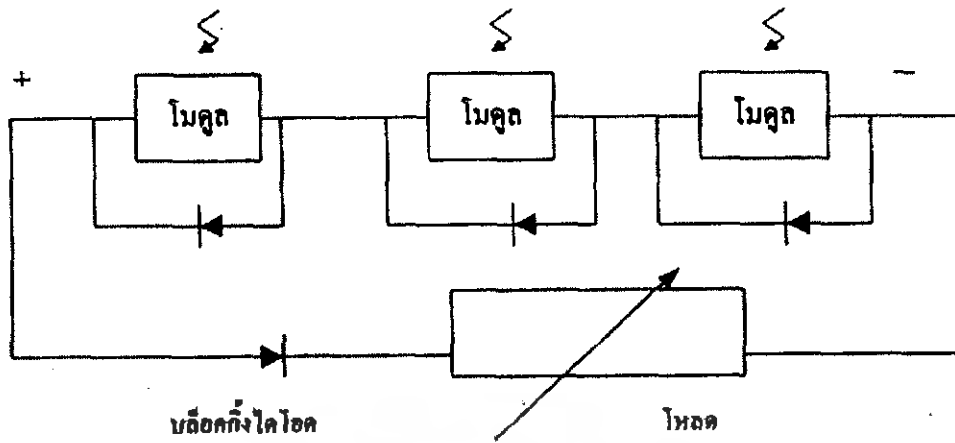
$$FF = I_{max}V_{max}/I_{sc}V_{oc} \quad (2.3)$$

ซึ่งเอาไว้กำหนดรูปร่างของคุณลักษณะของเซลล์แสงอาทิตย์(กราฟแสดงความสัมพันธ์ระหว่างกระแสและแรงดันไฟฟ้า) โดยถ้ามีค่ามากกว่า 0.7 จะถือว่าดี และค่าความต้านทานที่ต่ออนุกรมกับค่าความต้านทานที่ต่อขนานจะมีผลทำให้ค่า ฟิสิกส์ของฟิล์มแพคเตอร์ลดลง โดยค่านี้จะมีประโยชน์ในการทำการตรวจสอบควบคุมคุณภาพ

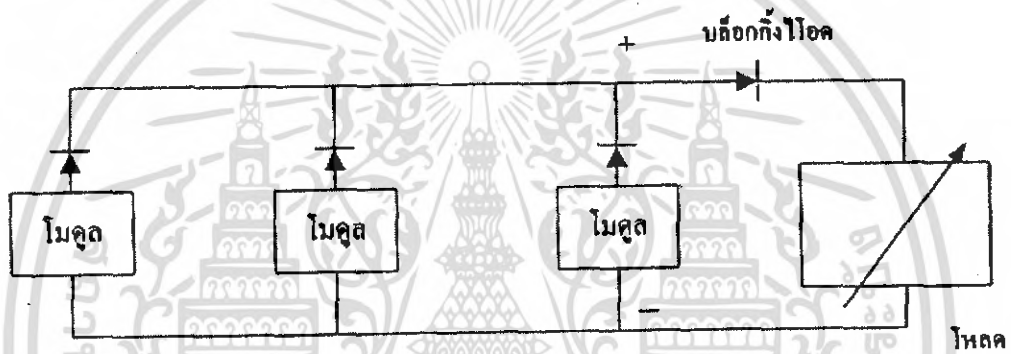
2.9 บายพาสไดโอดและบล็อกกิ้งไดโอด

แผงเซลล์แสงอาทิตย์ คือการนำเอา โมดูลเซลล์แสงอาทิตย์ หลายๆ ตัวมาต่อกันเป็นกลุ่มโดยอาจจะมาต่ออนุกรมหรือขนาน หรือทั้งสองอย่าง โดยแต่ละโมดูลจะประกอบด้วย เซลล์แสงอาทิตย์หลายๆ ตัวบายพาส มีไว้สำหรับป้องกันในกรณีที่ โมดูลใด ไม่สามารถผลิตกระแสไฟฟ้าออกมาได้ เช่น ไม่มีแสงแดดเพราะ โคนอะไรมาบังที่ โมดูลนั้น จะทำให้เกิดความสูญเสียขึ้น โดย โมดูลนั้นจะกลายเป็นตัวดูดซับพลังงานแทนที่จะเป็นตัวผลิตพลังงาน ดังนั้นเมื่อเรามีบายพาสไดโอด จะทำให้กระแสไฟฟ้าไม่ไหลเข้าโมดูลนั้น ทำให้ไม่เกิดความสูญเสียและในการต่อบายพาสไดโอดจะนำมาต่อขนานกับแต่ละ โมดูล การเลือกไดโอดชนิดนี้ควรมีค่า เทรตโวลต์โวลต์แดง และมีค่าพิทักกระแสที่สูงพอที่จะสามารถนำกระแสที่เซลล์แสงอาทิตย์ผลิตขึ้นได้

บล็อกกิ้งไดโอด มีไว้สำหรับป้องกันกระแสไฟจากภายนอก เช่น จากแบตเตอรี่ไหลย้อนกลับเข้ามาในเซลล์แสงอาทิตย์ ซึ่งอาจทำให้เกิดความเสียหายได้ โดยการต่อบล็อกกิ้งไดโอดจะนำมาต่ออนุกรมดังแสดงในรูปที่ 2.8 และรูปที่ 2.9



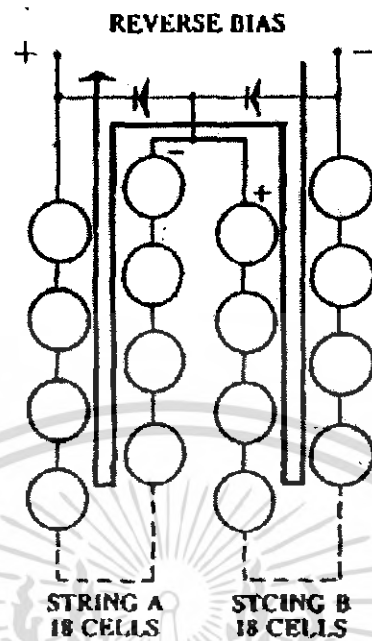
รูปที่ 2.8 แผนผังแสดงการจัดเรียงแบบอนุกรมของโมดูลเซลล์แสงอาทิตย์



รูปที่ 2.9 แผนผังแสดงการจัดเรียงแบบขนานของโมดูลเซลล์แสงอาทิตย์

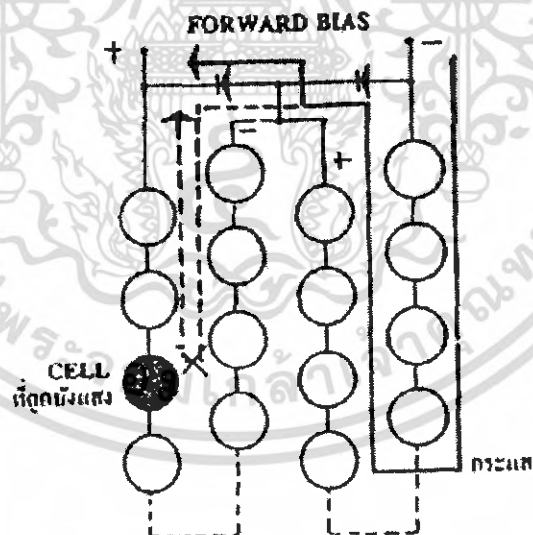
เอกสารนี้เป็นเอกสารที่สงวนไว้สำหรับการใช้งานเพื่อการศึกษาเท่านั้น ไม่อนุญาตให้นำไปใช้ประโยชน์ด้านการค้า ไม่ว่ากรณีใดๆ ทั้งสิ้น อีกทั้งห้ามมิให้ตัดแปลงเนื้อหา และต้องอ้างอิงถึงเจ้าของเอกสารทุกครั้งที่มีการนำไปใช้

รีเวิร์ส ไบอัส



รูปที่ 2.10 การรีเวิร์สไบอัสของแผงเซลล์แสงอาทิตย์

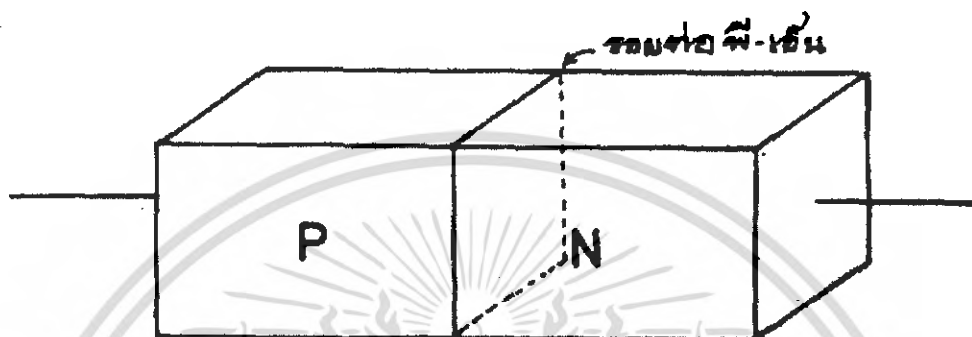
ฟอร์เวิร์ด ไบอัส



รูปที่ 2.11 การฟอร์เวิร์ดไบอัสของแผงเซลล์แสงอาทิตย์

เอกสารนี้เป็นเอกสารที่สงวนไว้สำหรับการใช้งานเพื่อการศึกษาเท่านั้น ไม่อนุญาตให้นำไปใช้ประโยชน์ด้านการค้า ไม่ว่าจะกรณีใดๆ ทั้งสิ้น อีกทั้งห้ามมิให้ตัดแปลงเนื้อหา และต้องอ้างอิงถึงเจ้าของเอกสารทุกครั้งที่มีการนำไปใช้

เซลล์แสงอาทิตย์ส่วนใหญ่ซึ่งเป็นที่นิยมใช้กันนั้น มักมีลักษณะโครงสร้างเป็นแบบรอยต่อพี-เอ็น คล้าย ๆ กับ โครงสร้างของไดโอดแบบรอยต่อพี-เอ็น หากแต่เซลล์แสงอาทิตย์ จะมีขนาดใหญ่กว่าไดโอดมาก ๆ ทั้งนี้ก็เพื่อให้เซลล์สามารถเปลี่ยนพลังแสง มาเป็นพลังงานไฟฟ้าได้มากพอที่นำไปใช้งานได้ การสร้างรอยต่อพี-เอ็นในเซลล์แสงอาทิตย์ สามารถทำได้ด้วยวิธีการเดียวกันกับการสร้างไดโอด ซึ่งมักนิยมใช้วิธีการแพร่สารเจือปน (impurity) ชนิดเอ็นหรือชนิดพี เข้าไปในเนื้อของสารกึ่งตัวนำซึ่งเป็นชนิดตรงกันข้าม และในบทนี้จะได้กล่าวถึงคุณสมบัติพื้นฐานของรอยต่อพี-เอ็น ทั้งในขณะที่ไม่ได้รับแสง และในขณะที่ได้รับแสง



รูปที่ 2.12 ลักษณะง่าย ๆ ของเซลล์แสงอาทิตย์

2.10 ปรากฏการณ์ที่รอยต่อพี-เอ็นในภาวะสมดุล

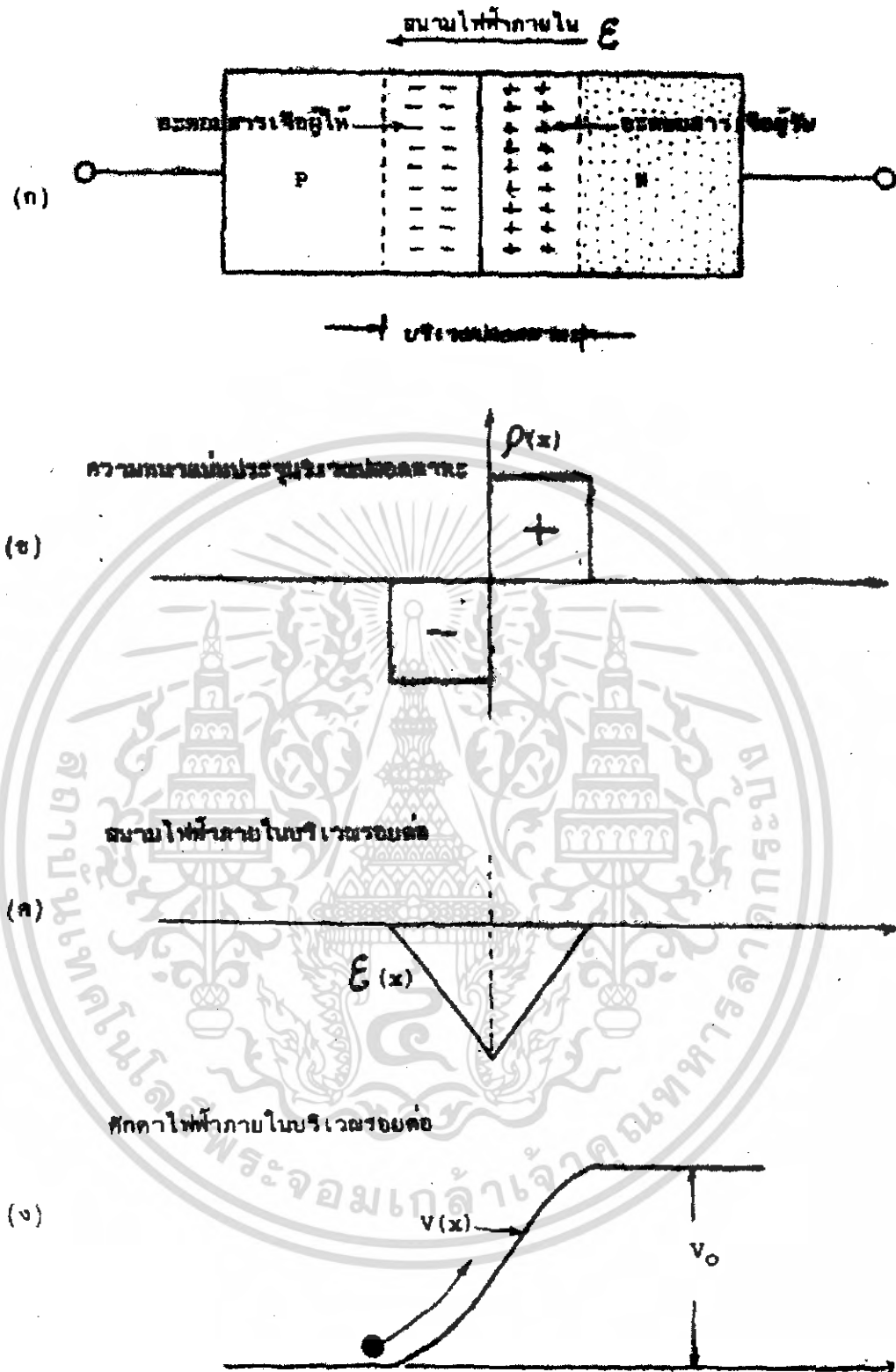
เมื่อรอยต่อพี-เอ็นถูกสร้างขึ้นแล้ว จะเกิดปรากฏการณ์บางอย่างขึ้นที่รอยต่อพี-เอ็นและพอสรูปได้ดังนี้คือ เนื่องจากโฮลทางด้านสารกึ่งตัวนำชนิดพี (P) มีความหนาแน่นมากกว่าโฮลทางด้านสารกึ่งตัวนำชนิดเอ็น และอิเล็กตรอนทางด้านสารกึ่งตัวนำชนิดเอ็น (n) มีความหนาแน่นมากกว่าอิเล็กตรอนทางด้านสารกึ่งตัวนำชนิดพี ดังนั้นด้วยความหนาแน่นของประจุพาหะที่แตกต่างกันนี้เอง จะทำให้เกิดมีการแพร่ของประจุพาหะจากทางด้านที่ซึ่งมีความหนาแน่นของประจุพาหะมากกว่าไปยังด้านที่ซึ่งมีความหนาแน่นน้อยกว่า กล่าวคือ โฮลทางด้านพี ในบริเวณใกล้รอยต่อ จะแพร่เข้าไปในด้านเอ็นและอิเล็กตรอน ตรงด้านเป็นในบริเวณใกล้รอยต่อ จะแพร่เข้าไปทางด้านพี การแพร่นี้จะกระทำผ่านรอยต่อพี-เอ็น และสิ่งที่ตามมาก็คือจะมีการรวมตัว (recombination) ระหว่างโฮลและอิเล็กตรอนผลจากการรวมตัวของประจุพาหะทั้งสองนี้จะทำให้อะตอมของสารเจือปนบริเวณใกล้ ๆ กับรอยต่อพี-เอ็นกลายเป็นไอออน (ion) และแสดงอำนาจไฟฟ้าออกมาได้ กล่าวคือ อะตอมของสารเจือชนิดเอ็นทางด้านเอ็น จะสูญเสียอิเล็กตรอน อะตอมนี้จึงแสดงตัวเป็นไอออนบวก และอะตอมของสารเจือชนิดพีทางด้านพี จะสูญเสียโฮลไป จึงทำให้อะตอมนี้แสดงตัวเป็นไอออนลบ เมื่อเป็นเช่นนี้จะทำให้เกิดสะสมประจุฟ้าขึ้น ณ บริเวณรอยต่อพี-เอ็น ดังแสดงในรูปที่ 2.13 โดยที่อำนาจของสนามไฟฟ้านี้จู่จกขวางการแพร่ข้ามรอยต่อของโฮลและอิเล็กตรอน ดังนั้นการแพร่ข้ามรอยต่อของประจุพาหะทั้งสองชนิด จะค่อย ๆ ลดลง จนกระทั่งสนามไฟฟ้าภายในที่

เกิดขึ้นมีอำนาจมากพอที่จะยับยั้งไม่ให้ประจุพาหะทั้งสองชนิดแพร่ข้ามรอยต่อได้ การแพร่จึงหยุดลง และทุกอย่างก็อยู่ในภาวะสงบนิ่ง ซึ่งในขณะนี้เราเรียกว่ารอยต่ออยู่ในภาวะ “สมดุล (equilibrium)”

นอกจากนี้แล้ว ปรากฏการณ์ดังกล่าวจะทำให้บริเวณภายในรอยต่อนี้ไม่มีประจุพาหะทั้งสองชนิด คงมีแต่อะตอมของสารเจือชนิดพี และชนิดเอ็น ซึ่งขณะนี้อยู่ในสภาพไอออนลบและไอออนบวก บริเวณดังกล่าวนี้ถูกเรียกว่า “บริเวณปลดพาหะ” (depletion region) สนามไฟฟ้าที่มีอยู่ในบริเวณนี้จะทำให้เกิดความต่างศักย์ไฟฟ้าขึ้นด้วย จึงคล้ายกับว่าที่บริเวณรอยต่อพี-เอ็นในภาวะสมดุลนี้มีแรงดันไฟฟ้าภายใน (built-in voltage) เกิดขึ้น ซึ่งแรงดันไฟฟ้านี้เองที่เป็นกำแพงศักย์ต่อต้านการเคลื่อนที่ข้ามรอยต่อของประจุพาหะ

ลักษณะการกระจายของความหนาแน่นของประจุ สนามไฟฟ้า และความต่างศักย์ไฟฟ้า ที่บริเวณรอยต่อแสดงได้ ดังในรูปที่ 2.13 แรงดันไฟฟ้าที่ตกคร่อมบริเวณรอยต่อหรือที่เรียกว่า “ศักย์สัมผัส” (contact potential) แสดงได้ด้วยสมการ 2.4





รูปที่ 2.13 คุณสมบัติทางไฟฟ้าที่บริเวณรอยต่อ พีเอ็น

เอกสารนี้เป็นเอกสารที่สงวนไว้สำหรับการใช้งานเพื่อการศึกษาเท่านั้น ไม่อนุญาตให้นำไปใช้ประโยชน์ด้านการค้า ไม่ว่ากรณีใดๆ ทั้งสิ้น อีกทั้งห้ามมิให้ตัดแปลงเนื้อหา และต้องอ้างอิงถึงเจ้าของเอกสารทุกครั้งที่มีการนำไปใช้

$$V_0 = \frac{kT}{q} \cdot \ln \frac{N_A N_D}{n_i^2} \quad (2.4)$$

- ซึ่ง V_0 : ศักย์สัมผัส (โวลต์)
 k : ค่าคงตัวของโบสตันน์มีค่า $= 8.62 \times 10^{-5} \text{ eV/}^\circ\text{K}$
 T : อุณหภูมิองศาสัมบูรณ์ ($^\circ\text{K}$)
 q : ประจุอิเล็กตรอน $= 1.6 \times 10^{-19}$ คูลอมบ์
 N_A : ความหนาแน่นของอะตอมผู้รับ (cm^{-3})
 N_D : ความหนาแน่นของอะตอมผู้ให้ (cm^{-3})
 n_i : ความหนาแน่นของประจุพาหะในสารกึ่งตัวนำบริสุทธิ์ (cm^{-3})

ในกรณีที่เราพิจารณาลักษณะโครงสร้างแถบพลังงาน จะพบว่าขณะที่รอยต่อพีเอ็นเกิดขึ้น เนื่องจากระดับเฟอร์มิ ซึ่งเป็นระดับพลังงานที่เรานิยามไว้ว่า โอกาสที่จะพบอิเล็กตรอนที่ระดับพลังงานนี้จะมีค่าเป็น $1/2$ ของสารกึ่งตัวนำชนิดเอ็น และชนิดพีไม่เท่ากัน ดังนั้นเมื่อรอยต่อพีเอ็นเกิดขึ้น ระดับเฟอร์มิในสารทั้งสองจะต้องปรับให้มีระดับเดียวกัน ขณะที่ระดับเฟอร์มิของสารทั้งสองกำลังปรับให้เท่ากัน จะตรงกับภาวะที่โฮลและอิเล็กตรอนแพร่ข้ามรอยต่อ จนกระทั่งเกิดสนามไฟฟ้าภายในต่อต้านการแพร่ของประจุพาหะและในที่สุดอิเล็กตรอนและโฮล ก็ไม่สามารถแพร่ข้ามรอยต่อได้ ซึ่งเป็นภาวะสมดุลของรอยต่อในขณะนี้เมื่อพิจารณาแถบพลังงานจะพบว่า ระดับเฟอร์มิ (Fermi level) ของสารทั้งสองชนิดจะมีระดับเดียวกัน ดังแสดงในรูปที่ 2.3 และในภาวะสมดุล ระยะเวลาว่างของบริเวณปลอดพาหะแสดงได้ดังในสมการ 2.2

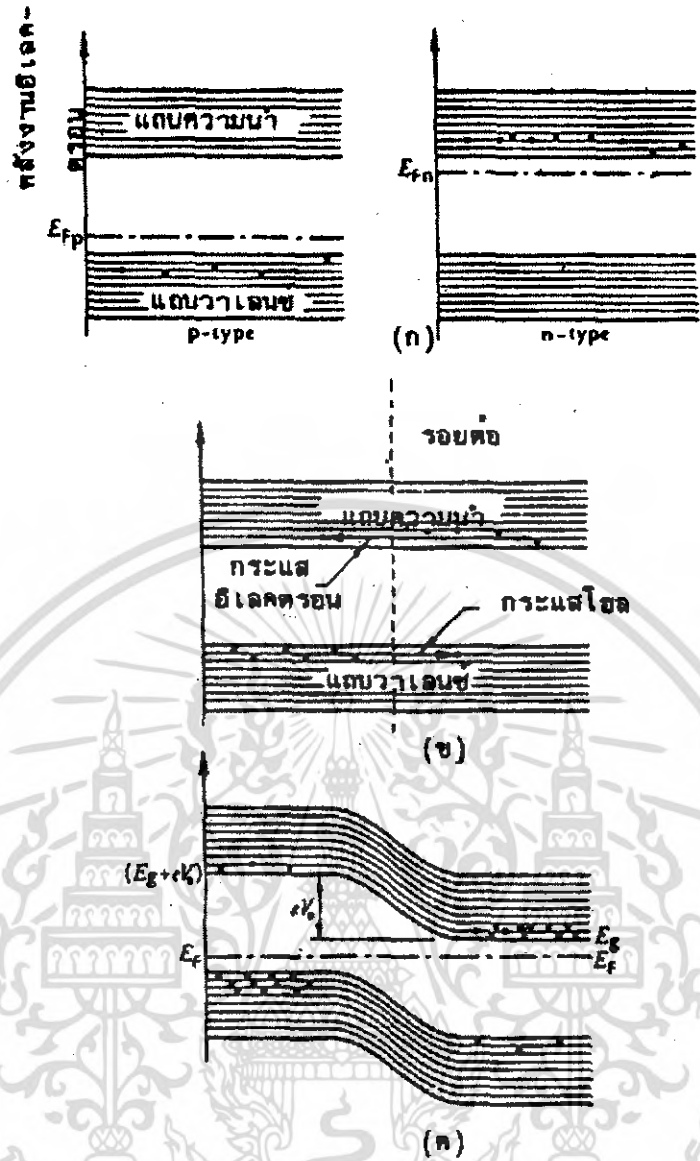
ความกว้างบริเวณปลอดพาหะในภาวะสมดุล

$$X_m = \frac{2\varepsilon V_0 (N_A + N_D)}{q \cdot N_A \cdot N_D} \text{ cm} \quad (2.5)$$

โดยที่ ε : เฟอร์มิทวิตี (permittivity) ของสารกึ่งตัวนำ

V_0 : ศักย์สัมผัส

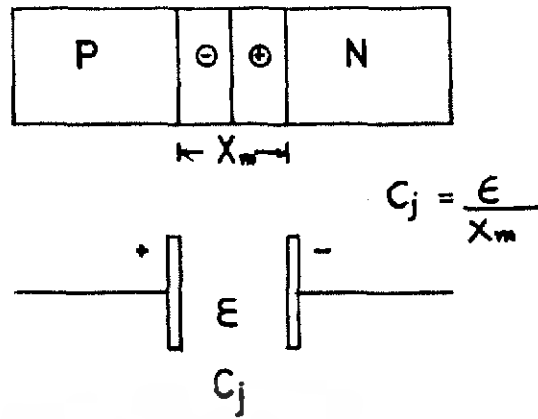
และนอกจากนี้ยังพบว่า ที่บริเวณรอยต่อมีลักษณะคล้ายกับโครงสร้างของตัวเก็บประจุไฟฟ้า (capacitor) ค่าความหนาแน่นของประจุไฟฟ้า (capacitance) ที่รอยต่อแสดงได้ดังในสมการ 2.6



รูปที่ 2.14 รอยสัมผัสของสารชนิดพีและชนิดเอ็นด้วยแถบพลังงาน
 ก) ก่อนสัมผัส ข) ขณะสัมผัส ค) ภาวะสมดุลหลังสัมผัสแล้ว

เอกสารนี้เป็นเอกสารที่สงวนไว้สำหรับการใช้งานเพื่อการศึกษาเท่านั้น ไม่อนุญาตให้นำไปใช้ประโยชน์ด้านการค้า
 ไม่ว่ากรณีใดๆ ทั้งสิ้น อีกทั้งห้ามมิให้ตัดแปลงเนื้อหา และต้องอ้างอิงถึงเจ้าของเอกสารทุกครั้งที่มีการนำไปใช้

สำนักหอสมุดกลาง พระจอมเกล้าลาดกระบัง



รูปที่ 2.15 ค่าความจุไฟฟ้าที่บริเวณรอยต่อพี-เอ็น

2.11 รอยต่อพี-เอ็นในขณะได้รับแรงดันไบอัสตรง

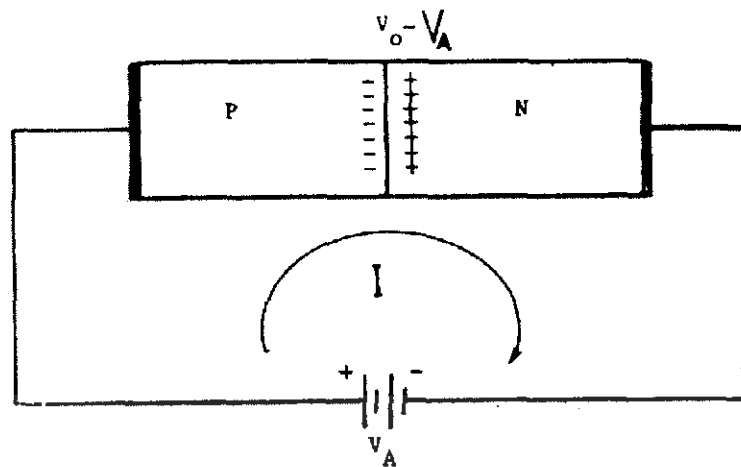
ในกรณีที่รอยต่อพี-เอ็นได้รับแรงดันไบอัสตรง กล่าวคือทางด้านพีจะมีศักย์เป็นบวกเมื่อเทียบกับด้านเอ็น ดังแสดงในรูปที่ 2.16 แรงดันไบอัสจากภายนอกค่า V_A จะไปปรากฏที่รอยต่อ พี-เอ็น และอยู่ในลักษณะที่หักล้างกับแรงดัน ไฟฟ้าภายในที่บริเวณรอยต่อ นั่นก็คือกำแพงศักย์ที่รอยต่อจะลดลงจึงมีผลทำให้โฮลจากด้านพี และอิเล็กตรอนจากทางด้านเอ็นถูกฉีด (injection) เข้ารอยต่อพี-เอ็นได้ปริมาณของโฮลและอิเล็กตรอนที่ถูกฉีดเข้ารอยต่อนี้ จะเปลี่ยนแปลงกับแรงดันไบอัสในลักษณะของเอกโปเนนเชียล (exponential function) จากการฉีดของโฮลและอิเล็กตรอนเข้ารอยต่อนี้เองจะทำให้เกิดกระแสไหลในวงจร ซึ่งแสดงไว้ด้วยสมการ (2.6)

$$I = I_0 (e^{qV_A/kT} - 1) \quad (2.6)$$

$$\text{และ} \quad I_0 = \frac{A(qD_e n_i^2)}{L_e N_A} + \frac{qD_h n_i^2}{L_h N_D} \quad (2.7)$$

62688

เอกสารนี้เป็นเอกสารที่สงวนไว้สำหรับการใช้งานเพื่อการศึกษาเท่านั้น ไม่อนุญาตให้นำไปใช้ประโยชน์ด้านการค้า ไม่ว่ากรณีใดๆ ทั้งสิ้น อีกทั้งห้ามมิให้ตัดแปลงเนื้อหา และต้องอ้างอิงถึงเจ้าของเอกสารทุกครั้งที่มีการนำไปใช้



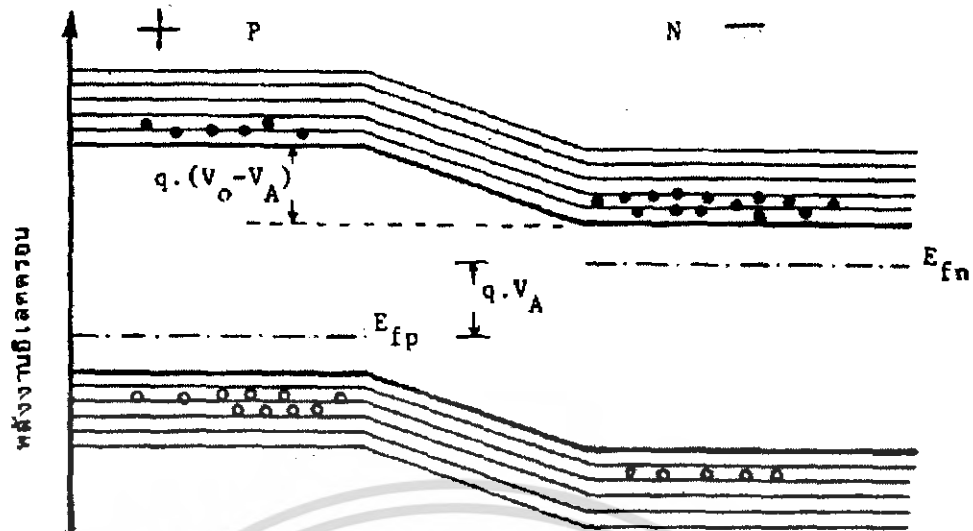
รูปที่ 2.16 รอยต่อพี-เอ็น ซึ่งได้รับแรงดันไบอัสตรง

- โดยที่
- I : คือกระแสที่ไหลผ่านรอยต่อพีเอ็น
 - I_o : คือกระแสอิ่มตัวย้อนกลับ
 - V_A : คือแรงดันไบอัสที่ให้
 - A : คือพื้นที่ของรอยต่อพีเอ็น
 - D_n, D_p : คือ สัมประสิทธิ์การแพร่ของอิเล็กตรอนและโฮลตามลำดับ
 - L_n, L_p : คือ ระยะการแพร่ของอิเล็กตรอนและโฮลตามลำดับ

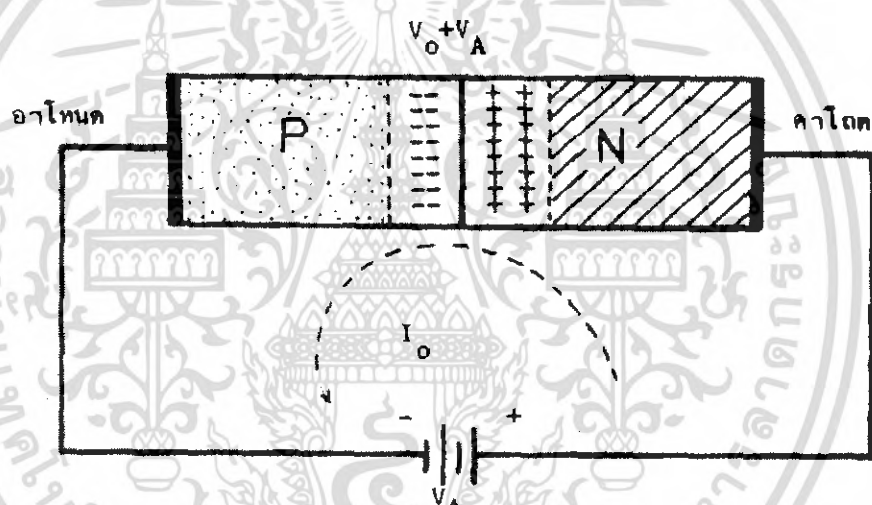
ลักษณะของแถบพลังงานในขณะที่ยูนิโตนได้รับแรงดันไบอัสตรงแสดงได้ดังในรูปที่ 2.16 ซึ่งจะเห็นว่าระดับเฟอร์มิ (E_F) ของด้านพีและเอ็นจะไม่เท่ากัน และกำแพงศักย์ที่รอยต่อจะมีขนาดลดลง ดังนั้นจึงทำให้เกิดมีการเคลื่อนที่ของโฮลและอิเล็กตรอนข้ามรอยต่อ และเป็นผลให้มีกระแสไหลในวงจรได้

2.12 รอยต่อพีเอ็นในขณะได้รับแรงดันไบอัสย้อนกลับ

ในกรณีที่รอยต่อได้รับแรงดันไบอัสตรงแสดงในรูปที่ 2.16 กล่าวคือ ทางด้านพีจะมีศักย์เป็นลบ เมื่อเทียบกับทางด้านเอ็น ดังนั้นเมื่อให้แรงดันไบอัสย้อนกลับนี้แก่รอยต่อพีเอ็น มีค่า V_A โวลต์แล้ว จะพบว่า แรงดันไบอัสดังกล่าวจะไปช่วยเสริมกับแรงดันภายใน ซึ่งปรากฏที่บริเวณ



รูปที่ 2.17 โครงสร้างแถบพลังงานของรอยต่อพีเอ็นขณะได้รับแรงดันไบอัสตรง V_A



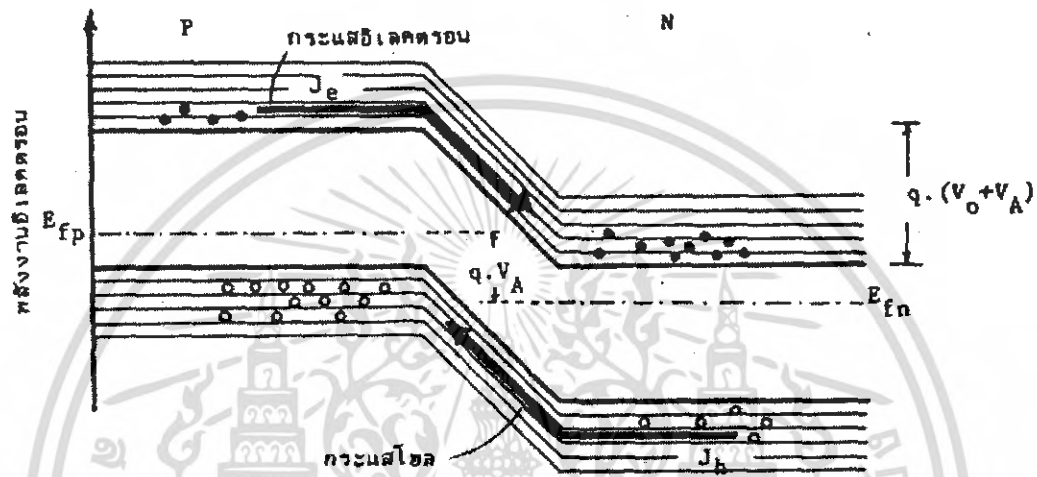
รูปที่ 2.18 รอยต่อพีเอ็น เมื่อได้รับแรงดันไบอัสย้อนกลับ

รอยต่อ (V_0) ดังนั้น จะทำให้กำแพงศักย์ (potential barrier) ที่บริเวณรอยต่อมีขนาดเพิ่มขึ้น อิเล็กตรอนจากด้านเอ็นและโฮลจากด้านพี จึงไม่สามารถเคลื่อนที่ข้ามรอยต่อไปได้รอยต่อพี-เอ็นในภาวะนี้จึงมีสถานะคล้ายฉนวน ไม่ยอมให้กระแสส่วนมากไหลได้ อย่างไรก็ตามจะพบว่าในขณะนี้โฮลทางด้านเอ็น และอิเล็กตรอนทางด้านพี ซึ่งมีจำนวนน้อยสามารถเคลื่อนที่ข้ามรอยต่อได้ ดังนั้นจึงปรากฏมีกระแสจำนวนน้อยไหลข้ามรอยต่อในทิศทางที่ตรงกันข้ามกับ กระแสส่วนมากที่ไหลผ่านรอยต่อในขณะที่ได้รับแรงดันไบอัสตรง ปริมาณของกระแสที่ไหลในขณะที่รอยต่อได้รับไบอัส

ย้อนกลับนี้จะมีค่าน้อยมาก และมีค่าคงที่ค่าหนึ่ง ซึ่งอาจพิจารณาได้จากสมการ 2.6 เมื่อแทนค่า V_A ด้วย $-V_A$ ดังนั้นขณะได้รับแรงดันไบอัสย้อนกลับ

$$I \approx I_0 \quad (2.8)$$

ลักษณะของแถบพลังงานในขณะนี้แสดงได้ดังในรูปที่ 2.19 ซึ่งจะเห็นได้ชัดว่ากระแสที่ไหลผ่านรอยต่อในขณะนี้มีทิศทางตรงข้ามกับกระแสในกรณีไบอัสตรง ปริมาณกระแสจะมีค่าน้อยมากและมีค่าคงที่ที่อุณหภูมิค่าหนึ่ง ๆ



รูปที่ 2.19 ลักษณะโครงสร้างพลังงานของรอยต่อพีเอ็นขณะได้รับแรงดันไบอัสย้อนกลับ V_A

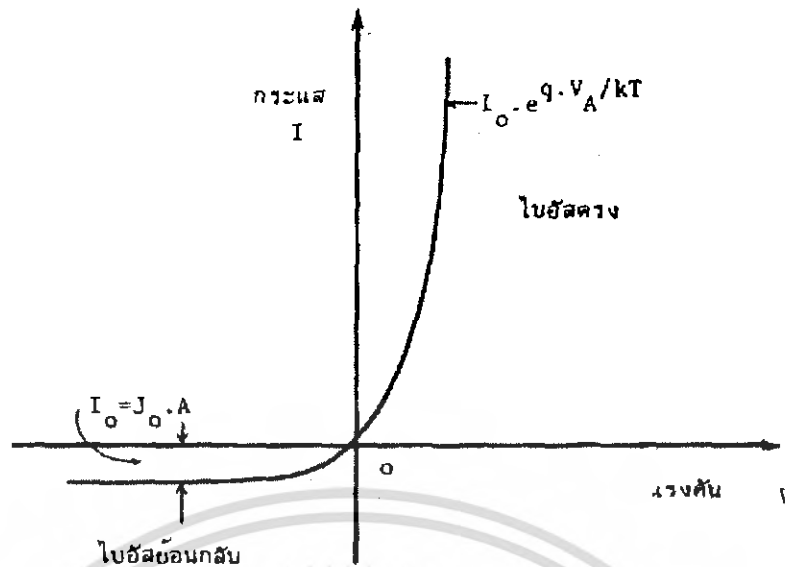
2.13 ลักษณะความสัมพันธ์ระหว่างกระแสและแรงดันของรอยต่อพีเอ็น

2.13.1 ในภาวะที่รอยต่อพีเอ็นไม่ได้รับแสง

ดังที่กล่าวมาแล้ว เมื่อรอยต่อได้รับแรงดันไบอัสตรงจะทำให้เกิดมีกระแสไหลผ่านรอยต่อเป็นจำนวนมากและกระแสนี้จะเปลี่ยนแปลงอย่างเอกไปแนวจีลกับแรงดัน และในขณะที่ให้แรงดันไบอัสย้อนกลับ จะมีกระแสจำนวนน้อยไหลย้อนกลับผ่านรอยต่อ ดังนั้นจากความสัมพันธ์ของกระแส และแรงดันสามารถนำมาเขียนเป็นกราฟได้ดังในรูปที่ 2.20 ซึ่งกราฟนี้ได้มาจากสมการที่ 2.8 ลักษณะกราฟดังแสดงในรูปที่ 2.20 แสดงให้เห็นคุณสมบัติในการเรกติไฟร์ของรอยต่อพีเอ็น ดังนั้นอาจเขียนได้ว่า

กรณีที่รอยต่อไม่ได้รับแสง (dark)

$$I = I_0 (e^{qV/kT} - 1) \quad (2.9)$$



รูปที่ 2.20 ลักษณะความสัมพันธ์ของกระแสและแรงดันของรอยต่อพี-เอ็น

2.13.2 ในภาวะที่รอยต่อพีเอ็นได้รับแสง (illumination)

ในขณะที่รอยต่อพีเอ็นได้รับแสง เราพิจารณากันว่าในลำแสง ประกอบไปด้วยกลุ่มของโฟตอน (Photon) ซึ่งมีพลังงานค่าหนึ่งดังแสดงในสมการ 2.10

$$E_{\text{photon}} = h\nu \quad (2.10)$$

E_{photon} : คือ พลังงานของโฟตอน

h : ค่าคงตัวของพลังค์ = 6.624×10^{-34} joule-sec.

ν : ค่าความถี่ของคลื่นแสง

เมื่อแสงตกกระทบบนรอยต่อพีเอ็นซึ่งเป็นเนื้อของสารกึ่งตัวนำ โฟตอนจะถ่ายเทจะถ่ายเทพลังงานให้แก่อิเล็กตรอน ซึ่งอยู่ในแถบวาเลนซ์สามารถออกไปเป็นอิเล็กตรอนอิสระ (free electron) อยู่ในแถบความนำ (conduction band) ได้ และทำให้เกิดโฮลซึ่งเป็นประจุพาหะชนิดบวกไว้ที่แถบวาเลนซ์ ประจุพาหะคู่อิเล็กตรอน-โฮล อิสระเกิดขึ้นใหม่นี้เป็นผลมาจากการกระตุ้นสารกึ่งตัวนำด้วยแสง อิเล็กตรอน — โฮล ที่เกิดขึ้นบริเวณรอยต่อหรือใกล้ ๆ กับรอยต่อจะถูกอิทธิพลจากสนามไฟฟ้าภายใน ทำให้เคลื่อนที่ข้ามรอยต่อ โดยที่โฮลจะเคลื่อนที่ไปทางด้านพี และอิเล็กตรอนจะเคลื่อนที่ไปทางด้านเอ็น เกิดกระแสไฟฟ้าซึ่งไหลในทิศทางตรงกันข้ามกับกระแสในขณะที่รอยต่อได้รับไบอัสตรง

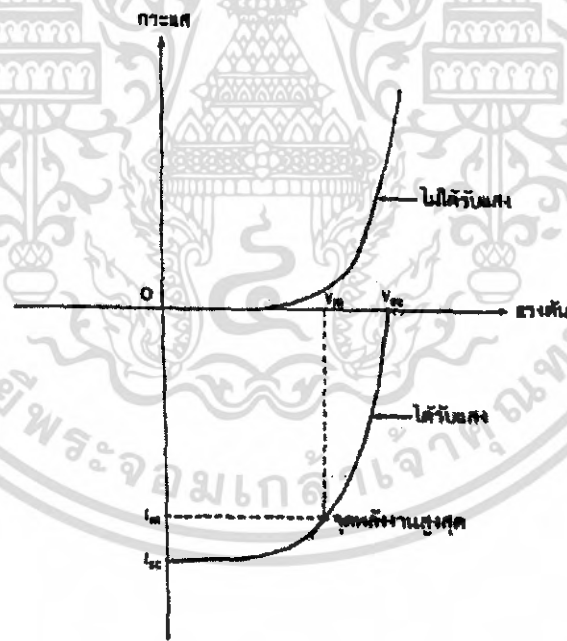
กระแสไฟฟ้าที่เกิดขึ้นดังกล่าวนี้ถูกเรียกว่า “กระแสแสง” (Photo current) หรือเขียนย่อๆว่า I_p ลักษณะแถบพลังงานของรอยต่อพี-เอ็นขณะได้รับแสง แสดงได้ดังในรูปที่ 2.11 ดังนั้นอาจเขียนได้ว่ากรณีรอยต่อได้รับแสง (illumination)

$$I = I_0 (e^{qVA/kT} - 1) - I_p \dots\dots\dots(2.11)$$

โดยที่ I_p : กระแสเนื่องจากแสง(Photo current)
และกระแสเนื่องจากแสงสามารถแสดงได้โดยสมการที่ 2.12

$$I_p = q \cdot A \cdot g_{op} (L_p + L_n) \dots\dots\dots(2.12)$$

เมื่อ q : ประจุของอิเล็กตรอน (คูโลมบ์)
 A : พื้นที่ของรอยต่อพี-เอ็นที่ถูกแสง
 g_{op} : อัตราการเกิด ประจุพาหะคู อิเล็กตรอน-โฮลเนื่องจากแสง(Optical Generation rate)
 L_p+L_n : คือระยะการแพร่ของอิเล็กตรอนและ โฮลตามลำดับ
ดังนั้นคุณสมบัติของรอยต่อพี-เอ็นขณะได้รับแสงและไม่ได้รับแสงสามารถเขียนแสดงเปรียบเทียบได้ดังในรูปที่ 2.21



รูปที่ 2.21 ลักษณะความสัมพันธ์ระหว่างกระแสและแรงดันของรอยต่อพีเอ็นขณะที่ไม่ได้รับแสงและได้รับแสง

2.14 พารามิเตอร์ของเซลล์แสงอาทิตย์แบบรอยต่อพี-เอ็น

เนื่องจากเซลล์แสงอาทิตย์ชนิดนี้มีลักษณะโครงสร้างแบบรอยต่อพี-เอ็น ดังนั้นคุณสมบัติทางไฟฟ้าจึงเหมือนกับคุณสมบัติของรอยต่อพี-เอ็นทุกประการ และโดยที่เซลล์แสงอาทิตย์ถูกนำไปใช้เป็นอุปกรณ์ สำหรับเปลี่ยนพลังงานแสง เป็นพลังงานไฟฟ้าหรือก็คือเซลล์แสงอาทิตย์ถูกนำไปใช้เป็นแหล่งจ่ายพลังงาน ซึ่งจะต้องให้ทั้งแรงดันไฟฟ้าและกระแสไฟฟ้าออกจากตัวเซลล์

ในขณะที่เซลล์ ถูกลัดวงจร เมื่อเซลล์ได้รับแสงจะทำให้เกิดกระแสเนื่องจากแสงไหลออกมาจากเซลล์ผ่านวงจรในภาวะนี้กระแสจะมีค่าสูงสุดและถูกเรียกว่า กระแสลัดวงจร (Short circuit current) เขียนย่อๆว่า I_{sc} ค่าของกระแสลัดวงจรนี้ พิจารณาหาได้จาก สมการที่ 2.8 เมื่อกำหนดให้ขั้วลัดวงจร $V_A = 0$, ดังนั้นสมการ 2.8 เขียนใหม่ได้ว่า

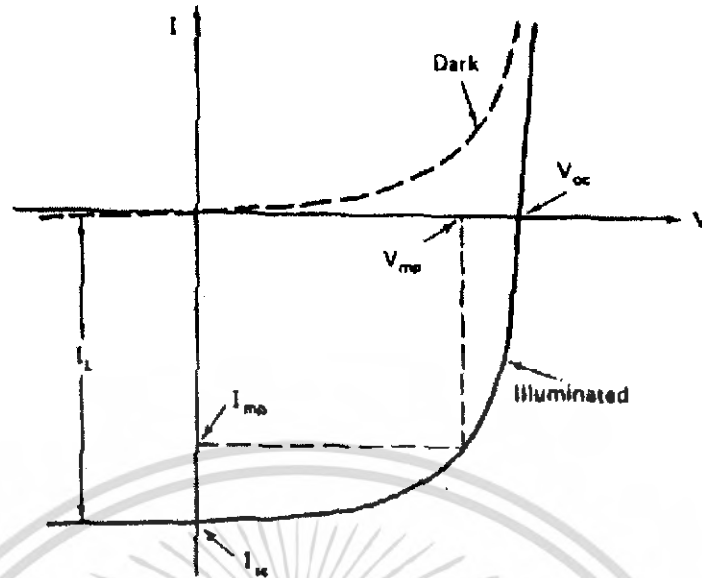
$$I = -I_p \quad (2.13)$$

ในขณะที่เซลล์ถูกเปิดวงจรออก (open circuit) และที่รอยต่อได้รับแสงจะพบว่ากระแสที่ไหลในวงจรจะเป็นศูนย์ เนื่องจากวงจรถูกเปิด แรงดันที่ปรากฏกรอรรอยต่อพี-เอ็น ขณะนี้ถูกเรียกว่า แรงดันวงจรเปิด (open circuit voltage) เขียนย่อๆ ว่า V_{oc} ค่า ของ V_{oc} นี้หาได้ โดยพิจารณาว่า

เมื่อเซลล์ถูกเปิดวงจร $I = 0$ สมการที่ 2.8 เขียนใหม่ได้ว่า

$$0 = I_o(e^{qV_A/kT} - 1) - I_p \quad (2.14)$$

$$\text{ดังนั้น} \quad V_A = V_{oc} = \frac{kT}{q} (\ln \frac{I_p}{I_o} + 1) \quad (2.15)$$



รูปที่ 2.22 คุณสมบัติของเซลล์แสงอาทิตย์และพารามิเตอร์ที่สำคัญของ I_{sc} และ I_{oc} แสดงไว้ในกราฟคุณสมบัติของเซลล์แสงอาทิตย์

กระแสไฟฟ้าเนื่องจากแสงที่เกิดขึ้นจะมีขนาดมากหรือน้อยขึ้นอยู่กับพารามิเตอร์ต่างๆ ดังนี้ คือ ขนาดของพื้นที่บริเวณรอยต่อพี-เอ็นซึ่งได้รับแสง สัมประสิทธิ์ในการดูดกลืนแสง เพื่อเกิดประจุพาหะคู่อิเล็กตรอน-โฮล ระยะความลึกของรอยต่อพี-เอ็น ขนาดความกว้างของบริเวณปลอดพาหะ ค่าความคล่องตัวของประจุพาหะในเนื้อสารกึ่งตัวนำ ค่าความเร็วในการรวมตัวของประจุพาหะที่ผิว และค่าความต้านทานอนุกรมของเซลล์ โดยทั่วไป กระแสลัดวงจร

ในเซลล์แสงอาทิตย์แบบรอยต่อพี-เอ็นของซิลิกอน จะมีค่าประมาณ $35-40 \text{ mA/cm}^2$ และในกรณีของแกลเลียมอาเซนไนด์ค่า I_{sc} จะอยู่ในราว 20 mA/cm^2 โดยวัดที่ค่า Air mass 0,(AMO)

ส่วนค่าของแรงดันวงจรเปิด (Open circuit voltage V_{oc}) จะมีค่ามากขึ้นอยู่กับขนาดของช่องว่างพลังงาน (Energy gap E_g) ของสารกึ่งตัวนำที่ใช้ทำเป็นเซลล์อย่างไรก็คือค่า V_{oc} นี้จะมีขนาดจำกัด คือสูงสุดไม่เกิดค่าของความกว้างของช่องว่างพลังงานและปกติ ค่าของ V_{oc} ในเซลล์แบบซิลิกอนมีค่าประมาณ 0.5-0.8 โวลต์ และในกรณีของสารแกลเลียมอาเซนไนด์ V_{oc} จะมีค่าราว 0.9 โวลต์

อย่างไรก็ตามขณะที่นำเซลล์ไปใช้งาน เซลล์จะไม่อยู่ในภาวะลัดวงจร หรือเปิดวงจรดังนี้ เนื่องจากเซลล์จะต้องถูกต่อเข้ากับโหลด (load) ซึ่งมีค่าความต้านทานค่าหนึ่ง ดังนั้นแรงดันและกระแสที่เซลล์แสงอาทิตย์จ่ายออกมาให้แก่โหลดจะมีค่าน้อยกว่าค่า V_{oc} และ I_{sc} โหลดซึ่งนำมาต่อเมื่อมีค่าความต้านทานที่เหมาะสมค่าหนึ่ง จะทำให้ผลคูณของแรงดันและกระแสที่เซลล์จ่ายออกมามี

ค่าสูงสุดหรือที่เรียกว่า “ค่ากำลังงานสูงสุด” (maximum power) ที่เซลล์จ่ายให้แก่โหลดได้เขียนย่อๆได้ว่า P_m

ค่าของกระแสและแรงดันที่ทำให้เกิดกำลังไฟฟ้าสูงสุดเขียนอักษรย่อแทนเป็น I_m และ V_m ตามลำดับ นั่นคือ

$$P_m = I_m \cdot V_m \quad (2.16)$$

และค่าความต้านทานของโหลดที่เหมาะสมทำได้โดยสมการ 2.13

$$R_{load} = V_m / I_m \quad (2.17)$$

ค่า P_m , V_m และ I_m บนกราฟคุณสมบัติของเซลล์แสดงดังในรูปที่ 2.17

คุณสมบัติอีกอย่างหนึ่งของเซลล์แสงอาทิตย์ก็คือค่าฟิลแฟคเตอร์ (fill factor) เขียนอักษรย่อเป็น F.F ค่าฟิลแฟคเตอร์ของเซลล์ ถูกนิยามไว้ว่า คือ อัตราส่วนระหว่างค่าพลังงานสูงสุดที่เซลล์จะจ่ายให้แก่โหลดได้จริง กับค่าของพลังงานสูงสุดในทางอุดมคติที่เซลล์จ่ายได้นั่นก็คือ

$$F.F = P_m / P_o = (I_m \cdot V_m / I_{sc} \cdot V_{oc}) \quad (2.18)$$

ค่าของฟิลแฟคเตอร์นี้จะไม่เกิน 1 ถ้าฟิลแฟคเตอร์มีค่าใกล้ 1 แสดงว่าเซลล์สามารถจ่ายพลังงานไฟฟ้าออกมาได้ใกล้เคียงกับเซลล์ในทางอุดมคติมาก เซลล์ที่ใช้งาน โดยทั่วไปค่าฟิลแฟคเตอร์จะมีค่าระหว่าง 0.6 - 0.8 นอกจากนี้คุณสมบัติประการสำคัญยิ่งของเซลล์แสงอาทิตย์ก็คือ ค่าประสิทธิภาพของการเปลี่ยนพลังงาน (energy conversion efficiency) เขียนตัวย่อเป็น η ประสิทธิภาพของเซลล์ถูกนิยามไว้คืออัตราส่วนระหว่างพลังงานสูงสุดที่ได้จากเซลล์กับพลังงานแสงอาทิตย์ที่ตกกระทบบนเซลล์ นั่นก็คือ

$$\begin{aligned} \eta &= (\text{พลังงานไฟฟ้าสูงสุดที่ได้จากเซลล์/พลังงานแสงที่เซลล์ได้รับ}) \times 100\% \\ &= [(I_m \cdot V_m) / P_{in}] \times 100\% \\ \eta &= [(F.F \times I_{sc} \cdot V_{oc}) / P_{in}] \times 100\% \end{aligned} \quad (2.19)$$

ในปัจจุบันนี้เซลล์แสงอาทิตย์แบบรอยต่อพี - เอ็นของผลึกรูปเดี่ยวของซิลิกอนที่ใช้งานกัน โดยทั่วไปจะมีประสิทธิภาพในการเปลี่ยนพลังงานในช่วง 12 - 14% เซลล์แสงอาทิตย์ที่ดีควรมีค่าพารามิเตอร์ต่างๆเช่น I_{sc} , V_{oc} , P_m , F.F

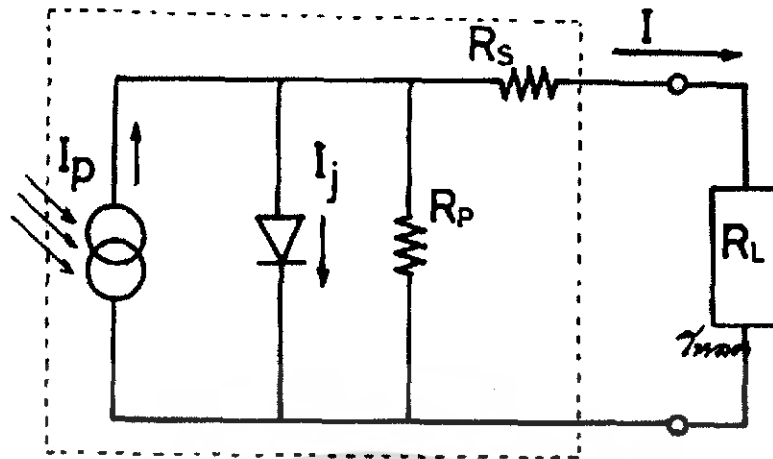
ซึ่งมีค่าสูงๆ อย่างไรก็ตามก็พิจารณาตัวแปรต่างๆ เหล่านี้ที่ถูกจำกัดด้วยแฟคเตอร์อื่นๆมากมาย ซึ่งบางแฟคเตอร์ก็ไม่สามารถเปลี่ยนแปลงได้ แต่บางแฟคเตอร์ก็สามารถที่จะปรับปรุงแก้ไขและพัฒนาให้ดีขึ้นได้

2.15 โครงสร้างของเซลล์แสงอาทิตย์แบบรอยต่อพี-เอ็นและวงจรมุม

ลักษณะโครงสร้างโดยทั่วไปของเซลล์แสงอาทิตย์แบบรอยต่อพี-เอ็น แสดงได้ดังในรูปที่ 2.16 โดยการแพร่สารเจือสารเจือชนิดพี ลงไปในแผ่นผลึกซิลิกอนชนิดเอ็น จะทำให้เกิดรอยต่อพี-เอ็นขึ้น ความลึกของรอยต่อพี-เอ็น จะมีผลต่อประสิทธิภาพของเซลล์ ปกติความลึกของรอยต่อพี-เอ็นจะมีค่าน้อยกว่า 1 เพื่อให้พลังงานจากโฟตอนของลำแสงสามารถผ่านเข้าไปถึงบริเวณรอยต่อได้โดยสะดวก ชั้นป้องกันการสะท้อนของแสงมีหน้าที่ช่วยดูดกลืนแสงและช่วยลดการสะท้อนกลับของแสง จึงมีผลช่วยเพิ่มปริมาณการดูดกลืนแสง รอยสัมผัสทางด้านหน้าของเซลล์มักใช้โลหะอะลูมิเนียม ทำเป็นลายนิ้วมือ หรือลายก้างปลา ทำหน้าที่รับกระแสออกมาจากรอยต่อ ส่วนทางด้านล่างของเซลล์จะถูกฉาบด้วยอะลูมิเนียมเช่นกัน เพื่อทำหน้าที่เป็นขั้วไฟฟ้าลบของเซลล์ อย่างไรก็ตาม การนำเซลล์ไปต่อร่วมกันหลายๆ เซลล์นิยมใช้วิธีการบัดกรี ดังนั้นเพื่อให้สามารถบัดกรีต่อสายร่วมกันได้ จึงนิยมนำเซลล์ไปทำการชุบนิเกิล เพื่อให้ส่วนที่เป็นขั้วสัมผัสมากและลบของเซลล์สามารถบัดกรีต่อหาสายร่วมกันได้

2.16 ผลของความต้านทานอนุกรมและความต้านทานขนานของเซลล์แสงอาทิตย์

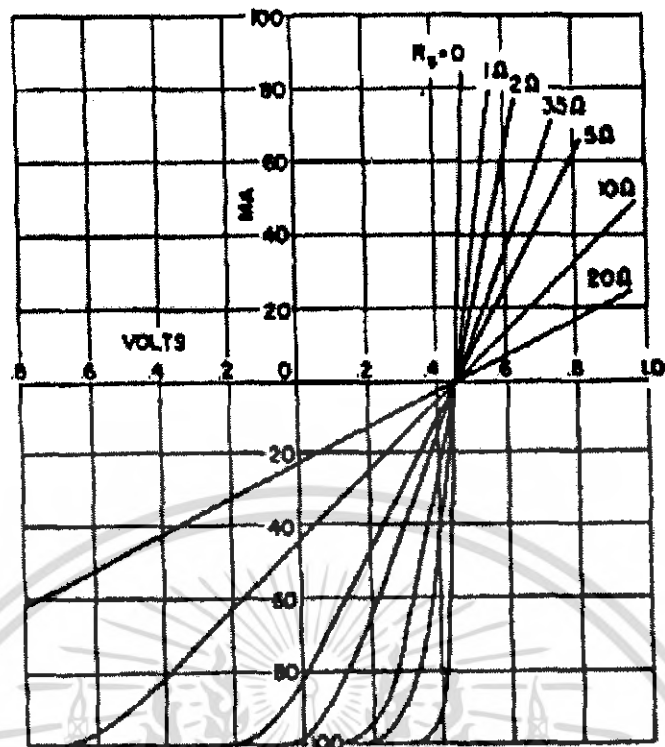
จากวงจรมุมของเซลล์แสงอาทิตย์ในขณะใช้งาน จะเห็นว่า กระแสเนื่องจากแสง (photo current) แทนด้วยแหล่งจ่ายกระแส (current source I_p) ซึ่งจะจ่ายกระแสไฟฟ้าออกมามีทิศทางตรงกันข้ามกับกระแสไฟฟ้าที่ไหลผ่านรอยต่อพี-เอ็น ในทางอุดมคติ I_p ค่าความต้านทานอนุกรม (serie resistance R_s) เกิดขึ้นได้เนื่องจากค่าความต้านทานของเนื้อสารกึ่งสารตัวนำ ค่าความต้านทานของบริเวณรอยสัมผัสโอมห์มิก (ohmic contact)



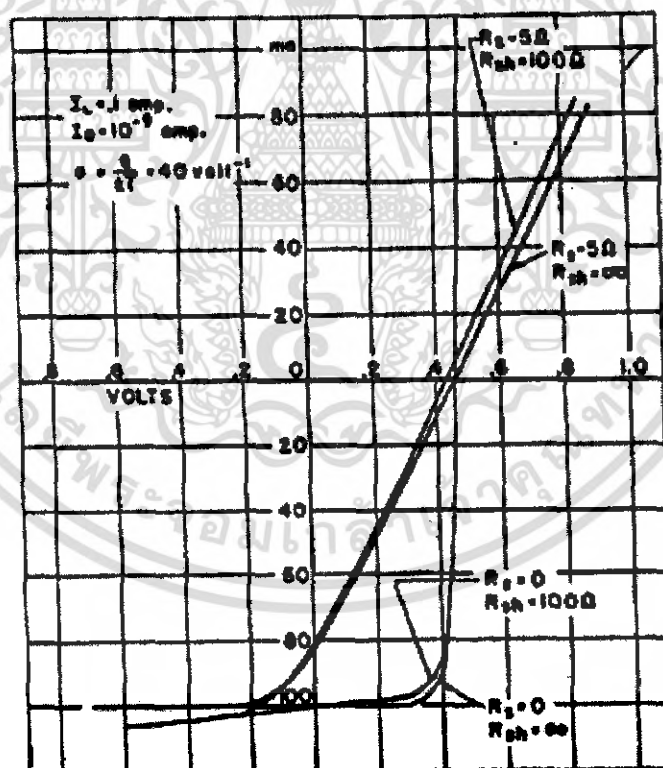
รูปที่ 2.23 ลักษณะวงจรสมมูลของเซลล์แสงอาทิตย์แบบรอยต่อพีเอ็น

ระหว่างโลหะกับส่วนพีและส่วนเอ็น ค่าความต้านทานของเส้นทางลวดตัวนำที่ใช้ต่อ ผลรวมของค่าความต้านทานอนุกรมทั้งหมดเขียนตัวย่อได้เป็น R_s , ค่าความต้านทานขนานหรือ R_p (parallel resistance หรือ shunt resistance) เป็นค่าความต้านทานสมมุติที่ขนานกับรอยต่อโนรอยต่อพี-เอ็นที่สมบูรณ์ ในทางอุดมคติค่าของ R_p จะมีค่าเป็นค่าอนันต์ (∞) และในเซลล์แสงอาทิตย์อุดมคติค่าของ R_s จะมีค่าเป็นค่าศูนย์ แต่ในทางปฏิบัติ เนื่องจากผลึกของสารกึ่งตัวนำที่ใช้มีจุดเสีย (defect) เกิดขึ้นหรือกล่าวอีกนัยหนึ่งก็คือ ความไม่สมบูรณ์ของรอยต่อโดยเฉพาะรอยต่อที่มีพื้นที่ขนาดใหญ่ย่อมมีส่วนที่ไม่สมบูรณ์ปรากฏอยู่ จึงทำให้รอยต่อพี-เอ็นไม่สมบูรณ์ดังนั้นค่า R_p จึงไม่สูงเป็นค่าอนันต์และค่า R_s ก็มีค่าไม่เป็นศูนย์ ผลของค่า R_s และ R_p จะทำให้คุณสมบัติของเซลล์เปลี่ยนแปลงไปดังแสดงได้ในรูปที่ 2.23

อย่างไรก็ดีโดยทั่วไปแล้วจะพบว่าในเซลล์แสงอาทิตย์ที่ใช้งานค่าความต้านทานขนาน R_p จะมีค่าสูงพอที่ไม่พิจารณาผลที่เกิดขึ้น แต่ค่าความต้านทานอนุกรม R_s จะมีผลและบทบาทที่สำคัญยิ่งคุณสมบัติของเซลล์ ในการออกแบบลักษณะโครงสร้าง การสร้าง จึงต้องพิจารณาผลของค่า R_s อย่างรอบคอบและพยายามให้มีค่าน้อยที่สุดเท่าที่จะสามารถทำได้ขณะที่ค่า R_s สูงขึ้นพลังงานสูงสุดซึ่งเซลล์จะสามารถจ่ายได้จะมีค่าลดลงและแสดงได้ดังรูปที่ 2.24



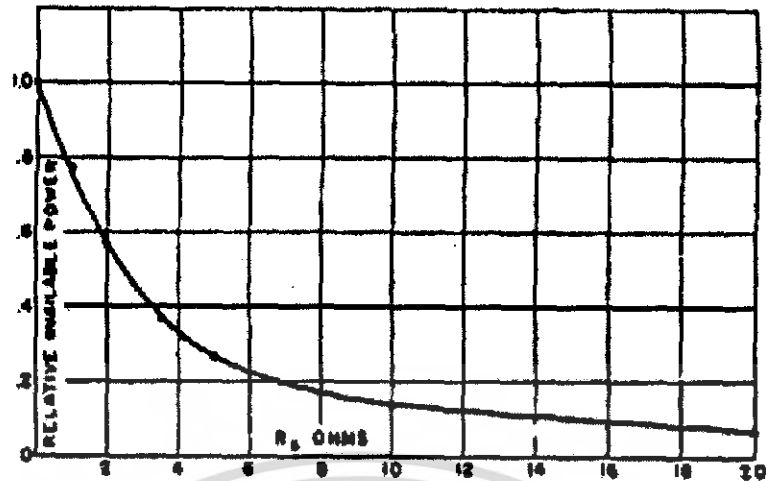
(ก)



(ข)

รูปที่ 2.24 (ก) ผลของความต้านทานอนุกรมและ (ข) ผลของความต้านทานขนาน

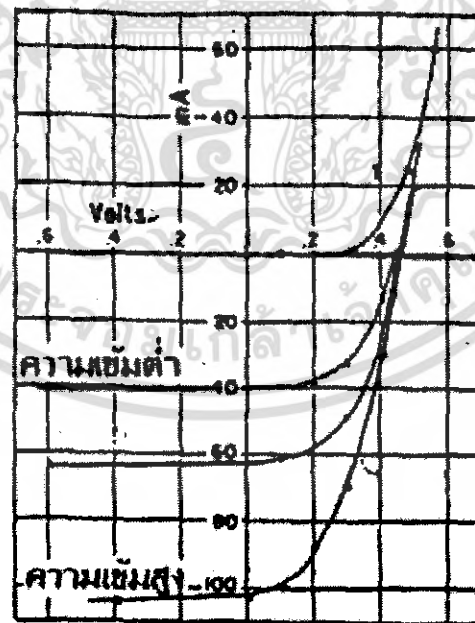
เอกสารนี้เป็นเอกสารที่สงวนไว้สำหรับการใช้งานเพื่อการศึกษาเท่านั้น ไม่อนุญาตให้นำไปใช้ประโยชน์ด้านการค้า ไม่ว่ากรณีใดๆ ทั้งสิ้น อีกทั้งห้ามมิให้ตัดแปลงเนื้อหา และต้องอ้างอิงถึงเจ้าของเอกสารทุกครั้งที่มีการนำไปใช้



รูปที่ 2.25 การลดลงของพลังงานขณะที่ยค่าความต้านทานอนุกรมเพิ่มขึ้น

2.17 ผลของความเข้มแสงที่มีต่อเซลล์แสงอาทิตย์

เนื่องจากเซลล์แสงอาทิตย์ขณะทำงานจำเป็นต้องมีแสงมากมากระตุ้นให้อิเล็กตรอนได้รับพลังงานสูงพอที่จะเป็นอิสระและทิ้งโฮลให้เกิดขึ้น ดังนั้นถ้าหากแสงที่มากกระทบ มีความเข้มสูงมาก หรือ ก็คือปริมาณความหนาแน่นของโฟตอนมีค่าสูง ก็จะทำให้เกิดคู่ประจุพาหะอิเล็กตรอนโฮล เป็นจำนวนมาก ผลที่ได้จะทำให้ปริมาณกระแสเนื่องจากแสงมีค่าเพิ่มมากขึ้นตามความเข้มแสง ดังแสดงในรูปที่ 2.26



รูปที่ 2.26 ผลของความเข้มแสงที่มีต่อคุณสมบัติของเซลล์แสงอาทิตย์

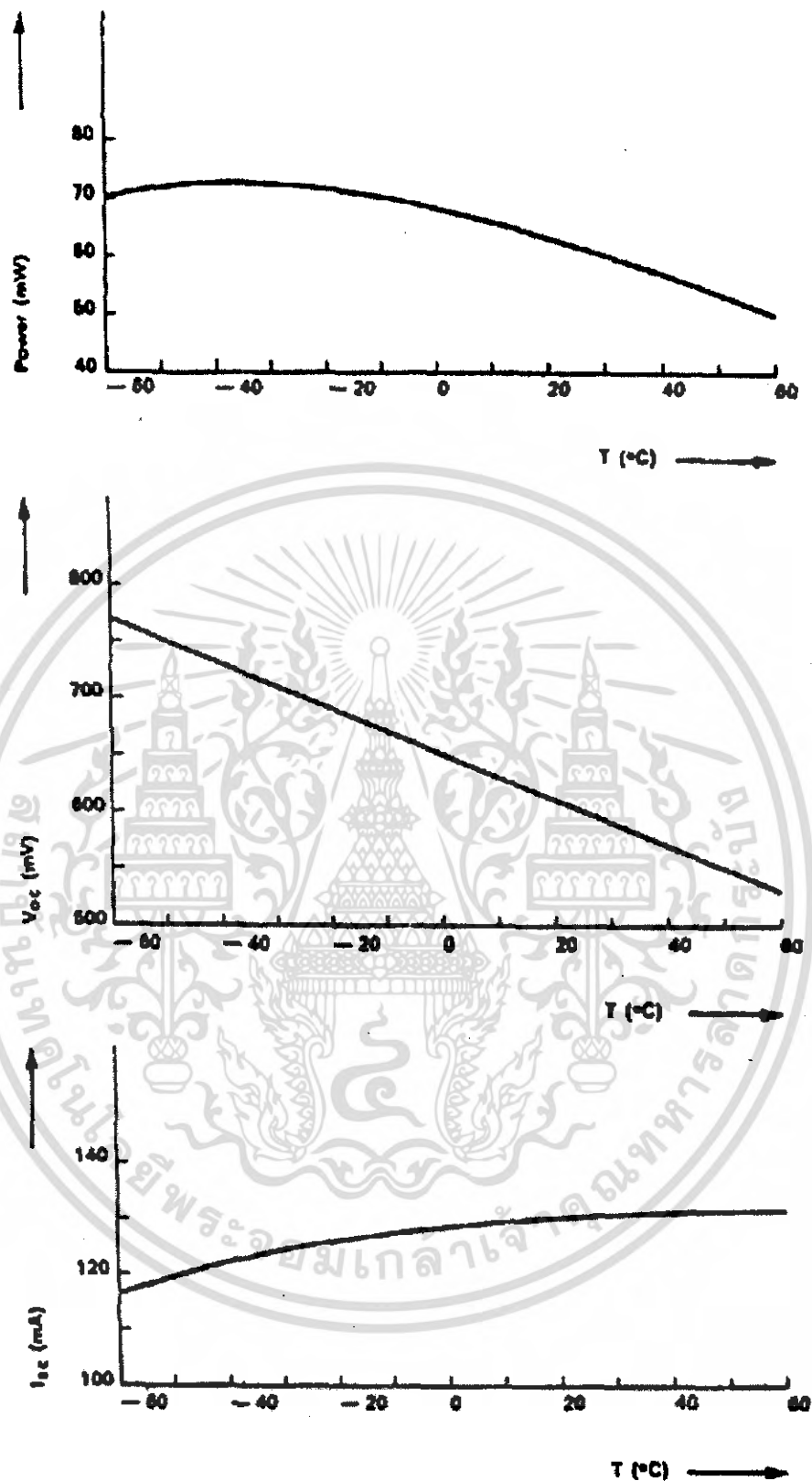
เอกสารนี้เป็นเอกสารที่สงวนไว้สำหรับการใช้งานเพื่อการศึกษาเท่านั้น ไม่อนุญาตให้นำไปใช้ประโยชน์ด้านการค้า ไม่ว่าจะกรณีใดๆ ทั้งสิ้น อีกทั้งห้ามมิให้ตัดแปลงเนื้อหา และต้องอ้างอิงถึงเจ้าของเอกสารทุกครั้งที่มีการนำไปใช้

2.18 ผลของอุณหภูมิที่มีต่อเซลล์แสงอาทิตย์

ในการนำเซลล์แสงอาทิตย์ไปใช้งานจริง เซลล์จะต้องได้รับความร้อนจากแสงอาทิตย์ด้วย ดังนั้นอุณหภูมิของเซลล์จึงเพิ่มขึ้นผลที่ติดตามมาก็คือ คุณสมบัติของเซลล์จะเปลี่ยนแปลงไป ซึ่งพอจะสรุปได้ว่า ขณะที่อุณหภูมิของเซลล์เพิ่มขึ้น พารามิเตอร์ที่สำคัญของเซลล์คือ I_{sc} จะมีค่าเพิ่มขึ้น แต่ค่า V_{oc} จะมีค่าลดลง และผลดังกล่าวจะทำให้ค่าของพลังงานที่เซลล์จะจ่ายได้ จะมีค่าลดลง ดังแสดงในรูป 2.27



เอกสารนี้เป็นเอกสารที่สงวนไว้สำหรับการใช้งานเพื่อการศึกษาเท่านั้น ไม่อนุญาตให้นำไปใช้ประโยชน์ด้านการค้า ไม่ว่าจะกรณีใดๆ ทั้งสิ้น อีกทั้งห้ามมิให้คัดแปลงเนื้อหา และต้องอ้างอิงถึงเจ้าของเอกสารทุกครั้งที่มีการนำไปใช้



รูปที่ 2.27 ผลของอุณหภูมิที่มีต่อพารามิเตอร์ต่างๆของเซลล์แสงอาทิตย์

เอกสารนี้เป็นเอกสารที่สงวนไว้สำหรับการใช้งานเพื่อการศึกษาเท่านั้น ไม่อนุญาตให้นำไปใช้ประโยชน์ด้านการค้า ไม่ว่าจะกรณีใดๆ ทั้งสิ้น อีกทั้งห้ามมิให้ตัดแปลงเนื้อหา และต้องอ้างอิงถึงเจ้าของเอกสารทุกครั้งที่มีการนำไปใช้

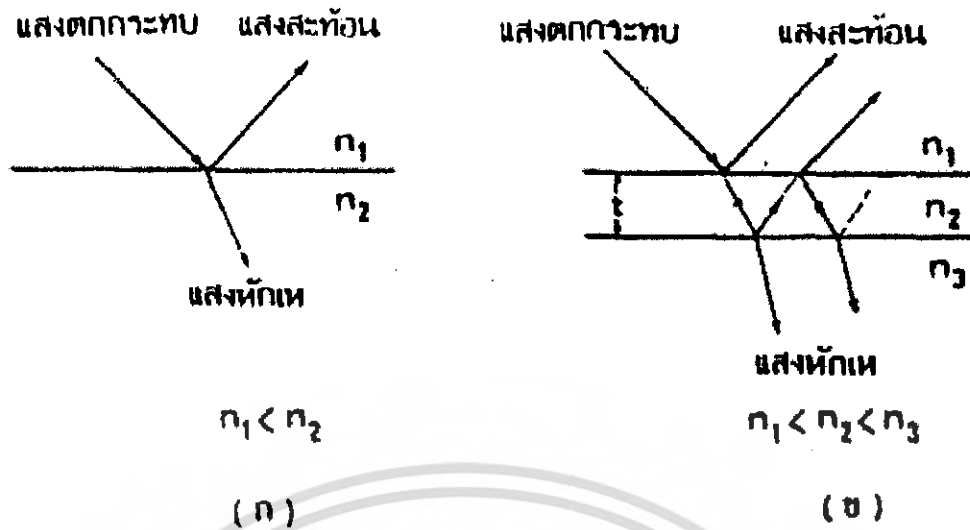
2.19 ผอของชั้นลดการสะท้อนแสงที่มีต่อเซลล์

ในการนำเซลล์ไปใช้งานเพื่อเปลี่ยนพลังงานแสงมาเป็นพลังงานไฟฟ้านั้น เนื่องจากแสงทั้งหมดที่ส่องมากระทบผิวหน้าของเซลล์ จะมีบางส่วนถูกดูดกลืนเอาไว้เพื่อนำไปเป็นเปลี่ยนเป็นพลังงานไฟฟ้า และมีบางส่วนสะท้อนไปจากผิวหน้าของเซลล์ แสงส่วนที่สะท้อนออกไปจากผิวหน้านี้เองที่สูญเสียไปโดยไม่เกิดประโยชน์ เพื่อที่จะนำแสงส่วนนี้มาใช้ประโยชน์อีกจึงควรมีชั้นลดการสะท้อนแสงที่ผิวหน้าของเซลล์ ทั้งนี้เป็นชั้นที่ยอมให้แสงผ่านเข้าไปยังผิวหน้าของเซลล์ได้เมื่อแสงสะท้อนกลับออกจากผิวหน้าของเซลล์ อีก ช่วยให้เซลล์ได้รับความเข้มแสงเพิ่มมากขึ้นกว่าเดิม จึงทำให้เซลล์ สามารถผลิตพลังงานไฟฟ้าได้สูงขึ้นตามไปด้วย ชั้นลดการสะท้อนแสง จะช่วยให้แสงสะท้อนกลับไปยังผิวหน้าของเซลล์ได้มากขึ้นเพียงใดจะขึ้นกับดัชนีหักเห และความหนาของสารที่ใช้เป็นชั้นลดการสะท้อนแสง

การสะท้อนของแสงในตัวกลางต่างชนิดกัน เมื่อแสงเดินทางผ่านตัวกลาง 2 ชนิด จะมีแสงส่วนหนึ่งสะท้อนกลับ และส่วนหนึ่ง หักเหผ่านกลาง สัมประสิทธิ์ของการสะท้อนกลับโดยที่ เป็นค่าดัชนีหักเหแสงของตัวกลาง 2 ชนิด

เมื่อแสงเดินทางผ่านตัวกลางที่มีดัชนีหักเหแสง ไปยังตัวกลางที่มีดัชนีหักเหแสง แสงส่วนใหญ่จะหักเหเข้าสู่ตัวกลางที่มีดัชนีหักเห และแสงส่วนน้อยจะสะท้อนกลับออกไปในทางตรงกันข้ามแล้วแสงส่วนใหญ่สะท้อนกลับออกไป ดังรูปที่ 2.28

ถ้าแสงเดินทางผ่านตัวกลาง 3 ชนิด ที่มีดัชนี หักเหแสงเป็นตามลำดับ แสงส่วนใหญ่จะหักเหเข้าสู่ตัวกลางที่ 2 และ 3 แสงส่วนที่สะท้อนออกจากผิวหน้าของตัวกลางที่ 3 เมื่อมาถึงผิวหน้าของตัวกลางที่ 2 แสงส่วนใหญ่จะสะท้อนกลับลงมายังหน้าของตัวกลางที่ 3 อีก และแสงส่วนน้อยหักเหเข้าสู่ตัวกลางที่ 1 ดังรูปที่ 2.28 การสะท้อนกลับนี้เอง ที่ให้ผิวหน้าของตัวกลางที่ 3 ได้รับความเข้มแสงเพิ่มขึ้น



รูปที่ 2.28 การสะท้อนแสงในตัวกลาง

(ก) 2 ชนิด (ข) 3 ชนิด



เอกสารนี้เป็นเอกสารที่สงวนไว้สำหรับการใช้งานเพื่อการศึกษาเท่านั้น ไม่อนุญาตให้นำไปใช้ประโยชน์ด้านการค้า ไม่ว่าจะกรณีใดๆ ทั้งสิ้น อีกทั้งห้ามมิให้คัดแปลงเนื้อหา และต้องอ้างอิงถึงเจ้าของเอกสารทุกครั้งที่มีการนำไปใช้

บทที่ 3

การคำนวณและการออกแบบวงจร

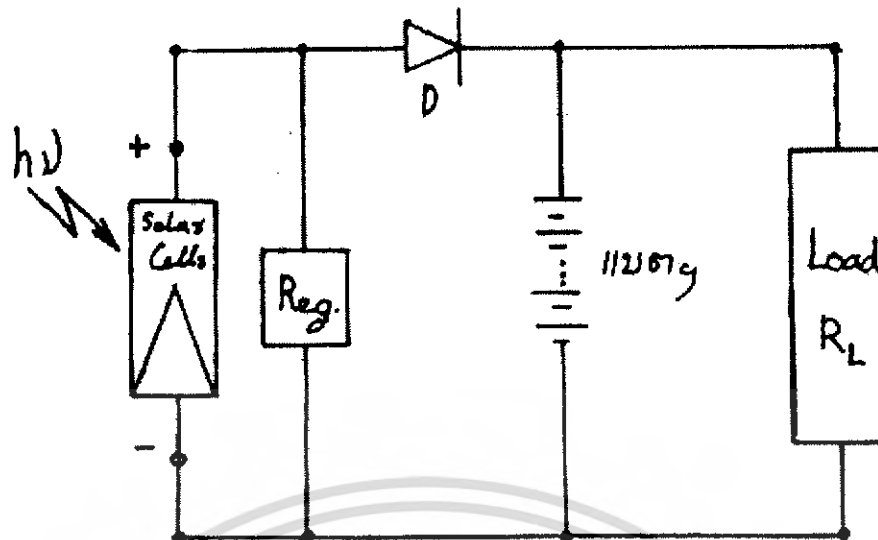
3.1 เซลล์แสงอาทิตย์

ในการนำเซลล์แสงอาทิตย์ไปใช้เป็นตัวจ่ายพลังงานให้แก่อุปกรณ์ไฟฟ้าหรือโหลด (Load) ในระบบใด ๆ นั้น เนื่องจากเซลล์ ตัวเดี่ยว ๆ หรือแผงเซลล์ ที่มีขายอยู่ในท้องตลาดทั่วไป บางครั้งอาจไม่เหมาะสมที่นำไปใช้งานโดยตรง ทั้งนี้เนื่องมาจากปริมาณกระแสหรือแรงดันที่เซลล์ หรือแผงเซลล์ นั้น ๆ จ่ายออกมาไม่เหมาะสมกับระบบดังกล่าว ดังนั้นจึงจำเป็นต้องมีการคำนวณเพื่อหาปริมาณเซลล์หรือแผงเซลล์ ทั้งหมดที่จะนำมาทำการต่อในลักษณะที่เหมาะสมกับระบบนั้น ๆ เสียก่อน ซึ่งข้อดีของการต่อในลักษณะต่าง ๆ พอสรุปได้ดังนี้

- ถ้านำเซลล์ หรือแผงเซลล์ มาต่อกันในลักษณะอนุกรม จะทำให้ได้ค่าแรงดันเพิ่มขึ้น
- ถ้านำเซลล์ หรือแผงเซลล์ มาต่อกันในลักษณะขนาน จะทำให้ได้ปริมาณกระแสเพิ่มขึ้น

ยิ่งกว่านั้นในการคำนวณเพื่อออกแบบระบบเซลล์ ในการใช้งานยังจำเป็นต้องพิจารณาส่วนประกอบอื่นๆ ที่นำมาประกอบในระบบอีก ดังที่ได้กล่าวมาในบทที่แล้ว รวมทั้งปริมาณพลังงานแสงแดดที่เซลล์ จะได้รับในแต่ละวัน หรือโดยเฉลี่ยแต่ละเดือน แต่ละปี ในแต่ละพื้นที่ภูมิประเทศอีกด้วย สำหรับการออกแบบระบบการใช้งานเซลล์แสงอาทิตย์ที่จะกล่าวถึงต่อไปนี้จะพิจารณาเฉพาะระบบที่มีเซลล์ เป็นแหล่งจ่ายพลังงานให้แก่ระบบ โดยลำพัง และอาจมีแบตเตอรี่เป็นตัวเก็บสะสมพลังงานเพื่อเอาไว้ใช้ในเวลาที่เซลล์ ไม่สามารถจ่ายพลังงาน ออกมาได้ เช่นในช่วงเวลากลางคืน เป็นต้น ระบบดังกล่าวนี้ถูก เรียกว่า “ระบบแบบลำพัง (Stand Alone System)”

ก่อนอื่นจะขอพิจารณาระบบการใช้งานเซลล์ อย่างง่าย ๆ ดังแสดงในรูปที่ 3.1 เพื่อให้เป็นพื้นฐานความเข้าใจ ในการพิจารณาศึกษาต่อไป



รูปที่ 3.1 ระบบการใช้งานเซลล์แสงอาทิตย์อย่างง่าย

จากรูปที่ 3.1 สมมติว่าโหลด R_L ที่ใช้นั้น มีความต้องการพลังงาน 48W ที่ 12V ให้ใช้งานในเวลากลางคืนวันละ 10 ชม. ไดโอด (D) ทำหน้าที่เป็นบล็อกกิ้งไดโอด มีค่าแรงดันขณะ Forward เป็น 0.6v และให้พลังงานแสง ($h\nu$) ตกกระทบบนเซลล์ ในปริมาณคงที่ และมีความเข้มเพียงพอวันละ 8 ชม. และเพื่อเป็นการถนอมอายุการใช้งานแบตเตอรี่ จึงกำหนดให้แบตเตอรี่มีการคายประจุ (discharge) เพียง 25% จึงหาลักษณะการต่อเซลล์ จำนวนเซลล์ ทั้งหมดที่ใช้ และขนาดของแบตเตอรี่ ที่เหมาะสม กำหนดให้เซลล์ แต่ละตัวมีค่ากระแสและแรงดัน ณ จุด กำลังงาน ไฟฟ้าสูงสุด (power maximum) เป็น 300 mA และ 0.5V ตามลำดับ

วิธีทำ เนื่องจาก R_L มีความต้องการกระแส $= \frac{48W}{12V} = 4 \text{ A}$

ดังนั้น แบตเตอรี่ ต้องจ่ายกระแสให้ R_L ในเวลากลางคืน $= 4 \times 10 = 40 \text{ A-h}$

กำหนดให้แบตเตอรี่มีการคายประจุ 25%

ขนาดความจุของแบตเตอรี่ ที่ใช้ $= \frac{40 \times 100}{25} = 160 \text{ A-h}$

เนื่องจากแบตเตอรี่ จะต้องถูกชาร์จ ให้เต็มในแต่ละวัน

ในแต่ละวันแบตเตอรี่จะต้องได้รับปริมาณกระแสจากเซลล์ $= 40 = 5 \text{ A}$

ต่อจากนั้นเซลล์ ยังต้องจ่ายปริมาณกระแสให้ R_L อีก 4 A

ขนาดของแผงเซลล์ จะต้องจ่ายกระแสได้ $= 5 + 4 = 9 \text{ A}$

เอกสารนี้เป็นเอกสารที่สงวนไว้สำหรับการใช้งานเพื่อการศึกษาเท่านั้น ไม่อนุญาตให้นำไปใช้ประโยชน์ด้านการค้า ไม่ว่าจะกรณีใดๆ ทั้งสิ้น อีกทั้งห้ามมิให้ตัดแปลงเนื้อหา และต้องอ้างอิงถึงเจ้าของเอกสารทุกครั้งที่มีการนำไปใช้

เซลล์ 1 เซลล์สามารถจ่ายกระแสได้ 300 mA

$$\text{ต้องใช้เซลล์ มาต่อขนานกันจำนวน} = \frac{9}{0.3} = 30 \text{ เซลล์}$$

เนื่องจากในการประจุแบตเตอรี่ โดยปกติจะต้องให้แหล่งจ่ายพลังงานมีค่าแรงดันสูงกว่า แบตเตอรี่ ประมาณ 15% และเมื่อพิจารณาแรงดันที่ตกคร่อมไดโอดอีก 0.6 V

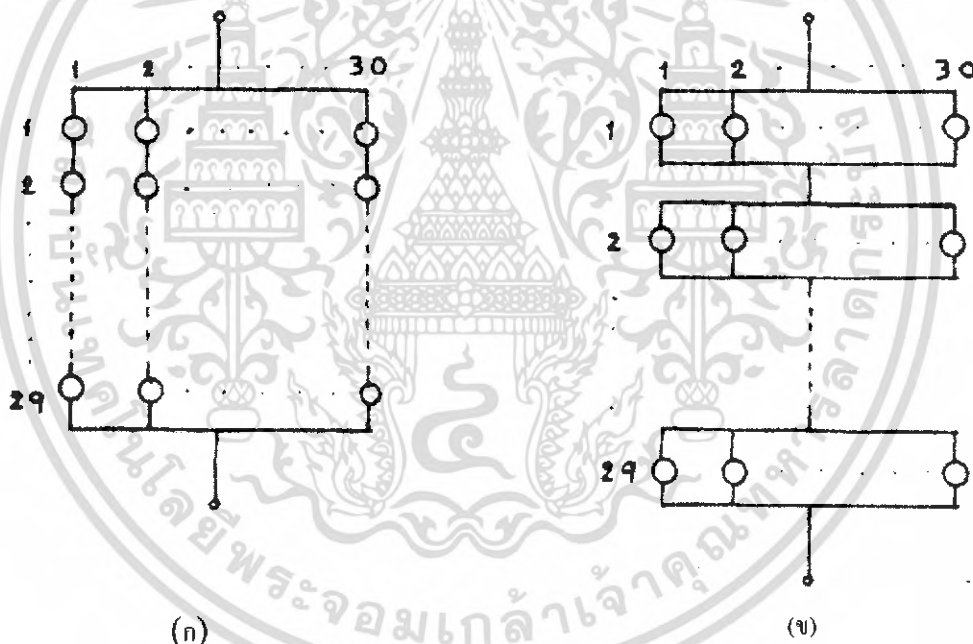
$$\begin{aligned} \text{ขนาดของแผงเซลล์ จะต้องมามีค่าแรงดันทั้งสิ้น} &= 12 \times 1.15 + 0.6 \text{ V} \\ &= 14.4 \text{ V} \end{aligned}$$

เซลล์ 1 เซลล์สามารถให้แรงดันขณะใช้งาน 0.5 V

$$\text{จะต้องใช้เซลล์ มาต่ออนุกรมกัน} = \frac{14.4}{0.5} \approx 29 \text{ เซลล์}$$

ดังนั้นต้องใช้เซลล์ มาต่อกันทั้งหมด $= 30 \times 29 = 870$ เซลล์

ในการต่อเซลล์ ดังกล่าวอาจต่อกันแบบ อนุกรม-ขนาน ดังรูปที่ 3.2 (ก) หรือต่อกันแบบ ขนาน-อนุกรม ดังรูปที่ 3.2 (ข) ก็ได้



รูปที่ 3.2 ลักษณะการต่อเซลล์แสงอาทิตย์

(ก) แบบอนุกรม-ขนาน (ข) แบบขนาน-อนุกรม

การต่อทั้ง 2 แบบนี้ จะให้พลังงานแก่ระบบอย่างเหมาะสมและเท่ากัน แต่ข้อดีของการต่อแต่ละแบบก็แตกต่างกัน อันจะมีผลถึงอายุการใช้งานของเซลล์ อีกด้วย

- ในกรณีของการต่อแบบอนุกรม-ขนานนั้น จะได้รับผลกระทบจากการที่เซลล์ใดเซลล์หนึ่งเกิดการลัดวงจร (Short circuit) น้อยกว่าการต่อแบบขนาน-อนุกรม

เอกสารนี้เป็นเอกสารที่สงวนไว้สำหรับการใช้งานเพื่อการศึกษาเท่านั้น ไม่อนุญาตให้นำไปใช้ประโยชน์ด้านการค้า ไม่ว่าจะกรณีใดๆ ทั้งสิ้น อีกทั้งห้ามมิให้ตัดแปลงเนื้อหา และต้องอ้างอิงถึงเจ้าของเอกสารทุกครั้งที่มีการนำไปใช้

- ในกรณีของการต่อแบบขนาน-อนุกรมนั้น จะได้รับผลกระทบจากการที่เซลล์ใดเซลล์หนึ่งเกิดวงจรเปิด (Open circuit) น้อยกว่าการต่อแบบอนุกรม-ขนาน

จากตัวอย่างที่ 1 เป็นเพียงการคำนวณออกแบบระบบการใช้งานเซลล์ อย่างง่าย ๆ ซึ่งเป็นการประหยัด และใช้งานได้ดีพอสมควร สำหรับระบบเล็ก ๆ ที่ไม่ต้องการ ความแม่นยำ(Accuracy) มากนัก

สำหรับระบบที่ต้องการ ความแม่นยำ สูงนั้น ข้อมูลจะต้องมีความละเอียด และถูกต้องแน่นอนมากขึ้น ซึ่งจะทำให้การคำนวณออกแบบระบบมีความละเอียดและยุ่งยากเพิ่มขึ้นด้วยเช่น จำเป็นจะต้องทราบว่า พลังงานที่ได้รับจากแสงอาทิตย์ แต่ละชั่วโมงหรือแต่ละวัน ในฤดูต่างๆ ณ ตำแหน่งที่จะติดตั้งเซลล์ นั้นมีลักษณะเช่นไร หรือตำแหน่งที่จะติดตั้งเซลล์ อยู่ที่ เส้นรุ้ง(Latitude) เท่าไร เพื่อที่จะได้ทราบมุมที่เหมาะสมในการติดตั้งเซลล์ เพื่อให้รับปริมาณแสงได้ดี นอกจากนั้นก็จำเป็นจะต้องมีส่วนสำรองพลังงานไว้อีกด้วย จะเห็นว่าถ้ายังมีข้อมูลละเอียดมากขึ้น ระบบก็ยิ่งจะมีความแม่นยำมากขึ้นด้วย และการออกแบบระบบก็จะยิ่งใกล้เคียงความจริงขึ้นทำให้ มีความประหยัด ในการออกแบบระบบเพิ่มขึ้นด้วย ดังตัวอย่างที่จะแสดงต่อไปนี้

สมมติ เมื่อต้องการจะออกแบบระบบเซลล์ เพื่อใช้งาน ณ เมือง เมลเบิร์น (Melbourne) ซึ่งตั้งอยู่ที่เส้นรุ้ง 37.8° ได้ มีความต้องการที่จะใช้เพื่อจ่ายพลังงานให้กับโหลดขนาด 100/24 อย่างต่อเนื่องตลอด ในการคำนวณหาปริมาณเซลล์พร้อมทั้งแบตเตอรี่ที่ใช้ในการกักสะสมพลังงานเพื่อจ่ายในเวลา ไม่มีแสงอาทิตย์ที่จำเป็นต้องใช้กำหนดให้แบตเตอรี่มีการสำรองพลังงานเพื่อไว้ 15 วัน และให้แบตเตอรี่มีการคายประจุได้สูงสุด 25% เพื่อถนอมอายุการใช้งานแบตเตอรี่ นอกจากนั้นยังให้ข้อมูลเกี่ยวกับพลังงานแสงอาทิตย์ที่ได้รับโดยเฉลี่ยแต่ละวันในแต่ละเดือนตลอดปี ดังแสดงในตารางที่ 6-1

$$\text{วิธีทำ} \quad \text{โหลดมีความต้องการกระแส} = \frac{100\text{W}}{24\text{V}} \times 24\text{h} = 100 \text{ A-h/day}$$

$$\text{ปริมาณกระแสที่ต้องการสำรองไว้} = 15 \text{ day} \times 100 \text{ A-h/day} \\ = 1500 \text{ A-h}$$

$$\text{เพื่อต้องการถนอมอายุของแบตเตอรี่ สะสมไว้ 75\% มีค่า} = \frac{1500 \text{ A-h}}{75} \times 100 = 2000 \text{ A-h}$$

$$\text{ซึ่งจะเห็นได้ว่า ขนาดความจุของแบตเตอรี่ ดังกล่าว} = \frac{2000 \text{ A-h}}{100 \text{ A-h/day}} = 20 \text{ day}$$

สามารถจ่ายได้โหลดได้

$$\text{หรือ} = 20 \text{ day} \times 24 \text{ h/day} = 490\text{h}$$

สำหรับในการออกแบบมุมที่จะติดตั้งแผงเซลล์ นั้น โดยทั่วไปจะมีหลักการดังนี้

- มุมที่แสงเซลล์ทำกับแนวราบที่เหมาะสม มีค่าโดยประมาณเท่ากับ มุมของเส้นรุ้ง (Latitude Angle) บวกด้วยค่า 15 ถึง 20

- ถ้าพื้นที่ ที่จะติดตั้งแผงเซลล์ อยู่ทางตอนเหนือของเหนือของเส้นศูนย์สูตร แผงเซลล์ จะต้องหันหน้าไปทางทิศใต้ แต่ถ้าพื้นที่ดังกล่าวอยู่ทางตอนใต้ของเส้นศูนย์สูตรแผงเซลล์จะต้องหันหน้าไม่ทิศเหนือ

ดังนั้นในกรณีตัวอย่างที่กำลังพิจารณานี้ มุมที่เหมาะสมในการติดตั้งแผงเซลล์ จึงมีค่า = 37.8 จะได้ว่า

ค่าเฉลี่ยของพลังงานแสงอาทิตย์ที่เซลล์ได้รับแต่ละวันในรอบปีมีค่า 583 mW-h/cm^2

ถ้าสมมติว่าแสงอาทิตย์มีพลังงานสูงสุดที่เปล่งออกมาเป็น 100 mW-h/cm^2

นั่นคือ ในแต่ละวันของรอบปี เซลล์จะได้รับโดยเฉลี่ย $\frac{583 \text{ mW-h/cm}^2}{100 \text{ mW-h/cm}^2}$

ที่ค่าพลังงานสูงสุดที่แสงอาทิตย์แผ่ออกมานี้ เซลล์ที่ใช้จะน้อยมีความสามารถจ่ายกระแสออกมาได้

และเมื่อพิจารณาว่าปริมาณกระแสที่ได้ดังกล่าว อาจได้รับในปริมาณที่น้อยลงเนื่องจากฝุ่นละอองที่ปกคลุมบนผิวหน้าเซลล์ ซึ่งสมมติว่ามีค่าประมาณ 10% นอกจากนั้นอาจสูญเสียไปในการประจุแบตเตอรี่ อีก 5%

ดังนั้น ปริมาณกระแสต่ำสุดโดยเฉลี่ยที่เซลล์ จะต้องจ่ายออกมามีค่า $= \frac{17.2 \text{ A}}{0.9 \times 0.95}$

ค่าเฉลี่ยของจำนวนชั่วโมงต่อวัน $\approx 20.1 \text{ A}$

ดังนั้นแผงเซลล์ ในสภาวะนี้จะต้องจ่ายกระแสออกมาได้

นั่นคือขอบเขตของความต้องการกระแส มีค่าสูงสุด 27.5A ต่ำสุด 20.1A

ในกรณี นี้จะเลือกใช้ค่ากระแสสูงสุดที่แผงเซลล์ จ่ายออกมา (Peak array Current rating) ได้

เป็น 25A จากหลักการประจุแบตเตอรี่โดยทั่วไปจะต้องให้แหล่งจ่ายพลังงานมีค่าแรงดันสูงกว่า

แบบ 15% และเมื่อค่าแรงดันที่ตกคร่อมด้วยขดลวดก็งัดไดโอดอีก 0.6 V

แรงดันที่แผงเซลล์ จะต้องจ่ายออกมามีค่า $= 24 \times 1.15 + 0.8$

$= 28.2 \text{ V}$

แผงเซลล์ ดังกล่าวจะต้องจ่ายกระแสได้ 25A

แบตเตอรี่จะต้องมีขนาดความจุ 2000A-h

ซึ่งการเลือกเซลล์ และการต่อเซลล์ เพื่อให้ได้ค่ากระแสและแรงดันตามต้องการนั้นก็คงใช้การพิจารณาวิธีการต่อเช่นเดียวกับตัวอย่างแรก โดยใช้แนวทางการคำนวณดังตัวอย่าง 1 หรือ ตัวอย่าง 2 ก็จะสามารถคำนวณออกแบบระบบการใช้งานเซลล์แสงอาทิตย์ได้ตามต้องการ นอกจาก

องค์ประกอบต่างๆที่พิจารณาข้างตัวอย่างการคำนวณที่แสดงไปแล้วนั้นยังมีองค์ประกอบอื่นที่มีความสำคัญและต้องพิจารณาประกอบในการออกแบบใช้งาน เพื่อให้ระบบมีความสมบูรณ์ยิ่งขึ้น ได้แก่ อุณหภูมิของเซลล์ ขณะใช้งานจริง ซึ่งจากทฤษฎีของเซลล์พบว่า เซลล์จะมีค่าแรงดัน Voc ลดลงประมาณ 2.3 mV ต่อ 1 เซลล์เซียส ของอุณหภูมิที่เพิ่มขึ้นในเซลล์ที่ค่ามาจากซิลิกอนนั่นเอง ซึ่งจะช่วยให้สะดวกในการออกแบบแผงเซลล์ที่เหมาะสมในการใช้งาน

3.2 แบตเตอรี่

- หาจำนวนโหลตที่ใช้ทั้งหมดในช่วงที่มีแสงและไม่มีแสง โดยเฉพาะช่วงที่ไม่มีแสง ค่ากำลังที่ได้จะต้องหารด้วยประสิทธิภาพการชาร์จของแบตเตอรี่เสียก่อน เพราะช่วงเวลาที่ไม่มีแสงแผงโซลาร์เซลล์จะช่วยจ่ายด้วย

$$\text{กำลังทั้งหมด} = (\text{กำลังโหลต} * \text{ชั่วโมงที่มีแสง}) + (\text{กำลังโหลต} * \text{ชั่วโมงที่ไม่มีแสง}) / N$$

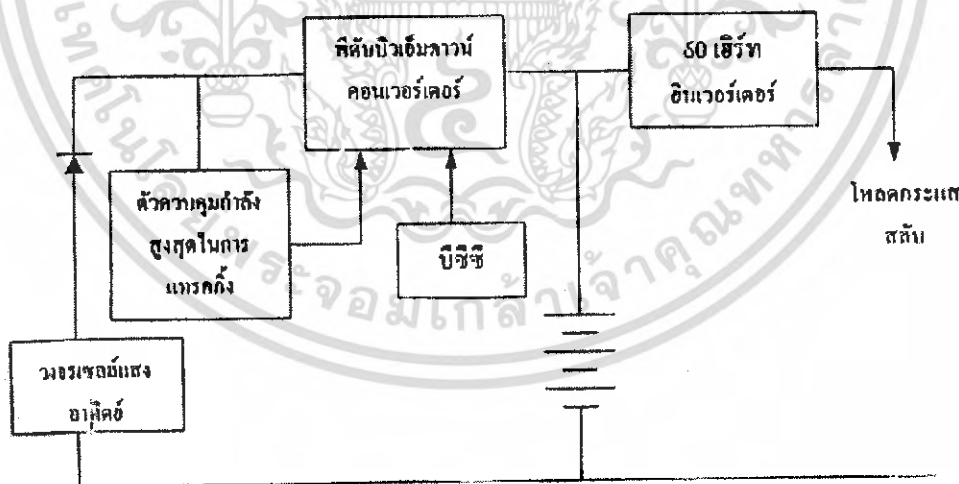
N คือ ประสิทธิภาพในการประจุไฟฟ้าของแบตเตอรี่

- หากำลังที่แผงโซลาร์เซลล์สามารถจ่ายได้โดยหาได้จาก

$$\text{พลังงานที่สามารถจ่ายได้} = \text{พลังงานต่อแผง} * \text{จำนวนแผง} * \text{ค่าแควร์อินโซเลชัน}$$

ค่าแควร์อินโซเลชันเป็นค่าที่ใช้เพื่อประมาณค่าเอาต์พุตจากแผงโซลาร์เซลล์ ค่านี้จะคำนึงถึงมุมระหว่างดวงอาทิตย์กับผิวระนาบรวมทั้งปริมาณที่ลดลงเนื่องจากเมฆหมอกที่ปกคลุมด้วย ซึ่งได้มาจากสถานีตรวจอากาศทั่วโลก

- หาขนาดแบตเตอรี่โดยนำแรงดันที่ใช้ไปหารค่าที่ได้จากด้านบนจะได้ค่า แอมป์-ฮาวร์ หารด้วย 20% จะได้ค่าแอมป์-ฮาวร์ของแบตเตอรี่ที่จะใช้



รูปที่ 3.3 แผนผังแสดงตัวอย่างระบบแผงวงจรเซลล์แสงอาทิตย์

- การคำนวณขนาดแบตเตอรี่ เนื่องจากวัตถุประสงค์ของโครงการนี้ต้องจ่ายโหลด 50 วัตต์นาน 10 ชั่วโมง

ดังนั้น พาวเวอร์ โหลด = $50 * 10 = 500$ วัตต์ฮาวร์

ประสิทธิภาพของระบบ เป็น 80%

ดังนั้น พาวเวอร์อินพุท = $500/0.8 = 625$ วัตต์ฮาวร์

ใช้แบตเตอรี่ 12 โวลต์ ดังนั้นจะได้ขนาดแบตเตอรี่ = $625/12 = 52.083$ แอมป์ฮาวร์ต่อวัน

ถ้าใช้ที่ 20% ของแบตเตอรี่ 52.083 แอมป์ฮาวร์ต่อวัน จะคำนวณได้ขนาดแบตเตอรี่ ดังนี้

ขนาดแบตเตอรี่ = $52.083/0.2 = 260.415$ แอมป์ฮาวร์ต่อวัน

ถ้าใช้ที่ 30% ของแบตเตอรี่ 52.083 แอมป์ฮาวร์ต่อวัน จะได้แบตเตอรี่ดังนี้

ขนาดแบตเตอรี่ = $52.083/0.3 = 173.61$ แอมป์ฮาวร์ต่อวัน

ถ้าใช้ที่ 40% ของแบตเตอรี่ 52.083 แอมป์ฮาวร์ต่อวัน จะได้แบตเตอรี่ดังนี้

ขนาดแบตเตอรี่ = $52.083/0.4 = 130.21$ แอมป์ฮาวร์ต่อวัน

ถ้าใช้ที่ 50% ของแบตเตอรี่ 52.083 แอมป์ฮาวร์ต่อวัน จะได้แบตเตอรี่ดังนี้

ขนาดแบตเตอรี่ = $52.083/0.5 = 104.17$ แอมป์ฮาวร์ต่อวัน

เลือกใช้แบตเตอรี่ขนาด 12 โวลต์ 100 แอมป์ฮาวร์

คิดการจ่ายของแผง 2 แผง ๆ ละ 55 วัตต์ 7.2 ชั่วโมงได้ $110 * 7.2 = 792$ วัตต์ฮาวร์และได้กำลัง

ทางด้านเอาต์พุท = $792 * 0.8 = 633.6$ วัตต์ฮาวร์

3.3 วงจรอค์ประจุแบตเตอรี่

วงจรอค์ประจุแบตเตอรี่เป็นแหล่งจ่ายไฟกระแสตรงซึ่งจะให้ระดับแรงดันสูงกว่าระดับแรงดันของแบตเตอรี่ขณะที่มีการเก็บประจุในการประจุแบตเตอรี่จะให้ขั้วบวกของเครื่องประจูดอ่เข้ากับขั้วบวกของแบตเตอรี่ โดยกระแสที่ทำการประจุมีทิศทางที่กระแสจะจ่ายออกมา

E = แรงดันที่ทำการอค์ประจุ

E_c = แรงดันที่ขั้วของแบตเตอรี่

R_i = ความต้านทานภายในของแบตเตอรี่

I = กระแสที่ใช้ในการประจุแบตเตอรี่

$E = E_c + IR$

จะได้

$$I = (E - E_c) / R \quad (3.1)$$

เมื่อแรงดันที่แบตเตอรี่มีค่าเท่ากับแรงดันประจุจะไม่มีกระแสไหลในวงจร ถ้าแรงดันที่แบตเตอรี่ต่ำกว่าแรงดันประจุจะทำให้กระแสไหลเพื่อเข้าไปอค์ประจุให้กับแบตเตอรี่แต่ได้แรงดันที่แบตเตอรี่สูงกว่าค่ากว่าแรงดันประจุ จะทำให้มีกระแสไหลเพื่อเข้าไปอค์ประจุให้กับแบตเตอรี่

โดยจะมีผลต่อปริมาณกระแสที่ประจุว่ามากหรือน้อย ถ้ากระแสในประจุมิปริมาณมากกว่าที่ แบตเตอรี่จะทนได้อาจจะทำให้แบตเตอรี่ชำรุดหรือเสียหายได้ การลดปริมาณกระแสการประจุ แบตเตอรี่ให้ต่ำลงทำได้โดยเอาความต้านทานต่ออนุกรมเข้าไปเพื่อกำจัดปริมาณของกระแสที่ไหลได้ตามต้องการ

ตัวแปรอีกตัวเกี่ยวกับการประจุแบตเตอรี่ก็คือการสูญเสียกำลังในตัวแบตเตอรี่ซึ่งก็คือการสูญเสียกำลังเนื่องจากความต้านทานนั่นเอง การสูญเสียนี้จะมีผลต่อประสิทธิภาพของแบตเตอรี่โดยที่ประสิทธิภาพของแบตเตอรี่มีอยู่ 2 อย่าง คือ ประสิทธิภาพนี้มักจะมีค่าประมาณ 90% โดยหาได้จาก

$$AH \text{ eff.} = \text{Input Electrical Charge} / \text{Output Electrical Charge}$$

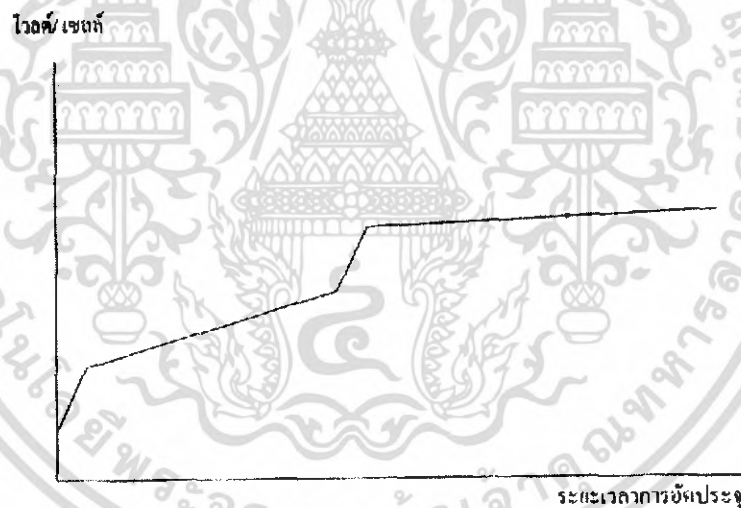
ประสิทธิภาพ วัดค่า ฮาว์ ซึ่งขึ้นอยู่กับการใช้งานของผู้ใช้ โดยจะหาได้จาก

$$WH \text{ eff.} = \%AH \text{ eff.} * (V_{\text{discharge}} / V_{\text{charge}})$$

3.3.1 หักการประจุแบตเตอรี่

การประจุแบตเตอรี่มีอยู่ 4 แบบใหญ่ๆ คือ

- 1) การประจุแบบกระแสคงที่ เป็นการประจุที่ใช้เวลานานสำหรับแบตเตอรี่ที่มีค่า แอมป์ ฮาว์ สูงๆ แต่ปลอดภัยและมีประสิทธิภาพ

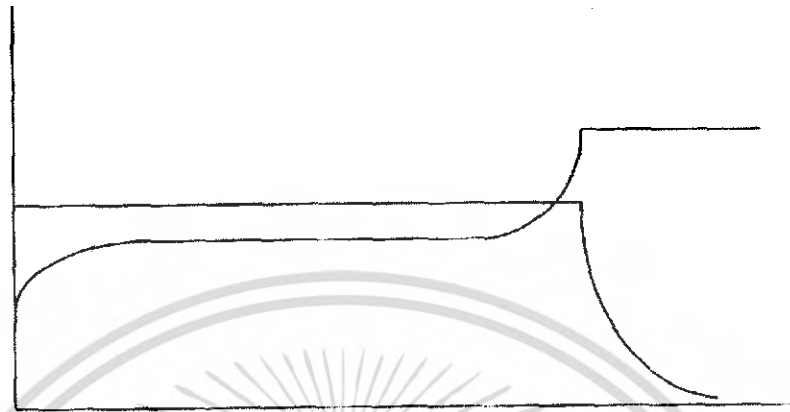


รูปที่ 3.4 กราฟแสดงการเปลี่ยนแปลงระดับแรงดันในการอัดประจุแบบกระแสคงที่

- 2) การประจุแบบแรงดันคงที่ เป็นการประจุที่ใช้เวลาน้อยแต่ใช้กระแสสูงทำให้เกิดการสูญเสีย หรือความร้อนที่ตัวแบตเตอรี่ได้
- 3) การประจุโดยการเปลี่ยนระดับกระแส จะสามารถทำได้ง่ายเพราะเป็นการนำไฟกระแสสลับมาเรียงเป็นไฟกระแสตรงแล้วจึงกระแสมาประจุ แต่กระแสจะกระเพื่อมตามแรงดัน

4) การประจุโดยวิธีร่วม ในขั้นแรกจะทำการประจุกระแสสูง ๆ เมื่อได้ระดับประจุตั้งต้นที่ ต้องการก็เปลี่ยนเป็นกระแสที่ต่ำลงมาเพื่อควบคุมเวลาและประสิทธิภาพการประจุ พารามิเตอร์ในการอัดประจุ

กระแสอัดประจุแรงดันแบดแคโทด

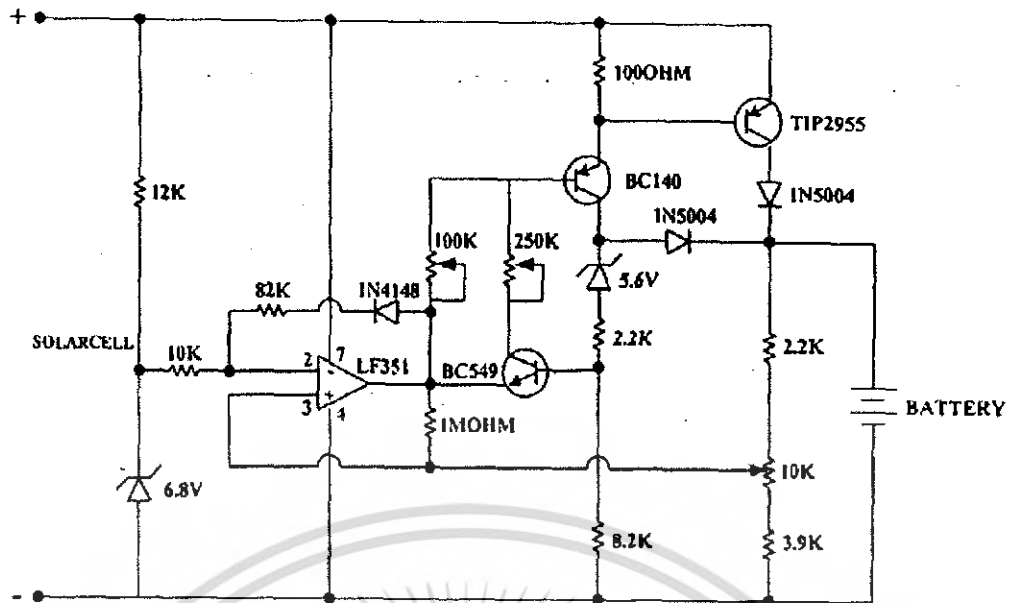


ระยะเวลาในการอัดประจุ

รูปที่ 3.5 กราฟแสดงการประจุแบบแรงดันคงที่

1. การลดเซตทางอุณหภูมิของการอัดประจุ โดยการอัดประจุจะปรับค่าแรงดันที่อัดประจุซึ่งต้องมีการลดเซตทางอุณหภูมิโดยการตรวจจับอุณหภูมิของสภาวะแวดล้อม
2. เวลาที่อัดประจุเสร็จ เวลาที่แบดแคโทดที่ถูกอัดประจุเพิ่มขึ้นอยู่กับสภาวะการคิซาร์จและลักษณะการอัดประจุรวมทั้งอุณหภูมิด้วย
3. อุณหภูมิในขณะการอัดประจุ ควรทำการอัดประจุที่อุณหภูมิในช่วง 0 ถึง 40 องศาเซลเซียส ซึ่งอุณหภูมิในการอัดประจุมีประสิทธิภาพคือ ในช่วง 5 ถึง 30 องศาเซลเซียส โดยที่อุณหภูมิต่ำกว่าหรือสูงกว่าที่กำหนด อาจทำให้การอัดประจุได้ไม่มากหรือร้อนเกินไป
4. การชาร์จประจุเกิน การอัดประจุเพิ่มขึ้นอีกหลังจากแบดแคโทดอัดประจุเต็มแล้ว เรียกว่า โอเวอร์ชาร์จ ซึ่งเกิดขึ้นอย่างต่อเนื่องมีผลทำให้อายุการใช้งานของแบดแคโทดสั้นลง

เอกสารนี้เป็นเอกสารที่สงวนไว้สำหรับการใช้งานเพื่อการศึกษาเท่านั้น ไม่อนุญาตให้นำไปใช้ประโยชน์ด้านการค้า ไม่ว่าจะกรณีใดๆ ทั้งสิ้น อีกทั้งห้ามมิให้คัดแปลงเนื้อหา และต้องอ้างอิงถึงเจ้าของเอกสารทุกครั้งที่มีการนำไปใช้

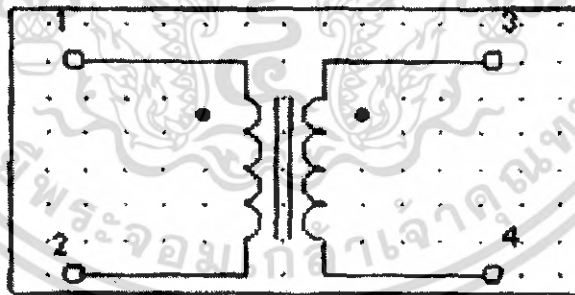


รูปที่ 3.6 วงจรอัดประจุแบตเตอรี่

3.4 หม้อแปลงไฟฟ้า

3.4.1 ทฤษฎีหม้อแปลง

หม้อแปลงเป็นอุปกรณ์สำหรับเปลี่ยนขนาดของแรงดันไฟสลับจากแรงดันหนึ่งไปเป็นแรงดันไฟสลับขนาดที่ต้องการ โดยอาศัยการเหนี่ยวนำของสนามแม่เหล็กผ่านขดลวด สัญลักษณ์ของหม้อแปลงเป็นดังรูปที่ 3.7



รูปที่ 3.7 สัญลักษณ์หม้อแปลง

ขดลวดทางด้านไฟจ่ายเข้าหม้อแปลงตามรูปคือขั้ว 1 และ 2 เรียก ขดปฐมภูมิ แรงดันไฟออกทางขั้ว 3 และ 4 เรียกว่า ขดทุติยภูมิ

เอกสารนี้เป็นเอกสารที่สงวนไว้สำหรับการใช้งานเพื่อการศึกษาเท่านั้น ไม่อนุญาตให้นำไปใช้ประโยชน์ด้านการค้า ไม่ว่ากรณีใดๆ ทั้งสิ้น อีกทั้งห้ามมิให้ตัดแปลงเนื้อหา และต้องอ้างอิงถึงเจ้าของเอกสารทุกครั้งที่มีการนำไปใช้

หม้อแปลงตัวหนึ่งอาจมีขดลวดทุติยภูมิหลายๆ ขดก็ได้ เครื่องหมายจุด (●) ที่ปลายขดแสดง ความสัมพันธ์ระหว่างแรงดัน ไฟเข้าที่ขดปฐมภูมิกับขดทุติยภูมิ คือ ขั้วที่ 1 กับขั้วที่ 3 จะมีเฟส ตรงกัน คือ ในขณะที่ศักดาไฟฟ้าขั้ว 1 สูงกว่า ขั้วที่ 2 ศักดาที่ขั้วออกที่ 3 จะสูงกว่า ขั้วที่ 4 และใน ทำนองเดียวกัน ขณะที่ขั้ว 1 ศักดาไฟฟ้าต่ำกว่าขดที่ 2 ขั้วที่ 3 ก็จะมีศักดาต่ำกว่าขั้วที่ 4 ด้วย

โดยสรุปแล้วหม้อแปลงจะรับพลังงานไฟฟ้าเข้าทางขดปฐมภูมิ สูญเสียเป็นพลังงานความร้อนไปบางส่วน และที่เหลือก็เป็นพลังงานไฟฟ้าออกที่ขดทุติยภูมิ หม้อแปลงจึงถูกบอกขนาดเป็น หน่วยกำลังที่มันถ่ายเทได้ ซึ่งค่า กำลังไฟฟ้าแรงดันไฟสลับ \times กระแสสลับ

3.4.2 การทำงานของหม้อแปลง

แรงดันไฟสลับที่จ่ายให้ที่ขดปฐมภูมิจะทำให้เกิดสนามแม่เหล็กรอบๆ ขดปฐมภูมิซึ่ง สนามแม่เหล็กที่เกิดขึ้นจะเปลี่ยนแปลงตลอดเวลา นี้จะตัดขดลวดที่มามีวางไว้ใกล้ๆ และ สนามแม่เหล็กไปตัดขดลวดได้มากน้อยเพียงใด เพื่อให้สนามแม่เหล็กที่เกิดจากขดลวดปฐมภูมิ มาตัดขดลวดทุติยภูมิมากๆ จึงทำให้ทั้งขดลวดปฐมภูมิและขดลวดทุติยภูมิพันอยู่บนแกนเหล็กนี้จะ ต่อกันอยู่อย่างครบวงจร คือมีเนื้อเหล็กตลอดวงจร คือมีเนื้อเหล็กตลอดวงจรจึงทำแกนขึ้น โดยแผ่น เหล็กรูปตัวไอ แล้วพันขดทั้งสองไว้ตรงกลาง

ความสัมพันธ์ของแรงดัน ไฟที่ขดปฐมภูมิกับแรงดัน ไฟออกที่ขดทุติยภูมิ คือ

$$E_1 / E_2 = n_1 / n_2 \quad (3.2)$$

เมื่อ E_1 = แรงดันไฟสลับเข้าที่ขดลวดปฐมภูมิ

E_2 = แรงดันไฟสลับเข้าที่ขดทุติยภูมิ

n_1 = จำนวนรอบของขดปฐมภูมิ

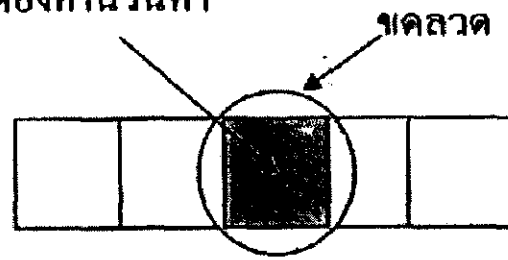
n_2 = จำนวนรอบของขดทุติยภูมิ

3.4.3 การออกแบบหม้อแปลง

1. กำหนดหาพื้นที่หน้าตัดของแกนกลาง จะหาพื้นที่หน้าตัดได้ต้องรู้ว่ากำลังของหม้อ แปลงว่าจะให้จ่ายได้เท่าใด กำลังของหม้อแปลง ก็คือ ผลคูณของกระแสและแรงดันที่หม้อ แปลงตัวนี้จะจ่ายได้นั้นคือ

$$\text{พื้นที่หน้าตัด} = \sqrt{VA / 5.58} \quad (3.3)$$

พื้นที่หน้าตัดที่ต้องคำนวณหา



รูปที่ 3.8 มองด้านบนของหม้อแปลง

2. หาจำนวนรอบของคพรมภูมิ เอาพื้นที่หน้าตัดที่หาได้ในข้อ 9 มาคำนวณหาจำนวนรอบของขดลวดคพรมภูมิตามสูตร

$$N = \frac{E \times 10^8}{4 \times F \times B_m \times A} \quad (3.4)$$

โดย E คือ แรงดันขดคพรมภูมิ
 F คือ แรงดันขดทุติยภูมิ
 B_m คือความเข้มของสนามแม่เหล็กสูงสุดที่ผ่านแกนเหล็กยังไม่อิ่มตัว
 A คือ พื้นที่หน้าตัดของแกนที่หาได้จากข้อ 1 (ตารางนี้)

3. หาจำนวนรอบของขดทุติยภูมิ หาได้จากสูตร

$$E_1 / E_2 = n_1 / n_2 \quad (3.2)$$

ตามที่ได้กล่าวมาแล้ว

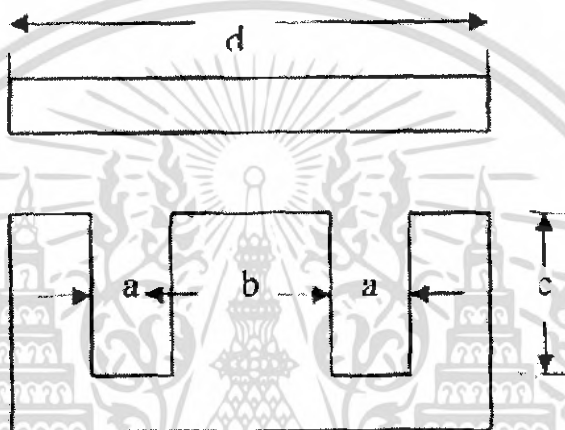
โดย E_1 = แรงดันขดคพรมภูมิ
 E_2 = แรงดันขดทุติยภูมิ
 n_1 = จำนวนรอบขดคพรมภูมิ
 n_2 = จำนวนรอบขดทุติยภูมิ

3.4.4 ทางขนาดของฉนวนที่ใช้พัน

1) ข้อจำกัดทางด้านไฟฟ้า ข้อจำกัดทางด้านนี้คือ ลวดต้องไม่ร้อนเกินไป เมื่อจ่ายกระแสเต็มๆ ดังนั้นจึงหมายความว่าต้องไม่ให้ลวดรับกระแสมากเกินไป เมื่อเทียบกับพื้นที่หน้าตัดของลวด ตัวเลขที่ใช้กันมาก คือ 400-700 เซอร์คิวลามีว / แอมแปร์ ซึ่งถ้ากำหนดว่าจะใช้กระแสที่

แอมแปร์ก็สามารถคำนวณหาพื้นที่หน้าตัดของเส้นลวดได้ ตัวเลข 400-700 นี้แล้วแต่เราจะเลือกใช้กล่าวคือ ถ้าเราเลือกตัวเลขน้อยๆเช่น 450 เซอร์คิวลามีว / แอมแปร์ จะได้ขนาดขนาดเล็ก ซึ่งอาจมีผลเสียด้านแรงเสียดทานได้ ถ้าเลือก 600 เซอร์คิวลามีว / แอมแปร์ จะได้ขนาดใหญ่ขึ้น แต่หม้อแปลงจะมีแรงเสียดทานแต่แพงกว่า

2) ข้อจำกัดด้านขนาด เนื่องจากลักษณะตัวแกนเหล็กเป็นรูปตัวอีและไอ ซึ่งมีช่องว่างเหลือไว้ให้พันลวด และมีผู้ผลิตขึ้นมาเป็นขนาดต่างๆ เนื่องจากเราไม่พันลวดลงบนแกนเลยโดยตรงแต่พันในบ็อบบิ้น แล้วจึงเอาบ็อบบิ้นมาสวมแกนตัวอี ซึ่งบ็อบบิ้นก็มีขายเป็นขนาดต่างๆ ดังนั้นต้องเลือกขนาดบ็อบบิ้นให้สวมแกนเหล็กพอดีแล้วเรียงแผ่นเหล็กซ้อนกันให้ได้พื้นที่ที่เราคำนวณเอาไว้ รายละเอียดขนาดของตัวอี และ ไอ จะมีสัดส่วน ดังนี้



รูปที่ 3.9 ขนาดของตัวอีไอของหม้อแปลง

$a : b : c : d = 1 : 2 : 3 : 6$ จากอัตราส่วนนี้ถ้าทราบระยะด้านใดด้านหนึ่งย่อมคำนวณหาความยาวของด้านที่เหลือได้หมด แกนตัวอี ที่มีขายจะมีขนาดดังต่อไปนี้ (บอกขนาดของด้านบี เป็นมิลลิเมตร) คือ 10,13,16,19,20,22,25,28,32,38,45,52,63

ขนาดของลวดต้องเลือกให้ลวดทั้งหมดพันลงในบ็อบบิ้นแล้วสวมลงแกนได้ ซึ่งขึ้นอยู่กับว่ามีพื้นที่หน้าตัดอยู่ที่เท่าใด

ตารางที่ 1.1 จะบอกว่าลวดทองแดงเบอร์ไหนเมื่อพันรอบแกนบ็อบบิ้นแล้วได้พื้นที่หน้าตัดของขดลวด 1 ตารางนิ้ว ต้องพันกี่รอบ เช่น ลวดเบอร์ 23 SWG ถ้าพันรอบแกนบ็อบบิ้น 1,340 รอบ พื้นที่หน้าตัดจะมีขนาด 1 ตารางนิ้ว ดังนั้นถ้าบ็อบบิ้นสูง 1 นิ้ว ขดลวดจะอ้วนออกมา 1 นิ้ว

ตารางที่ 3.1 ตารางความสัมพันธ์ของจำนวนรอบกับขนาดพื้นที่หน้าตัดของขดลวด

ขนาดเบอร์ลวด SWG	จำนวนรอบ / พื้นที่หน้าตัด ขดลวด 1 ตารางนิ้ว	พื้นที่หน้าตัดของเส้นลวด 1 เส้น (เซอร์คิวลาร์มิล)
15	177	5178
16	221	4107
17	277	3257
18	437	2048
19	548	1524
20	681	1288
21	852	1022
22	1065	810.1
23	1340	624.4
24	1665	509.5
25	2100	404
26	2630	320.4
27	3320	254.1
28	4145	201.5
30	5250	104.9

เอกสารนี้เป็นเอกสารที่สงวนไว้สำหรับการใช้งานเพื่อการศึกษาเท่านั้น ไม่อนุญาตให้นำไปใช้ประโยชน์ด้านการค้า
ไม่ว่ากรณีใดๆ ทั้งสิ้น อีกทั้งห้ามมิให้ตัดแปลงเนื้อหา และต้องอ้างอิงถึงเจ้าของเอกสารทุกครั้งที่มีการนำไปใช้

บทที่ 4

การทดลองและผลการทดลอง

4.1 การทดลองหาค่า V-I Curve ของแผงเซลล์แสงอาทิตย์

4.1.1 จุดประสงค์การทดลอง

เพื่อหาความสัมพันธ์ของกระแสและแรงดันของแผงเซลล์แสงอาทิตย์ตลอดระยะเวลา 1 วัน

4.1.2 อุปกรณ์ที่ใช้ในการทดลอง

1. มัลติมิเตอร์
2. แผงเซลล์แสงอาทิตย์ขนาด 80 วัตต์

4.1.3 วิธีการทดลอง

นำแผงเซลล์แสงอาทิตย์ไปวางในที่ที่มีแสง จากนั้นใช้มัลติมิเตอร์วัดผลค่ากระแสและแรงดันที่ได้จากแผงเซลล์แสงอาทิตย์ ณ เวลาที่ต่างกันตั้งแต่เวลา 9.00 น. – 17.00 น.



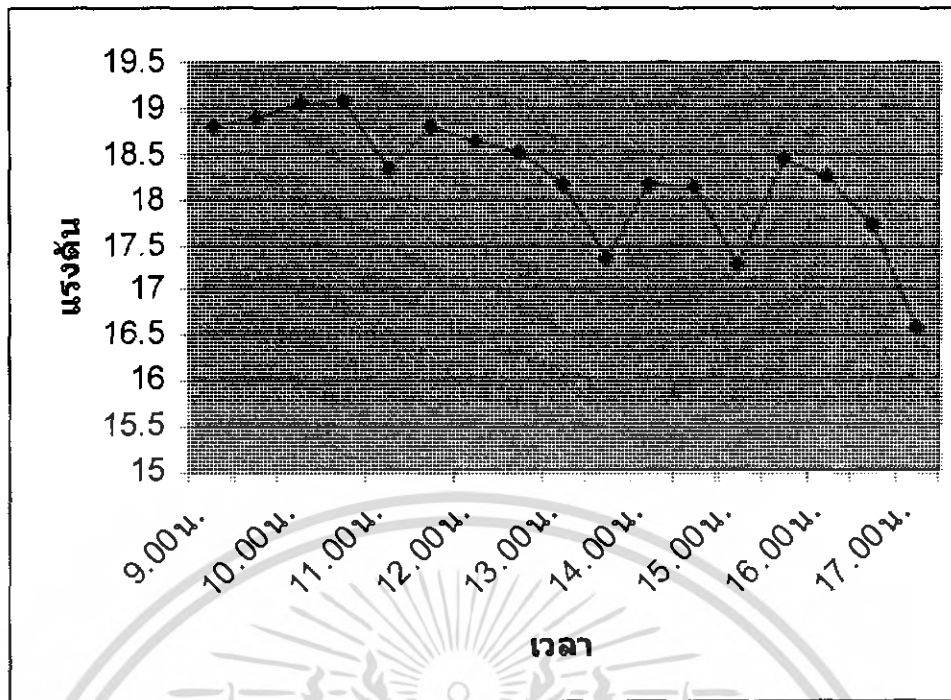
รูปที่ 4.1 วิธีการวัดผลการทดลองหาค่า V-I Curve

4.1.4 ผลการทดลอง

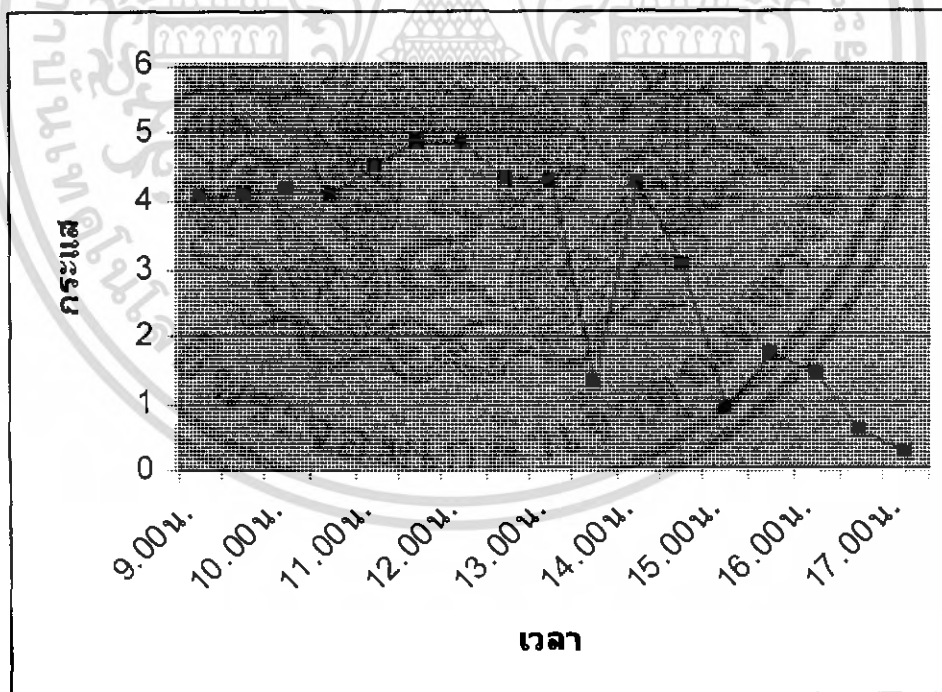
ตารางที่ 4.1 ผลการวัดกระแสและแรงดันของแผงเซลล์แสงอาทิตย์ระยะเวลา 1 วัน

เวลา	แรงดัน(Vc)	กระแส(A)
9.00น.	18.81	4.04
9.30น.	18.89	4.07
10.00น.	19.06	4.14
10.30น.	19.07	4.08
11.00น.	18.32	4.48
11.30น.	18.81	4.85
12.00น.	18.64	4.79
12.30น.	18.51	4.3
13.00น.	18.16	4.23
13.30น.	17.34	1.31
14.00น.	18.17	4.22
14.30น.	18.14	3.03
15.00น.	17.26	0.91
15.30น.	18.45	1.71
16.00น.	18.24	1.42
16.30น.	17.7	0.55
17.00น.	16.57	0.23

เอกสารนี้เป็นเอกสารที่สงวนไว้สำหรับการใช้งานเพื่อการศึกษาเท่านั้น ไม่อนุญาตให้นำไปใช้ประโยชน์ด้านการค้า ไม่ว่ากรณีใดๆ ทั้งสิ้น อีกทั้งห้ามมิให้คัดแปลงเนื้อหา และต้องอ้างอิงถึงเจ้าของเอกสารทุกครั้งที่มีการนำไปใช้



รูปที่ 4.2 ค่าแรงดันที่วัดได้จากเซลล์แสงอาทิตย์ระยะเวลา 1 วัน



รูปที่ 4.3 ค่ากระแสที่วัดได้จากเซลล์แสงอาทิตย์ระยะเวลา 1 วัน

เอกสารนี้เป็นเอกสารที่สงวนไว้สำหรับการใช้งานเพื่อการศึกษาเท่านั้น ไม่อนุญาตให้นำไปใช้ประโยชน์ด้านการค้า ไม่ว่ากรณีใดๆ ทั้งสิ้น อีกทั้งห้ามมิให้ตัดแปลงเนื้อหา และต้องอ้างอิงถึงเจ้าของเอกสารทุกครั้งที่มีการนำไปใช้

4.2 การทดลองหาค่า V-I Curve ของแผงเซลล์แสงอาทิตย์เมื่อต่อความต้านทาน 14 ค่า

4.2.1 จุดประสงค์การทดลอง

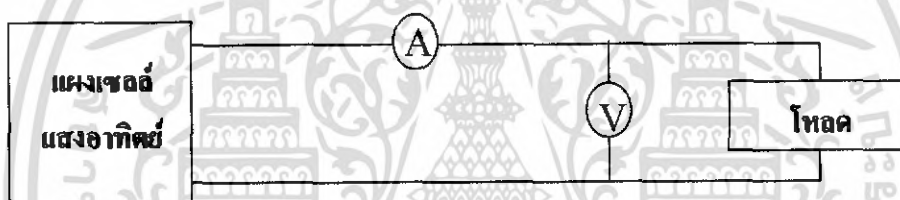
เพื่อหาความสัมพันธ์ของกระแสและแรงดันของแผงเซลล์แสงอาทิตย์เมื่อเปลี่ยนความต้านทานต่างกันไป ณ เวลาที่ต่างกัน

4.2.2 อุปกรณ์ที่ใช้ในการทดลอง

1. มัลติมิเตอร์
2. แผงเซลล์แสงอาทิตย์ขนาด 80 วัตต์
3. ความต้านทาน 14 ค่า

4.2.3 วิธีการทดลอง

นำแผงเซลล์แสงอาทิตย์วางในจุดที่มีแสง จากนั้นใช้มัลติมิเตอร์วัดผลค่ากระแสและแรงดันที่ได้จากแผงเซลล์แสงอาทิตย์ ณ เวลาที่ต่างกันตั้งแต่เวลา 9.30 น. – 15.30 น.



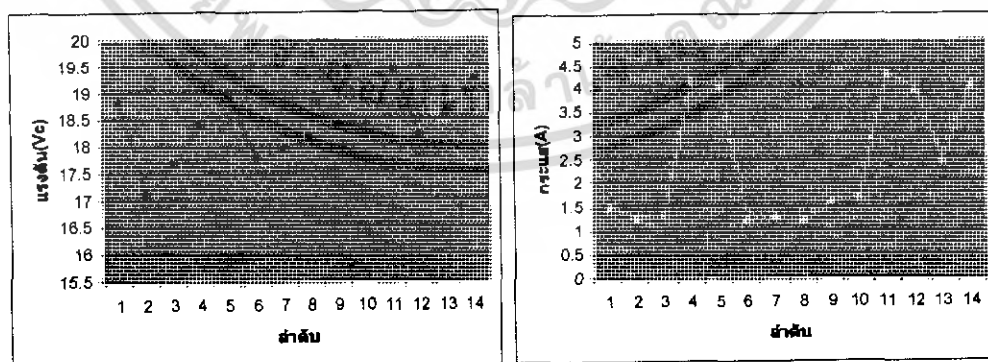
รูปที่ 4.4 วิธีการวัดผลการทดลองหาค่า V-I Curve เมื่อต่อความต้านทานต่างๆ

เอกสารนี้เป็นเอกสารที่สงวนไว้สำหรับการใช้งานเพื่อการศึกษาเท่านั้น ไม่อนุญาตให้นำไปใช้ประโยชน์ด้านการค้า ไม่ว่าจะกรณีใดๆ ทั้งสิ้น อีกทั้งห้ามมิให้คัดแปลงเนื้อหา และต้องอ้างอิงถึงเจ้าของเอกสารทุกครั้งที่มีการนำไปใช้

4.2.4 ผลการทดลอง

ตารางที่ 4.2 ผลการวัดกระแสและแรงดันของแผงเซลล์แสงอาทิตย์เมื่อต่อความต้านทาน ณ เวลา 9.30 น.

ลำดับที่	แรงดัน(Vc)	กระแส(A)
1	18.8	1.5
2	17.08	1.26
3	17.64	1.33
4	18.36	4.13
5	18.97	4.05
6	17.74	1.26
7	17.92	1.28
8	18.12	1.24
9	18.37	1.61
10	18.36	1.71
11	19.41	4.3
12	18.18	3.95
13	18.66	2.46
14	19.24	4.07

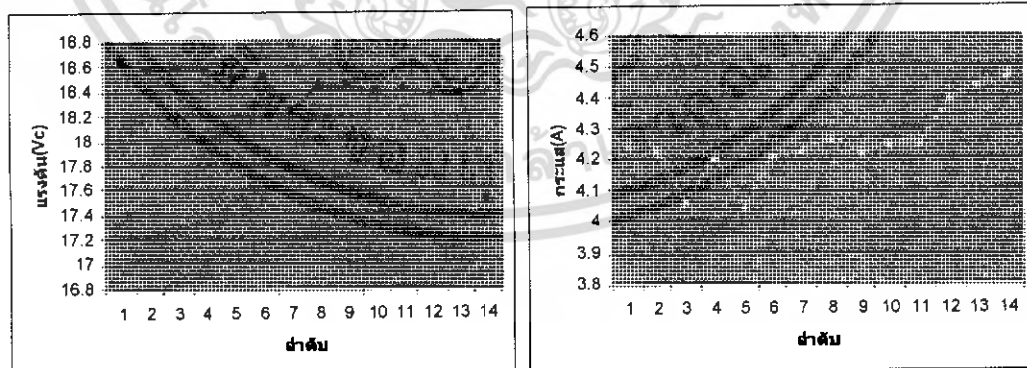


รูปที่ 4.5 ค่าแรงดันและกระแสเมื่อเวลา 9.30 น.

เอกสารนี้เป็นเอกสารที่สงวนไว้สำหรับการใช้งานเพื่อการศึกษาเท่านั้น ไม่อนุญาตให้นำไปใช้ประโยชน์ด้านการค้า ไม่ว่าจะกรณีใดๆ ทั้งสิ้น อีกทั้งห้ามมิให้ตัดแปลงเนื้อหา และต้องอ้างอิงถึงเจ้าของเอกสารทุกครั้งที่มีการนำไปใช้

ตารางที่ 4.3 ผลการวัดกระแสและแรงดันของแผงเซลล์แสงอาทิตย์เมื่อต่อความต้านทาน ณ เวลา 10.00 น.

ลำดับที่	แรงดัน(Vc)	กระแส(A)
1	18.63	4.25
2	18.57	4.23
3	18.58	4.06
4	18.56	4.21
5	18.5	4.05
6	18.51	4.21
7	18.24	4.23
8	18.44	4.27
9	18.44	4.22
10	18.39	4.25
11	18.42	4.25
12	18.36	4.4
13	18.37	4.44
14	17.51	4.47

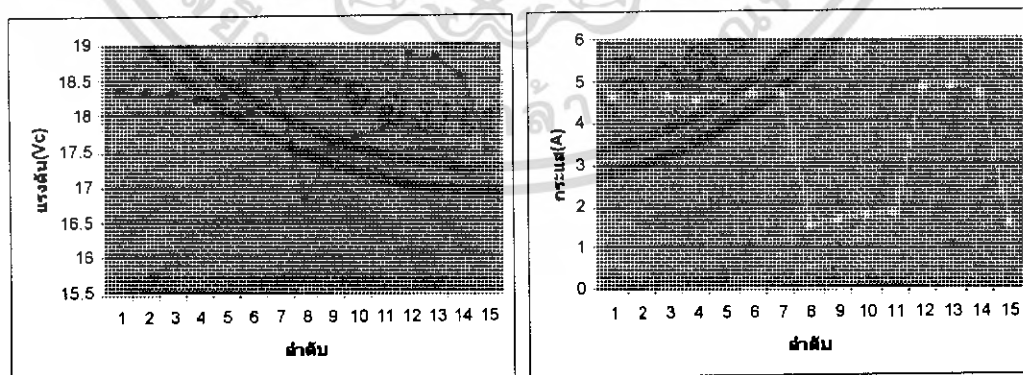


รูปที่ 4.6 ค่าแรงดันและกระแสเมื่อเวลา 10.00 น.

เอกสารนี้เป็นเอกสารที่สงวนไว้สำหรับการใช้งานเพื่อการศึกษาเท่านั้น ไม่อนุญาตให้นำไปใช้ประโยชน์ด้านการค้า ไม่ว่าจะกรณีใดๆ ทั้งสิ้น อีกทั้งห้ามมิให้ตัดแปลงเนื้อหา และต้องอ้างอิงถึงเจ้าของเอกสารทุกครั้งที่มีการนำไปใช้

ตารางที่ 4.4 ผลการวัดกระแสและแรงดันของแผงเซลล์แสงอาทิตย์เมื่อต่อความต้านทาน ณ เวลา 10.30 น.

ลำดับที่	แรงดัน(Vc)	กระแส(A)
1	18.32	4.66
2	18.31	4.71
3	18.28	4.67
4	18.21	4.58
5	18.25	4.6
6	18.02	4.74
7	18.31	4.74
8	16.8	1.54
9	17.55	1.67
10	17.68	1.81
11	17.78	1.82
12	18.83	4.92
13	18.79	4.94
14	18.54	4.75

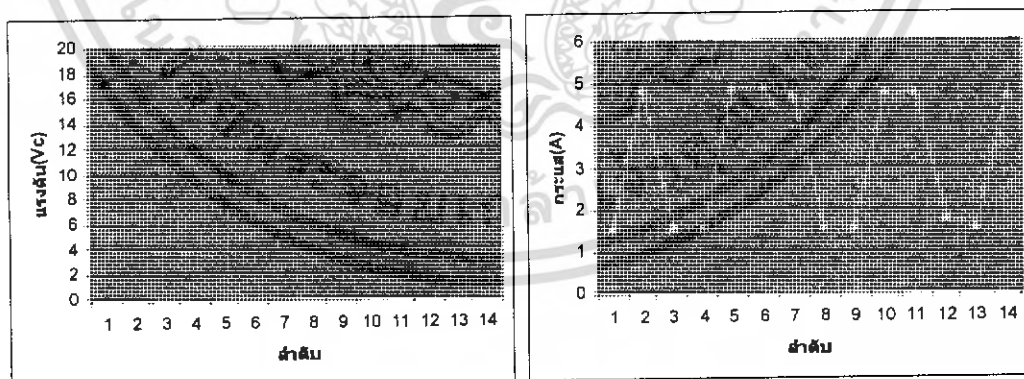


รูปที่ 4.7 ค่าแรงดันและกระแสเมื่อเวลา 10.30 น.

เอกสารนี้เป็นเอกสารที่สงวนไว้สำหรับการใช้งานเพื่อการศึกษาเท่านั้น ไม่อนุญาตให้นำไปใช้ประโยชน์ด้านการค้า ไม่ว่าจะกรณีใดๆ ทั้งสิ้น อีกทั้งห้ามมิให้ตัดแปลงเนื้อหา และต้องอ้างอิงถึงเจ้าของเอกสารทุกครั้งที่มีการนำไปใช้

ตารางที่ 4.5 ผลการวัดกระแสและแรงดันของแผงเซลล์แสงอาทิตย์เมื่อต่อความต้านทาน ณ เวลา 11.00 น.

ลำดับที่	แรงดัน(Vc)	กระแส(A)
1	17.16	1.56
2	18.72	4.89
3	17.77	1.61
4	19	1.6
5	18.93	4.88
6	18.6	4.92
7	18.22	4.73
8	17.5	1.59
9	18.74	1.58
10	18.5	4.78
11	14.1	4.76
12	17.57	1.75
13	15.64	1.56
14	15.88	4.71

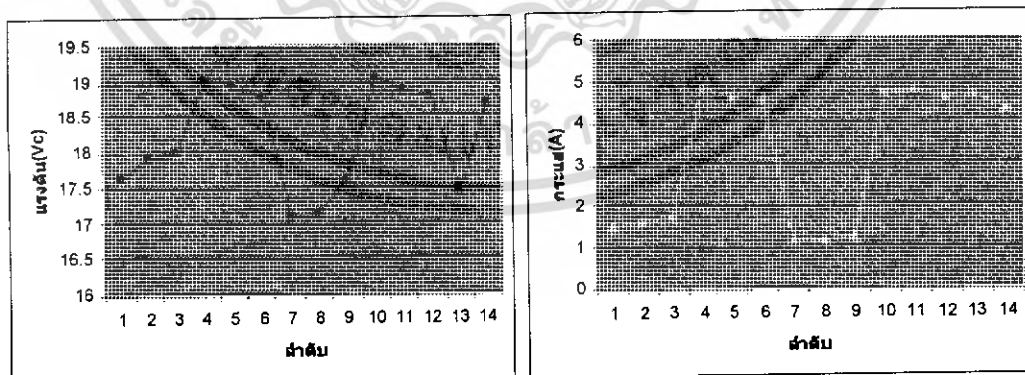


รูปที่ 4.8 แสดงค่าแรงดันและกระแสเมื่อเวลา 11.00 น.

เอกสารนี้เป็นเอกสารที่สงวนไว้สำหรับการใช้งานเพื่อการศึกษาเท่านั้น ไม่อนุญาตให้นำไปใช้ประโยชน์ด้านการค้า ไม่ว่าจะกรณีใดๆ ทั้งสิ้น อีกทั้งห้ามมิให้ตัดแปลงเนื้อหา และต้องอ้างอิงถึงเจ้าของเอกสารทุกครั้งที่มีการนำไปใช้

ตารางที่ 4.6 ผลการวัดกระแสและแรงดันของแผงเซลล์แสงอาทิตย์เมื่อต่อความต้านทาน ณ เวลา 11.30 น.

ลำดับที่	แรงดัน(Vc)	กระแส(A)
1	17.63	1.52
2	17.91	1.62
3	18	1.73
4	19.03	4.82
5	18.94	4.66
6	18.77	4.6
7	17.08	1.16
8	17.12	1.11
9	17.6	1.21
10	19.03	4.73
11	18.86	4.78
12	18.78	4.58
13	17.42	4.66
14	18.68	4.33

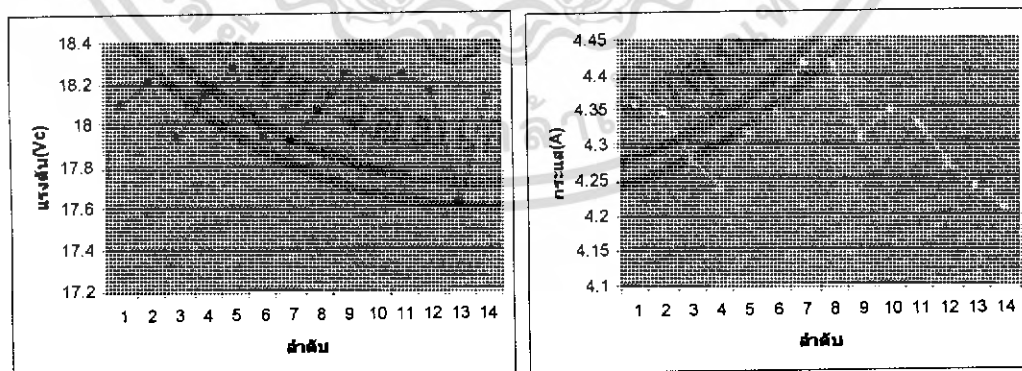


รูปที่ 4.9 ค่าแรงดันและกระแสเมื่อเวลา 11.30 น.

เอกสารนี้เป็นเอกสารที่สงวนไว้สำหรับการใช้งานเพื่อการศึกษาเท่านั้น ไม่อนุญาตให้นำไปใช้ประโยชน์ด้านการค้า ไม่ว่าจะกรณีใดๆ ทั้งสิ้น อีกทั้งห้ามมิให้ตัดแปลงเนื้อหา และต้องอ้างอิงถึงเจ้าของเอกสารทุกครั้งที่มีการนำไปใช้

ตารางที่ 4.7 ผลการวัดกระแสและแรงดันของแผงเซลล์แสงอาทิตย์เมื่อต่อความต้านทาน ณ เวลา 12.00 น.

ลำดับที่	แรงดัน(Vc)	กระแส(A)
1	18.1	4.36
2	18.21	4.35
3	17.94	4.28
4	18.14	4.24
5	18.27	4.32
6	17.93	4.35
7	17.91	4.42
8	18.06	4.42
9	18.24	4.31
10	18.21	4.35
11	18.24	4.33
12	18.15	4.27
13	17.62	4.24
14	18.13	4.21

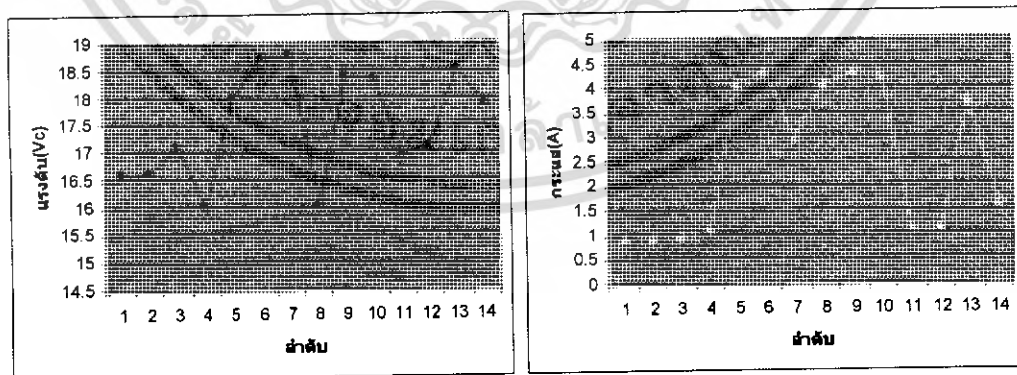


รูปที่ 4.10 ค่าแรงดันและกระแสเมื่อเวลา 12.00 น.

เอกสารนี้เป็นเอกสารที่สงวนไว้สำหรับการใช้งานเพื่อการศึกษาเท่านั้น ไม่อนุญาตให้นำไปใช้ประโยชน์ด้านการค้า ไม่ว่าจะกรณีใดๆ ทั้งสิ้น อีกทั้งห้ามมิให้ตัดแปลงเนื้อหา และต้องอ้างอิงถึงเจ้าของเอกสารทุกครั้งที่มีการนำไปใช้

ตารางที่ 4.8 ผลการวัดกระแสและแรงดันของแผงเซลล์แสงอาทิตย์เมื่อต่อความต้านทาน ณ เวลา 12.30 น.

ลำดับที่	แรงดัน(Vc)	กระแส(A)
1	16.6	0.92
2	16.61	0.93
3	17.1	0.97
4	16	1.1
5	18	4.09
6	18.71	4.33
7	18.78	2.93
8	16	4.1
9	18.38	4.32
10	18.35	4.29
11	16.92	1.12
12	17.09	1.11
13	18.52	3.75
14	17.88	1.61

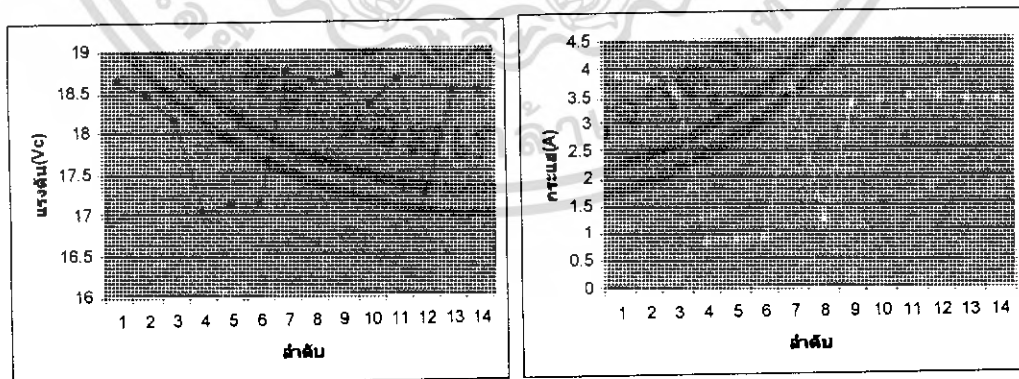


รูปที่ 4.11 ค่าแรงดันและกระแสเมื่อเวลา 12.30 น.

เอกสารนี้เป็นเอกสารที่สงวนไว้สำหรับการใช้งานเพื่อการศึกษาเท่านั้น ไม่อนุญาตให้นำไปใช้ประโยชน์ด้านการค้า ไม่ว่าจะกรณีใดๆ ทั้งสิ้น อีกทั้งห้ามมิให้ตัดแปลงเนื้อหา และต้องอ้างอิงถึงเจ้าของเอกสารทุกครั้งที่มีการนำไปใช้

ตารางที่ 4.9 ผลการวัดกระแสและแรงดันของแผงเซลล์แสงอาทิตย์เมื่อต่อความต้านทาน ณ เวลา 13.00 น.

ลำดับที่	แรงดัน(Vc)	กระแส(A)
1	18.61	3.89
2	18.45	3.85
3	18.13	3.58
4	17.01	0.84
5	17.1	0.88
6	17.11	0.94
7	18.72	3.64
8	18.62	1.24
9	18.7	3.36
10	18.33	3.43
11	18.63	3.49
12	17.21	3.48
13	18.48	3.44
14	18.49	3.43

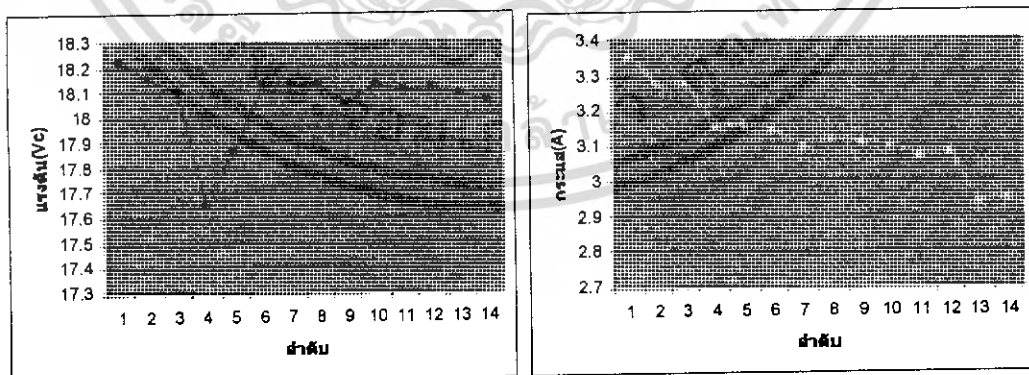


รูปที่ 4.12 ค่าแรงดันและกระแสเมื่อเวลา 13.00 น.

เอกสารนี้เป็นเอกสารที่สงวนไว้สำหรับการใช้งานเพื่อการศึกษาเท่านั้น ไม่อนุญาตให้นำไปใช้ประโยชน์ด้านการค้า ไม่ว่าจะกรณีใดๆ ทั้งสิ้น อีกทั้งห้ามมิให้ตัดแปลงเนื้อหา และต้องอ้างอิงถึงเจ้าของเอกสารทุกครั้งที่มีการนำไปใช้

ตารางที่ 4.10 ผลการวัดกระแสและแรงดันของแผงเซลล์แสงอาทิตย์เมื่อต่อความต้านทาน ณ เวลา 13.30 น.

ลำดับที่	แรงดัน(Vc)	กระแส(A)
1	18.22	3.36
2	18.15	3.28
3	18.1	3.28
4	17.65	3.16
5	17.86	3.16
6	18.13	3.15
7	18.13	3.1
8	18.13	3.12
9	18.05	3.11
10	18.13	3.1
11	18.11	3.07
12	18.12	3.08
13	18.09	2.94
14	18.06	2.95

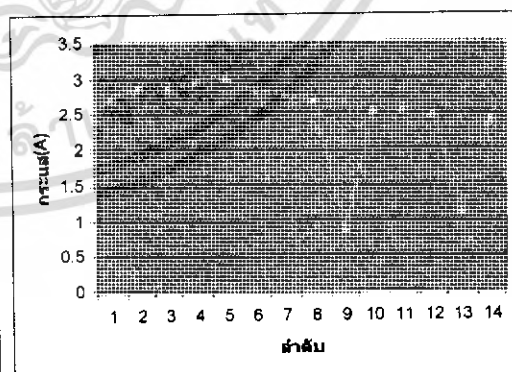
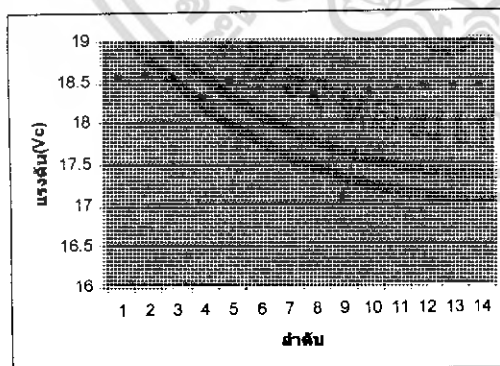


รูปที่ 4.13 ค่าแรงดันและกระแสเมื่อเวลา 13.30 น.

เอกสารนี้เป็นเอกสารที่สงวนไว้สำหรับการใช้งานเพื่อการศึกษาเท่านั้น ไม่อนุญาตให้นำไปใช้ประโยชน์ด้านการค้า ไม่ว่าจะกรณีใดๆ ทั้งสิ้น อีกทั้งห้ามมิให้ตัดแปลงเนื้อหา และต้องอ้างอิงถึงเจ้าของเอกสารทุกครั้งที่มีการนำไปใช้

ตารางที่ 4.11 ผลการวัดกระแสและแรงดันของแผงเซลล์แสงอาทิตย์เมื่อต่อความต้านทาน ณ เวลา 14.00 น.

ลำดับที่	แรงดัน(Vc)	กระแส(A)
1	18.53	2.73
2	18.56	2.9
3	18.54	2.9
4	18.3	3
5	18.48	3.01
6	18.39	2.84
7	18.39	2.78
8	18.33	2.69
9	17.06	0.86
10	18.36	2.56
11	18.38	2.56
12	18.41	2.5
13	18.41	1.13
14	18.4	2.39

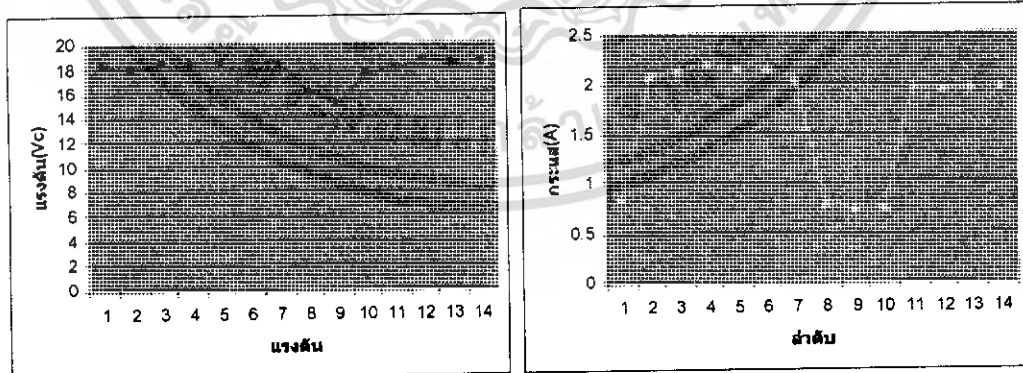


รูปที่ 4.14 ค่าแรงดันและกระแสเมื่อเวลา 14.00 น.

เอกสารนี้เป็นเอกสารที่สงวนไว้สำหรับการใช้งานเพื่อการศึกษาเท่านั้น ไม่อนุญาตให้นำไปใช้ประโยชน์ด้านการค้า ไม่ว่าจะกรณีใดๆ ทั้งสิ้น อีกทั้งห้ามมิให้ตัดแปลงเนื้อหา และต้องอ้างอิงถึงเจ้าของเอกสารทุกครั้งที่มีการนำไปใช้

ตารางที่ 4.12 ผลการวัดกระแสและแรงดันของแผงเซลล์แสงอาทิตย์เมื่อต่อความต้านทาน ณ เวลา 14.30 น.

ลำดับที่	แรงดัน(Vc)	กระแส(A)
1	18.2	0.85
2	17.9	2.1
3	18.41	2.15
4	18.42	2.2
5	18.41	2.17
6	18.41	2.17
7	18.44	2.04
8	16.08	0.79
9	15.1	0.74
10	17.45	0.75
11	17.95	1.98
12	18.56	1.95
13	18.44	1.97
14	18.47	1.98

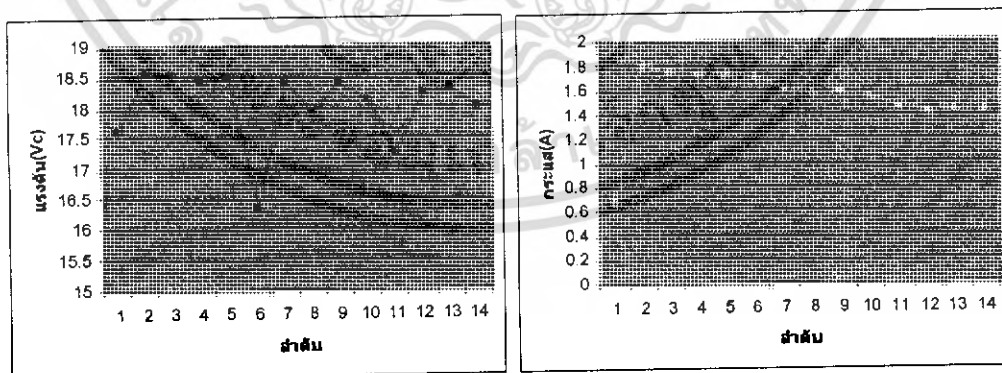


รูปที่ 4.15 ค่าแรงดันและกระแสเมื่อเวลา 14.30 น.

เอกสารนี้เป็นเอกสารที่สงวนไว้สำหรับการใช้งานเพื่อการศึกษาเท่านั้น ไม่อนุญาตให้นำไปใช้ประโยชน์ด้านการค้า ไม่ว่าจะกรณีใดๆ ทั้งสิ้น อีกทั้งห้ามมิให้ตัดแปลงเนื้อหา และต้องอ้างอิงถึงเจ้าของเอกสารทุกครั้งที่มีการนำไปใช้

ตารางที่ 4.13 ผลการวัดกระแสและแรงดันของแผงเซลล์แสงอาทิตย์เมื่อต่อความต้านทาน ณ เวลา 15.00 น.

ลำดับที่	แรงดัน(Vc)	กระแส(A)
1	17.62	0.69
2	18.57	1.81
3	18.53	1.77
4	18.42	1.74
5	18.48	1.73
6	16.3	1.71
7	18.4	1.62
8	17.93	1.59
9	18.38	1.6
10	18.1	1.55
11	17.23	1.48
12	18.24	1.43
13	18.3	1.44
14	17.99	1.44

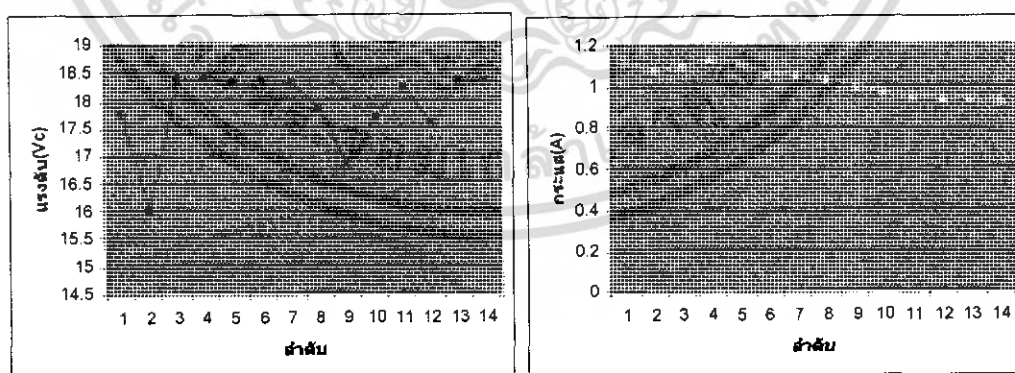


รูปที่ 4.16 ค่าแรงดันและกระแสเมื่อเวลา 15.00 น.

เอกสารนี้เป็นเอกสารที่สงวนไว้สำหรับการใช้งานเพื่อการศึกษาเท่านั้น ไม่อนุญาตให้นำไปใช้ประโยชน์ด้านการค้า ไม่ว่าจะกรณีใดๆ ทั้งสิ้น อีกทั้งห้ามมิให้ตัดแปลงเนื้อหา และต้องอ้างอิงถึงเจ้าของเอกสารทุกครั้งที่มีการนำไปใช้

ตารางที่ 4.14 ผลการวัดกระแสและแรงดันของแผงเซลล์แสงอาทิตย์เมื่อต่อความต้านทาน ณ เวลา 15.30 น.

ลำดับที่	แรงดัน(Vc)	กระแส(A)
1	17.72	1.12
2	15.97	1.08
3	18.34	1.1
4	18.35	1.13
5	18.29	1.11
6	18.32	1.06
7	18.29	1.05
8	17.82	1.03
9	16.78	1
10	17.66	0.97
11	18.2	0.95
12	17.55	0.94
13	18.3	0.94
14	18.31	0.93



รูปที่ 4.17 ค่าแรงดันและกระแสเมื่อเวลา 15.30 น.

เอกสารนี้เป็นเอกสารที่สงวนไว้สำหรับการใช้งานเพื่อการศึกษาเท่านั้น ไม่อนุญาตให้นำไปใช้ประโยชน์ด้านการค้า ไม่ว่าจะกรณีใดๆ ทั้งสิ้น อีกทั้งห้ามมิให้คัดแปลงเนื้อหา และต้องอ้างอิงถึงเจ้าของเอกสารทุกครั้งที่มีการนำไปใช้

4.3 การทดลองหากระแสและแรงดันเมื่อทำการชาร์จเข้าแบตเตอรี่

4.3.1 จุดประสงค์การทดลอง

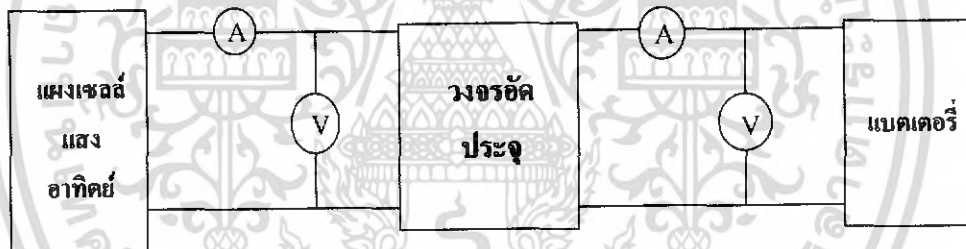
เพื่อทดสอบประสิทธิภาพของกระแสและแรงดันของแผงเซลล์แสงอาทิตย์เมื่อทำการชาร์จไฟจากแผงเซลล์แสงอาทิตย์ลงในแบตเตอรี่

4.3.2 อุปกรณ์ที่ใช้ในการทดลอง

1. มัลติมิเตอร์
2. แผงเซลล์แสงอาทิตย์ขนาด 80 วัตต์
3. วงจรชาร์จเจอร์
4. แบตเตอรี่

4.3.3 วิธีการทดลอง

นำแผงเซลล์แสงอาทิตย์วางในจุดที่มีแสง จากนั้นใช้มัลติมิเตอร์วัดผลค่ากระแสและแรงดันที่ได้จากแผงเซลล์แสงอาทิตย์ ก่อนผ่านวงจรอัดประจุและหลังผ่านวงจรวัดประจุ ณ เวลาที่ต่างกัน ตั้งแต่เวลา 8.00 น. – 17.30 น.



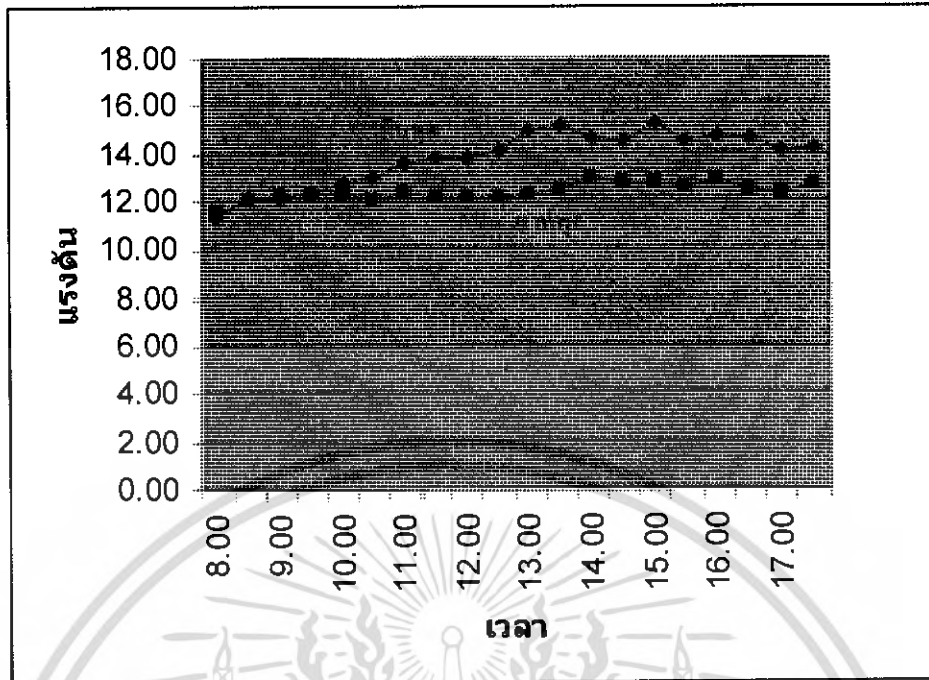
รูปที่ 4.18 วิธีการวัดผลการทดลองหาค่า V-I Curve เมื่อต่อความต้านทานต่างๆ

4.2.4 ผลการทดลอง

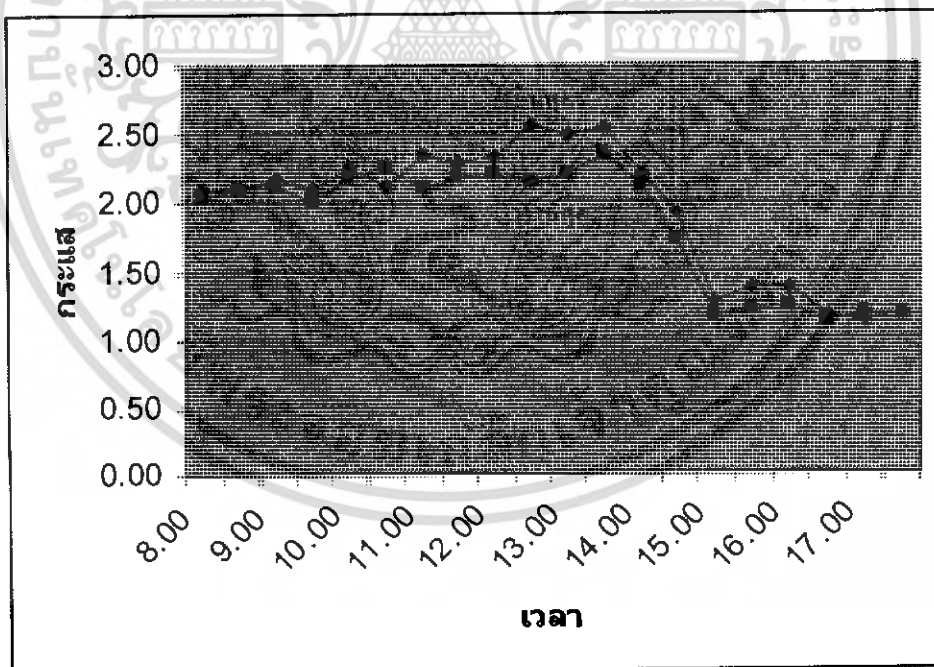
ตารางที่ 4.15 ผลการวัดกระแสและแรงดันก่อนและหลังผ่านวงจรอัดประจุ

เวลา	อินพุต		เอาต์พุต	
	แรงดันเปิด	กระแสเปิด	แรงดันเปิด	กระแสเปิด
	วงจร	วงจร	วงจร	วงจร
8.00	11.30	2.09	11.50	2.05
8.30	12.09	2.10	12.02	2.09
9.00	12.11	2.16	12.20	2.12
9.30	12.35	2.09	12.18	2.00
10.00	12.77	2.25	12.35	2.18
10.30	12.98	2.11	12.05	2.25
11.00	13.54	2.34	12.28	2.10
11.30	13.72	2.29	12.07	2.18
12.00	13.77	2.32	12.15	2.21
12.30	14.07	2.55	12.11	2.15
13.00	14.87	2.48	12.25	2.20
13.30	15.13	2.54	12.42	2.34
14.00	14.54	2.21	12.88	2.12
14.30	14.52	1.92	12.72	1.72
15.00	15.25	1.26	12.69	1.16
15.30	14.44	1.36	12.47	1.21
16.00	14.65	1.36	12.83	1.22
16.30	14.56	1.15	12.45	1.11
17.00	14.10	1.12	12.30	1.18
17.30	14.13	1.18	12.64	1.15

เอกสารนี้เป็นเอกสารที่สงวนไว้สำหรับการใช้งานเพื่อการศึกษาเท่านั้น ไม่อนุญาตให้นำไปใช้ประโยชน์ด้านการค้า ไม่ว่ากรณีใดๆ ทั้งสิ้น อีกทั้งห้ามมิให้คัดแปลงเนื้อหา และต้องอ้างอิงถึงเจ้าของเอกสารทุกครั้งที่มีการนำไปใช้



รูปที่ 4.19 ผลการวัดแรงดันก่อนและหลังผ่านวงจรอัดประจุ



รูปที่ 4.20 ผลการวัดกระแสก่อนและหลังผ่านวงจรอัดประจุ

เอกสารนี้เป็นเอกสารที่สงวนไว้สำหรับการใช้งานเพื่อการศึกษาเท่านั้น ไม่อนุญาตให้นำไปใช้ประโยชน์ด้านการค้า ไม่ว่ากรณีใดๆ ทั้งสิ้น อีกทั้งห้ามมิให้ตัดแปลงเนื้อหา และต้องอ้างอิงถึงเจ้าของเอกสารทุกครั้งที่มีการนำไปใช้

4.4 การทดลองหากระแสและแรงดันเมื่อทำการต่อกับอินเวอร์เตอร์

4.4.1 จุดประสงค์การทดลอง

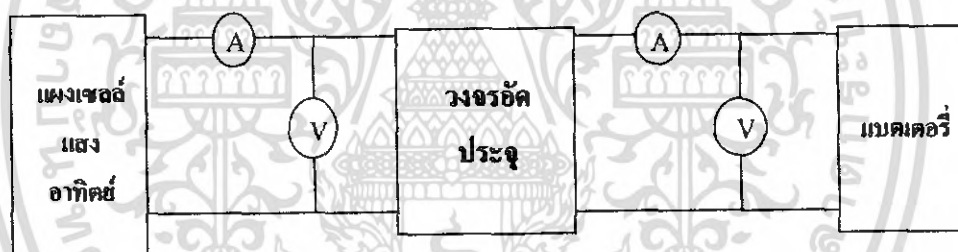
เพื่อทดสอบประสิทธิภาพของกระแสและแรงดันที่ได้เมื่อทำการแปลงไฟจากแบตเตอรี่ซึ่งเป็นไฟฟ้ากระแสตรงเป็นไฟฟ้ากระแสสลับ

4.3.2 อุปกรณ์ที่ใช้ในการทดลอง

1. มัลติมิเตอร์
2. อินเวอร์เตอร์
3. หลอดไฟขนาด 10 วัตต์
4. แบตเตอรี่

4.3.3 วิธีการทดลอง

นำแผงเซลล์แสงอาทิตย์วางในจุดที่มีแสง จากนั้นใช้มัลติมิเตอร์วัดผลค่ากระแสและแรงดันที่ได้จากแผงเซลล์แสงอาทิตย์ ก่อนผ่านวงจรตัดประจุและหลังผ่านวงจรวัดประจุ ณ เวลาที่ต่างกัน ตั้งแต่เวลา 8.00 น. – 17.30 น.



รูปที่ 4.21 วิธีการวัดผลการทดลองหาค่า V-I Curve เมื่อต่อความต้านทานต่างๆ

4.4.4 ผลการทดลอง

1. เมื่อลองทำการต่ออินเวอร์เตอร์เข้ากับโหลดตะเกียบได้ผลการทดลองดังนี้

ตารางที่ 4.16 ผลการวัดกระแสและแรงดันก่อนผ่านอินเวอร์เตอร์

โหลด	อินพุท		
	แรงดัน (โวลต์)	กระแส (แอมป์)	กำลัง (วัตต์)
No-load	12.43	2.85	35.43
11	12.24	4.1	50.18
15	12.24	4.3	52.63
22	12.23	4.7	57.48

ตารางที่ 4.17 ผลการวัดกระแสและแรงดันหลังผ่านอินเวอร์เตอร์

โหลด	เอาต์พุท			ประสิทธิภาพ (%)
	แรงดัน (โวลต์)	กระแส (แอมป์)	กำลัง (วัตต์)	
No-load	225	-	-	-
11	206.8	0.11	22.75	45.33
15	201.7	0.17	34.29	65.75
22	176	0.2	35.2	61.24

เอกสารนี้เป็นเอกสารที่สงวนไว้สำหรับการใช้งานเพื่อการศึกษาเท่านั้น ไม่อนุญาตให้นำไปใช้ประโยชน์ด้านการค้า
ไม่ว่ากรณีใดๆ ทั้งสิ้น อีกทั้งห้ามมิให้ตัดแปลงเนื้อหา และต้องอ้างอิงถึงเจ้าของเอกสารทุกครั้งที่มีการนำไปใช้

2. เมื่อลองทำการต่ออินเวอร์เตอร์เข้ากับหลอดเผาไส้ได้ผลการทดลองดังนี้

ตารางที่ 4.18 ผลการ วัดกระแสและแรงดันก่อนผ่านอินเวอร์เตอร์

โหลด	อินพุท		
	แรงดัน (โวลต์)	กระแส (แอมป์)	กำลัง (วัตต์)
No-load	12.43	2.85	35.43
25	12.33	4.3	53.02

ตารางที่ 4.18 ผลการ วัดกระแสและแรงดันหลังผ่านอินเวอร์เตอร์

โหลด	เอาต์พุท			ประสิทธิภาพ (%)
	แรงดัน (โวลต์)	กระแส (แอมป์)	กำลัง (วัตต์)	
No-load	225	-	-	-
25	163.4	0.18	29.412	55.47

เอกสารนี้เป็นเอกสารที่สงวนไว้สำหรับการใช้งานเพื่อการศึกษาเท่านั้น ไม่อนุญาตให้นำไปใช้ประโยชน์ด้านการค้า
ไม่ว่ากรณีใดๆ ทั้งสิ้น อีกทั้งห้ามมิให้ตัดแปลงเนื้อหา และต้องอ้างอิงถึงเจ้าของเอกสารทุกครั้งที่มีการนำไปใช้

บทที่ 5

บทวิจารณ์และบทสรุป

จากวัตถุประสงค์ของโครงการเพื่อจ่ายโหลดพลังงานกระแสสลับขนาด 1 เฟส 50 เฮิร์ต 220 โวลต์ พิกัด 50 วัตต์ใช้งานได้นาน 10 ชั่วโมงต่อเนื่อง เป็นระบบ Stand Alone นั้น ผู้ทดลองได้สร้างชุดอัดประจุเพื่อเก็บพลังงานไฟฟ้ากระแสตรงจากแผงเซลล์แสงอาทิตย์สำรองไว้ในแบตเตอรี่ขนาด 12 โวลต์ 35 แอมแปร์ ซึ่งจากผลการทดลองชุดอัดประจุเข้าแบตเตอรี่นี้ให้ประสิทธิภาพ 80 เปอร์เซ็นต์ขึ้นไป และข้อดีของวงจรชุดอัดประจุนี้ได้แก่กระแสที่ใช้อัดประจุเข้าแบตเตอรี่มีค่าค่อนข้างคงที่คืออยู่ในช่วง 2-3 แอมแปร์และเนื่องจากกระแสที่ใช้อัดประจุมีค่าน้อยและค่าค่อนข้างคงที่นั้นจะทำให้แบตเตอรี่มีอายุการใช้งานนานขึ้นและจากการทดลองที่ผ่านมา ทำให้รู้ว่ากระแสจากแผงเซลล์แสงอาทิตย์นั้นมีค่าขึ้นอยู่กับความเข้มแสงในแต่ละช่วงเวลา

ระบบที่ศึกษาทดลอง ออกแบบให้แบตเตอรี่มีการใช้งานเพียง 20% ของขนาดความจุแบตเตอรี่ เพื่อให้ได้ระบบที่มีความต่อเนื่องในการจ่ายโหลดอื่นๆ อีกด้วย ขนาดของแบตเตอรี่จึงค่อนข้างใหญ่กว่าขนาดของโหลดที่ใช้ ซึ่งเราสามารถออกแบบให้ประหยัดกว่านี้ได้หากไม่ต้องการเสถียรภาพของระบบมากนัก

จากการทดลองพบว่าสามารถออกแบบให้เก็บพลังงานจากเซลล์แสงอาทิตย์ไว้ในแบตเตอรี่ได้ และสามารถแปลงพลังงานที่เก็บไว้ในแบตเตอรี่ จากไฟฟ้ากระแสตรง 12 โวลต์ เป็นไฟฟ้ากระแสสลับขนาด 220 โวลต์ได้นอกจากนี้กระประจุในเวลากลางวันก็ยังสามารถประจุแบตเตอรี่ให้ได้แรงดันกลับมาในระดับปกติได้อีกด้วย

บรรณานุกรม

1. สุวัฒน์ คั่น “เทคนิคและการออกแบบสวิตชิงเพาเวอร์ซัพพลาย” เอนเทลไทย , 2 มิถุนายน 2538
2. Daniel W. hart “INDUCTION TO POWER ELECTRONICS” Prentice-Hall International
3. France Lasnin Tony Gan Ang “Photovoltaic Engineering Handbook” Adom Hilger , Bristol and New York , 1990
4. Ned Mohan , Tore M. Undeland and William P. Robbins “POWEELECTRONICS” John Wiley & Sons , INC , 1989



เอกสารนี้เป็นเอกสารที่สงวนไว้สำหรับการใช้งานเพื่อการศึกษาเท่านั้น ไม่อนุญาตให้นำไปใช้ประโยชน์ด้านการค้า ไม่ว่าจะกรณีใดๆ ทั้งสิ้น อีกทั้งห้ามมิให้ตัดแปลงเนื้อหา และต้องอ้างอิงถึงเจ้าของเอกสารทุกครั้งที่มีการนำไปใช้



เอกสารนี้เป็นเอกสารที่สงวนไว้สำหรับการใช้งานเพื่อการศึกษาเท่านั้น ไม่อนุญาตให้นำไปใช้ประโยชน์ด้านการค้า
ไม่ว่ากรณีใดๆ ทั้งสิ้น อีกทั้งห้ามมิให้ตัดแปลงเนื้อหา และต้องอ้างอิงถึงเจ้าของเอกสารทุกครั้งที่มีการนำไปใช้

8-bit multiplying D/A converter

MC1508-8/1408-8

DESCRIPTION

The MC1508/MC1408 series of 8-bit monolithic digital-to-analog converters provide high-speed performance with low cost. They are ideal for use where the output current is a linear product of an 8-bit digital word and an analog reference voltage.

1-
3-L

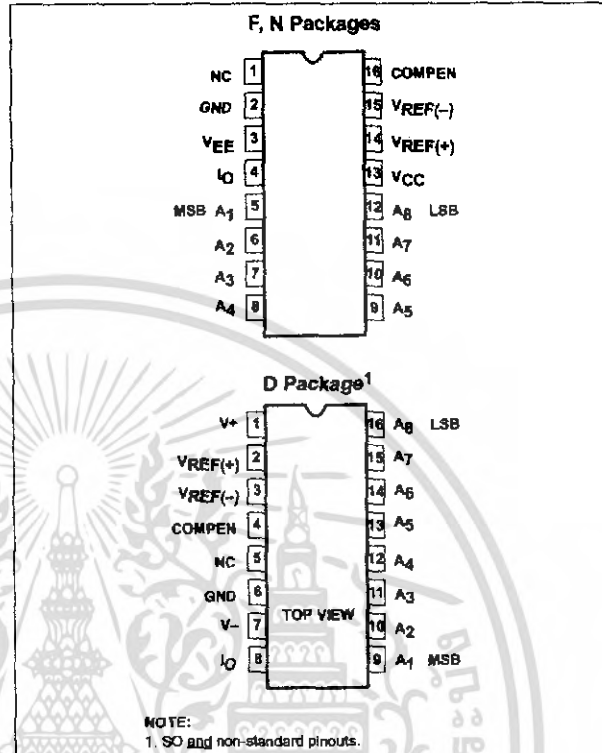
FEATURES

- Fast settling time — 70ns (typ)
- Relative accuracy $\pm 0.19\%$ (max error)
- Non-inverting digital inputs are TTL and CMOS compatible
- High-speed multiplying rate 4.0mA/ μ s (input slew)
- Output voltage swing +0.5V to -5.0V
- Standard supply voltages +5.0V and -5.0V to -15V
- Military qualifications pending

APPLICATIONS

- Tracking A-to-D converters
- 2 1/2-digit panel meters and DVMs
- Waveform synthesis
- Sample-and-Hold
- Peak detector
- Programmable gain and attenuation
- CRT character generation
- Radio digitizing and decoding
- Programmable power supplies
- Analog-digital multiplication
- Digital-digital multiplication
- Analog-digital division
- Digital addition and subtraction
- Speech compression and expansion
- Stepping motor drive modems
- Servo motor and pen drivers

PIN CONFIGURATIONS



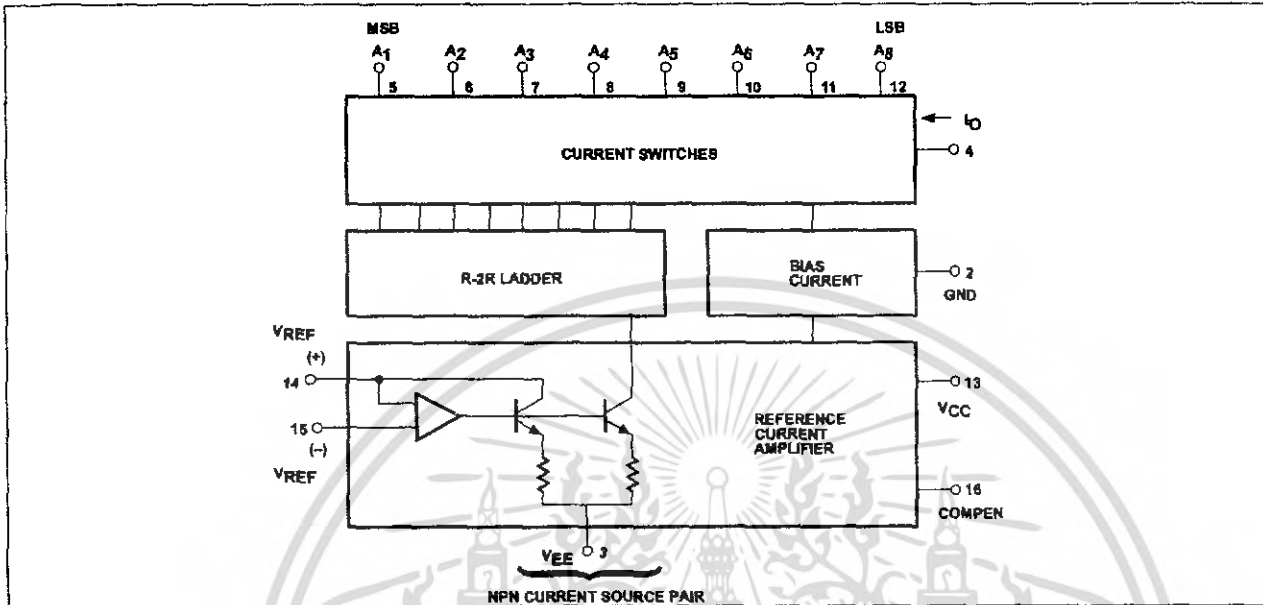
ORDERING INFORMATION

DESCRIPTION	TEMPERATURE RANGE	ORDER CODE	DWG #
16-Pin Ceramic Dual In-Line Package (CERDIP)	-55 to +125°C	MC1508-8F	0582B
16-Pin Ceramic Dual In-Line Package (CERDIP)	0 to +70°C	MC1408-8F	0582B
16-Pin Plastic Dual In-Line Package (DIP)	0 to +70°C	MC1408-8N	0406C
16-Pin Small Outline (SO) Package	0 to +70°C	MC1408-8D	0005D

8-bit multiplying D/A converter

MC1508-8/1408-8

BLOCK DIAGRAM



CIRCUIT DESCRIPTION

The MC1508/MC1408 consists of a reference current amplifier, an R-2R ladder, and 8 high-speed current switches. For many applications, only a reference resistor and reference voltage need be added.

The switches are non-inverting in operation; therefore, a high state on the input turns on the specified output current component.

The switch uses current steering for high speed, and a termination amplifier consisting of an active load gain stage with unity gain

feedback. The termination amplifier holds the parasitic capacitance of the ladder at a constant voltage during switching, and provides a low impedance termination of equal voltage for all legs of the ladder.

The R-2R ladder divides the reference amplifier current into binary-related components, which are fed to the remainder current which is equal to the least significant bit. This current is shunted to ground, and the maximum output current is 255/256 of the reference amplifier current, or 1.992mA for a 2.0mA reference amplifier current if the NPN current source pair is perfectly matched.

ABSOLUTE MAXIMUM RATINGS

SYMBOL	PARAMETER	RATING	UNIT	
V _{CC}	Positive power supply voltage	+5.5	V	
V _{EE}	Negative power supply voltage	-16.5	V	
V _{5 - V₁₂}	Digital input voltage	0 to V _{CC}	V	
V _O	Applied output voltage	-5.2 to +18	V	
I ₁₄	Reference current	5.0	mA	
V _{14, V₁₅}	Reference amplifier inputs	V _{EE} to V _{CC}		
P _D	Maximum power dissipation, T _A = 25°C (still-air) ¹			
	F package	1190	mW	
	N package	1450	mW	
	D package	1080	mW	
T _{SOLD}	Lead soldering temperature (10 sec)	300	°C	
T _A	Operating temperature range	300	°C	
		MC1508	-55 to +125	°C
		MC1408	0 to +75	°C
T _{STG}	Storage temperature range	-65 to +150	°C	

NOTES:

- Derate above 25°C, at the following rates: F package at 9.5mW/°C; N package at 11.6mW/°C; D package at 8.6mW/°C

8-bit multiplying D/A converter

MC1508-8/1408-8

DC ELECTRICAL CHARACTERISTICS

Pin 3 must be 3V more negative than the potential to which R₁₅ is returned. V_{CC} = +5.0V_{DC}, V_{EE} = -15V_{DC}, V_{REF}/R₁₄ = 2.0mA unless otherwise specified. MC1508: T_A = -55°C to 125°C. MC1408: T_A = 0°C to 75°C, unless otherwise noted.

SYMBOL	PARAMETER	TEST CONDITIONS	MC1508-8			MC1408-8			UNIT
			Min	Typ	Max	Min	Typ	Max	
E _r	Relative accuracy	Error relative to full-scale I _O , Figure 3			±0.19			±0.19	%
t _s	Settling time ¹	To within 1/2 LSB, includes t _{PLH} , T _A = +25°C, Figure 4		70			70		ns
t _{PLH} t _{PHL}	Propagation delay time Low-to-High High-to-Low	T _A = +25°C, Figure 4		35	100		35	100	ns
TC _{I_O}	Output full-scale current drift			-20			-20		ppm/°C
V _{IH} V _{IL}	Digital input logic level (MSB) High Low	Figure 5	2.0		0.8	2.0		0.8	V _{DC}
I _{IH} I _{IL}	Digital input current (MSB) High Low	Figure 5 V _{IH} = 5.0V V _{IL} = 0.8V		0 -0.4	0.04 -0.8		0 -0.4	0.04 -0.8	mA
I _{I5}	Reference input bias current	Pin 15, Figure 5		-1.0	-5.0		-1.0	-5.0	µA
I _{OR}	Output current range	Figure 5 V _{EE} = -5.0V V _{EE} = -7.0V to -15V	0 0	2.0 2.0	2.1 4.2	0 0	2.0 2.0	2.1 4.2	mA
I _O	Output current	Figure 5 V _{REF} = 2.000V, R ₁₄ = 1000Ω	1.9	1.99	2.1	1.9	1.99	2.1	mA
I _{O(min)}	Off-state	All bits low		0	4.0		0	4.0	µA
V _O	Output voltage compliance	E _r ≤ 0.19% at T _A = +25°C, Figure 5 V _{EE} = -5V V _{EE} below -10V		-0.6 +10 -5.5 +10	-0.55, +0.5 -5.0, +0.5		-0.6 +10 -5.5 +10	-0.55, +0.5 -5.0, +0.5	V _{DC}
SR _{I_{REF}}	Reference current slew rate	Figure 6		8.0			8.0		mA/µs
PSRR(-)	Output current power supply sensitivity	I _{REF} = 1mA		0.5	2.7		0.5	2.7	µA/V
I _{CC} I _{EE}	Power supply current Positive Negative	All bits low, Figure 5		+2.5 -6.5	+22 -13		+2.5 -6.5	+22 -13	mA
V _{CCR} V _{VEER}	Power supply voltage range Positive Negative	T _A = +25°C, Figure 5	+4.5 -4.5	+5.0 -15	+5.5 -16.5	+4.5 -4.5	+5.0 -15	+5.5 -16.5	V _{DC}
P _D	Power dissipation	All bits low, Figure 5 V _{EE} = -5.0V _{DC} V _{EE} = -15.0V _{DC}		34 110	170 305		34 110	170 305	mW

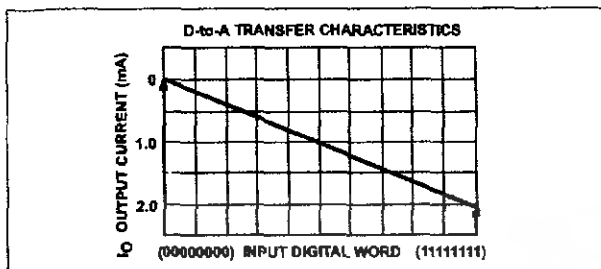
NOTES:

- All bits switched.

8-bit multiplying D/A converter

MC1508-8/1408-8

TYPICAL PERFORMANCE CHARACTERISTICS



FUNCTIONAL DESCRIPTION

Reference Amplifier Drive and Compensation

The reference amplifier input current must always flow into Pin 14, regardless of the setup method or reference supply voltage polarity.

Connections for a positive reference voltage are shown in Figure 1. The reference voltage source supplies the full reference current. For bipolar reference signals, as in the multiplying mode, R_{15} can be tied to a negative voltage corresponding to the minimum input level. R_{15} may be eliminated and Pin 15 grounded, with only a small sacrifice in accuracy and temperature drift.

The compensation capacitor value must be increased with increasing values of R_{14} to maintain proper phase margin. For R_{14} values of 1.0, 2.5, and 5.0k Ω , minimum capacitor values are 15, 37, and 75pF. The capacitor may be tied to either V_{EE} or ground, but using V_{EE} increases negative supply rejection. (Fluctuations in the negative supply have more effect on accuracy than do any changes in the positive supply.)

A negative reference voltage may be used if R_{14} is grounded and the reference voltage is applied to R_{15} , as shown in Figure 2. A high input impedance is the main advantage of this method. The negative reference voltage must be at least 3.0V above the V_{EE} supply. Bipolar input signals may be handled by connecting R_{14} to a positive reference voltage equal to the peak positive input level at Pin 15.

Capacitive bypass to ground is recommended when a DC reference voltage is used. The 5.0V logic supply is not recommended as a reference voltage, but if a well regulated 5.0V supply which drives logic is to be used as the reference, R_{14} should be formed of two series resistors and the junction of the two resistors bypassed with 0.1 μ F to ground. For reference voltages greater than 5.0V, a clamp diode is recommended between Pin 14 and ground.

If Pin 14 is driven by a high impedance such as a transistor current source, none of the above compensation methods apply and the amplifier must be heavily compensated, decreasing the overall bandwidth.

Output Voltage Range

The voltage at Pin 4 must always be at least 4.5V more positive than the voltage of the negative supply (Pin 3) when the reference current is 2mA or less, and at least 8V more positive than the negative supply when the reference current is between 2mA and 4mA. This is necessary to avoid saturation of the output transistors, which would cause serious degradation of accuracy.

Philips Semiconductors MC1508/MC1408 does not need a range control because the design extends the compliance range down to

4.5V (or 8V — see above) above the negative supply voltage without significant degradation of accuracy. Philips Semiconductors MC1508/MC1408 can be used in sockets designed for other manufacturers' MC1508/MC1408 without circuit modification.

Output Current Range

Any time the full-scale current exceeds 2mA, the negative supply must be at least 8V more negative than the output voltage. This is due to the increased internal voltage drops between the negative supply and the outputs with higher reference currents.

Accuracy

Absolute accuracy is the measure of each output current level with respect to its intended value, and is dependent upon relative accuracy, full-scale accuracy and full-scale current drift. Relative accuracy is the measure of each output current level as a fraction of the full-scale current after zero-scale current has been nulled out. The relative accuracy of the MC1508/MC1408 is essentially constant over the operating temperature range because of the excellent temperature tracking of the monolithic resistor ladder. The reference current may drift with temperature, causing a change in the absolute accuracy of output current; however, the MC1508/MC1408 has a very low full-scale current drift over the operating temperature range.

The MC1508/MC1408 series is guaranteed accurate to within $\pm 1/2$ LSB at +25°C at a full-scale output current of 1.99mA. The relative accuracy test circuit is shown in Figure 3. The 12-bit converter is calibrated to a full-scale output current of 1.99219mA; then the MC1508/MC1408's full-scale current is trimmed to the same value with R_{14} so that a zero value appears at the error amplifier output. The counter is activated and the error band may be displayed on the oscilloscope, detected by comparators, or stored in a peak detector.

Two 8-bit D-to-A converters may not be used to construct a 16-bit accurate D-to-A converter. 16-bit accuracy implies a total of $\pm 1/2$ part in 65,536, or $\pm 0.00076\%$, which is much more accurate than the $\pm 0.19\%$ specification of the MC1508/MC1408.

Monotonicity

A monotonic converter is one which always provides an analog output greater than or equal to the preceding value for a corresponding increment in the digital input code. The MC1508/MC1408 is monotonic for all values of reference current above 0.5mA. The recommended range for operation is a DC reference current between 0.5mA and 4.0mA.

Settling Time

The worst case switching condition occurs when all bits are switched on, which corresponds to a low-to-high transition for all input bits. This time is typically 70ns for settling to within 1/2LSB for 8-bit accuracy. This time applies when $R_L < 500\Omega$ and $C_O < 25$ pF. The slowest single switch is the least significant bit, which typically turns on and settles in 65ns. In applications where the D-to-A converter functions in a positive going ramp mode, the worst-case condition does not occur and settling times less than 70ns may be realized.

Extra care must be taken in board layout since this usually is the dominant factor in satisfactory test results when measuring settling time. Short leads, 100 μ F supply bypassing for low frequencies, minimum scope lead length, good ground planes, and avoidance of ground loops are all mandatory.

8-bit multiplying D/A converter

MC1508-8/1408-8

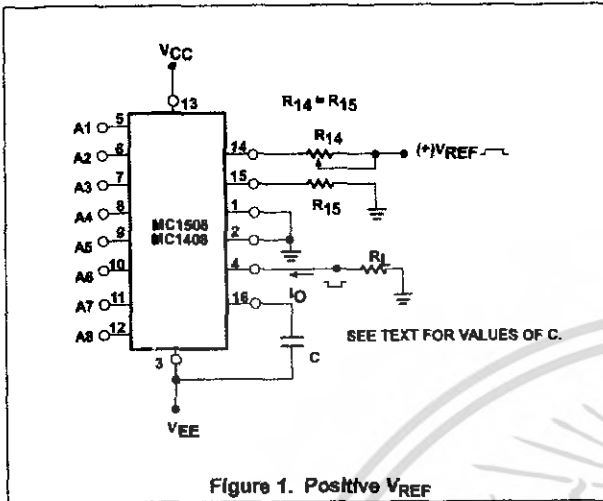


Figure 1. Positive VREF

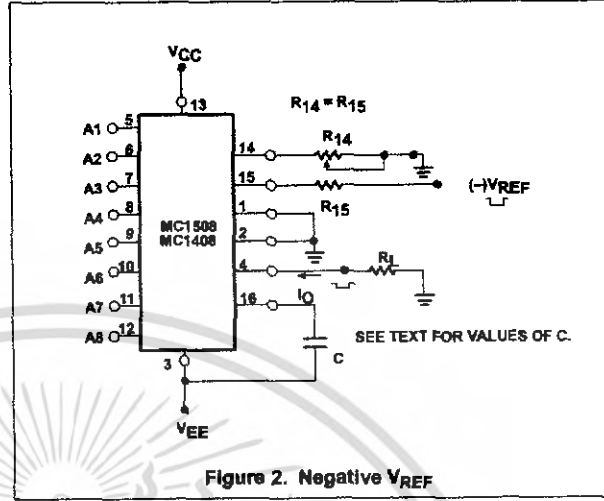


Figure 2. Negative VREF

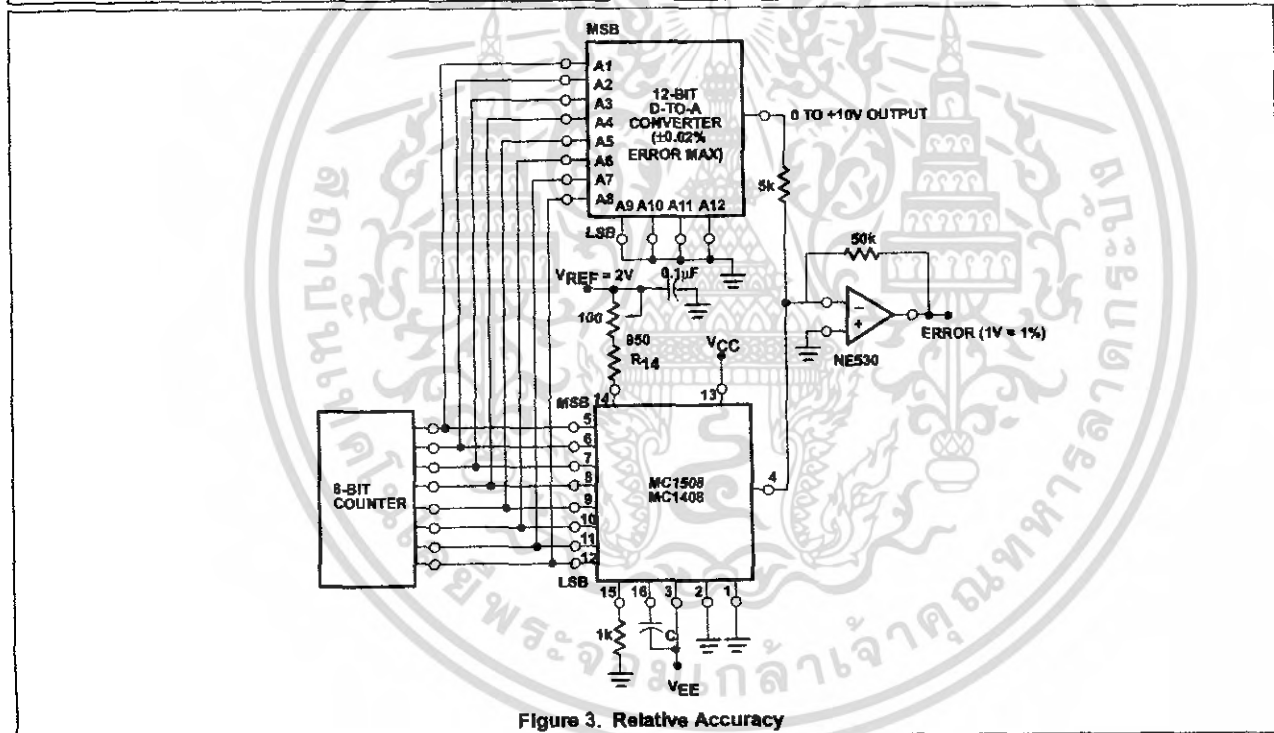


Figure 3. Relative Accuracy

8-bit multiplying D/A converter

MC1508-8/1408-8

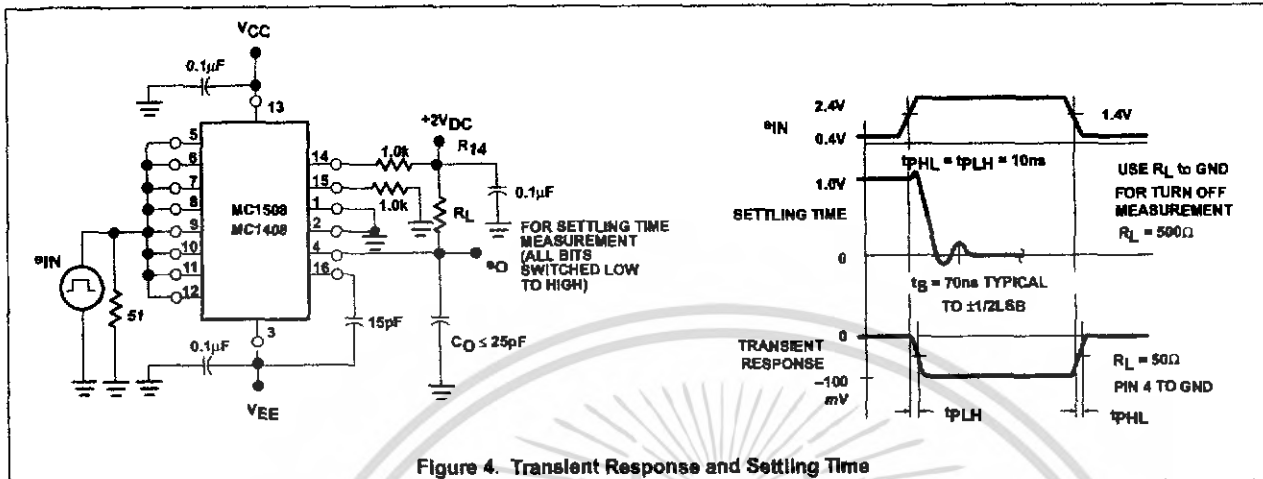


Figure 4. Transient Response and Settling Time

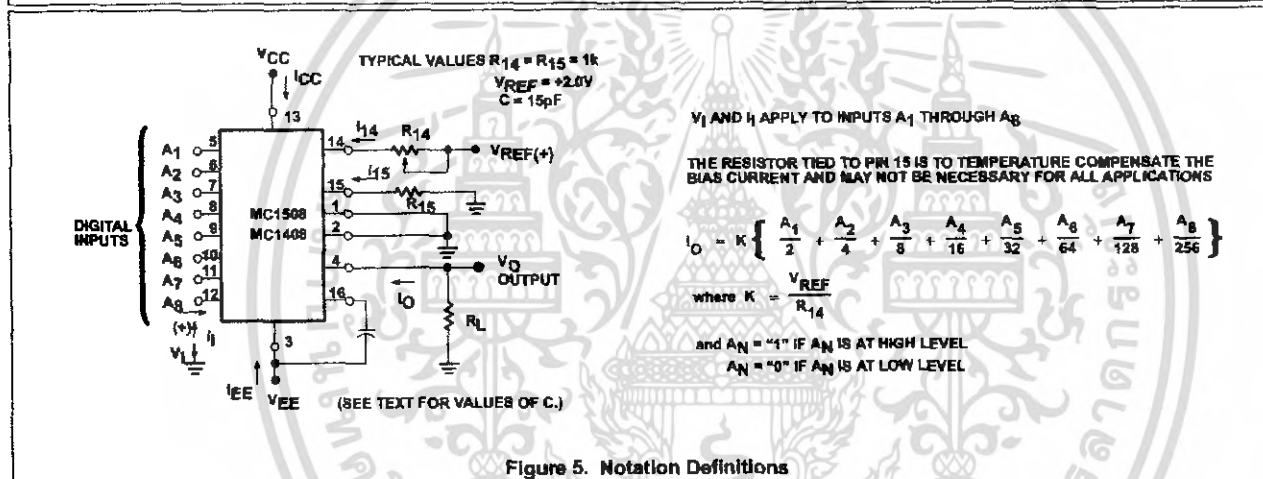


Figure 5. Notation Definitions

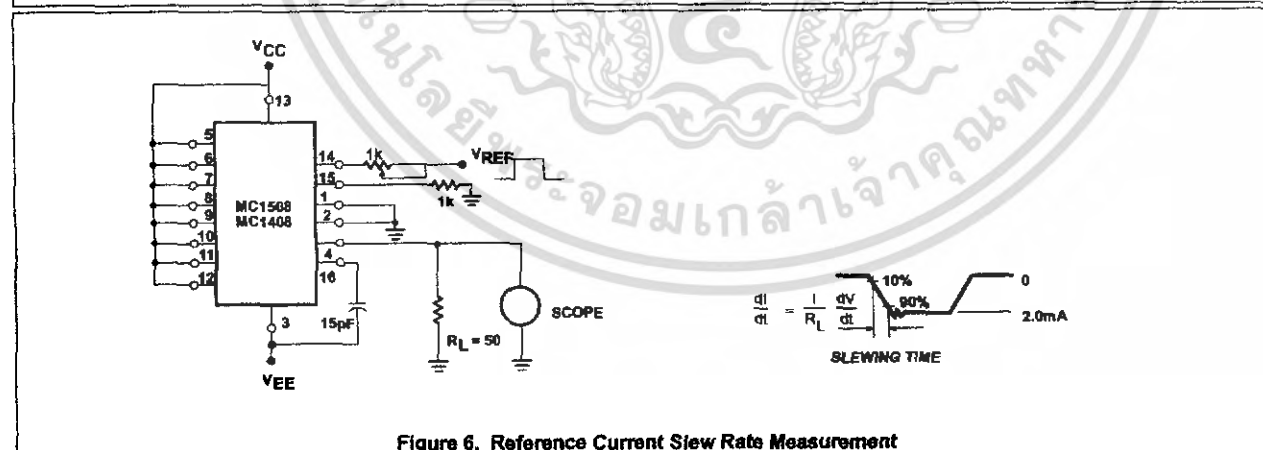


Figure 6. Reference Current Slew Rate Measurement

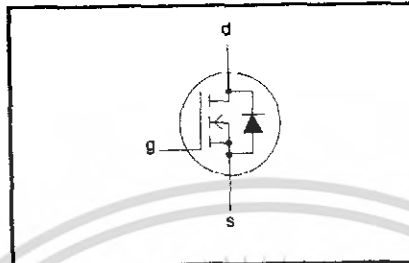
**PowerMOS transistors
Avalanche energy rated**

IRFP460

FEATURES

- Repetitive Avalanche Rated
- Fast switching
- Stable off-state characteristics
- High thermal cycling performance
- Low thermal resistance

SYMBOL



QUICK REFERENCE DATA

$V_{DSS} = 500\text{ V}$
$I_D = 20\text{ A}$
$R_{DS(ON)} \leq 0.27\ \Omega$

GENERAL DESCRIPTION

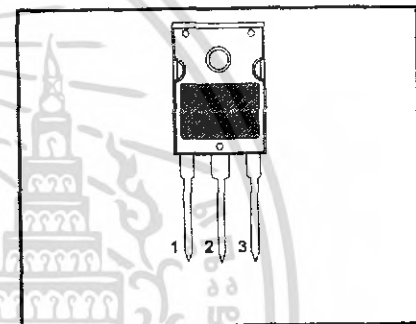
N-channel, enhancement mode field-effect power transistor, intended for use in off-line switched mode power supplies, T.V. and computer monitor power supplies, d.c. to d.c. converters, motor control circuits and general purpose switching applications.

The IRFP460 is supplied in the SOT429 (TO247) conventional leaded package.

PINNING

PIN	DESCRIPTION
1	gate
2	drain
3	source
tab	drain

SOT429 (TO247)



LIMITING VALUES

Limiting values in accordance with the Absolute Maximum System (IEC 134)

SYMBOL	PARAMETER	CONDITIONS	MIN.	MAX.	UNIT
V_{DSS}	Drain-source voltage	$T_j = 25\text{ }^\circ\text{C}$ to $150\text{ }^\circ\text{C}$	-	500	V
V_{DGR}	Drain-gate voltage	$T_j = 25\text{ }^\circ\text{C}$ to $150\text{ }^\circ\text{C}$; $R_{GS} = 20\text{ k}\Omega$	-	500	V
V_{GS}	Gate-source voltage		-	± 30	V
I_D	Continuous drain current	$T_{mb} = 25\text{ }^\circ\text{C}$; $V_{GS} = 10\text{ V}$	-	20	A
		$T_{mb} = 100\text{ }^\circ\text{C}$; $V_{GS} = 10\text{ V}$	-	12.4	A
I_{DM}	Pulsed drain current	$T_{mb} = 25\text{ }^\circ\text{C}$	-	80	A
P_D	Total dissipation	$T_{mb} = 25\text{ }^\circ\text{C}$	-	250	W
T_j, T_{stg}	Operating junction and storage temperature range		-55	150	$^\circ\text{C}$

AVALANCHE ENERGY LIMITING VALUES

Limiting values in accordance with the Absolute Maximum System (IEC 134)

SYMBOL	PARAMETER	CONDITIONS	MIN.	MAX.	UNIT
E_{AS}	Non-repetitive avalanche energy	Unclamped inductive load, $I_{AS} = 20\text{ A}$; $t_p = 0.2\text{ ms}$; T_j prior to avalanche = $25\text{ }^\circ\text{C}$; $V_{DD} \leq 50\text{ V}$; $R_{GS} = 50\ \Omega$; $V_{GS} = 10\text{ V}$	-	1300	mJ
E_{AR}	Repetitive avalanche energy ¹	$I_{AR} = 20\text{ A}$; $t_p = 2.5\ \mu\text{s}$; T_j prior to avalanche = $25\text{ }^\circ\text{C}$; $R_{GS} = 50\ \Omega$; $V_{GS} = 10\text{ V}$	-	32	mJ
I_{AS}, I_{AR}	Repetitive and non-repetitive avalanche current		-	20	A

¹ pulse width and repetition rate limited by T_j max.

PowerMOS transistors
Avalanche energy rated

IRFP460

THERMAL RESISTANCES

SYMBOL	PARAMETER	CONDITIONS	MIN.	TYP.	MAX.	UNIT
$R_{th(j-mb)}$	Thermal resistance junction to mounting base		-	-	0.5	K/W
$R_{th(j-a)}$	Thermal resistance junction to ambient	SOT429 package, in free air	-	45	-	K/W

ELECTRICAL CHARACTERISTICS $T_j = 25\text{ }^\circ\text{C}$ unless otherwise specified

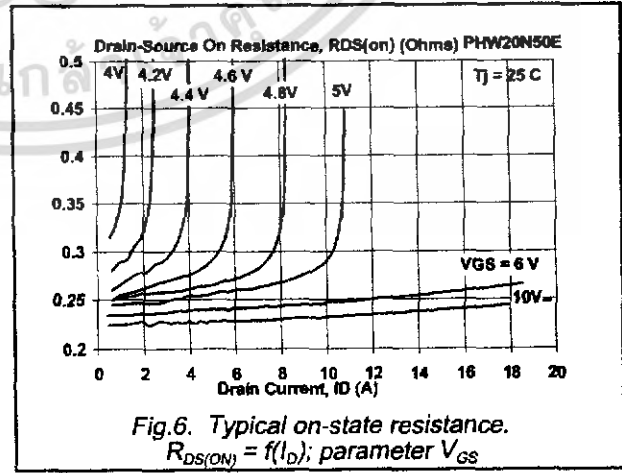
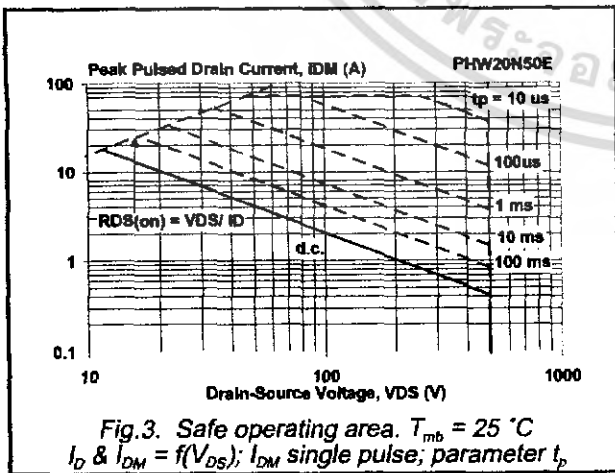
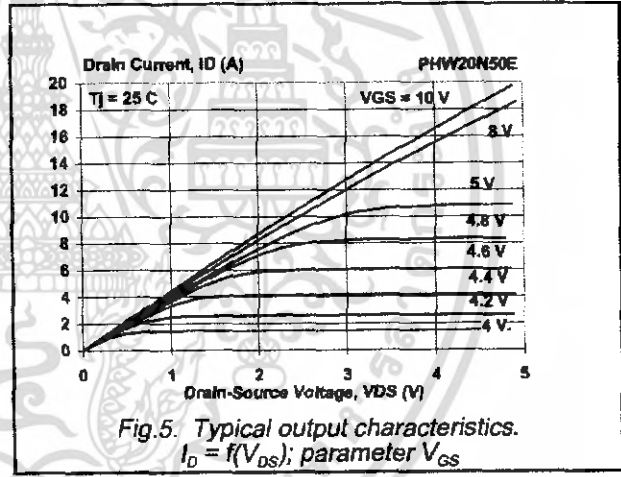
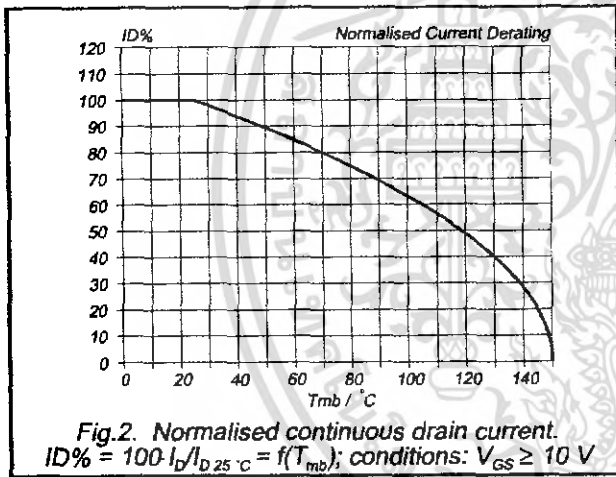
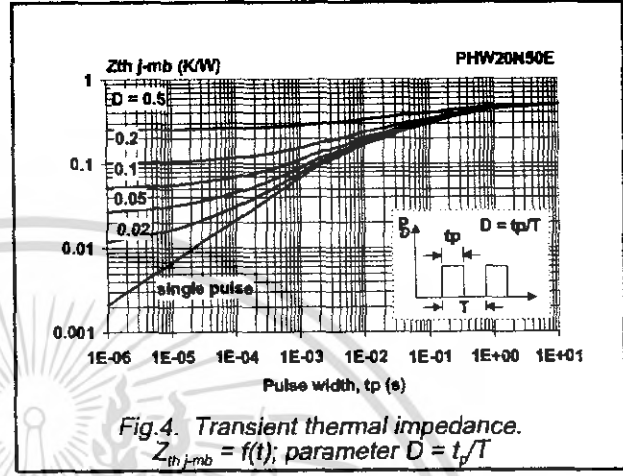
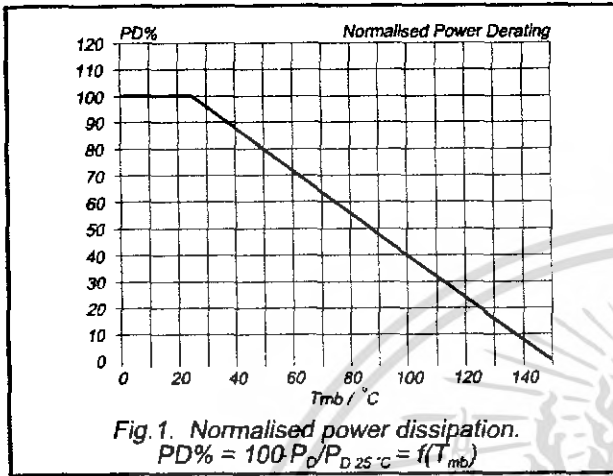
SYMBOL	PARAMETER	CONDITIONS	MIN.	TYP.	MAX.	UNIT
$V_{(BR)DSS}$	Drain-source breakdown voltage	$V_{GS} = 0\text{ V}; I_D = 0.25\text{ mA}$	500	-	-	V
$\Delta V_{(BR)DSS} / \Delta T_j$	Drain-source breakdown voltage temperature coefficient	$V_{DS} = V_{GS}; I_D = 0.25\text{ mA}$	-	0.1	-	%/K
$R_{DS(ON)}$	Drain-source on resistance	$V_{GS} = 10\text{ V}; I_D = 10\text{ A}$	-	0.2	0.27	Ω
$V_{GS(TH)}$	Gate threshold voltage	$V_{DS} = V_{GS}; I_D = 0.25\text{ mA}$	2.0	3.0	4.0	V
g_{fs}	Forward transconductance	$V_{DS} = 30\text{ V}; I_D = 10\text{ A}$	13	18	-	S
I_{DSS}	Drain-source leakage current	$V_{DS} = 500\text{ V}; V_{GS} = 0\text{ V}$	-	2	50	μA
I_{GSS}	Gate-source leakage current	$V_{DS} = 400\text{ V}; V_{GS} = 0\text{ V}; T_j = 125\text{ }^\circ\text{C}$ $V_{GS} = \pm 30\text{ V}; V_{DS} = 0\text{ V}$	-	100	1000	μA
$Q_{g(tot)}$	Total gate charge	$I_D = 20\text{ A}; V_{DD} = 400\text{ V}; V_{GS} = 10\text{ V}$	-	147	190	nC
Q_{gs}	Gate-source charge		-	12	18	nC
Q_{gd}	Gate-drain (Miller) charge		-	78	100	nC
$t_{d(on)}$	Turn-on delay time	$V_{DD} = 250\text{ V}; R_D = 12\text{ }\Omega;$ $R_G = 3.9\text{ }\Omega$	-	23	-	ns
t_r	Turn-on rise time		-	72	-	ns
$t_{d(off)}$	Turn-off delay time		-	150	-	ns
t_f	Turn-off fall time		-	75	-	ns
L_d	Internal drain inductance	Measured from tab to centre of die	-	3.5	-	nH
L_d'	Internal drain inductance	Measured from drain lead to centre of die	-	4.5	-	nH
L_s	Internal source inductance	Measured from source lead to source bond pad	-	7.5	-	nH
C_{iss}	Input capacitance	$V_{GS} = 0\text{ V}; V_{DS} = 25\text{ V}; f = 1\text{ MHz}$	-	3000	-	pF
C_{oss}	Output capacitance		-	480	-	pF
C_{rss}	Feedback capacitance		-	270	-	pF

SOURCE-DRAIN DIODE RATINGS AND CHARACTERISTICS $T_j = 25\text{ }^\circ\text{C}$ unless otherwise specified

SYMBOL	PARAMETER	CONDITIONS	MIN.	TYP.	MAX.	UNIT
I_S	Continuous source current (body diode)	$T_{mb} = 25\text{ }^\circ\text{C}$	-	-	20	A
I_{SM}	Pulsed source current (body diode)	$T_{mb} = 25\text{ }^\circ\text{C}$	-	-	80	A
V_{SD}	Diode forward voltage	$I_S = 20\text{ A}; V_{GS} = 0\text{ V}$	-	-	1.5	V
t_{rr}	Reverse recovery time	$I_S = 20\text{ A}; V_{GS} = 0\text{ V}; dI/dt = 100\text{ A}/\mu\text{s}$	-	900	-	ns
Q_{rr}	Reverse recovery charge		-	15	-	μC

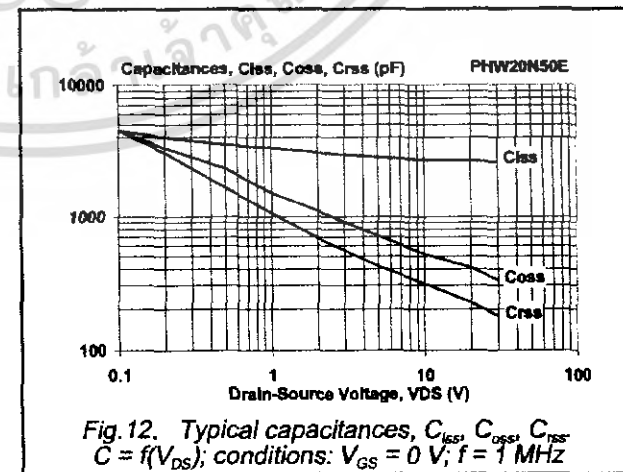
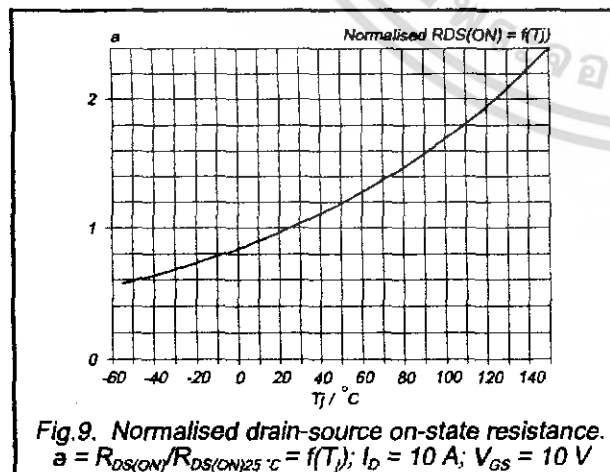
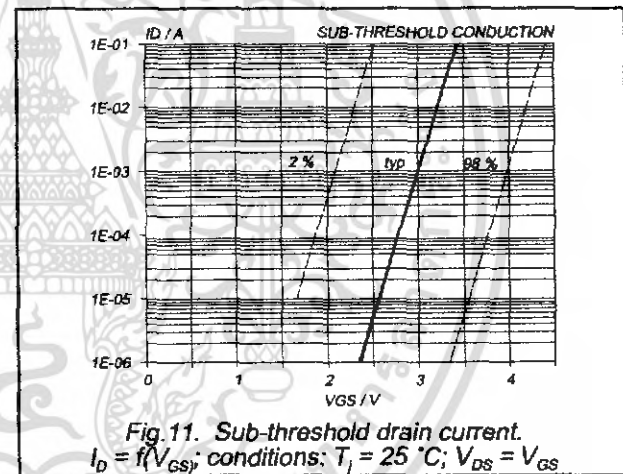
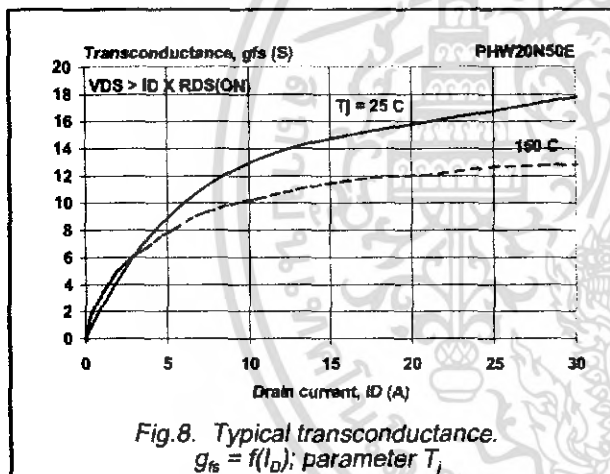
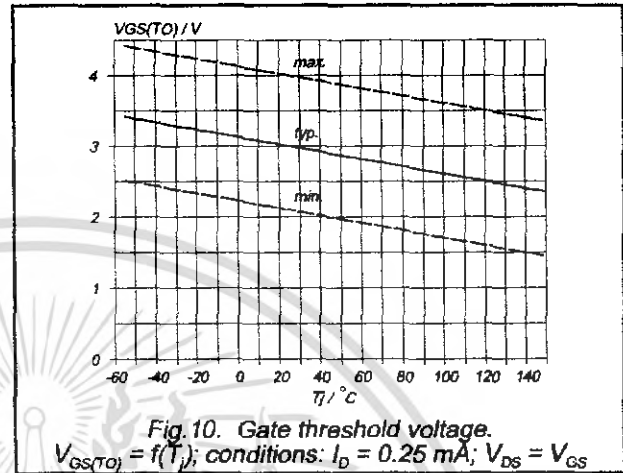
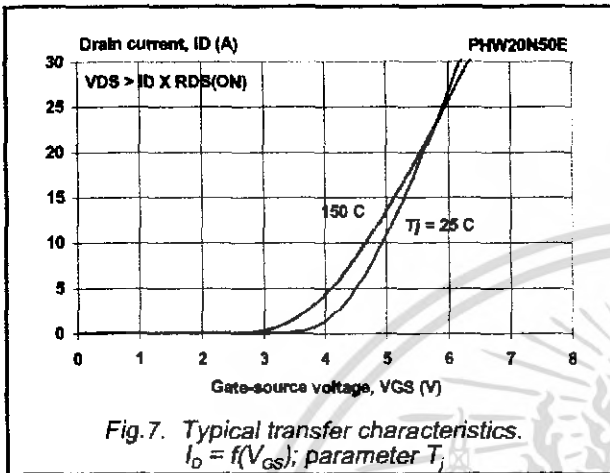
PowerMOS transistors
Avalanche energy rated

IRFP460



PowerMOS transistors
Avalanche energy rated

IRFP460



PowerMOS transistors
Avalanche energy rated

IRFP460

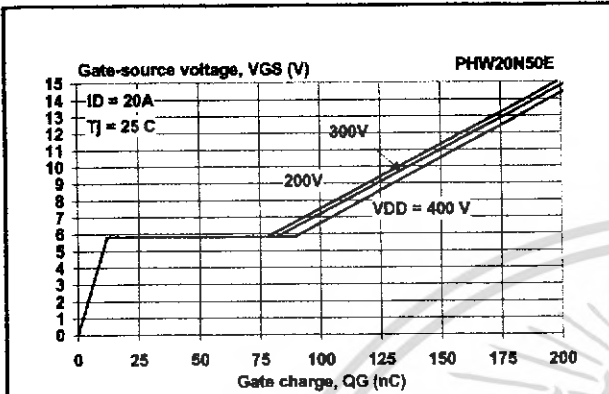


Fig. 13. Typical turn-on gate-charge characteristics.
 $V_{GS} = f(Q_G)$; parameter V_{DS}

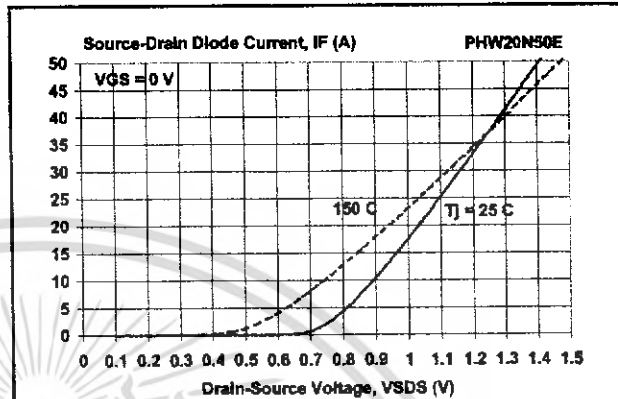


Fig. 16. Source-Drain diode characteristic.
 $I_F = f(V_{SDS})$; parameter T_j

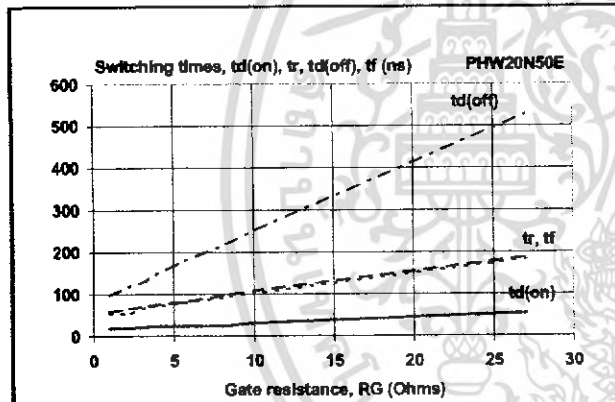


Fig. 14. Typical switching times; $t_{d(on)}$, t_r , $t_{d(off)}$, $t_f = f(R_G)$

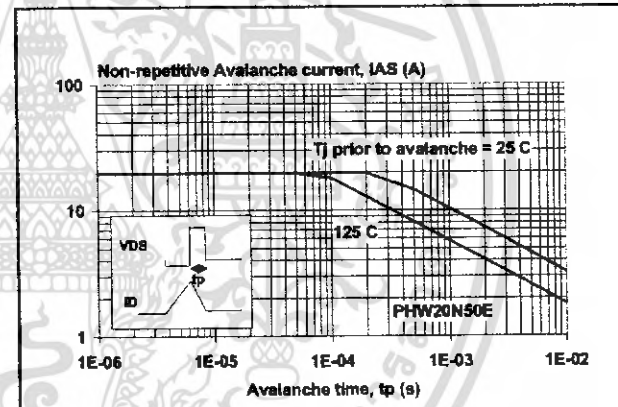


Fig. 17. Maximum permissible non-repetitive avalanche current (I_{AS}) versus avalanche time (t_p); unclamped inductive load

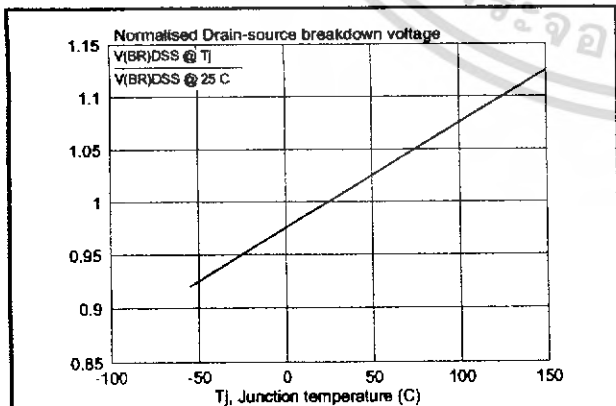


Fig. 15. Normalised drain-source breakdown voltage;
 $V_{(BR)DSS} / V_{(BR)DSS 25^\circ C} = f(T_j)$

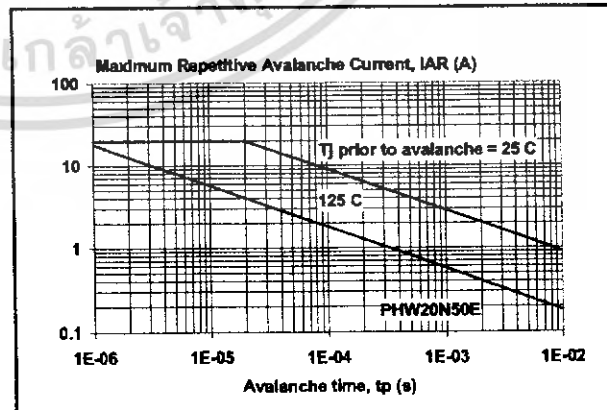


Fig. 18. Maximum permissible repetitive avalanche current (I_{AR}) versus avalanche time (t_p)

PowerMOS transistors
Avalanche energy rated

IRFP460

MECHANICAL DATA

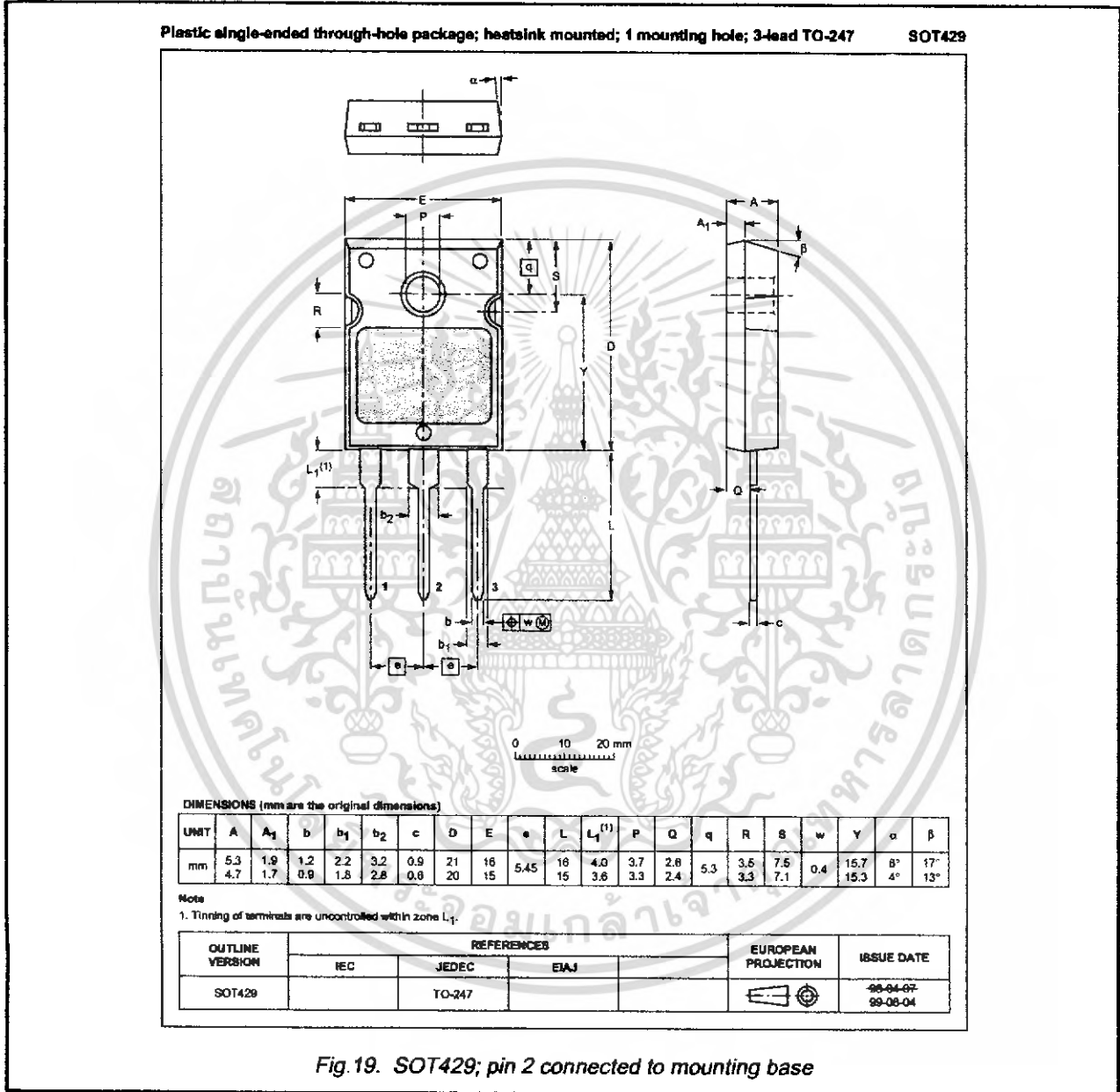


Fig. 19. SOT429; pin 2 connected to mounting base

Notes

1. Observe the general handling precautions for electrostatic-discharge sensitive devices (ESDs) to prevent damage to MOS gate oxide.
2. Refer to mounting instructions for SOT429 envelope.
3. Epoxy meets UL94 V0 at 1/8".

PowerMOS transistors Avalanche energy rated

IRFP460

DEFINITIONS

Data sheet status	
Objective specification	This data sheet contains target or goal specifications for product development.
Preliminary specification	This data sheet contains preliminary data; supplementary data may be published later.
Product specification	This data sheet contains final product specifications.
Limiting values	
Limiting values are given in accordance with the Absolute Maximum Rating System (IEC 134). Stress above one or more of the limiting values may cause permanent damage to the device. These are stress ratings only and operation of the device at these or at any other conditions above those given in the Characteristics sections of this specification is not implied. Exposure to limiting values for extended periods may affect device reliability.	
Application information	
Where application information is given, it is advisory and does not form part of the specification.	
© Philips Electronics N.V. 1999	
All rights are reserved. Reproduction in whole or in part is prohibited without the prior written consent of the copyright owner.	
The information presented in this document does not form part of any quotation or contract, it is believed to be accurate and reliable and may be changed without notice. No liability will be accepted by the publisher for any consequence of its use. Publication thereof does not convey nor imply any license under patent or other industrial or intellectual property rights.	

LIFE SUPPORT APPLICATIONS

These products are not designed for use in life support appliances, devices or systems where malfunction of these products can be reasonably expected to result in personal injury. Philips customers using or selling these products for use in such applications do so at their own risk and agree to fully indemnify Philips for any damages resulting from such improper use or sale.

Precision Waveform Generator/ Voltage Controlled Oscillator

November 1996

Features

- Low Frequency Drift with Temperature . . . 250ppm/°C
- Low Distortion 1% (Sine Wave Output)
- High Linearity 0.1% (Triangle Wave Output)
- Wide Frequency Range 0.001Hz to 300kHz
- Variable Duty Cycle 2% to 98%
- High Level Outputs TTL to 28V
- Simultaneous Sine, Square, and Triangle Wave Outputs
- Easy to Use - Just a Handful of External Components Required

Description

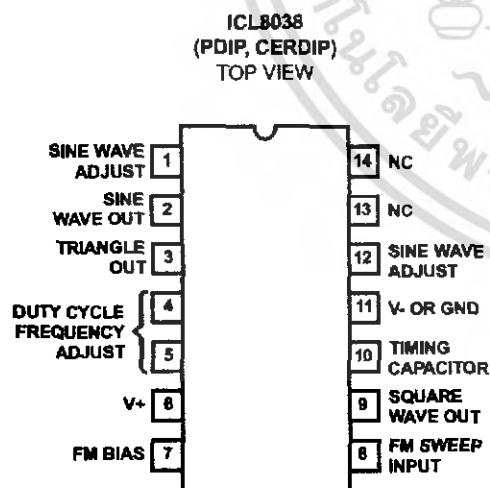
The ICL8038 waveform generator is a monolithic integrated circuit capable of producing high accuracy sine, square, triangular, sawtooth and pulse waveforms with a minimum of external components. The frequency (or repetition rate) can be selected externally from 0.001Hz to more than 300kHz using either resistors or capacitors, and frequency modulation and sweeping can be accomplished with an external voltage. The ICL8038 is fabricated with advanced monolithic technology, using Schottky barrier diodes and thin film resistors, and the output is stable over a wide range of temperature and supply variations. These devices may be interfaced with phase locked loop circuitry to reduce temperature drift to less than 250ppm/°C.

Ordering Information

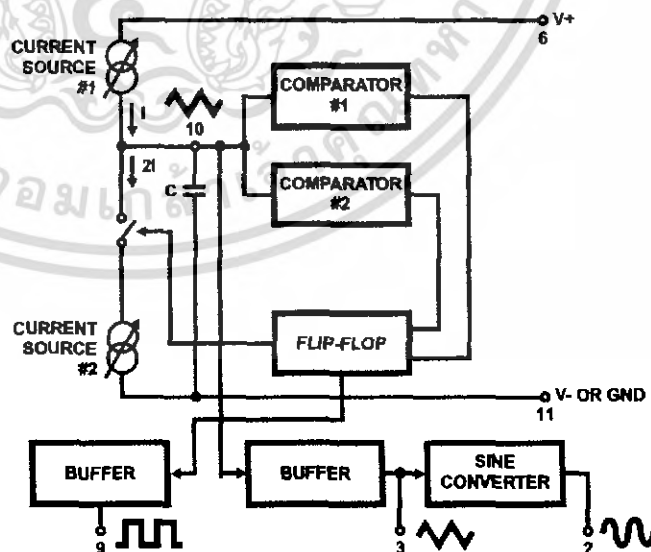
PART NUMBER	STABILITY	TEMP. RANGE (°C)	PACKAGE	PKG. NO.
ICL8038CCPD	250ppm/°C (Typ)	0 to 70	14 Ld PDIP	E14.3
ICL8038CCJD	250ppm/°C (Typ)	0 to 70	14 Ld CERDIP	F14.3
ICL8038BCJD	180ppm/°C (Typ)	0 to 70	14 Ld CERDIP	F14.3
ICL8038ACJD	120ppm/°C (Typ)	0 to 70	14 Ld CERDIP	F14.3
ICL8038BMJD (Note)	350ppm/°C (Max)	-55 to 125	14 Ld CERDIP	F14.3
ICL8038AMJD (Note)	250ppm/°C (Max)	-55 to 125	14 Ld CERDIP	F14.3

NOTE: Add /883B to part number if 883 processing is required.

Pinout



Functional Diagram



CAUTION: These devices are sensitive to electrostatic discharge. Users should follow proper IC Handling Procedures.

File Number **2864.2**

Copyright © Harris Corporation 1996

ICL8038

Absolute Maximum Ratings

Supply Voltage (V- to V+)	36V
Input Voltage (Any Pin)	V- to V+
Input Current (Pins 4 and 5)	25mA
Output Sink Current (Pins 3 and 9)	25mA

Operating Conditions

Temperature Range	
ICL8038AM, ICL8038BM	-55°C to 125°C
ICL8038AC, ICL8038BC, ICL8038CC	0°C to 70°C

CAUTION: Stresses above those listed in "Absolute Maximum Ratings" may cause permanent damage to the device. This is a stress only rating and operation of the device at these or any other conditions above those indicated in the operational sections of this specification is not implied.

NOTE:

1. θ_{JA} is measured with the component mounted on an evaluation PC board in free air.

Thermal Information

Thermal Resistance (Typical, Note 1)	θ_{JA} (°C/W)	θ_{JC} (°C/W)
CERDIP Package	75	20
PDIP Package	115	N/A
Maximum Junction Temperature (Ceramic Package)	175°C	
Maximum Junction Temperature (Plastic Package)	150°C	
Maximum Storage Temperature Range	-65°C to 150°C	
Maximum Lead Temperature (Soldering 10s)	300°C	

Electrical Specifications $V_{SUPPLY} = \pm 10V$ or $+20V$, $T_A = 25^\circ C$, $R_L = 10k\Omega$, Test Circuit Unless Otherwise Specified

PARAMETER	SYMBOL	TEST CONDITIONS	ICL8038CC			ICL8038BC(BM)			ICL8038AC(AM)			UNITS
			MIN	TYP	MAX	MIN	TYP	MAX	MIN	TYP	MAX	
Supply Voltage Operating Range	V_{SUPPLY}											
	V+	Single Supply	+10	-	+30	+10	-	+30	+10	-	+30	V
	V+, V-	Dual Supplies	± 5	-	± 15	± 5	-	± 15	± 5	-	± 5	V
Supply Current	I_{SUPPLY}	$V_{SUPPLY} = \pm 10V$ (Note 2)										
	8038AM, 8038BM		-	-	-	12	15	-	12	15	-	15
	8038AC, 8038BC, 8038CC		-	12	20	-	12	20	-	12	20	mA

FREQUENCY CHARACTERISTICS (All Waveforms)

Max. Frequency of Oscillation	f_{MAX}		100	-	-	100	-	-	100	-	-	kHz
Sweep Frequency of FM Input	f_{SWEEP}		-	10	-	-	10	-	-	10	-	kHz
Sweep FM Range		(Note 3)	-	35:1	-	-	35:1	-	-	35:1	-	
FM Linearity		10:1 Ratio	-	0.5	-	-	0.2	-	-	0.2	-	%
Frequency Drift with Temperature (Note 5)	$\Delta f/\Delta T$	0°C to 70°C	-	250	-	-	180	-	-	120	-	ppm/°C
		-55°C to 125°C	-	-	-	-	350	-	-	250	-	ppm/°C
Frequency Drift with Supply Voltage	$\Delta f/\Delta V$	Over Supply Voltage Range	-	0.05	-	-	0.05	-	-	0.05	-	%/V

OUTPUT CHARACTERISTICS

Square Wave												
Leakage Current	I_{OLK}	$V_g = 30V$	-	-	1	-	-	1	-	-	1	μA
Saturation Voltage	V_{SAT}	$I_{SINK} = 2mA$	-	0.2	0.5	-	0.2	0.4	-	0.2	0.4	V
Rise Time	t_R	$R_L = 4.7k\Omega$	-	180	-	-	180	-	-	180	-	ns
Fall Time	t_F	$R_L = 4.7k\Omega$	-	40	-	-	40	-	-	40	-	ns
Typical Duty Cycle Adjust (Note 6)	ΔD		2		98	2		98	2		98	%
Triangle/Sawtooth/Ramp												
Amplitude	$V_{TRIANGLE}$	$R_{TRI} = 100k\Omega$	0.30	0.33	-	0.30	0.33	-	0.30	0.33	-	$\times V_{SUPPLY}$
Linearity			-	0.1	-	-	0.05	-	-	0.05	-	%

ICL8038

Electrical Specifications $V_{SUPPLY} = \pm 10V$ or $+20V$, $T_A = 25^\circ C$, $R_L = 10k\Omega$, Test Circuit Unless Otherwise Specified (Continued)

PARAMETER	SYMBOL	TEST CONDITIONS	ICL8038CC			ICL8038BC(BM)			ICL8038AC(AM)			UNITS
			MIN	TYP	MAX	MIN	TYP	MAX	MIN	TYP	MAX	
Output Impedance	Z_{OUT}	$I_{OUT} = 5mA$	-	200	-	-	200	-	-	200	-	Ω
Sine Wave Amplitude	V_{SINE}	$R_{SINE} = 100k\Omega$	0.2	0.22	-	0.2	0.22	-	0.2	0.22	-	$\times V_{SUPPLY}$
THD	THD	$R_S = 1M\Omega$ (Note 4)	-	2.0	5	-	1.5	3	-	1.0	1.5	%
THD Adjusted	THD	Use Figure 4	-	1.5	-	-	1.0	-	-	0.8	-	%

NOTES:

2. R_A and R_B currents not included.
3. $V_{SUPPLY} = 20V$; R_A and $R_B = 10k\Omega$, $f \cong 10kHz$ nominal; can be extended 1000 to 1. See Figures 5A and 5B.
4. $82k\Omega$ connected between pins 11 and 12. Triangle Duty Cycle set at 50%. (Use R_A and R_B .)
5. Figure 1, pins 7 and 8 connected, $V_{SUPPLY} = \pm 10V$. See Typical Curves for T.C. vs V_{SUPPLY} .
6. Not tested, typical value for design purposes only.

Test Conditions

PARAMETER	R_A	R_B	R_C	C	SW ₁	MEASURE
Supply Current	10k Ω	10k Ω	10k Ω	3.3nF	Closed	Current Into Pin 6
Sweep FM Range (Note 7)	10k Ω	10k Ω	10k Ω	3.3nF	Open	Frequency at Pin 9
Frequency Drift with Temperature	10k Ω	10k Ω	10k Ω	3.3nF	Closed	Frequency at Pin 3
Frequency Drift with Supply Voltage (Note 8)	10k Ω	10k Ω	10k Ω	3.3nF	Closed	Frequency at Pin 9
Output Amplitude (Note 10)						
Sine	10k Ω	10k Ω	10k Ω	3.3nF	Closed	Pk-Pk Output at Pin 2
Triangle	10k Ω	10k Ω	10k Ω	3.3nF	Closed	Pk-Pk Output at Pin 3
Leakage Current (Off) (Note 9)	10k Ω	10k Ω		3.3nF	Closed	Current into Pin 9
Saturation Voltage (On) (Note 9)	10k Ω	10k Ω		3.3nF	Closed	Output (Low) at Pin 9
Rise and Fall Times (Note 11)	10k Ω	10k Ω	4.7k Ω	3.3nF	Closed	Waveform at Pin 9
Duty Cycle Adjust (Note 11)						
Max	50k Ω	-1.6k Ω	10k Ω	3.3nF	Closed	Waveform at Pin 9
Min	-25k Ω	50k Ω	10k Ω	3.3nF	Closed	Waveform at Pin 9
Triangle Waveform Linearity	10k Ω	10k Ω	10k Ω	3.3nF	Closed	Waveform at Pin 3
Total Harmonic Distortion	10k Ω	10k Ω	10k Ω	3.3nF	Closed	Waveform at Pin 2

NOTES:

7. The f_{HI} and f_{LO} frequencies can be obtained by connecting pin 8 to pin 7 (f_{HI}) and then connecting pin 8 to pin 6 (f_{LO}). Otherwise apply Sweep Voltage at pin 8 ($\frac{2}{3} V_{SUPPLY} + 2V$) $\leq V_{SWEEP} \leq V_{SUPPLY}$ where V_{SUPPLY} is the total supply voltage. In Figure 5B, pin 8 should vary between 5.3V and 10V with respect to ground.
8. $10V \leq V^+ \leq 30V$, or $\pm 5V \leq V_{SUPPLY} \leq \pm 15V$.
9. Oscillation can be halted by forcing pin 10 to +5V or -5V.
10. Output Amplitude is tested under static conditions by forcing pin 10 to 5V then to -5V.
11. Not tested; for design purposes only.

ICL8038

Test Circuit

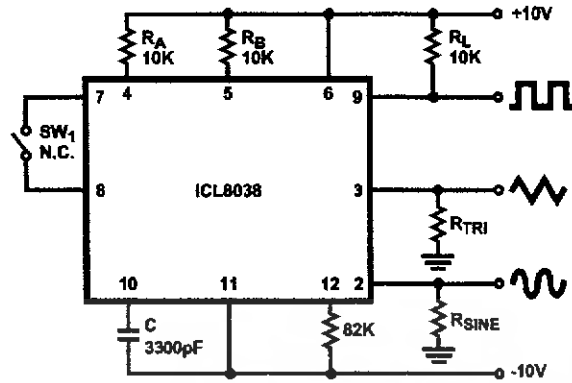
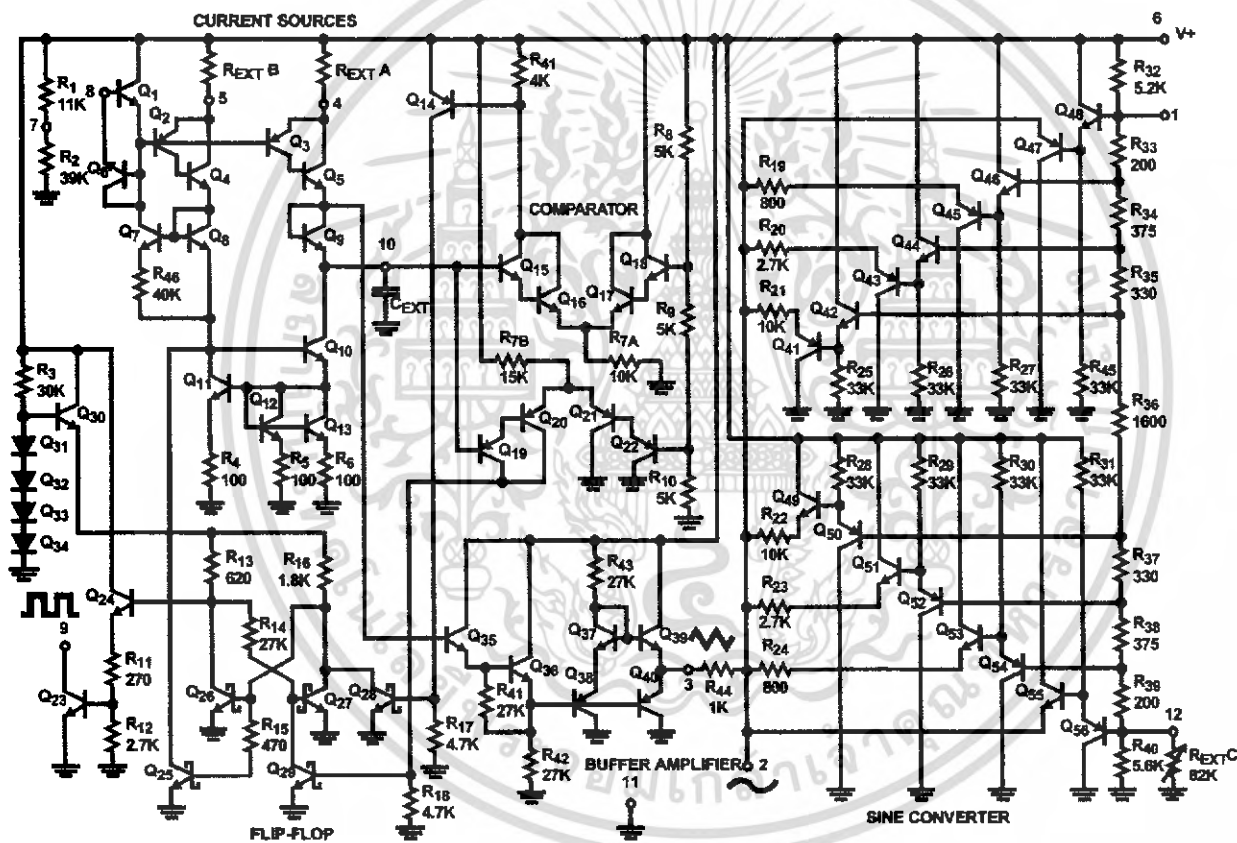


FIGURE 1. TEST CIRCUIT

Detailed Schematic



Application Information (See Functional Diagram)

An external capacitor C is charged and discharged by two current sources. Current source #2 is switched on and off by a flip-flop, while current source #1 is on continuously. Assuming that the flip-flop is in a state such that current source #2 is off, and the capacitor is charged with a current I, the voltage across the capacitor rises linearly with time. When this voltage reaches the level of comparator #1 (set at 2/3 of the supply voltage), the flip-flop is triggered, changes states, and releases current source #2. This current source normally carries a current 2I, thus the capacitor is discharged with a net-current I and the voltage

across it drops linearly with time. When it has reached the level of comparator #2 (set at 1/3 of the supply voltage), the flip-flop is triggered into its original state and the cycle starts again.

Four waveforms are readily obtainable from this basic generator circuit. With the current sources set at I and 2I respectively, the charge and discharge times are equal. Thus a triangle waveform is created across the capacitor and the flip-flop produces a square wave. Both waveforms are fed to buffer stages and are available at pins 3 and 9.

The levels of the current sources can, however, be selected over a wide range with two external resistors. Therefore, with the two currents set at values different from 1 and 2I, an asymmetrical sawtooth appears at Terminal 3 and pulses with a duty cycle from less than 1% to greater than 99% are available at Terminal 9.

The sine wave is created by feeding the triangle wave into a nonlinear network (sine converter). This network provides a decreasing shunt impedance as the potential of the triangle moves toward the two extremes.

Waveform Timing

The symmetry of all waveforms can be adjusted with the external timing resistors. Two possible ways to accomplish this are shown in Figure 3. Best results are obtained by keeping the timing resistors R_A and R_B separate (A). R_A controls the rising portion of the triangle and sine wave and the 1 state of the square wave.

The magnitude of the triangle waveform is set at $1/3 V_{SUPPLY}$; therefore the rising portion of the triangle is,

$$t_1 = \frac{C \times V}{I} = \frac{C \times 1/3 \times V_{SUPPLY} \times R_A}{0.22 \times V_{SUPPLY}} = \frac{R_A \times C}{0.66}$$

The falling portion of the triangle and sine wave and the 0 state of the square wave is:

$$t_2 = \frac{C \times V}{I} = \frac{C \times 1/3 V_{SUPPLY}}{2(0.22) \frac{V_{SUPPLY}}{R_B} - 0.22 \frac{V_{SUPPLY}}{R_A}} = \frac{R_A R_B C}{0.66(2R_A - R_B)}$$

Thus a 50% duty cycle is achieved when $R_A = R_B$.

If the duty cycle is to be varied over a small range about 50% only, the connection shown in Figure 3B is slightly more convenient. A 1kΩ potentiometer may not allow the duty cycle to be adjusted through 50% on all devices. If a 50% duty cycle is required, a 2kΩ or 5kΩ potentiometer should be used.

With two separate timing resistors, the frequency is given by:

$$f = \frac{1}{t_1 + t_2} = \frac{1}{\frac{R_A C}{0.66} \left(1 + \frac{R_B}{2R_A - R_B} \right)}$$

or, if $R_A = R_B = R$

$$f = \frac{0.33}{RC} \text{ (for Figure 3A)}$$

Neither time nor frequency are dependent on supply voltage, even though none of the voltages are regulated inside the integrated circuit. This is due to the fact that both currents and thresholds are direct, linear functions of the supply voltage and thus their effects cancel.

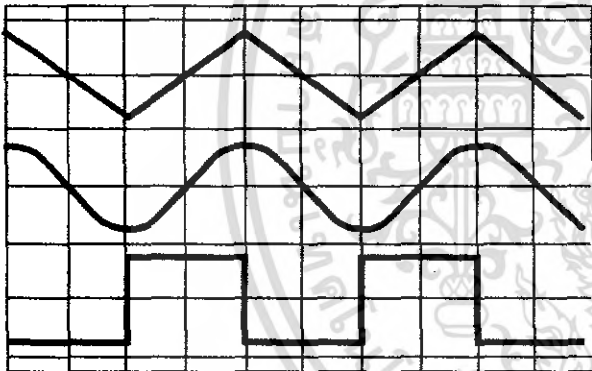


FIGURE 2A. SQUARE WAVE DUTY CYCLE - 50%

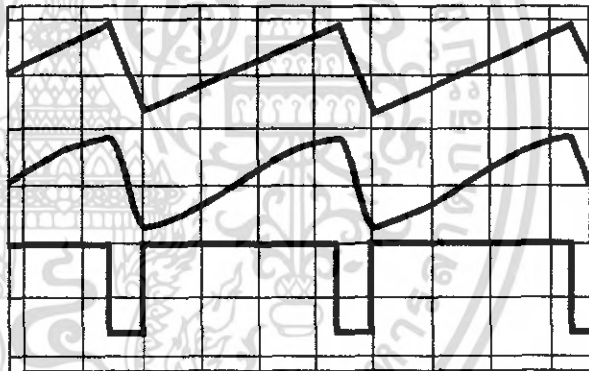


FIGURE 2B. SQUARE WAVE DUTY CYCLE - 80%

FIGURE 2. PHASE RELATIONSHIP OF WAVEFORMS

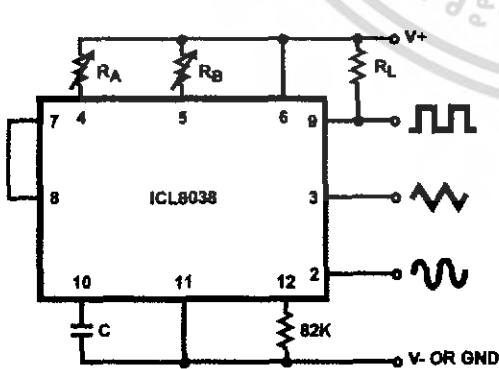


FIGURE 3A.

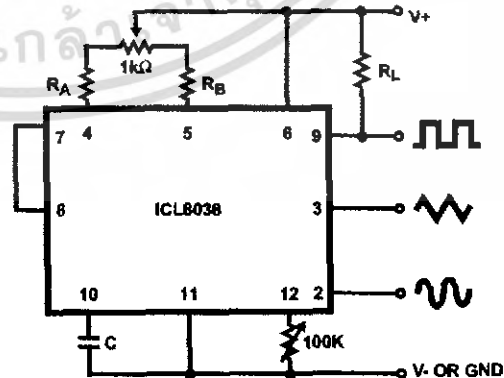


FIGURE 3B.

FIGURE 3. POSSIBLE CONNECTIONS FOR THE EXTERNAL TIMING RESISTORS

Reducing Distortion

To minimize sine wave distortion the 82kΩ resistor between pins 11 and 12 is best made variable. With this arrangement distortion of less than 1% is achievable. To reduce this even further, two potentiometers can be connected as shown in Figure 4; this configuration allows a typical reduction of sine wave distortion close to 0.5%.

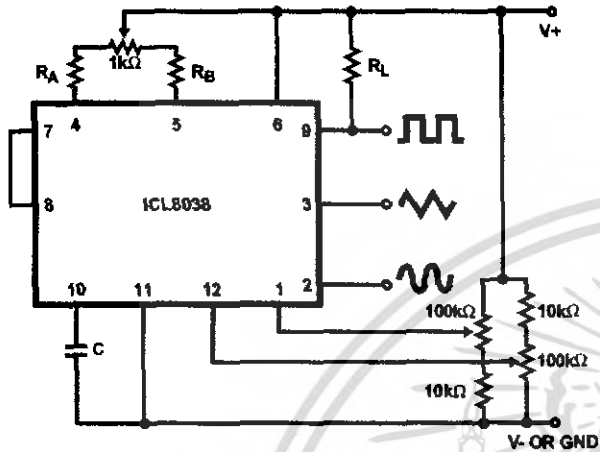


FIGURE 4. CONNECTION TO ACHIEVE MINIMUM SINE WAVE DISTORTION

Selecting RA, RB and C

For any given output frequency, there is a wide range of RC combinations that will work, however certain constraints are placed upon the magnitude of the charging current for optimum performance. At the low end, currents of less than 1μA are undesirable because circuit leakages will contribute significant errors at high temperatures. At higher currents (I > 5mA), transistor betas and saturation voltages will contribute increasingly larger errors. Optimum performance will, therefore, be obtained with charging currents of 10μA to 1mA. If pins 7 and 8 are shorted together, the magnitude of the charging current due to RA can be calculated from:

$$I = \frac{R_1 \times (V+ - V-)}{(R_1 + R_2)} \times \frac{1}{R_A} = \frac{0.22(V+ - V-)}{R_A}$$

R1 and R2 are shown in the Detailed Schematic.

A similar calculation holds for RB.

The capacitor value should be chosen at the upper end of its possible range.

Waveform Out Level Control and Power Supplies

The waveform generator can be operated either from a single power supply (10V to 30V) or a dual power supply (±15V to ±15V). With a single power supply the average levels of the triangle and sine wave are at exactly one-half of the supply voltage, while the square wave alternates between V+ and ground. A split power supply has the advantage that all waveforms move symmetrically about ground.

The square wave output is not committed. A load resistor can be connected to a different power supply, as long as the applied voltage remains within the breakdown capability of the waveform generator (30V). In this way, the square wave

output can be made TTL compatible (load resistor connected to +5V) while the waveform generator itself is powered from a much higher voltage.

Frequency Modulation and Sweeping

The frequency of the waveform generator is a direct function of the DC voltage at Terminal 8 (measured from V+). By altering this voltage, frequency modulation is performed. For small deviations (e.g. ±10%) the modulating signal can be applied directly to pin 8, merely providing DC decoupling with a capacitor as shown in Figure 5A. An external resistor between pins 7 and 8 is not necessary, but it can be used to increase input impedance from about 8kΩ (pins 7 and 8 connected together), to about (R + 8kΩ).

For larger FM deviations or for frequency sweeping, the modulating signal is applied between the positive supply voltage and pin 8 (Figure 5B). In this way the entire bias for the current sources is created by the modulating signal, and a very large (e.g. 1000:1) sweep range is created (f = 0 at VSWEAP = 0). Care must be taken, however, to regulate the supply voltage; in this configuration the charge current is no longer a function of the supply voltage (yet the trigger thresholds still are) and thus the frequency becomes dependent on the supply voltage. The potential on Pin 8 may be swept down from V+ by (1/3 VSUPPLY - 2V).

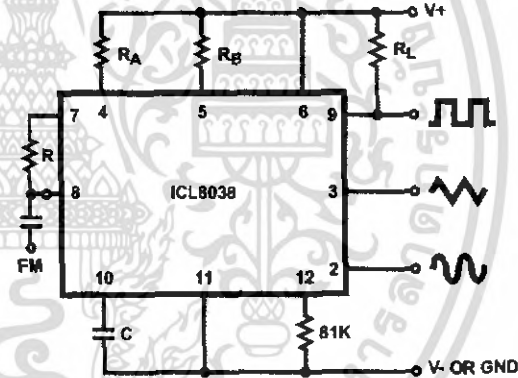


FIGURE 5A. CONNECTIONS FOR FREQUENCY MODULATION

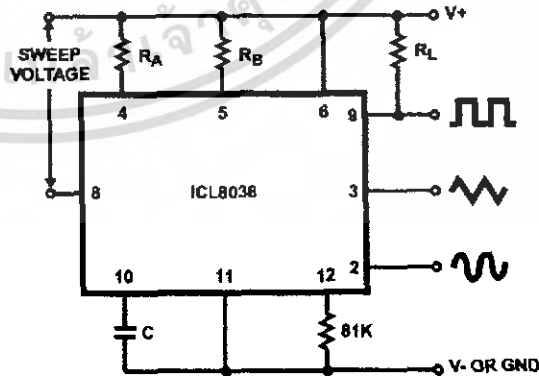


FIGURE 5B. CONNECTIONS FOR FREQUENCY SWEEP

Typical Applications

The sine wave output has a relatively high output impedance (1kΩ Typ). The circuit of Figure 6 provides buffering, gain and amplitude adjustment. A simple op amp follower could also be used.

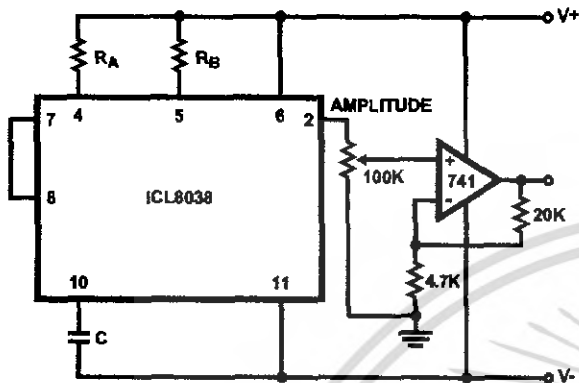


FIGURE 6. SINE WAVE OUTPUT BUFFER AMPLIFIERS

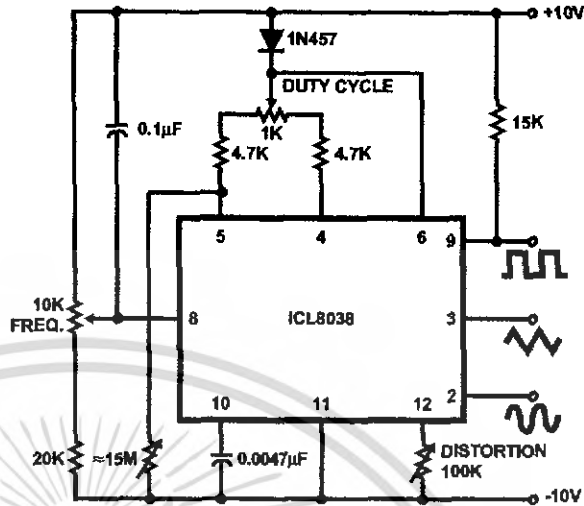


FIGURE 8. VARIABLE AUDIO OSCILLATOR, 20Hz TO 20kHz

With a dual supply voltage the external capacitor on Pin 10 can be shorted to ground to halt the ICL8038 oscillation. Figure 7 shows a FET switch, diode ANDed with an input strobe signal to allow the output to always start on the same slope.

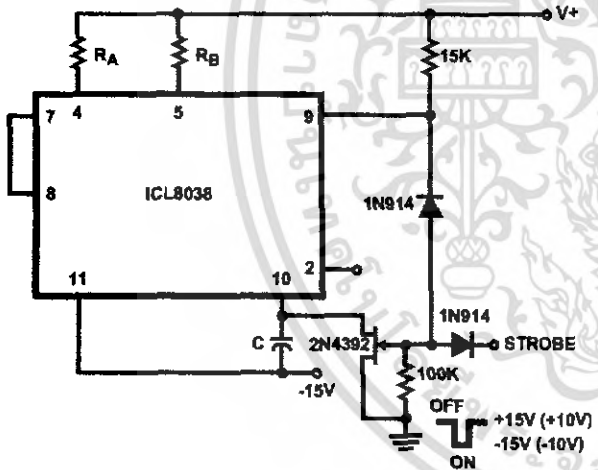


FIGURE 7. STROBE TONE BURST GENERATOR

To obtain a 1000:1 Sweep Range on the ICL8038 the voltage across external resistors RA and RB must decrease to nearly zero. This requires that the highest voltage on control Pin 8 exceed the voltage at the top of RA and RB by a few hundred mV. The Circuit of Figure 8 achieves this by using a diode to lower the effective supply voltage on the ICL8038. The large resistor on pin 5 helps reduce duty cycle variations with sweep.

The linearity of input sweep voltage versus output frequency can be significantly improved by using an op amp as shown in Figure 9.

ICL8038

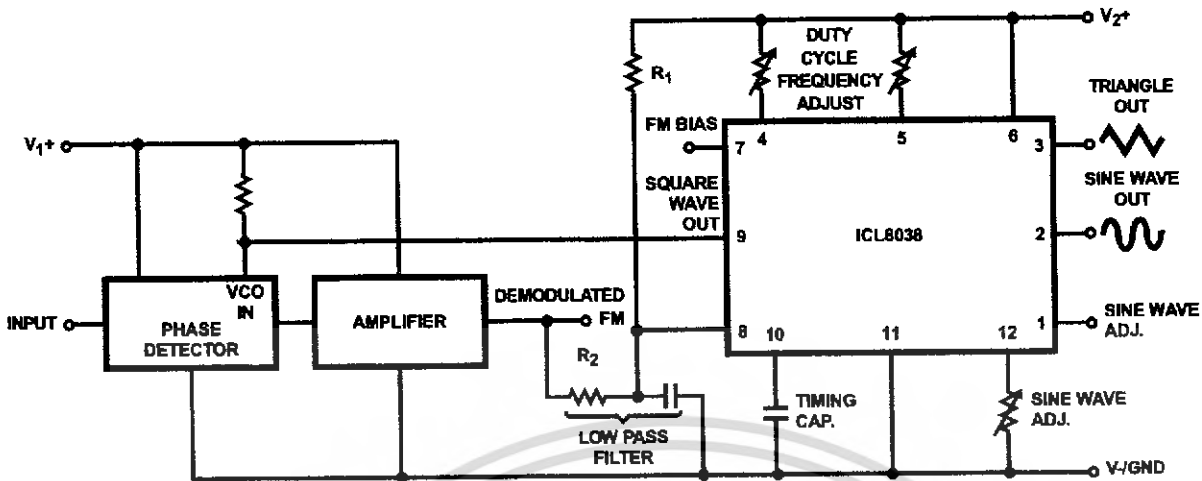


FIGURE 9. WAVEFORM GENERATOR USED AS STABLE VCO IN A PHASE-LOCKED LOOP

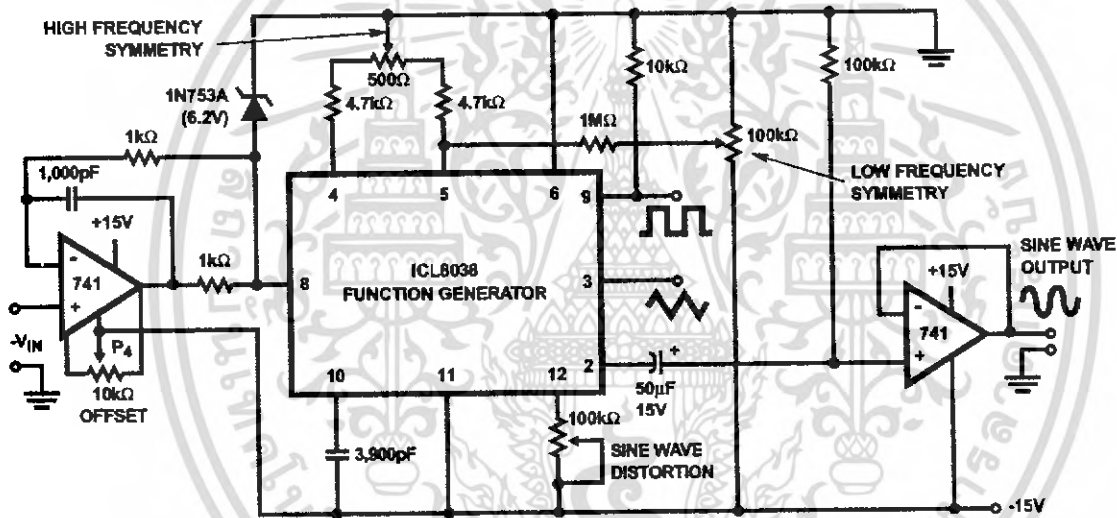


FIGURE 10. LINEAR VOLTAGE CONTROLLED OSCILLATOR

Use in Phase Locked Loops

Its high frequency stability makes the ICL8038 an ideal building block for a phase locked loop as shown in Figure 10. In this application the remaining functional blocks, the phase detector and the amplifier, can be formed by a number of available ICs (e.g., MC4344, NE562, HA2800, HA2820).

In order to match these building blocks to each other, two steps must be taken. First, two different supply voltages are used and the square wave output is returned to the supply of the phase detector. This assures that the VCO input voltage will not exceed the capabilities of the phase detector. If a smaller VCO signal is required, a simple resistive voltage divider is connected between pin 9 of the waveform generator and the VCO input of the phase detector.

Second, the DC output level of the amplifier must be made compatible to the DC level required at the FM input of the waveform generator (pin 8, 0.8V+). The simplest solution here is to provide a voltage divider to V₊ (R₁, R₂ as shown) if the amplifier has a lower output level, or to ground if its level is higher. The divider can be made part of the low-pass filter.

This application not only provides for a free-running frequency with very low temperature drift, but is also has the unique feature of producing a large reconstituted sinewave signal with a frequency identical to that at the input.

For further information, see Harris Application Note AN013, "Everything You Always Wanted to Know About the ICL8038".

Definition of Terms

Supply Voltage (V_{SUPPLY}). The total supply voltage from $V+$ to $V-$.

Supply Current. The supply current required from the power supply to operate the device, excluding load currents and the currents through R_A and R_B .

Frequency Range. The frequency range at the square wave output through which circuit operation is guaranteed.

Sweep FM Range. The ratio of maximum frequency to minimum frequency which can be obtained by applying a sweep voltage to pin 8. For correct operation, the sweep voltage should be within the range:

$$\left(\frac{2}{3} V_{SUPPLY} + 2V\right) < V_{SWEEP} < V_{SUPPLY}$$

FM Linearity. The percentage deviation from the best fit straight line on the control voltage versus output frequency curve.

Output Amplitude. The peak-to-peak signal amplitude appearing at the outputs.

Saturation Voltage. The output voltage at the collector of Q_{23} when this transistor is turned on. It is measured for a sink current of 2mA.

Rise and Fall Times. The time required for the square wave output to change from 10% to 90%, or 90% to 10%, of its final value.

Triangle Waveform Linearity. The percentage deviation from the best fit straight line on the rising and falling triangle waveform.

Total Harmonic Distortion. The total harmonic distortion at the sine wave output.

Typical Performance Curves

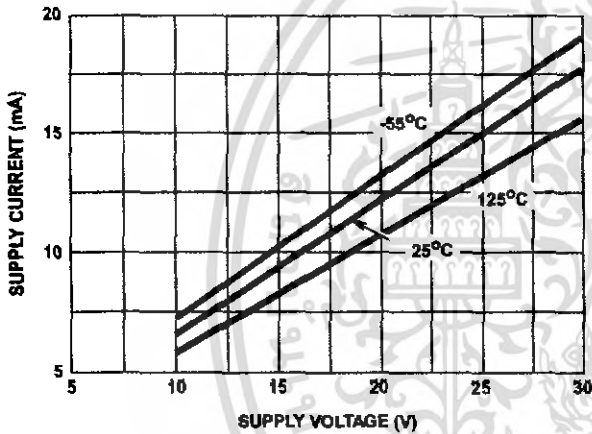


FIGURE 11. SUPPLY CURRENT vs SUPPLY VOLTAGE

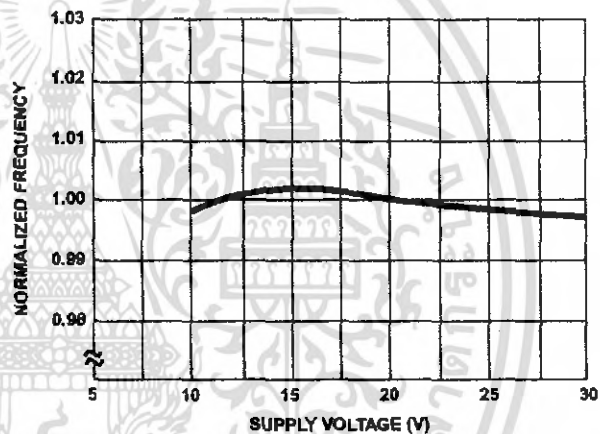


FIGURE 12. FREQUENCY vs SUPPLY VOLTAGE

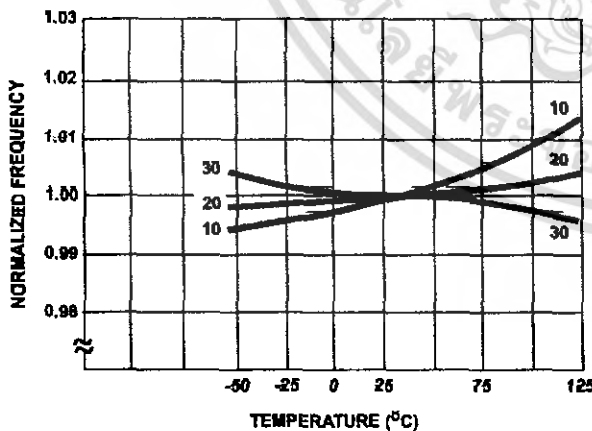


FIGURE 13. FREQUENCY vs TEMPERATURE

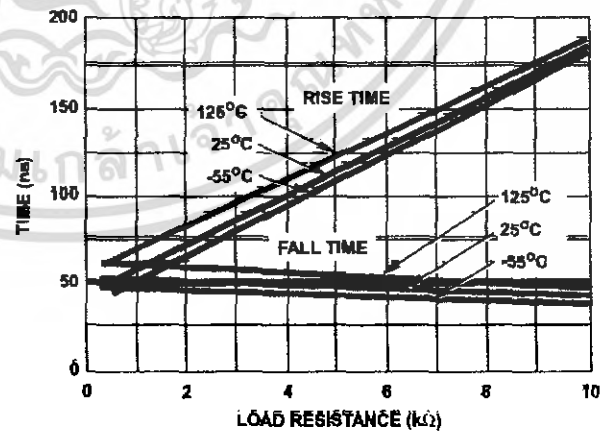


FIGURE 14. SQUARE WAVE OUTPUT RISE/FALL TIME vs LOAD RESISTANCE

Typical Performance Curves (Continued)

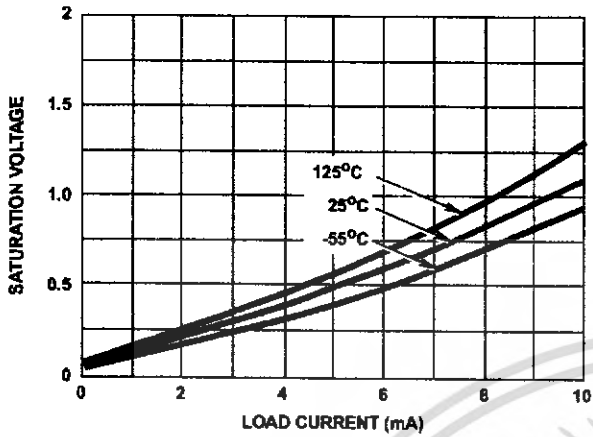


FIGURE 15. SQUARE WAVE SATURATION VOLTAGE vs LOAD CURRENT

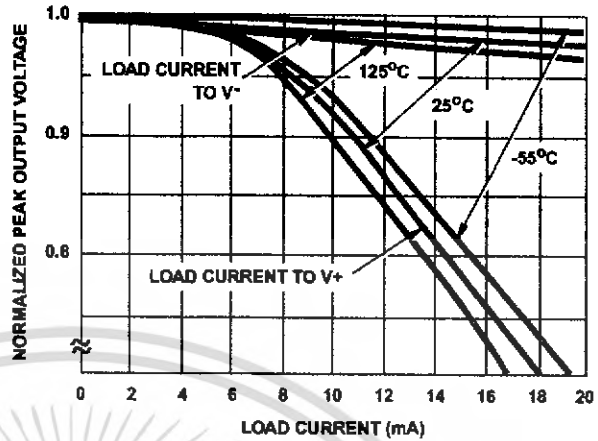


FIGURE 16. TRIANGLE WAVE OUTPUT VOLTAGE vs LOAD CURRENT

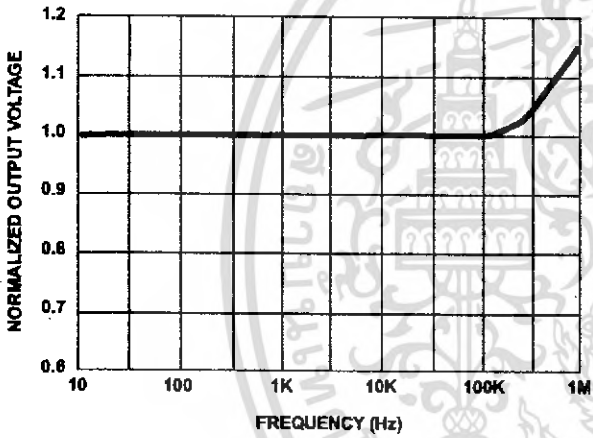


FIGURE 17. TRIANGLE WAVE OUTPUT VOLTAGE vs FREQUENCY

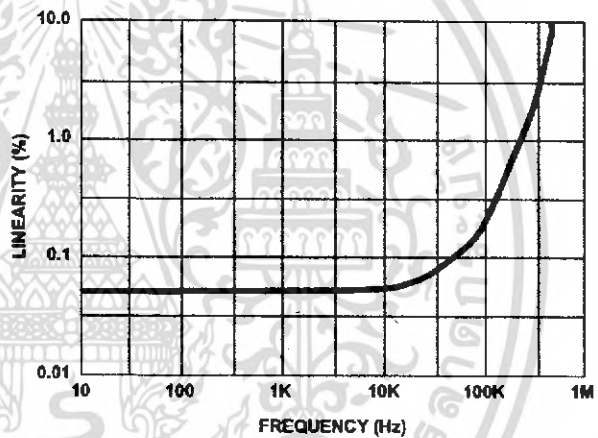


FIGURE 18. TRIANGLE WAVE LINEARITY vs FREQUENCY

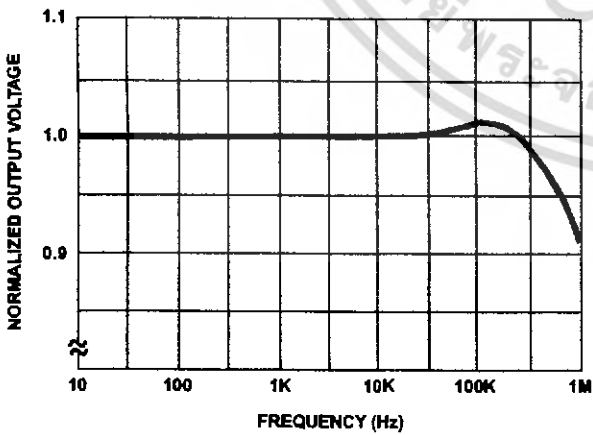


FIGURE 19. SINE WAVE OUTPUT VOLTAGE vs FREQUENCY

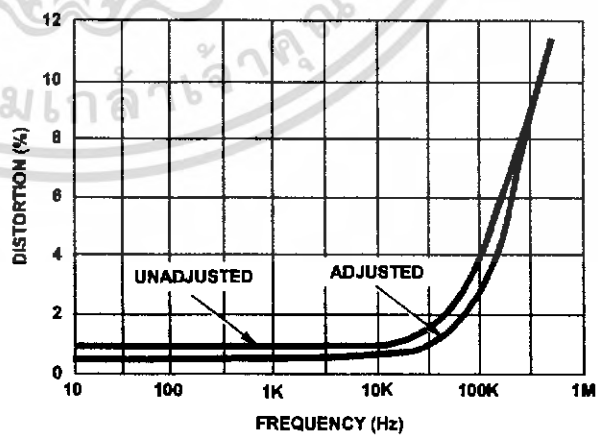


FIGURE 20. SINE WAVE DISTORTION vs FREQUENCY

เอกสารนี้เป็นเอกสารที่สงวนไว้สำหรับการใช้ 8-162 การศึกษาเท่านั้น ไม่อนุญาตให้นำไปใช้ประโยชน์ด้านการค้า
ไม่ว่ากรณีใดๆ ทั้งสิ้น อีกทั้งห้ามมิให้ตัดแปลงเนื้อหา และต้องอ้างอิงถึงเจ้าของเอกสารทุกครั้งที่มีการนำไปใช้

LM2524D/LM3524D Regulating Pulse Width Modulator

General Description

The LM3524D family is an improved version of the industry standard LM3524. It has improved specifications and additional features yet is pin for pin compatible with existing 3524 families. New features reduce the need for additional external circuitry often required in the original version.

The LM3524D has a $\pm 1\%$ precision 5V reference. The current carrying capability of the output drive transistors has been raised to 200 mA while reducing $V_{CE(sat)}$ and increasing V_{CE} breakdown to 60V. The common mode voltage range of the error-amp has been raised to 5.5V to eliminate the need for a resistive divider from the 5V reference.

In the LM3524D the circuit bias line has been isolated from the shut-down pin. This prevents the oscillator pulse amplitude and frequency from being disturbed by shut-down. Also at high frequencies (≈ 300 kHz) the max. duty cycle per output has been improved to 44% compared to 35% max. duty cycle in other 3524s.

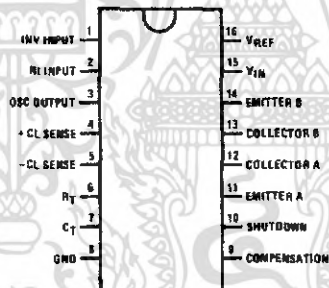
In addition, the LM3524D can now be synchronized externally, through pin 3. Also a latch has been added to insure

one pulse per period even in noisy environments. The LM3524D includes double pulse suppression logic that insures when a shut-down condition is removed the state of the T-flip-flop will change only after the first clock pulse has arrived. This feature prevents the same output from being pulsed twice in a row, thus reducing the possibility of core saturation in push-pull designs.

Features

- Fully interchangeable with standard LM3524 family
- $\pm 1\%$ precision 5V reference with thermal shut-down
- Output current to 200 mA DC
- 60V output capability
- Wide common mode input range for error-amp
- One pulse per period (noise suppression)
- Improved max. duty cycle at high frequencies
- Double pulse suppression
- Synchronize through pin 3

Connection Diagram

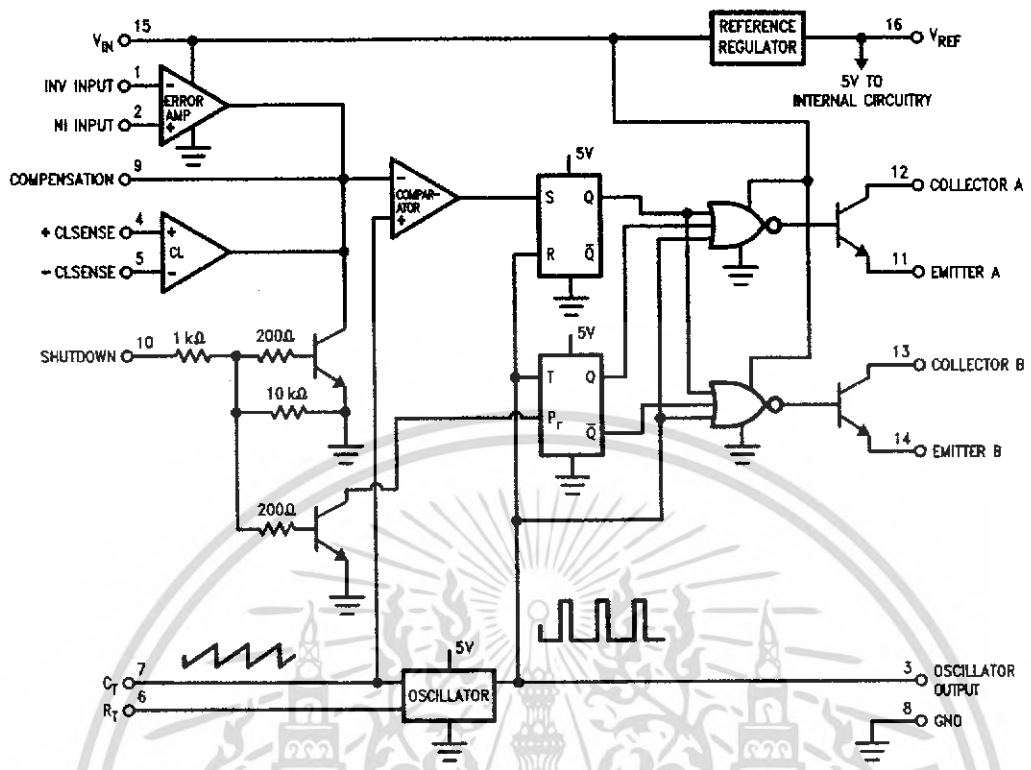


00866002

Top View

Order Number LM2524DN or LM3524DN
See NS Package Number N16E
Order Number LM3524DM
See NS Package Number M16A

Block Diagram



00865001

เอกสารนี้เป็นเอกสารที่สงวนไว้สำหรับการใช้งานเพื่อการศึกษาเท่านั้น ไม่อนุญาตให้นำไปใช้ประโยชน์ด้านการค้า ไม่ว่าจะกรณีใดๆ ทั้งสิ้น อีกทั้งห้ามมิให้ตัดแปลงเนื้อหา และต้องอ้างอิงถึงเจ้าของเอกสารทุกครั้งที่มีการนำไปใช้

Absolute Maximum Ratings (Note 5)

If Military/Aerospace specified devices are required, please contact the National Semiconductor Sales Office/Distributors for availability and specifications.

Supply Voltage	40V
Collector Supply Voltage (LM2524D)	55V
(LM3524D)	40V
Output Current DC (each)	200 mA
Oscillator Charging Current (Pin 7)	5 mA

Internal Power Dissipation	1W
Operating Junction Temperature Range (Note 2)	
LM2524D	-40°C to +125°C
LM3524D	0°C to +125°C
Maximum Junction Temperature	150°
Storage Temperature Range	-65°C to +150°C
Lead Temperature (Soldering 4 sec.) M, N Pkg.	260°C

Electrical Characteristics

(Note 1)

Symbol	Parameter	Conditions	LM2524D			LM3524D			Units
			Typ	Tested Limit (Note 3)	Design Limit (Note 4)	Typ	Tested Limit (Note 3)	Design Limit (Note 4)	
REFERENCE SECTION									
REF	Output Voltage		5	4.85	4.80	5	4.75		V_{Min}
				5.15	5.20		5.25		V_{Max}
R _{Line}	Line Regulation	$V_{IN} = 8V$ to 40V	10	15	30	10	25	50	mV_{Max}
R _{Load}	Load Regulation	$I_L = 0$ mA to 20 mA	10	15	25	10	25	50	mV_{Max}
$\frac{\Delta V_{IN}}{\Delta V_{REF}}$	Ripple Rejection	$f = 120$ Hz	66			66			dB
I _{SC}	Short Circuit Current	$V_{REF} = 0$	50	25		50	25		mA Min
				180			200		mA Max
f _o	Output Noise	10 Hz $\leq f \leq 10$ kHz	40		100	40		100	$\mu V_{rms Max}$
	Long Term Stability	$T_A = 125^\circ C$	20			20			mV/kHr
OSCILLATOR SECTION									
f _{osc}	Max. Freq.	$R_T = 1k, C_T = 0.001 \mu F$ (Note 7)	550		500	350			kHz _{Min}
f _{osc}	Initial Accuracy	$R_T = 5.6k, C_T = 0.01 \mu F$ (Note 7)	20	17.5		20	17.5		kHz _{Min}
				22.5			22.5		kHz _{Max}
			38	34		30		kHz _{Min}	
42		46			kHz _{Max}				
f _{osc}	Freq. Change with V_{IN}	$V_{IN} = 8$ to 40V	0.5	1		0.5	1.0		% _{Max}
f _{osc}	Freq. Change with Temp.	$T_A = -55^\circ C$ to +125°C at 20 kHz $R_T = 5.6k,$ $C_T = 0.01 \mu F$	5			5			%
V _{osc}	Output Amplitude (Pin 3) (Note 8)	$R_T = 5.6k, C_T = 0.01 \mu F$	3	2.4		3	2.4		V_{Min}
t _{pw}	Output Pulse Width (Pin 3)	$R_T = 5.6k, C_T = 0.01 \mu F$	0.5	1.5		0.5	1.5		μs_{Max}
	Sawtooth Peak Voltage	$R_T = 5.6k, C_T = 0.01 \mu F$	3.4	3.6	3.8		3.8		V_{Max}

เอกสารนี้เป็นเอกสารที่สงวนไว้สำหรับการใช้งานเพื่อการศึกษาเท่านั้น ไม่อนุญาตให้นำไปใช้ประโยชน์ด้านการค้า
ไม่ว่ากรณีใดๆ ทั้งสิ้น อีกทั้งห้ามมิให้คัดแปลงเนื้อหา และต้องอ้างอิงถึงเจ้าของเอกสารทุกครั้งที่มีการนำไปใช้

Electrical Characteristics (Continued)

(Note 1)

Symbol	Parameter	Conditions	LM2524D			LM3524D			Units
			Typ	Tested Limit (Note 3)	Design Limit (Note 4)	Typ	Tested Limit (Note 3)	Design Limit (Note 4)	
	Sawtooth Valley Voltage	$R_T = 5.6k, C_T = 0.01 \mu F$	1.1	0.8	0.6		0.6		V_{Min}
ERROR-AMP SECTION									
V_{IO}	Input Offset Voltage	$V_{CM} = 2.5V$	2	8	10	2	10		mV_{Max}
I_{IB}	Input Bias Current	$V_{CM} = 2.5V$	1	8	10	1	10		μA_{Max}
I_{IO}	Input Offset Current	$V_{CM} = 2.5V$	0.5	1.0	1	0.5	1		μA_{Max}
I_{COSI}	Compensation Current (Sink)	$V_{IN(I)} - V_{IN(NI)} = 150 mV$	95	65		95	65		μA_{Min}
				125			125		μA_{Max}
I_{COSO}	Compensation Current (Source)	$V_{IN(NI)} - V_{IN(I)} = 150 mV$	-95	-125		-95	-125		μA_{Min}
				-65			-65		μA_{Max}
A_{VOL}	Open Loop Gain	$R_L = \infty, V_{CM} = 2.5 V$	80	74	60	80	70	60	dB_{Min}
$VCMR$	Common Mode Input Voltage Range			1.5	1.4		1.5		V_{Min} V_{Max}
				5.5	5.4		5.5		
$CMRR$	Common Mode Rejection Ratio		90	80		90	80		dB_{Min}
G_{BW}	Unity Gain Bandwidth	$A_{VOL} = 0 dB, V_{CM} = 2.5V$	3			2			MHz
V_O	Output Voltage Swing	$R_L = \infty$		0.5			0.5		V_{Min} V_{Max}
				5.5			5.5		
$PSRR$	Power Supply Rejection Ratio	$V_{IN} = 8 \text{ to } 40V$	80		70	80	65		dB_{Min}
COMPARATOR SECTION									
$\frac{t_{ON}}{t_{OSC}}$	Minimum Duty Cycle	Pin 9 = 0.8V, $[R_T = 5.6k, C_T = 0.01 \mu F]$	0	0		0	0		$\%_{Max}$
$\frac{t_{ON}}{t_{OSC}}$	Maximum Duty Cycle	Pin 9 = 3.9V, $[R_T = 5.6k, C_T = 0.01 \mu F]$	49	45		49	45		$\%_{Min}$
$\frac{t_{ON}}{t_{OSC}}$	Maximum Duty Cycle	Pin 9 = 3.9V, $[R_T = 1k, C_T = 0.001 \mu F]$	44	35		44	35		$\%_{Min}$
V_{COMPZ}	Input Threshold (Pin 9)	Zero Duty Cycle	1			1			V
V_{COMPM}	Input Threshold (Pin 9)	Maximum Duty Cycle	3.5			3.5			V
I_{IB}	Input Bias Current		-1			-1			μA
CURRENT LIMIT SECTION									
V_{SEN}	Sense Voltage	$V_{(Pin 2)} - V_{(Pin 1)} \geq 150 mV$	200	180		200	180		mV_{Min}
				220			220		mV_{Max}

Electrical Characteristics (Continued)

(Note 1)

Symbol	Parameter	Conditions	LM2524D			LM3524D			Units
			Typ	Tested Limit (Note 3)	Design Limit (Note 4)	Typ	Tested Limit (Note 3)	Design Limit (Note 4)	
TC- V_{sense}	Sense Voltage T.C.		0.2			0.2			mV/°C
	Common Mode Voltage Range	$V_5 - V_4 = 300$ mV	-0.7 1			-0.7 1			V_{Min} V_{Max}
SHUT DOWN SECTION									
V_{SD}	High Input Voltage	$V_{(Pin\ 2)} - V_{(Pin\ 1)} \geq 150$ mV	1	0.5 1.5		1	0.5 1.5		V_{Min} V_{Max}
I_{SD}	High Input Current	$I_{(pin\ 10)}$	1			1			mA
OUTPUT SECTION (EACH OUTPUT)									
V_{CES}	Collector Emitter Voltage Breakdown	$I_C \leq 100$ μ A		55			40		V_{Min}
I_{CES}	Collector Leakage Current	$V_{CE} = 60$ V							μ A $_{Max}$
		$V_{CE} = 55$ V	0.1	50					
		$V_{CE} = 40$ V			0.1	50			
V_{CESAT}	Saturation Voltage	$I_E = 20$ mA	0.2	0.5		0.2	0.7		V_{Max}
		$I_E = 200$ mA	1.5	2.2		1.5	2.5		
V_{EO}	Emitter Output Voltage	$I_E = 50$ mA	18	17		18	17		V_{Min}
t_R	Rise Time	$V_{IN} = 20$ V, $I_E = -250$ μ A $R_C = 2$ k	200			200			ns
t_F	Fall Time	$R_C = 2$ k	100			100			ns
SUPPLY CHARACTERISTICS SECTION									
V_{IN}	Input Voltage Range	After Turn-on		8 40			8 40		V_{Min} V_{Max}
			T	Thermal Shutdown Temp.	(Note 2)	160		160	
I_{IN}	Stand By Current	$V_{IN} = 40$ V (Note 6)	5	10		5	10		mA

Note 1: Unless otherwise stated, these specifications apply for $T_A = T_J = 25^\circ\text{C}$. Boldface numbers apply over the rated temperature range. LM2524D is -40° to 85°C and LM3524D is 0°C to 70°C . $V_{IN} = 20$ V and $f_{OSC} = 20$ kHz.

Note 2: For operation at elevated temperatures, devices in the N package must be derated based on a thermal resistance of 86°C/W , junction to ambient. Devices in the M package must be derated at 125°C/W , junction to ambient.

Note 3: Tested limits are guaranteed and 100% tested in production.

Note 4: Design limits are guaranteed (but not 100% production tested) over the indicated temperature and supply voltage range. These limits are not used to calculate outgoing quality level.

Note 5: Absolute maximum ratings indicate limits beyond which damage to the device may occur. DC and AC electrical specifications do not apply when operating the device beyond its rated operating conditions.

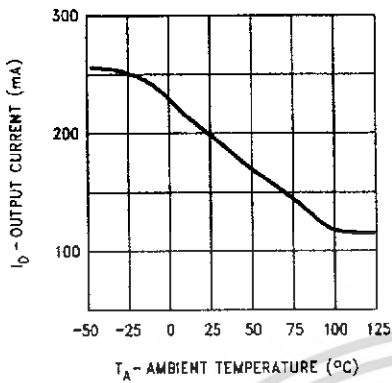
Note 6: Pins 1, 4, 7, 8, 11, and 14 are grounded; Pin 2 = 2V. All other inputs and outputs open.

Note 7: The value of a C_1 capacitor can vary with frequency. Careful selection of this capacitor must be made for high frequency operation. Polystyrene was used in this test. NPO ceramic or polypropylene can also be used.

Note 8: OSC amplitude is measured open circuit. Available current is limited to 1 mA so care must be exercised to limit capacitive loading of fast pulses.

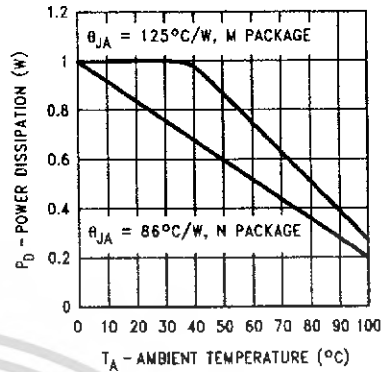
Typical Performance Characteristics

Switching Transistor Peak Output Current vs Temperature



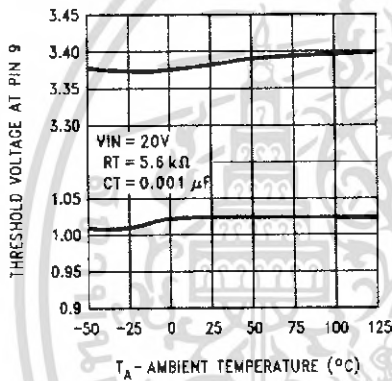
00865028

Maximum Average Power Dissipation (N, M Packages)



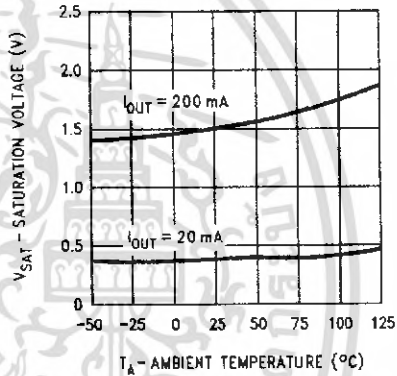
00865029

Maximum & Minimum Duty Cycle Threshold Voltage



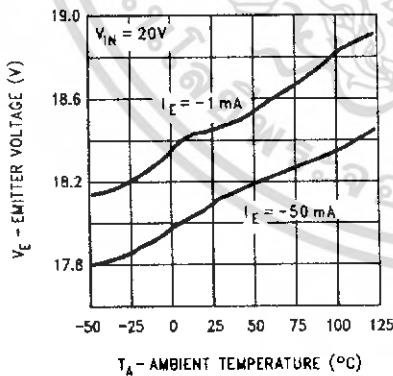
00865030

Output Transistor Saturation Voltage



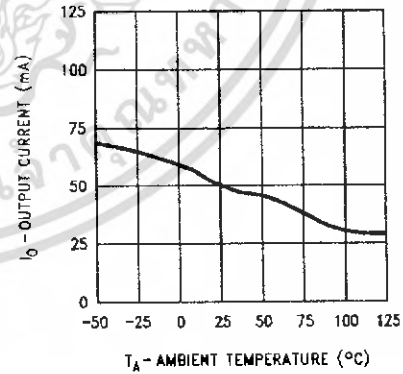
00865031

Output Transistor Emitter Voltage



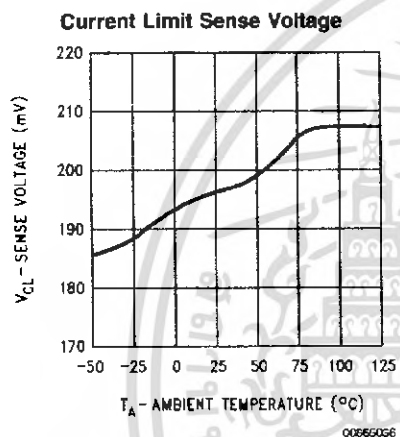
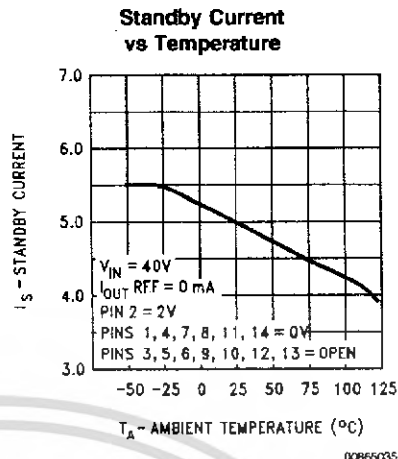
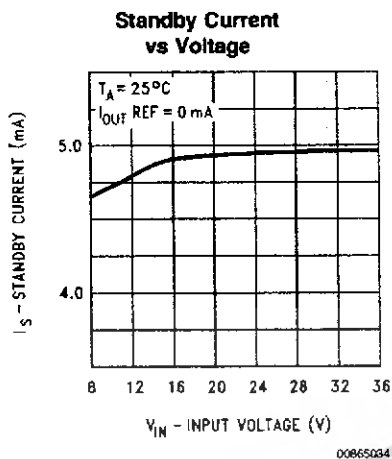
00865032

Reference Transistor Peak Output Current

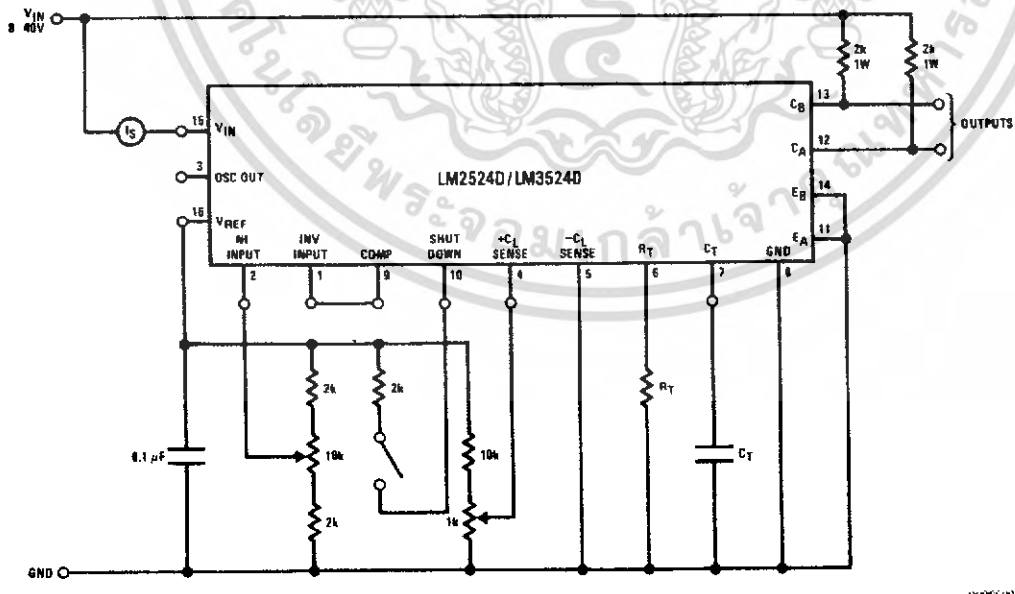


00865033

Typical Performance Characteristics (Continued)



Test Circuit



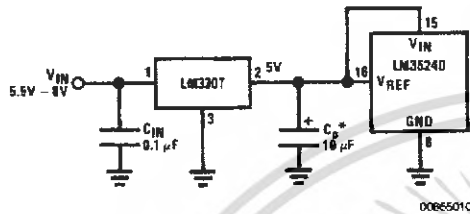
เอกสารนี้เป็นเอกสารที่สงวนไว้สำหรับการใช้งานเพื่อการศึกษาเท่านั้น ไม่อนุญาตให้นำไปใช้ประโยชน์ด้านการค้า ไม่ว่ากรณีใดๆ ทั้งสิ้น อีกทั้งห้ามมิให้ตัดแปลงเนื้อหา และต้องอ้างอิงถึงเจ้าของเอกสารทุกครั้งที่มีการนำไปใช้

Functional Description

INTERNAL VOLTAGE REGULATOR

The LM3524D has an on-chip 5V, 50 mA, short circuit protected voltage regulator. This voltage regulator provides a supply for all internal circuitry of the device and can be used as an external reference.

For input voltages of less than 8V the 5V output should be shorted to pin 15, V_{IN} , which disables the 5V regulator. With these pins shorted the input voltage must be limited to a maximum of 6V. If input voltages of 6V–8V are to be used, a pre-regulator, as shown in Figure 1, must be added.



*Minimum C_O of 10 μF required for stability.

FIGURE 1.

OSCILLATOR

The LM3524D provides a stable on-board oscillator. Its frequency is set by an external resistor, R_T and capacitor, C_T . A graph of R_T , C_T vs oscillator frequency is shown in Figure 2. The oscillator's output provides the signals for triggering an internal flip-flop, which directs the PWM information to the outputs, and a blanking pulse to turn off both outputs during transitions to ensure that cross conduction does not occur. The width of the blanking pulse, or dead time, is controlled by the value of C_T , as shown in Figure 3. The recommended values of R_T are 1.8 k Ω to 100 k Ω , and for C_T , 0.001 μF to 0.1 μF .

If two or more LM3524D's must be synchronized together, the easiest method is to interconnect all pin 3 terminals, tie all pin 7's (together) to a single C_T , and leave all pin 6's open except one which is connected to a single R_T . This method works well unless the LM3524D's are more than 6" apart.

A second synchronization method is appropriate for any circuit layout. One LM3524D, designated as master, must have its R_T - C_T set for the correct period. The other slave LM3524D(s) should each have an R_T - C_T set for a 10% longer period. All pin 3's must then be interconnected to allow the master to properly reset the slave units.

The oscillator may be synchronized to an external clock source by setting the internal free-running oscillator frequency 10% slower than the external clock and driving pin 3 with a pulse train (approx. 3V) from the clock. Pulse width should be greater than 50 ns to insure full synchronization.

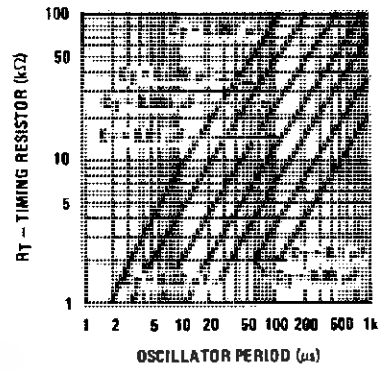


FIGURE 2.

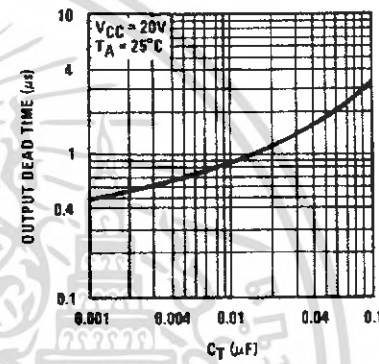


FIGURE 3.

ERROR AMPLIFIER

The error amplifier is a differential input, transconductance amplifier. Its gain, nominally 86 dB, is set by either feedback or output loading. This output loading can be done with either purely resistive or a combination of resistive and reactive components. A graph of the amplifier's gain vs output load resistance is shown in Figure 4.

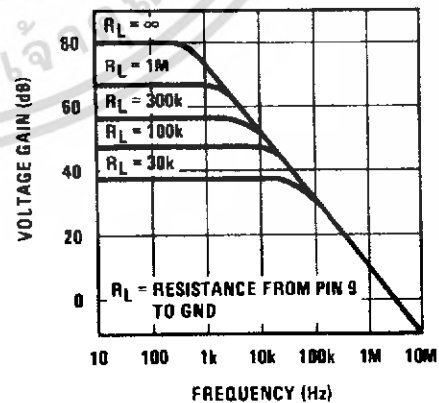


FIGURE 4.

Functional Description (Continued)

The output of the amplifier, or input to the pulse width modulator, can be overridden easily as its output impedance is very high ($Z_o = 5\text{ M}\Omega$). For this reason a DC voltage can be applied to pin 9 which will override the error amplifier and force a particular duty cycle to the outputs. An example of this could be a non-regulating motor speed control where a variable voltage was applied to pin 9 to control motor speed. A graph of the output duty cycle vs the voltage on pin 9 is shown in Figure 5.

The duty cycle is calculated as the percentage ratio of each output's ON-time to the oscillator period. Paralleling the outputs doubles the observed duty cycle.

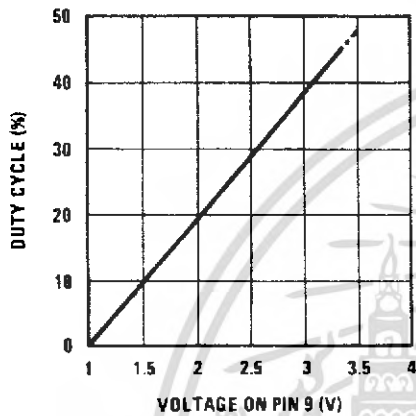


FIGURE 5.

The amplifier's inputs have a common-mode input range of 1.5V–5.5V. The on board regulator is useful for biasing the inputs to within this range.

CURRENT LIMITING

The function of the current limit amplifier is to override the error amplifier's output and take control of the pulse width. The output duty cycle drops to about 25% when a current limit sense voltage of 200 mV is applied between the $+C_L$ and $-C_L$ sense terminals. Increasing the sense voltage approximately 5% results in a 0% output duty cycle. Care should be taken to ensure the -0.7V to $+1.0\text{V}$ input common-mode range is not exceeded.

In most applications, the current limit sense voltage is produced by a current through a sense resistor. The accuracy of this measurement is limited by the accuracy of the sense resistor, and by a small offset current, typically 100 μA , flowing from $+C_L$ to $-C_L$.

OUTPUT STAGES

The outputs of the LM3524D are NPN transistors, capable of a maximum current of 200 mA. These transistors are driven 180° out of phase and have non-committed open collectors and emitters as shown in Figure 6.

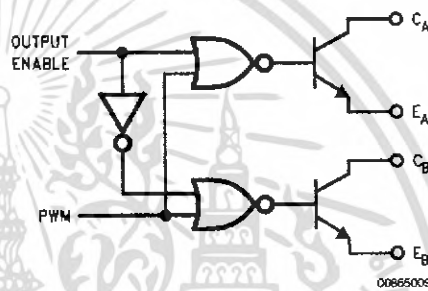
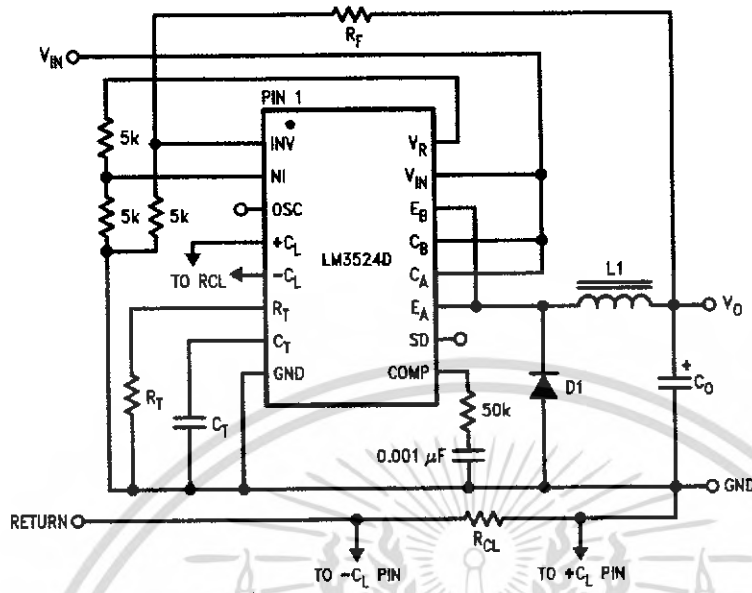


FIGURE 6.

Typical Applications (Continued)



Design Equations

$$R_F = 5 \text{ k}\Omega \left(\frac{V_O}{2.5} - 1 \right)$$

$$R_{CL} = \frac{\text{Current Limit Sense Volt}}{I_{O(\text{MAX})}}$$

$$f_{\text{OSC}} \approx \frac{1}{R_T C_T}$$

$$L_1 = \frac{2.5 V_O (V_{IN} - V_O)}{I_O V_{IN} f_{\text{OSC}}}$$

$$C_O = \frac{(V_{IN} - V_O) V_O T^2}{8 \Delta V_O V_{IN} L_1}$$

$$I_{O(\text{MAX})} = I_{IN} \frac{V_{IN}}{V_O}$$

FIGURE 9. Positive Regulator, Step-Down Basic Configuration ($I_{IN(\text{MAX})} = 80 \text{ mA}$)

เอกสารนี้เป็นเอกสารที่สงวนไว้สำหรับการใช้งานเพื่อการศึกษาเท่านั้น ไม่อนุญาตให้นำไปใช้ประโยชน์ด้านการค้า ไม่ว่าจะกรณีใดๆ ทั้งสิ้น อีกทั้งห้ามมิให้คัดแปลงเนื้อหา และต้องอ้างอิงถึงเจ้าของเอกสารทุกครั้งที่มีการนำไปใช้

Typical Applications (Continued)

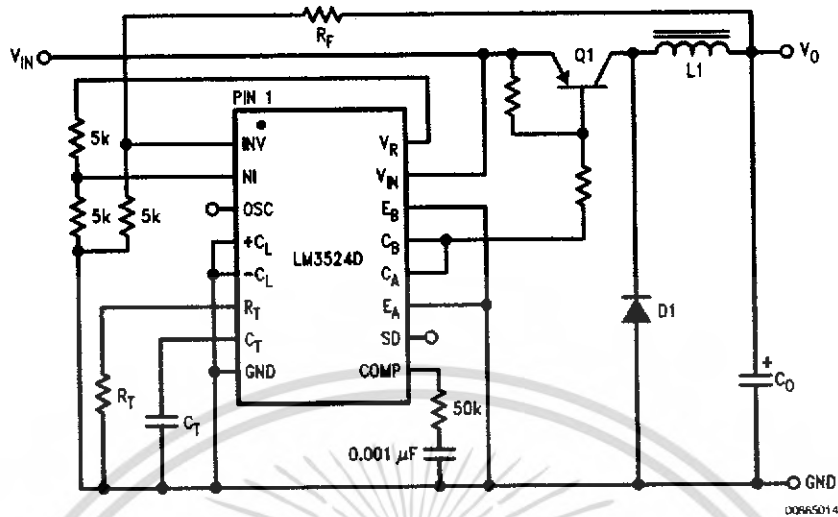
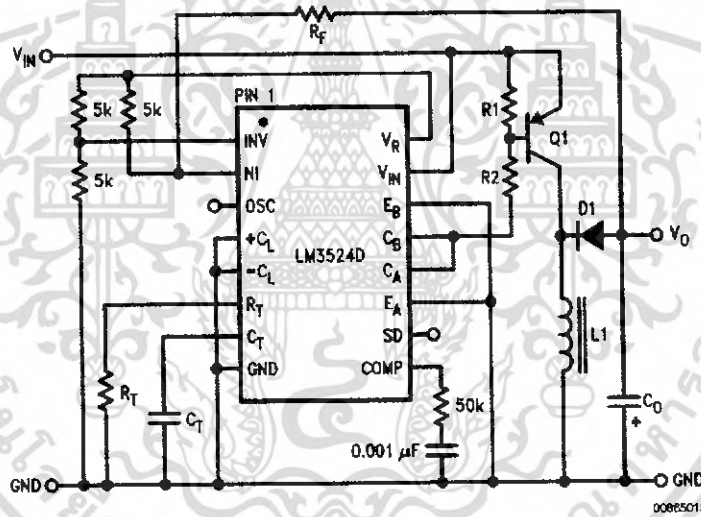


FIGURE 10. Positive Regulator, Step-Down Boosted Current Configuration



Design Equations

$$R_F = 5k \left(1 - \frac{V_0}{2.5} \right)$$

$$f_{osc} = \frac{1}{R_T C_T}$$

$$L_1 = \frac{2.5V_{IN} V_0}{f_{osc} (V_0 + V_{IN}) I_0}$$

$$C_0 = \frac{I_0 V_0}{\Delta V_0 f_{osc} (V_0 + V_{IN})}$$

FIGURE 11. Boosted Current Polarity Inverter

เอกสารนี้เป็นเอกสารที่สงวนไว้สำหรับการใช้งานเพื่อการศึกษาเท่านั้น ไม่อนุญาตให้นำไปใช้ประโยชน์ด้านการค้า ไม่ว่าจะกรณีใดๆ ทั้งสิ้น อีกทั้งห้ามมิให้ตัดแปลงเนื้อหา และต้องอ้างอิงถึงเจ้าของเอกสารทุกครั้งที่มีการนำไปใช้

Typical Applications (Continued)

BASIC SWITCHING REGULATOR THEORY AND APPLICATIONS

The basic circuit of a step-down switching regulator circuit is shown in Figure 12, along with a practical circuit design using the LM3524D in Figure 15.

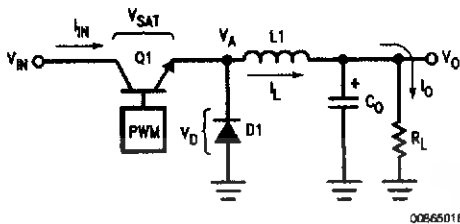


FIGURE 12. Basic Step-Down Switching Regulator

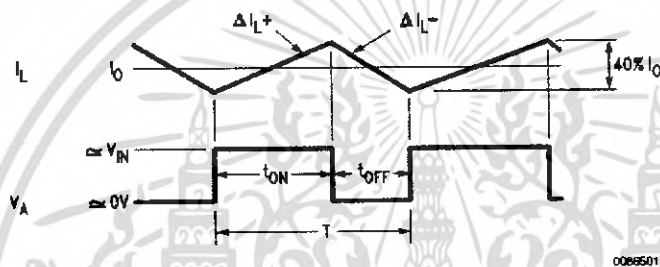


FIGURE 13. Relation of Switch Timing to Inductor Current in Step-Down Regulator

$$\text{From the relation } V_L = L \frac{di}{dt}, \Delta I_L \cong \frac{V_L T}{L1}$$

$$\Delta I_{L+} = \frac{(V_{IN} - V_0) t_{ON}}{L1}, \Delta I_{L-} = \frac{V_0 t_{OFF}}{L1}$$

$$\eta_{MAX} = \frac{P_o}{P_{IN}} = \frac{I_o V_o}{I_o \left(\frac{t_{ON}}{T} V_{IN} + \frac{(V_{SAT} t_{ON} + V_{D1} t_{OFF})}{T} I_o \right)}$$

$$= \frac{V_o}{V_o + 1} \text{ for } V_{SAT} = V_{D1} = 1V.$$

Neglecting V_{SAT} , V_{D1} , and setting $\Delta I_{L+} = \Delta I_{L-}$;

$$V_o \cong V_{IN} \left(\frac{t_{ON}}{t_{OFF} + t_{ON}} \right) = V_{IN} \left(\frac{t_{ON}}{T} \right);$$

η_{MAX} will be further decreased due to switching losses in Q1. For this reason Q1 should be selected to have the maximum possible f_T , which implies very fast rise and fall times.

CALCULATING INDUCTOR L1

where T = Total Period

The above shows the relation between V_{IN} , V_o and duty cycle.

$$I_{IN(DC)} = I_{OUT(DC)} \left(\frac{t_{ON}}{t_{ON} + t_{OFF}} \right),$$

as Q1 only conducts during t_{ON} .

$$P_{IN} = I_{IN(DC)} V_{IN} = (I_o(DC)) \left(\frac{t_{ON}}{t_{ON} + t_{OFF}} \right) V_{IN}$$

$$P_o = I_o V_o$$

Since $\Delta I_{L+} = \Delta I_{L-} = 0.4I_o$
Solving the above for L1

$$t_{ON} \cong \frac{(\Delta I_{L+}) \times L1}{(V_{IN} - V_o)}, t_{OFF} = \frac{(\Delta I_{L-}) \times L1}{V_o}$$

$$t_{ON} + t_{OFF} = T = \frac{(\Delta I_{L+}) \times L1}{(V_{IN} - V_o)} + \frac{(\Delta I_{L-}) \times L1}{V_o}$$

$$= \frac{0.4I_o L1}{(V_{IN} - V_o)} + \frac{0.4I_o L1}{V_o}$$

The efficiency, η , of the circuit is:

Typical Applications (Continued)

$$L1 = \frac{2.5 V_o (V_{IN} - V_o)}{I_o V_{IN} f}$$

where: L1 is in Henrys

f is switching frequency in Hz

Also, see LM1578 data sheet for graphical methods of inductor selection.

CALCULATING OUTPUT FILTER CAPACITOR C_o:

Figure 13 shows L1's current with respect to Q1's t_{ON} and t_{OFF} times (V_A is at the collector of Q1). This current must flow to the load and C_o. C_o's current will then be the difference between I_L and I_o.

$$I_{C_o} = I_L - I_o$$

From Figure 13 it can be seen that current will be flowing into C_o for the second half of t_{ON} through the first half of t_{OFF}, or a time, t_{ON}/2 + t_{OFF}/2. The current flowing for this time is ΔI_L/4. The resulting ΔV_c or ΔV_o is described by:

$$\begin{aligned} \Delta V_{op-p} &= \frac{1}{C} \times \frac{\Delta I_L}{4} \times \left(\frac{t_{ON}}{2} + \frac{t_{OFF}}{2} \right) \\ &= \frac{\Delta I_L (t_{ON} + t_{OFF})}{4C} \end{aligned}$$

$$\text{Since } \Delta I_L = \frac{V_o(T - t_{ON})}{L1} \text{ and } t_{ON} = \frac{V_o T}{V_{IN}}$$

$$\Delta V_{op-p} = \frac{V_o \left(T - \frac{V_o T}{V_{IN}} \right) \left(\frac{T}{2} \right)}{4C L1} = \frac{(V_{IN} - V_o) V_o T^2}{8V_{IN} C_o L1} \text{ or}$$

$$C_o = \frac{(V_{IN} - V_o) V_o T^2}{8 \Delta V_o V_{IN} L1}$$

where: C is in farads, T is $\frac{1}{\text{switching frequency}}$

ΔV_o is p-p output ripple

For best regulation, the inductor's current cannot be allowed to fall to zero. Some minimum load current I_o, and thus inductor current, is required as shown below:

$$I_{o(MIN)} = \frac{(V_{IN} - V_o) t_{ON}}{2L1} = \frac{(V_{IN} - V_o) V_o}{2fV_{IN}L1}$$

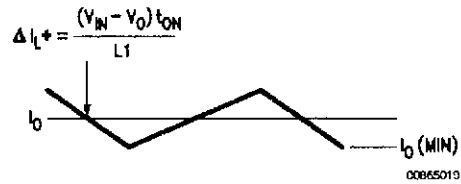


FIGURE 14. Inductor Current Slope in Step-Down Regulator

A complete step-down switching regulator schematic, using the LM3524D, is illustrated in Figure 15. Transistors Q1 and Q2 have been added to boost the output to 1A. The 5V regulator of the LM3524D has been divided in half to bias the error amplifier's non-inverting input to within its common-mode range. Since each output transistor is on for half the period, actually 45%, they have been paralleled to allow longer possible duty cycle, up to 90%. This makes a lower possible input voltage. The output voltage is set by:

$$V_o = V_{NI} \left(1 + \frac{R1}{R2} \right)$$

where V_{NI} is the voltage at the error amplifier's non-inverting input.

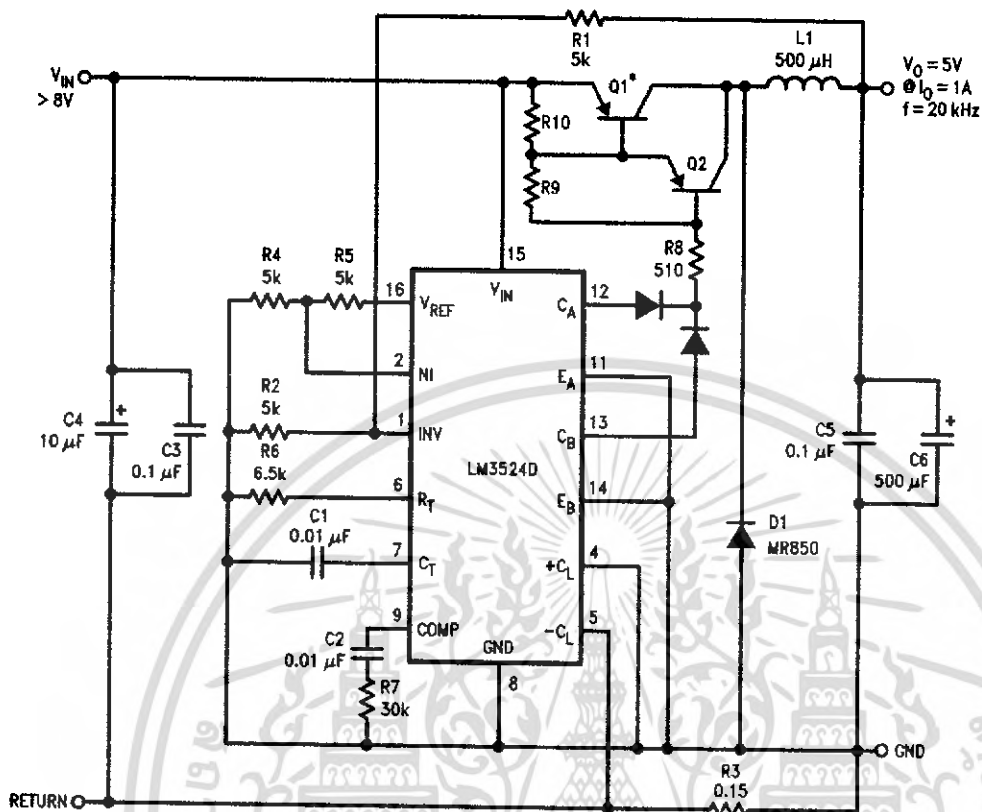
Resistor R3 sets the current limit to:

$$\frac{200 \text{ mV}}{R3} = \frac{200 \text{ mV}}{0.15} = 1.3A.$$

Figures 16, 17 and show a PC board layout and stuffing diagram for the 5V, 1A regulator of Figure 15. The regulator's performance is listed in Table 1.

Typical Applications (Continued)

LM2524D/LM3524D



*Mounted to Slaver Heatsink No. V5-1.

Q1 = BD344

Q2 = 2N5023

L1 = >40 turns No. 22 wire on Ferroxcube No. K300502 Torroid core.

FIGURE 15. 5V, 1 Amp Step-Down Switching Regulator

เอกสารนี้เป็นเอกสารที่สงวนไว้สำหรับการใช้งานเพื่อการศึกษาเท่านั้น ไม่อนุญาตให้นำไปใช้ประโยชน์ด้านการค้า
ไม่ว่ากรณีใดๆ ทั้งสิ้น อีกทั้งห้ามมิให้ตัดแปลงเนื้อหา และต้องอ้างอิงถึงเจ้าของเอกสารทุกครั้งที่มีการนำไปใช้

Typical Applications (Continued)

TABLE 1.

Parameter	Conditions	Typical Characteristics
Output Voltage	$V_{IN} = 10V, I_o = 1A$	5V
Switching Frequency	$V_{IN} = 10V, I_o = 1A$	20 kHz
Short Circuit	$V_{IN} = 10V$	1.3A
Current Limit		
Load Regulation	$V_{IN} = 10V$ $I_o = 0.2 - 1A$	3 mV
Line Regulation	$\Delta V_{IN} = 10 - 20V$ $I_o = 1A$	6 mV
Efficiency	$V_{IN} = 10V, I_o = 1A$	80%
Output Ripple	$V_{IN} = 10V, I_o = 1A$	10 mVp-p

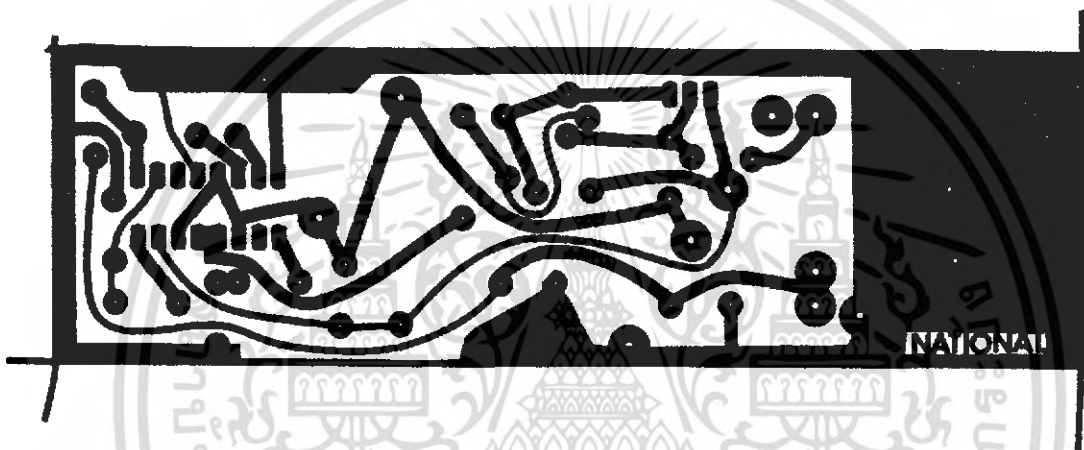


FIGURE 16. 5V, 1 Amp Switching Regulator, Foil Side

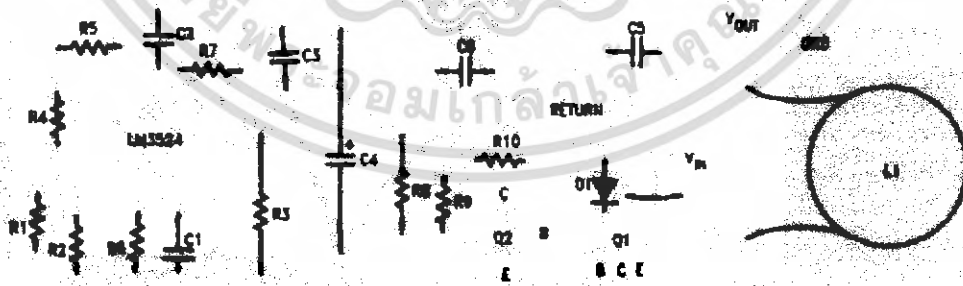


FIGURE 17. Stuffing Diagram, Component Side

Typical Applications (Continued)

THE STEP-UP SWITCHING REGULATOR

Figure 18 shows the basic circuit for a step-up switching regulator. In this circuit Q1 is used as a switch to alternately apply V_{IN} across inductor L1. During the time, t_{ON} , Q1 is ON and energy is drawn from V_{IN} and stored in L1; D1 is reverse biased and I_o is supplied from the charge stored in C_o . When Q1 opens, t_{OFF} , voltage V_1 will rise positively to the point where D1 turns ON. The output current is now supplied through L1, D1 to the load and any charge lost from C_o during t_{ON} is replenished. Here also, as in the step-down regulator, the current through L1 has a DC component plus some ΔI_L . ΔI_L is again selected to be approximately 40% of I_L . Figure 19 shows the inductor's current in relation to Q1's ON and OFF times.

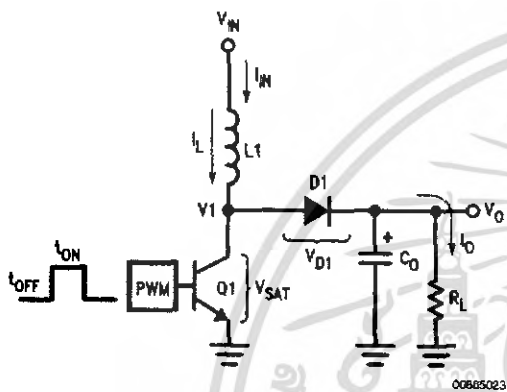


FIGURE 18. Basic Step-Up Switching Regulator

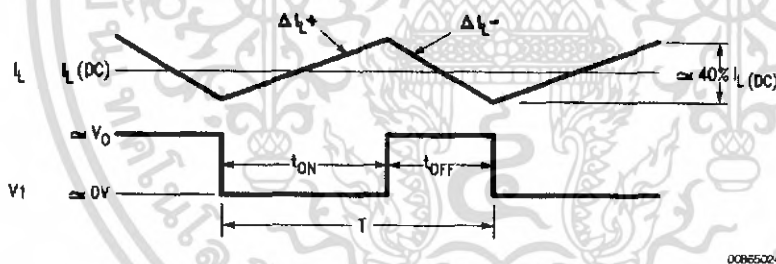


FIGURE 19. Relation of Switch Timing to Inductor Current in Step-Up Regulator

$$\text{From } \Delta I_L = \frac{V_L T}{L}, \Delta I_L^+ \approx \frac{V_{IN} t_{ON}}{L1}$$

$$\text{and } \Delta I_L^- \approx \frac{(V_o - V_{IN}) t_{OFF}}{L1}$$

Since $\Delta I_L^+ = \Delta I_L^-$, $V_{IN} t_{ON} = V_o t_{OFF} - V_{IN} t_{OFF}$, and neglecting V_{SAT} and V_{D1}

$$V_o \approx V_{IN} \left(1 + \frac{t_{ON}}{t_{OFF}} \right)$$

The above equation shows the relationship between V_{IN} , V_o and duty cycle.

In calculating input current $I_{IN(DC)}$, which equals the inductor's DC current, assume first 100% efficiency:

$$P_{IN} = I_{IN(DC)} V_{IN}$$

$$P_{OUT} = I_o V_o = I_o V_{IN} \left(1 + \frac{t_{ON}}{t_{OFF}} \right)$$

for $\eta = 100\%$, $P_{OUT} = P_{IN}$

$$I_o V_{IN} \left(1 + \frac{t_{ON}}{t_{OFF}} \right) = I_{IN(DC)} V_{IN}$$

$$I_{IN(DC)} = I_o \left(1 + \frac{t_{ON}}{t_{OFF}} \right)$$

Typical Applications (Continued)

This equation shows that the input, or inductor, current is larger than the output current by the factor $(1 + t_{ON}/t_{OFF})$. Since this factor is the same as the relation between V_o and V_{IN} , $I_{IN(DC)}$ can also be expressed as:

$$I_{IN(DC)} = I_o \left(\frac{V_o}{V_{IN}} \right)$$

So far it is assumed $\eta = 100\%$, where the actual efficiency or η_{MAX} will be somewhat less due to the saturation voltage of Q1 and forward on voltage of D1. The internal power loss due to these voltages is the average I_L current flowing, or I_{IN} , through either V_{SAT} or V_{D1} . For $V_{SAT} = V_{D1} = 1V$ this power loss becomes $I_{IN(DC)} (1V)$. η_{MAX} is then:

$$\eta_{MAX} = \frac{P_o}{P_{IN}} = \frac{V_o I_o}{V_o I_o + I_{IN} (1V)} = \frac{V_o I_o}{V_o I_o + I_o \left(1 + \frac{t_{ON}}{t_{OFF}} \right)}$$

$$\text{From } V_o = V_{IN} \left(1 + \frac{t_{ON}}{t_{OFF}} \right)$$

$$\eta_{max} = \frac{V_{IN}}{V_{IN} + 1}$$

This equation assumes only DC losses, however η_{MAX} is further decreased because of the switching time of Q1 and D1.



Typical Applications (Continued)

In calculating the output capacitor C_o it can be seen that C_o supplies I_o during t_{ON} . The voltage change on C_o during this time will be some $\Delta V_o = \Delta V_o$ or the output ripple of the regulator. Calculation of C_o is:

$$\Delta V_o = \frac{I_o t_{ON}}{C_o} \text{ or } C_o = \frac{I_o t_{ON}}{\Delta V_o}$$

$$\text{From } V_o = V_{IN} \left(\frac{T}{t_{OFF}} \right); t_{OFF} = \frac{V_{IN}}{V_o} T$$

$$\text{where } T = t_{ON} + t_{OFF} = \frac{1}{f}$$

$$t_{ON} = T - \frac{V_{IN}}{V_o} T = T \left(\frac{V_o - V_{IN}}{V_o} \right) \text{ therefore:}$$

$$C_o = \frac{I_o T \left(\frac{V_o - V_{IN}}{V_o} \right)}{\Delta V_o} = \frac{I_o (V_o - V_{IN})}{f \Delta V_o V_o}$$

where: C_o is in farads, f is the switching frequency,

ΔV_o is the p-p output ripple

Calculation of inductor $L1$ is as follows:

$$L1 = \frac{V_{IN} t_{ON}}{\Delta I_L}, \text{ since during } t_{ON},$$

V_{IN} is applied across $L1$

$$\Delta I_{L-p-p} = 0.4 I_L = 0.4 I_{IN} = 0.4 I_o \left(\frac{V_o}{V_{IN}} \right), \text{ therefore:}$$

$$L1 = \frac{V_{IN} t_{ON}}{0.4 I_o \left(\frac{V_o}{V_{IN}} \right)} \text{ and since } t_{ON} = \frac{T (V_o - V_{IN})}{V_o}$$

$$L1 = \frac{2.5 V_{IN}^2 (V_o - V_{IN})}{f I_o V_o^2}$$

where: $L1$ is in henrys, f is the switching frequency in Hz

To apply the above theory, a complete step-up switching regulator is shown in *Figure 20*. Since V_{IN} is 5V, V_{REF} is tied to V_{IN} . The input voltage is divided by 2 to bias the error amplifier's inverting input. The output voltage is:

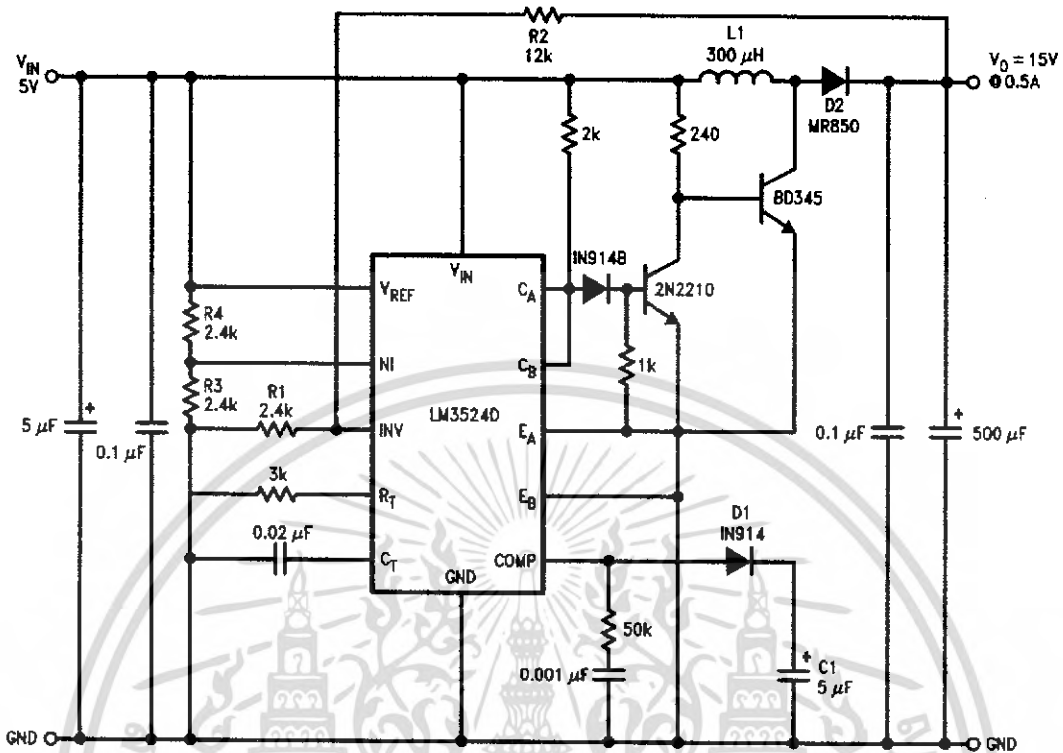
$$V_{OUT} = \left(1 + \frac{R2}{R1} \right) \times V_{INV} = 2.5 \times \left(1 + \frac{R2}{R1} \right)$$

The network $D1, C1$ forms a slow start circuit.

This holds the output of the error amplifier initially low thus reducing the duty-cycle to a minimum. Without the slow start circuit the inductor may saturate at turn-on because it has to supply high peak currents to charge the output capacitor from 0V. It should also be noted that this circuit has no supply rejection. By adding a reference voltage at the non-inverting input to the error amplifier, see *Figure 21*, the input voltage variations are rejected.

The LM3524D can also be used in inductorless switching regulators. *Figure 22* shows a polarity inverter which if connected to *Figure 20* provides a -15V unregulated output.

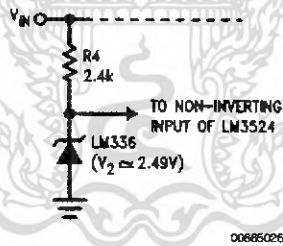
Typical Applications (Continued)



L1 = > 25 turns No. 24 wire on Ferroxcube No. K300502 Toroid core.

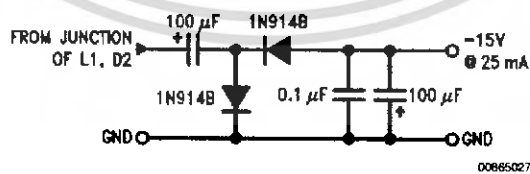
00865025

FIGURE 20. 15V, 0.5A Step-Up Switching Regulator



00865026

FIGURE 21. Replacing R3/R4 Divider in Figure 20 with Reference Circuit Improves Line Regulation

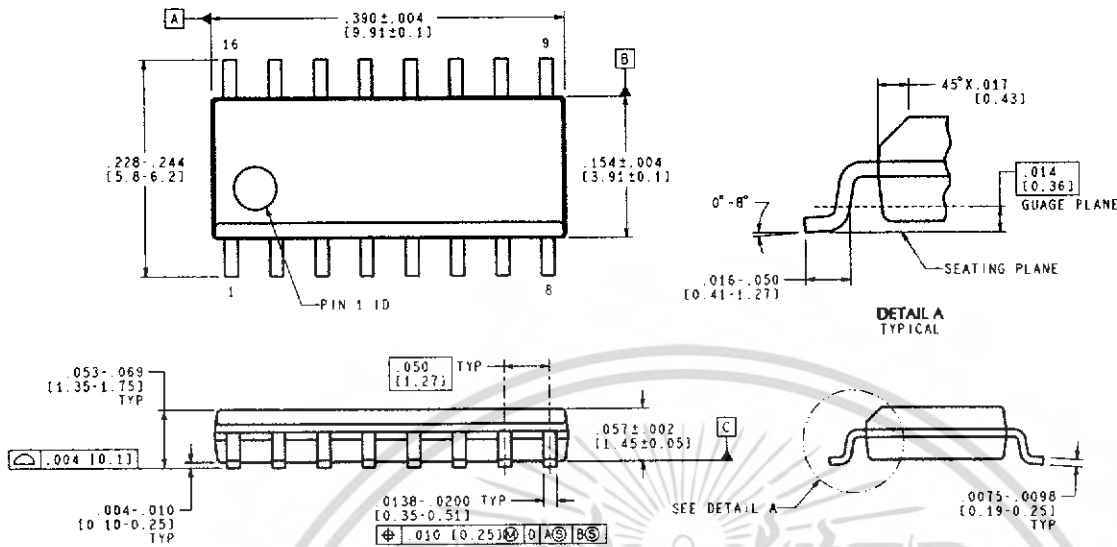


00865027

FIGURE 22. Polarity Inverter Provides Auxiliary -15V Unregulated Output from Circuit of Figure 20

เอกสารนี้เป็นเอกสารที่สงวนไว้สำหรับการใช้งานเพื่อการศึกษาเท่านั้น ไม่อนุญาตให้นำไปใช้ประโยชน์ด้านการค้า ไม่ว่ากรณีใดๆ ทั้งสิ้น อีกทั้งห้ามมิให้ตัดแปลงเนื้อหา และต้องอ้างอิงถึงเจ้าของเอกสารทุกครั้งที่มีการนำไปใช้

Physical Dimensions inches (millimeters)
unless otherwise noted



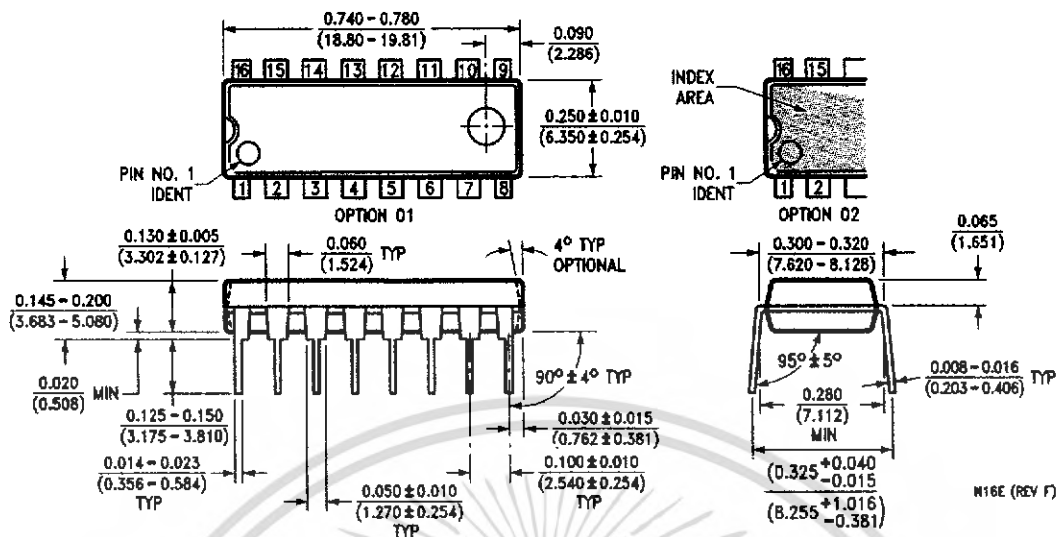
CONTROLLING DIMENSION IS INCH
VALUES IN () ARE MILLIMETERS

M16A (Rev. J)

Molded Surface-Mount Package (M)
Order Number LM3524DM
NS Package Number M16A

เอกสารนี้เป็นเอกสารที่สงวนไว้สำหรับการใช้งานเพื่อการศึกษาเท่านั้น ไม่อนุญาตให้นำไปใช้ประโยชน์ด้านการค้า
ไม่ว่ากรณีใดๆ ทั้งสิ้น อีกทั้งห้ามมิให้คัดแปลงเนื้อหา และต้องอ้างอิงถึงเจ้าของเอกสารทุกครั้งที่มีการนำไปใช้

Physical Dimensions inches (millimeters) unless otherwise noted (Continued)



Molded Dual-In-Line Package (N)
 Order Number LM2524DN or LM3524DN
 NS Package Number N16E

National does not assume any responsibility for use of any circuitry described, no circuit patent licenses are implied and National reserves the right at any time without notice to change said circuitry and specifications.

For the most current product information visit us at www.national.com.

LIFE SUPPORT POLICY

NATIONAL'S PRODUCTS ARE NOT AUTHORIZED FOR USE AS CRITICAL COMPONENTS IN LIFE SUPPORT DEVICES OR SYSTEMS WITHOUT THE EXPRESS WRITTEN APPROVAL OF THE PRESIDENT AND GENERAL COUNSEL OF NATIONAL SEMICONDUCTOR CORPORATION. As used herein:

1. Life support devices or systems are devices or systems which, (a) are intended for surgical implant into the body, or (b) support or sustain life, and whose failure to perform when properly used in accordance with instructions for use provided in the labeling, can be reasonably expected to result in a significant injury to the user.
2. A critical component is any component of a life support device or system whose failure to perform can be reasonably expected to cause the failure of the life support device or system, or to affect its safety or effectiveness.

BANNED SUBSTANCE COMPLIANCE

National Semiconductor manufactures products and uses packing materials that meet the provisions of the Customer Products Stewardship Specification (CSP-9-111C2) and the Banned Substances and Materials of Interest Specification (CSP-9-111S2) and contain no "Banned Substances" as defined in CSP-9-111S2.

National Semiconductor
 Americas Customer Support Center
 Email: nsw.feedback@nsc.com
 Tel: 1-800-272-9959

National Semiconductor
 Europe Customer Support Center
 Fax: +49 (0) 180-530 85 86
 Email: europe.support@nsc.com
 Deutsch Tel: +49 (0) 69 9508 6208
 English Tel: +44 (0) 870 24 0 2171
 Français Tel: +33 (0) 1 41 91 8790

National Semiconductor
 Asia Pacific Customer Support Center
 Email: ap.support@nsc.com

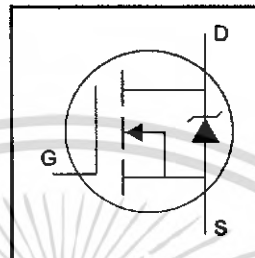
National Semiconductor
 Japan Customer Support Center
 Fax: 81-3-5639-7507
 Email: jpn.feedback@nsc.com
 Tel: 81-3-5639-7560

www.national.com

เอกสารนี้เป็นเอกสารที่สงวนไว้สำหรับการใช้งานเพื่อการศึกษาเท่านั้น ไม่อนุญาตให้นำไปใช้ประโยชน์ด้านการค้า
 ไม่ว่ากรณีใดๆ ทั้งสิ้น อีกทั้งห้ามมิให้คัดแปลงเนื้อหา และต้องอ้างอิงถึงเจ้าของเอกสารทุกครั้งที่มีการนำไปใช้

HEXFET® Power MOSFET

- Advanced Process Technology
- Dynamic dv/dt Rating
- 175°C Operating Temperature
- Fast Switching
- Fully Avalanche Rated

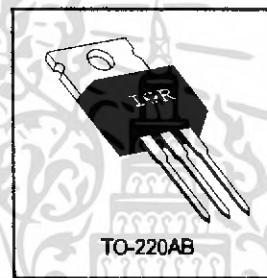


$V_{DSS} = 100V$
$R_{DS(on)} = 0.20\Omega$
$I_D = 9.7A$

Description

Fifth Generation HEXFETs from International Rectifier utilize advanced processing techniques to achieve extremely low on-resistance per silicon area. This benefit, combined with the fast switching speed and ruggedized device design that HEXFET Power MOSFETs are well known for, provides the designer with an extremely efficient and reliable device for use in a wide variety of applications.

The TO-220 package is universally preferred for all commercial-industrial applications at power dissipation levels to approximately 50 watts. The low thermal resistance and low package cost of the TO-220 contribute to its wide acceptance throughout the industry.



Absolute Maximum Ratings

	Parameter	Max.	Units
$I_D @ T_C = 25^\circ C$	Continuous Drain Current, $V_{GS} @ 10V$	9.7	A
$I_D @ T_C = 100^\circ C$	Continuous Drain Current, $V_{GS} @ 10V$	6.8	
I_{DM}	Pulsed Drain Current ①	38	
$P_D @ T_C = 25^\circ C$	Power Dissipation	48	W
	Linear Derating Factor	0.32	W/°C
V_{GS}	Gate-to-Source Voltage	± 20	V
E_{AS}	Single Pulse Avalanche Energy ②	91	mJ
I_{AR}	Avalanche Current ③	5.7	A
E_{AR}	Repetitive Avalanche Energy ④	4.8	mJ
dv/dt	Peak Diode Recovery dv/dt ⑤	5.0	V/ns
T_J	Operating Junction and	-55 to + 175	°C
T_{STG}	Storage Temperature Range		
	Soldering Temperature, for 10 seconds	300 (1.6mm from case)	
	Mounting torque, 6-32 or M3 screw	10 lbf•in (1.1N•m)	


Thermal Resistance

	Parameter	Typ.	Max.	Units
$R_{\theta JC}$	Junction-to-Case	—	3.1	°C/W
$R_{\theta CS}$	Case-to-Sink, Flat, Greased Surface	0.50	—	
$R_{\theta JA}$	Junction-to-Ambient	—	62	

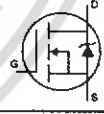
IRF520N

International
IGR Rectifier

Electrical Characteristics @ $T_J = 25^\circ\text{C}$ (unless otherwise specified)

	Parameter	Min.	Typ.	Max.	Units	Conditions
$V_{(BR)DSS}$	Drain-to-Source Breakdown Voltage	100	—	—	V	$V_{GS} = 0V, I_D = 250\mu A$
$\Delta V_{(BR)DSS}/\Delta T_J$	Breakdown Voltage Temp. Coefficient	—	0.11	—	V/°C	Reference to 25°C , $I_D = 1\text{mA}$
$R_{DS(on)}$	Static Drain-to-Source On-Resistance	—	—	0.20	Ω	$V_{GS} = 10V, I_D = 5.7A$ ④
$V_{GS(th)}$	Gate Threshold Voltage	2.0	—	4.0	V	$V_{DS} = V_{GS}, I_D = 250\mu A$
g_{fs}	Forward Transconductance	2.7	—	—	S	$V_{DS} = 50V, I_D = 5.7A$
I_{DSS}	Drain-to-Source Leakage Current	—	—	25	μA	$V_{DS} = 100V, V_{GS} = 0V$
		—	—	250		$V_{DS} = 80V, V_{GS} = 0V, T_J = 150^\circ\text{C}$
I_{GSS}	Gate-to-Source Forward Leakage	—	—	100	nA	$V_{GS} = 20V$
	Gate-to-Source Reverse Leakage	—	—	-100		$V_{GS} = -20V$
Q_g	Total Gate Charge	—	—	25	nC	$I_D = 5.7A$
Q_{gs}	Gate-to-Source Charge	—	—	4.8		$V_{DS} = 80V$
Q_{gd}	Gate-to-Drain ("Miller") Charge	—	—	11		$V_{GS} = 10V$, See Fig. 6 and 13 ④
$t_{d(on)}$	Turn-On Delay Time	—	4.5	—	ns	$V_{DD} = 50V$
t_r	Rise Time	—	23	—		$I_D = 5.7A$
$t_{d(off)}$	Turn-Off Delay Time	—	32	—		$R_G = 22\Omega$
t_f	Fall Time	—	23	—		$R_D = 8.6\Omega$, See Fig. 10 ④
L_D	Internal Drain Inductance	—	4.5	—	nH	Between lead, 6mm (0.25in.) from package and center of die contact
L_S	Internal Source Inductance	—	7.5	—		
C_{iss}	Input Capacitance	—	330	—	pF	$V_{GS} = 0V$
C_{oss}	Output Capacitance	—	92	—		$V_{DS} = 25V$
C_{rss}	Reverse Transfer Capacitance	—	54	—		$f = 1.0\text{MHz}$, See Fig. 5

Source-Drain Ratings and Characteristics

	Parameter	Min.	Typ.	Max.	Units	Conditions
I_S	Continuous Source Current (Body Diode)	—	—	9.7	A	MOSFET symbol showing the integral reverse p-n junction diode. 
I_{SM}	Pulsed Source Current (Body Diode) ①	—	—	38		
V_{SD}	Diode Forward Voltage	—	—	1.3	V	$T_J = 25^\circ\text{C}, I_S = 5.7A, V_{GS} = 0V$ ④
t_{rr}	Reverse Recovery Time	—	99	150	ns	$T_J = 25^\circ\text{C}, I_F = 5.7A$
Q_{rr}	Reverse Recovery Charge	—	390	580	nC	$dI/dt = 100A/\mu s$ ④

Notes:

- ① Repetitive rating; pulse width limited by max. junction temperature. (See fig. 11)
- ② $V_{DD} = 25V$, starting $T_J = 25^\circ\text{C}$, $L = 4.7\text{mH}$, $R_G = 25\Omega$, $I_{AS} = 5.7A$. (See Figure 12)
- ③ $I_{SD} \leq 5.7A$, $dI/dt \leq 240A/\mu s$, $V_{DD} \leq V_{(BR)DSS}$, $T_J \leq 175^\circ\text{C}$
- ④ Pulse width $\leq 300\mu s$; duty cycle $\leq 2\%$.

เอกสารนี้เป็นเอกสารที่สงวนไว้สำหรับการใช้งานเพื่อการศึกษาเท่านั้น ไม่อนุญาตให้นำไปใช้ประโยชน์ด้านการค้า ไม่ว่าจะกรณีใดๆ ทั้งสิ้น อีกทั้งห้ามมิให้คัดแปลงเนื้อหา และต้องอ้างอิงถึงเจ้าของเอกสารทุกครั้งที่มีการนำไปใช้

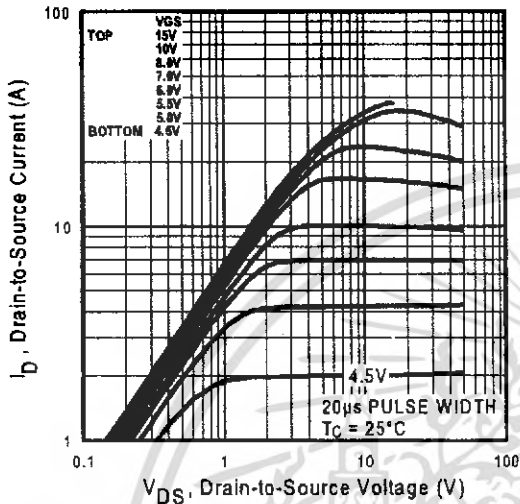


Fig 1. Typical Output Characteristics

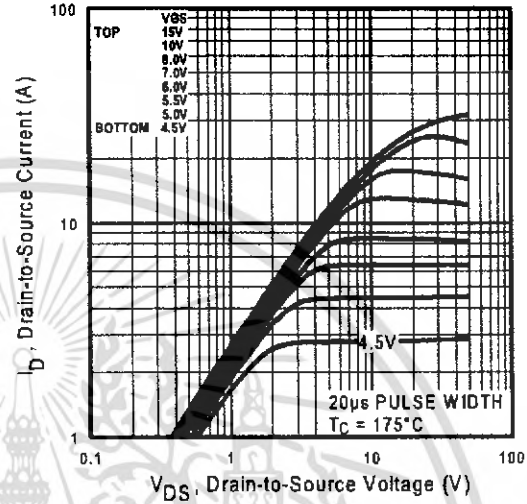


Fig 2. Typical Output Characteristics

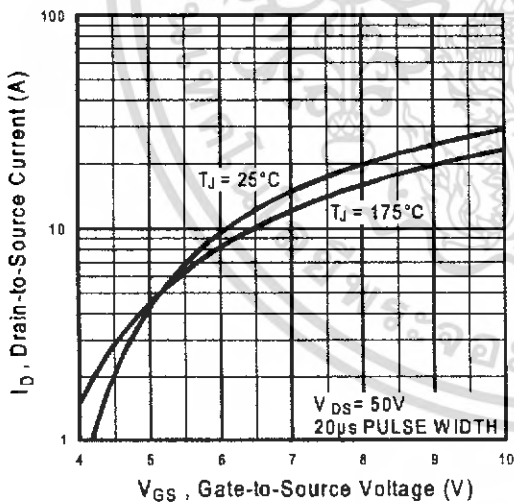


Fig 3. Typical Transfer Characteristics

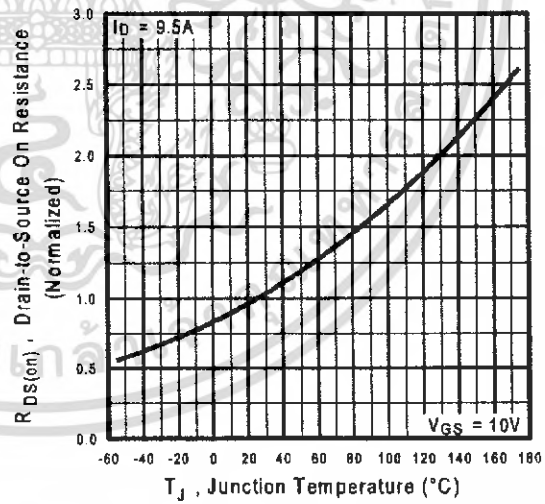


Fig 4. Normalized On-Resistance Vs. Temperature

เอกสารนี้เป็นเอกสารที่สงวนไว้สำหรับการใช้งานเพื่อการศึกษาเท่านั้น ไม่อนุญาตให้นำไปใช้ประโยชน์ด้านการค้า
ไม่ว่ากรณีใดๆ ทั้งสิ้น อีกทั้งห้ามมิให้คัดแปลงเนื้อหา และต้องอ้างอิงถึงเจ้าของเอกสารทุกครั้งที่มีการนำไปใช้

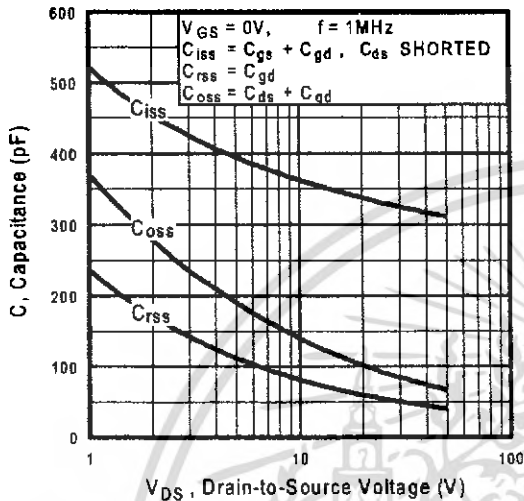


Fig 5. Typical Capacitance Vs. Drain-to-Source Voltage

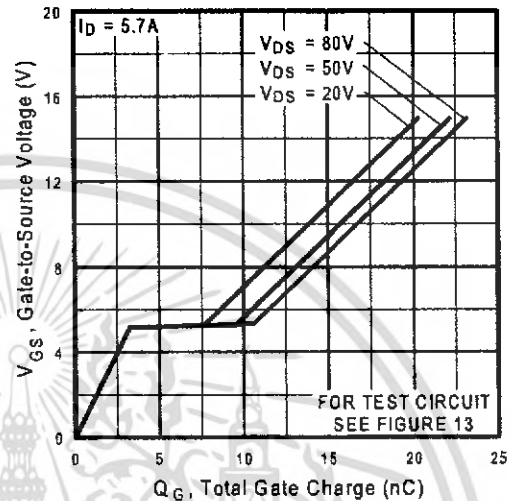


Fig 6. Typical Gate Charge Vs. Gate-to-Source Voltage

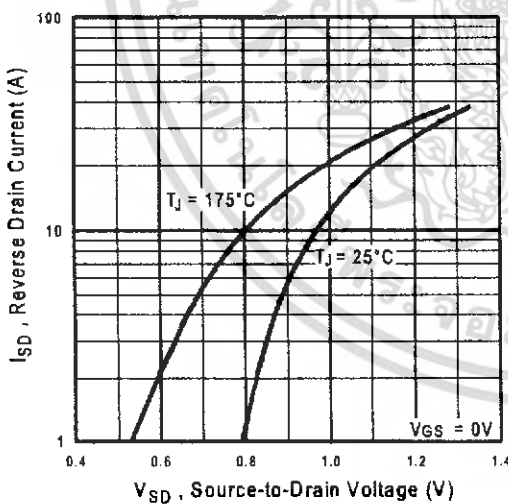


Fig 7. Typical Source-Drain Diode Forward Voltage

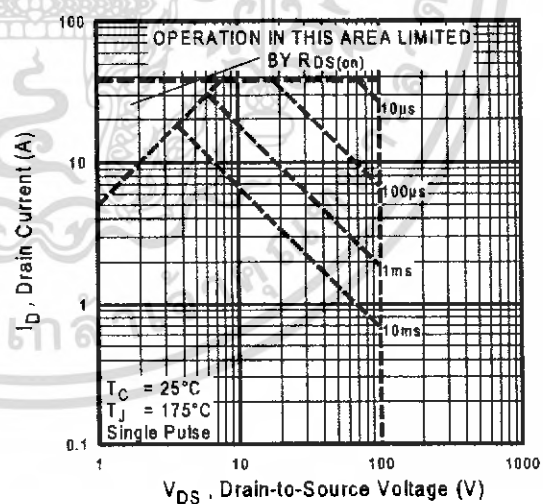


Fig 8. Maximum Safe Operating Area

เอกสารนี้เป็นเอกสารที่สงวนไว้สำหรับการใช้งานเพื่อการศึกษาเท่านั้น ไม่อนุญาตให้นำไปใช้ประโยชน์ด้านการค้า ไม่ว่าจะกรณีใดๆ ทั้งสิ้น อีกทั้งห้ามมิให้คัดแปลงเนื้อหา และต้องอ้างอิงถึงเจ้าของเอกสารทุกครั้งที่มีการนำไปใช้

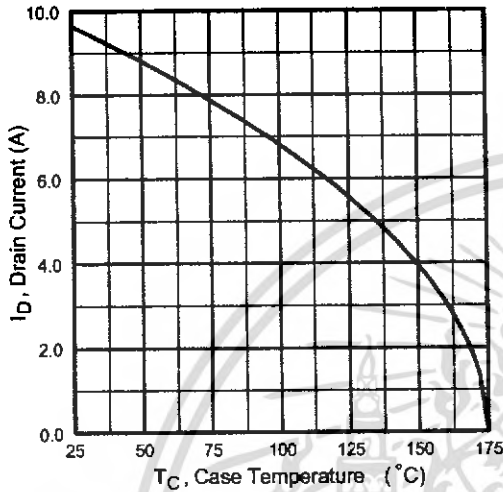


Fig 9. Maximum Drain Current Vs. Case Temperature

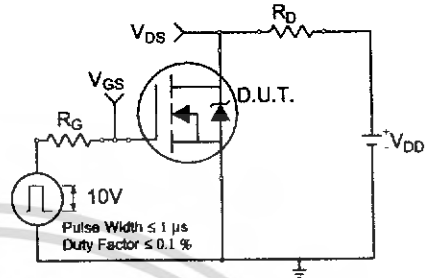


Fig 10a. Switching Time Test Circuit

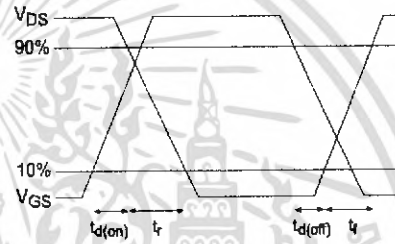


Fig 10b. Switching Time Waveforms

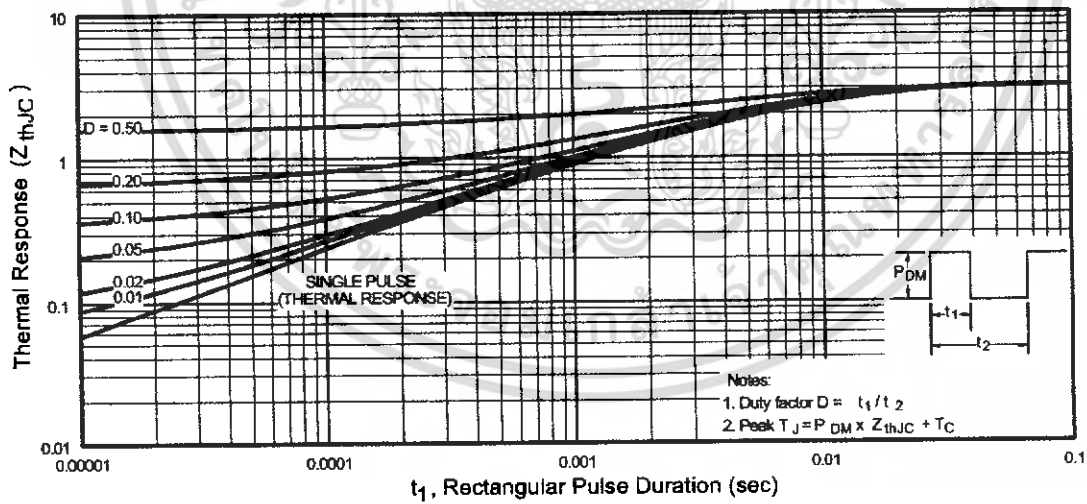


Fig 11. Maximum Effective Transient Thermal Impedance, Junction-to-Case

เอกสารนี้เป็นเอกสารที่สงวนไว้สำหรับการใช้งานเพื่อการศึกษาเท่านั้น ไม่อนุญาตให้นำไปใช้ประโยชน์ด้านการค้า ไม่ว่ากรณีใดๆ ทั้งสิ้น อีกทั้งห้ามมิให้คัดแปลงเนื้อหา และต้องอ้างอิงถึงเจ้าของเอกสารทุกครั้งที่มีการนำไปใช้

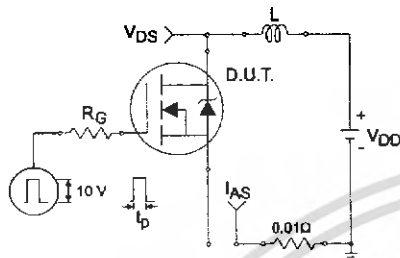


Fig 12a. Unclamped Inductive Test Circuit

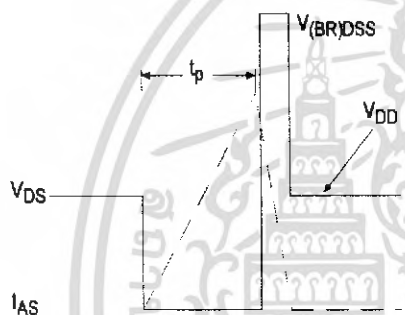


Fig 12b. Unclamped Inductive Waveforms

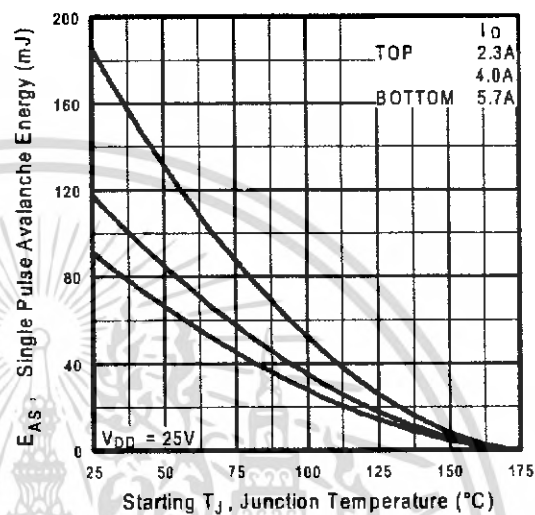


Fig 12c. Maximum Avalanche Energy Vs. Drain Current

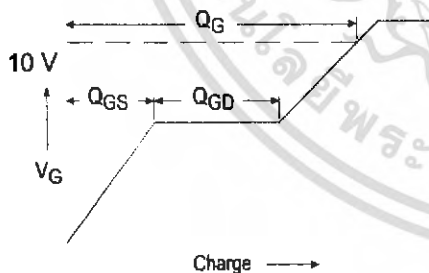


Fig 13a. Basic Gate Charge Waveform

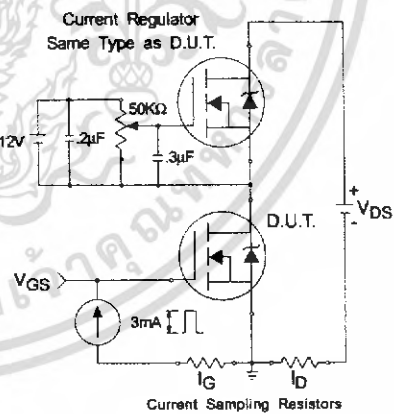


Fig 13b. Gate Charge Test Circuit

เอกสารนี้เป็นเอกสารที่สงวนไว้สำหรับการใช้งานเพื่อการศึกษาเท่านั้น ไม่อนุญาตให้นำไปใช้ประโยชน์ด้านการค้า ไม่ว่าจะกรณีใดๆ ทั้งสิ้น อีกทั้งห้ามมิให้ตัดแปลงเนื้อหา และต้องอ้างอิงถึงเจ้าของเอกสารทุกครั้งที่มีการนำไปใช้

Peak Diode Recovery dv/dt Test Circuit

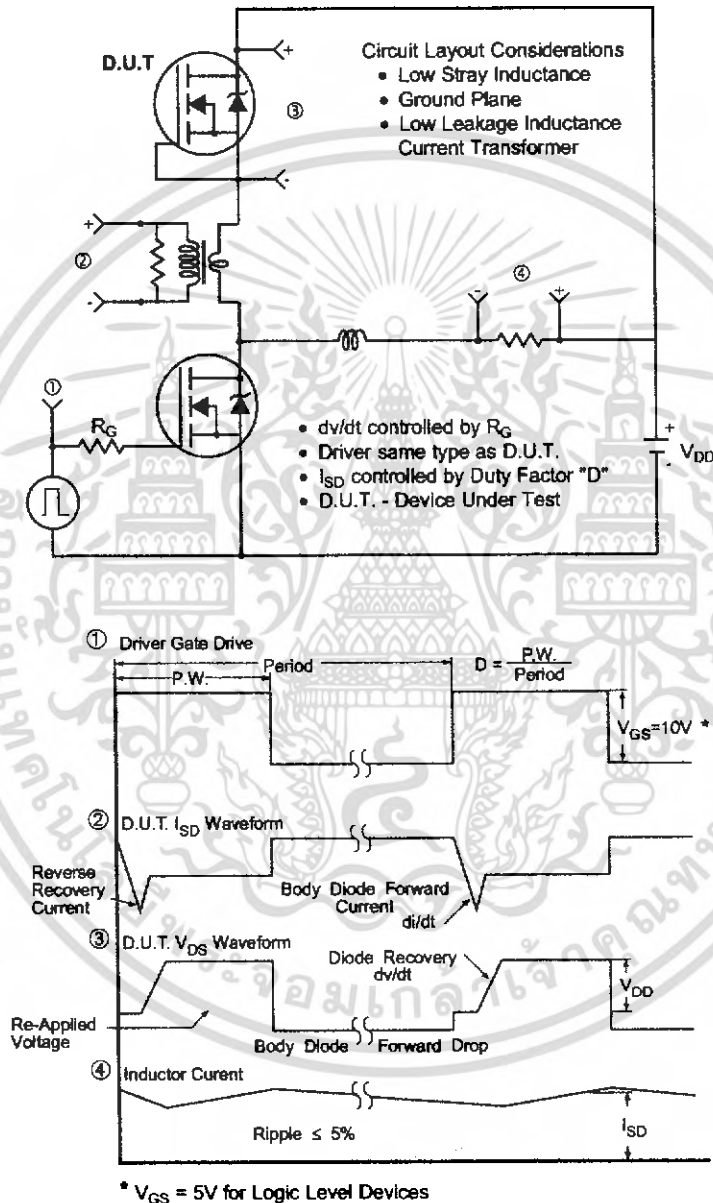


Fig 14. For N-Channel HEXFETS

เอกสารนี้เป็นเอกสารที่สงวนไว้สำหรับการใช้งานเพื่อการศึกษาเท่านั้น ไม่อนุญาตให้นำไปใช้ประโยชน์ด้านการค้า
 ไม่ว่ากรณีใดๆ ทั้งสิ้น อีกทั้งห้ามมิให้ตัดแปลงเนื้อหา และต้องอ้างอิงถึงเจ้าของเอกสารทุกครั้งที่มีการนำไปใช้

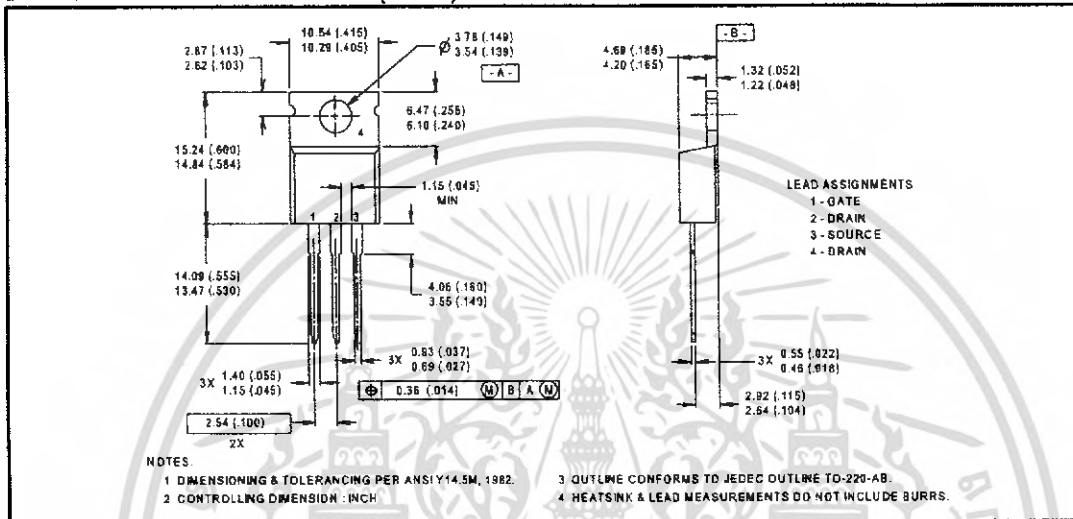
IRF520N

International
IR Rectifier

Package Outline

TO-220AB Outline

Dimensions are shown in millimeters (inches)



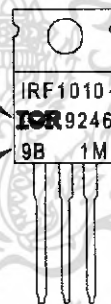
Part Marking Information

TO-220AB

EXAMPLE: THIS IS AN IRF1010
WITH ASSEMBLY
LOT CODE 9B1M

INTERNATIONAL
RECTIFIER
LOGO

ASSEMBLY
LOT CODE



PART NUMBER

DATE CODE
(YYWW)
YY = YEAR
WW = WEEK

International
IR Rectifier

WORLD HEADQUARTERS: 233 Kansas St., El Segundo, California 90245, Tel: (310) 322 3331

EUROPEAN HEADQUARTERS: Hurst Green, Oxted, Surrey RH8 9BB, UK Tel: ++ 44 1883 732020

IR CANADA: 7321 Victoria Park Ave., Suite 201, Markham, Ontario L3R 2Z8, Tel: (905) 475 1897

IR GERMANY: Saalburgstrasse 157, 61350 Bad Homburg Tel: ++ 49 6172 96590

IR ITALY: Via Liguria 49, 10071 Borgaro, Torino Tel: ++ 39 11 451 0111

IR FAR EAST: K&H Bldg., 2F, 30-4 Nishi-Ikebukuro 3-Chome, Toshima-Ku, Tokyo Japan 171 Tel: 81 3 3983 0086

IR SOUTHEAST ASIA: 315 Outram Road, #10-02 Tan Boon Liat Building, Singapore 0316 Tel: 65 221 8371

<http://www.irf.com/> Data and specifications subject to change without notice. 5/98

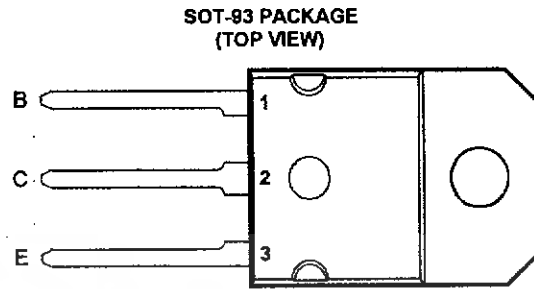
เอกสารนี้เป็นเอกสารที่สงวนไว้สำหรับการใช้งานเพื่อการศึกษาเท่านั้น ไม่อนุญาตให้นำไปใช้ประโยชน์ด้านการค้า
ไม่ว่ากรณีใดๆ ทั้งสิ้น อีกทั้งห้ามมิให้คัดแปลงเนื้อหา และต้องอ้างอิงถึงเจ้าของเอกสารทุกครั้งที่มีการนำไปใช้

TIP2955 PNP SILICON POWER TRANSISTOR

Copyright © 1997, Power Innovations Limited, UK

JANUARY 1972 - REVISED MARCH 1997

- Designed for Complementary Use with the TIP3055 Series
- 90 W at 25°C Case Temperature
- 15 A Continuous Collector Current
- Customer-Specified Selections Available



Pin 2 is in electrical contact with the mounting base.

MDTRAA

absolute maximum ratings at 25°C case temperature (unless otherwise noted)

RATING	SYMBOL	VALUE	UNIT
Collector-base voltage ($I_E = 0$)	V_{CBO}	-100	V
Collector-emitter voltage ($I_B = 0$) (see Note 1)	V_{CER}	-70	V
Emitter-base voltage	V_{EBO}	-7	V
Continuous collector current	I_C	-15	A
Continuous base current	I_B	-7	A
Continuous device dissipation at (or below) 25°C case temperature (see Note 2)	P_{tot}	90	W
Continuous device dissipation at (or below) 25°C free air temperature (see Note 3)	P_{tot}	3.5	W
Undamped inductive load energy (see Note 4)	$\frac{1}{2}LI_C^2$	62.5	mJ
Operating junction temperature range	T_j	-65 to +150	°C
Storage temperature range	T_{stg}	-65 to +150	°C
Lead temperature 3.2 mm from case for 10 seconds	T_L	260	°C

- NOTES: 1. This value applies when the base-emitter resistance $R_{BE} = 100 \Omega$.
 2. Derate linearly to 150°C case temperature at the rate of 0.72 W/°C.
 3. Derate linearly to 150°C free air temperature at the rate of 28 mW/°C.
 4. This rating is based on the capability of the transistor to operate safely in a circuit of: $L = 20 \text{ mH}$, $I_{B(on)} = -0.4 \text{ A}$, $R_{BE} = 100 \Omega$, $V_{BE(on)} = 0$, $R_S = 0.1 \Omega$, $V_{CC} = -10 \text{ V}$.

PRODUCT INFORMATION

Information is current as of publication date. Products conform to specifications in accordance with the terms of Power Innovations standard warranty. Production processing does not necessarily include testing of all parameters.

Power
INNOVATIONS

ไม่वारณมีใตฯ ทั้งลัน อึกทั้งหามมีใตฯดแปลงเนือหา และดองอั่งอิงถึงเจ้าของเอกสารทุกครั้งที่มีกรนำไปใฯ 1

TIP2955

PNP SILICON POWER TRANSISTOR

JANUARY 1972 - REVISED MARCH 1997

electrical characteristics at 25°C case temperature

PARAMETER	TEST CONDITIONS	MIN	TYP	MAX	UNIT
$V_{(BR)CEO}$ Collector-emitter breakdown voltage	$I_C = -30 \text{ mA}$ $I_B = 0$ (see Note 5)	-60			V
I_{CEO} Collector cut-off current	$V_{CE} = -30 \text{ V}$ $I_B = 0$			-0.7	mA
I_{CEV} Voltage between base and emitter	$V_{CE} = -100 \text{ V}$ $V_{BE} = 1.5 \text{ V}$			-5	mA
I_{EBO} Emitter cut-off current	$V_{EB} = -7 \text{ V}$ $I_C = 0$			-5	mA
h_{FE} Forward current transfer ratio	$V_{CE} = -4 \text{ V}$ $V_{CE} = -4 \text{ V}$ $I_C = -4 \text{ A}$ $I_C = -10 \text{ A}$ (see Notes 5 and 6)	20 5		70	
$V_{CE(sat)}$ Collector-emitter saturation voltage	$I_B = -0.4 \text{ A}$ $I_B = -3.3 \text{ A}$ $I_C = -4 \text{ A}$ $I_C = -10 \text{ A}$ (see Notes 5 and 6)			-1.1 -3	V
V_{BE} Base-emitter voltage	$V_{CE} = -4 \text{ V}$ $I_C = -4 \text{ A}$ (see Notes 5 and 6)			-1.8	V
h_{fe} Small signal forward current transfer ratio	$V_{CE} = -10 \text{ V}$ $I_C = -0.5 \text{ A}$ $f = 1 \text{ kHz}$	20			
$ h_{fe} $ Small signal forward current transfer ratio	$V_{CE} = -10 \text{ V}$ $I_C = -0.5 \text{ A}$ $f = 1 \text{ MHz}$	3			

NOTES: 5. These parameters must be measured using pulse techniques, $t_p = 300 \mu\text{s}$, duty cycle $\leq 2\%$.

6. These parameters must be measured using voltage-sensing contacts, separate from the current carrying contacts.

thermal characteristics

PARAMETER	MIN	TYP	MAX	UNIT
$R_{\theta JC}$ Junction to case thermal resistance			1.39	°C/W
$R_{\theta JA}$ Junction to free air thermal resistance			35.7	°C/W

resistive-load-switching characteristics at 25°C case temperature

PARAMETER	TEST CONDITIONS †	MIN	TYP	MAX	UNIT
t_{on} Turn-on time	$I_C = -6 \text{ A}$ $I_{B(on)} = -0.6 \text{ A}$ $I_{B(off)} = 0.6 \text{ A}$		0.4		μs
t_{off} Turn-off time	$V_{BE(off)} = 4 \text{ V}$ $R_L = 5 \Omega$ $t_p = 20 \mu\text{s}$, dc $\leq 2\%$		0.7		μs

† Voltage and current values shown are nominal; exact values vary slightly with transistor parameters.

PRODUCT INFORMATION

เอกสารนี้เป็นเอกสารที่สงวนไว้สำหรับการใช้งานเพื่อการศึกษาเท่านั้น ไม่อนุญาตให้นำไปใช้ประโยชน์ด้านการค้า
ไม่ว่ากรณีใดๆ ทั้งสิ้น อีกทั้งห้ามมิให้คัดแปลงเนื้อหา และต้องอ้างอิงถึงเจ้าของเอกสารทุกครั้งที่มีการนำไปใช้

TYPICAL CHARACTERISTICS

TYPICAL DC CURRENT GAIN
vs
COLLECTOR CURRENT

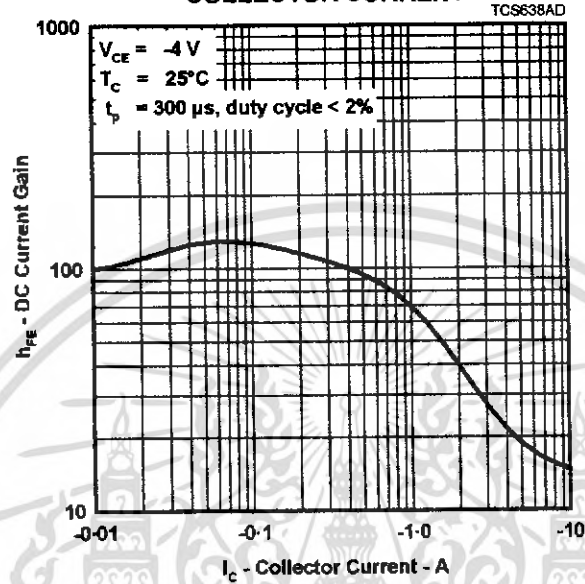


Figure 1.

MAXIMUM SAFE OPERATING REGIONS

MAXIMUM FORWARD-BIAS
SAFE OPERATING AREA

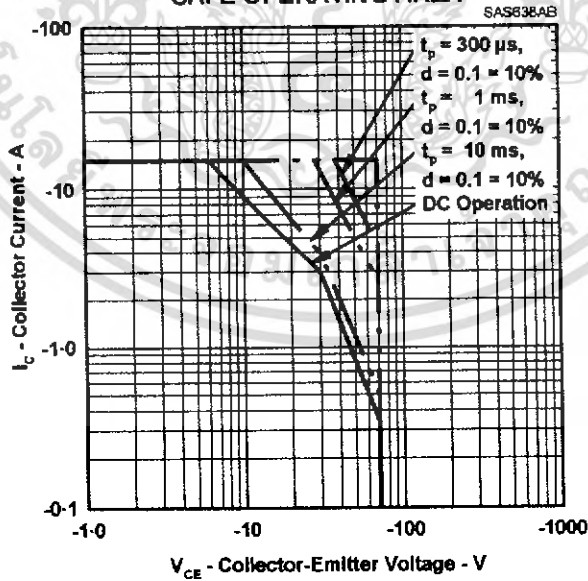


Figure 2.

PRODUCT INFORMATION

เอกสารนี้เป็นเอกสารที่สงวนไว้สำหรับการใช้งานเพื่อการศึกษาเท่านั้น ไม่อนุญาตให้นำไปใช้ประโยชน์ด้านการค้า
ไม่ว่ากรณีใดๆ ทั้งสิ้น อีกทั้งห้ามมิให้คัดแปลงเนื้อหา และต้องอ้างอิงถึงเจ้าของเอกสารทุกครั้งที่มีการนำไปใช้

TIP2955 PNP SILICON POWER TRANSISTOR

JANUARY 1972 - REVISED MARCH 1987

THERMAL INFORMATION

MAXIMUM POWER DISSIPATION vs CASE TEMPERATURE

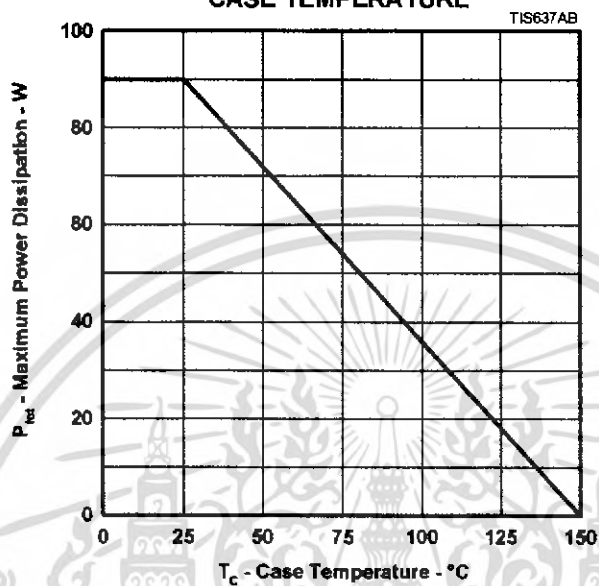


Figure 3.

PRODUCT INFORMATION

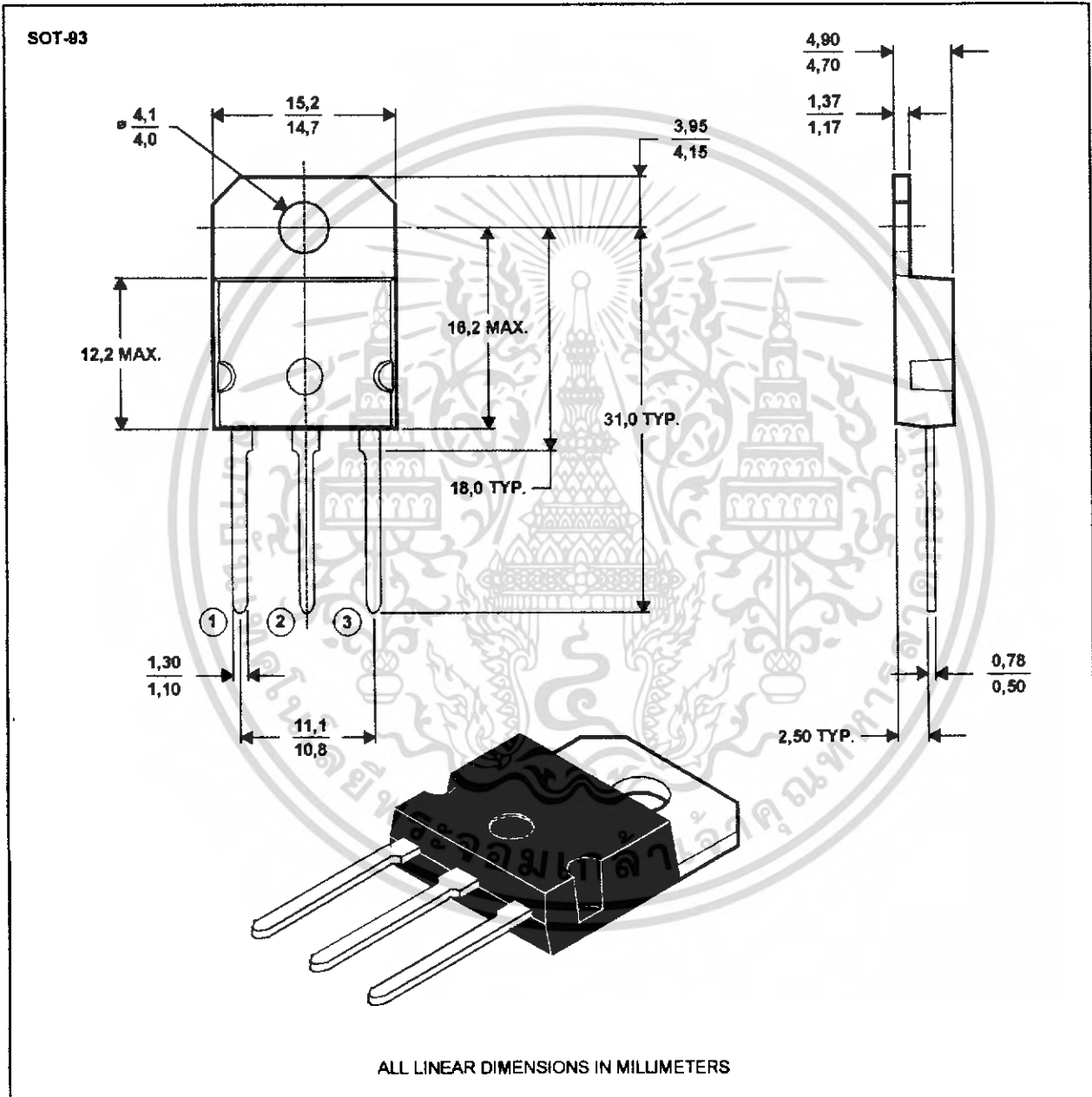
เอกสารนี้เป็นเอกสารที่สงวนไว้สำหรับการใช้งานเพื่อการศึกษาเท่านั้น ไม่อนุญาตให้นำไปใช้ประโยชน์ด้านการค้า
ไม่ว่ากรณีใดๆ ทั้งสิ้น อีกทั้งห้ามมิให้คัดแปลงเนื้อหา และต้องอ้างอิงถึงเจ้าของเอกสารทุกครั้งที่มีการนำไปใช้

MECHANICAL DATA

SOT-93

3-pin plastic flange-mount package

This single-in-line package consists of a circuit mounted on a lead frame and encapsulated within a plastic compound. The compound will withstand soldering temperature with no deformation, and circuit performance characteristics will remain stable when operated in high humidity conditions. Leads require no additional cleaning or processing when used in soldered assembly.



NOTE A: The centre pin is in electrical contact with the mounting tab.

MDXXAW

PRODUCT INFORMATION



เอกสารนี้เป็นเอกสารที่สงวนไว้สำหรับการใช้งานเพื่อการศึกษาเท่านั้น ไม่อนุญาตให้นำไปใช้ประโยชน์ทางการค้า
ไม่ว่ากรณีใดๆ ทั้งสิ้น อีกทั้งห้ามมิให้คัดแปลงเนื้อหา และต้องอ้างอิงถึงเจ้าของเอกสารทุกครั้งที่มีการนำไปใช้ 5

TIP2955 PNP SILICON POWER TRANSISTOR

JANUARY 1972 - REVISED MARCH 1997

IMPORTANT NOTICE

Power Innovations Limited (PI) reserves the right to make changes to its products or to discontinue any semiconductor product or service without notice, and advises its customers to verify, before placing orders, that the information being relied on is current.

PI warrants performance of its semiconductor products to the specifications applicable at the time of sale in accordance with PI's standard warranty. Testing and other quality control techniques are utilized to the extent PI deems necessary to support this warranty. Specific testing of all parameters of each device is not necessarily performed, except as mandated by government requirements.

PI accepts no liability for applications assistance, customer product design, software performance, or infringement of patents or services described herein. Nor is any license, either express or implied, granted under any patent right, copyright, design right, or other intellectual property right of PI covering or relating to any combination, machine, or process in which such semiconductor products or services might be or are used.

PI SEMICONDUCTOR PRODUCTS ARE NOT DESIGNED, INTENDED, AUTHORIZED, OR WARRANTED TO BE SUITABLE FOR USE IN LIFE-SUPPORT APPLICATIONS, DEVICES OR SYSTEMS.

Copyright © 1997, Power Innovations Limited

PRODUCT INFORMATION

เอกสารนี้เป็นเอกสารที่สงวนไว้สำหรับการใช้งานเพื่อการศึกษาเท่านั้น ไม่อนุญาตให้นำไปใช้ประโยชน์ด้านการค้า
ไม่ว่ากรณีใดๆ ทั้งสิ้น อีกทั้งห้ามมิให้คัดแปลงเนื้อหา และต้องอ้างอิงถึงเจ้าของเอกสารทุกครั้งที่มีการนำไปใช้

BC546/547/548/549/550

Switching and Applications

- High Voltage: BC546, $V_{CE0}=65V$
- Low Noise: BC549, BC550
- Complement to BC556 ... BC560



TO-92
1. Collector 2. Base 3. Emitter

NPN Epitaxial Silicon Transistor

Absolute Maximum Ratings $T_a=25^\circ C$ unless otherwise noted

Symbol	Parameter	Value	Units
V_{CBO}	Collector-Base Voltage : BC546	80	V
	: BC547/550	50	V
	: BC548/549	30	V
V_{CEO}	Collector-Emitter Voltage : BC546	65	V
	: BC547/550	45	V
	: BC548/549	30	V
V_{EBO}	Emitter-Base Voltage : BC546/547	6	V
	: BC548/549/550	5	V
I_C	Collector Current (DC)	100	mA
P_C	Collector Power Dissipation	500	mW
T_J	Junction Temperature	150	$^\circ C$
T_{STG}	Storage Temperature	-65 ~ 150	$^\circ C$

Electrical Characteristics $T_a=25^\circ C$ unless otherwise noted

Symbol	Parameter	Test Condition	Min.	Typ.	Max.	Units
I_{CBO}	Collector Cut-off Current	$V_{CB}=30V, I_E=0$			15	nA
h_{FE}	DC Current Gain	$V_{CE}=5V, I_C=2mA$	110		800	
$V_{CE(sat)}$	Collector-Emitter Saturation Voltage	$I_C=10mA, I_B=0.5mA$		90	250	mV
		$I_C=100mA, I_B=5mA$		200	600	mV
$V_{BE(sat)}$	Base-Emitter Saturation Voltage	$I_C=10mA, I_B=0.5mA$		700		mV
		$I_C=100mA, I_B=5mA$		900		mV
$V_{BE(on)}$	Base-Emitter On Voltage	$V_{CE}=5V, I_C=2mA$	580	660	700	mV
		$V_{CE}=5V, I_C=10mA$			720	mV
f_T	Current Gain Bandwidth Product	$V_{CE}=5V, I_C=10mA, f=100MHz$		300		MHz
C_{ob}	Output Capacitance	$V_{CB}=10V, I_E=0, f=1MHz$		3.5	6	pF
C_{ib}	Input Capacitance	$V_{EB}=0.5V, I_C=0, f=1MHz$		9		pF
NF	Noise Figure : BC546/547/548 : BC549/550 : BC549 : BC550	$V_{CE}=5V, I_C=200\mu A$		2	10	dB
		$f=1KHz, R_G=2K\Omega$		1.2	4	dB
		$V_{CE}=5V, I_C=200\mu A$		1.4	4	dB
		$R_G=2K\Omega, f=30\sim 15000MHz$		1.4	3	dB

h_{FE} Classification

Classification	A	B	C
h_{FE}	110 ~ 220	200 ~ 450	420 ~ 800

Typical Characteristics

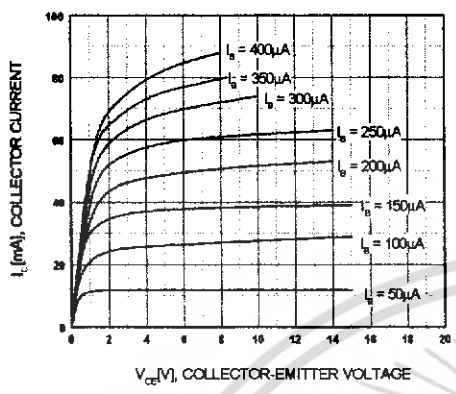


Figure 1. Static Characteristic

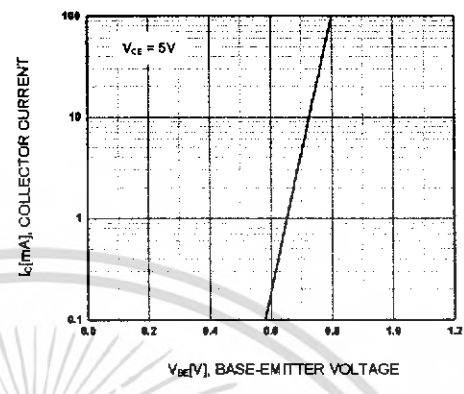


Figure 2. Transfer Characteristic

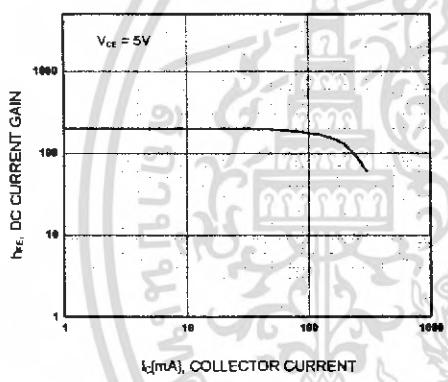


Figure 3. DC current Gain

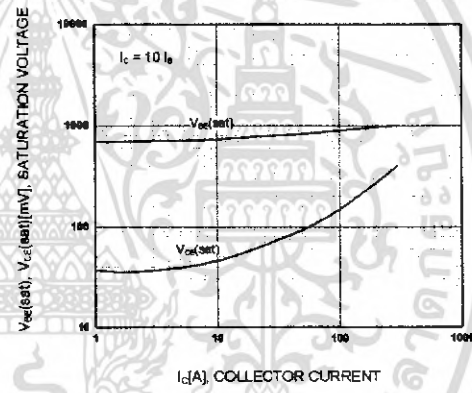


Figure 4. Base-Emitter Saturation Voltage
Collector-Emitter Saturation Voltage

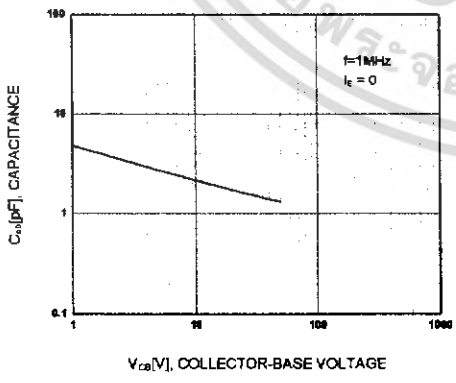


Figure 5. Output Capacitance

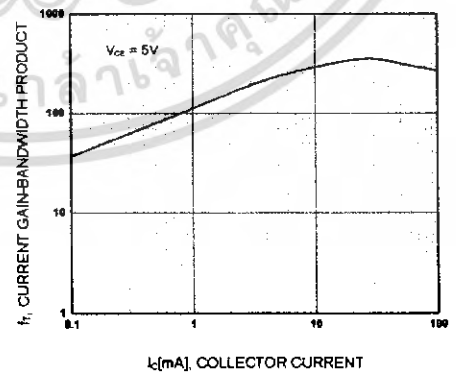


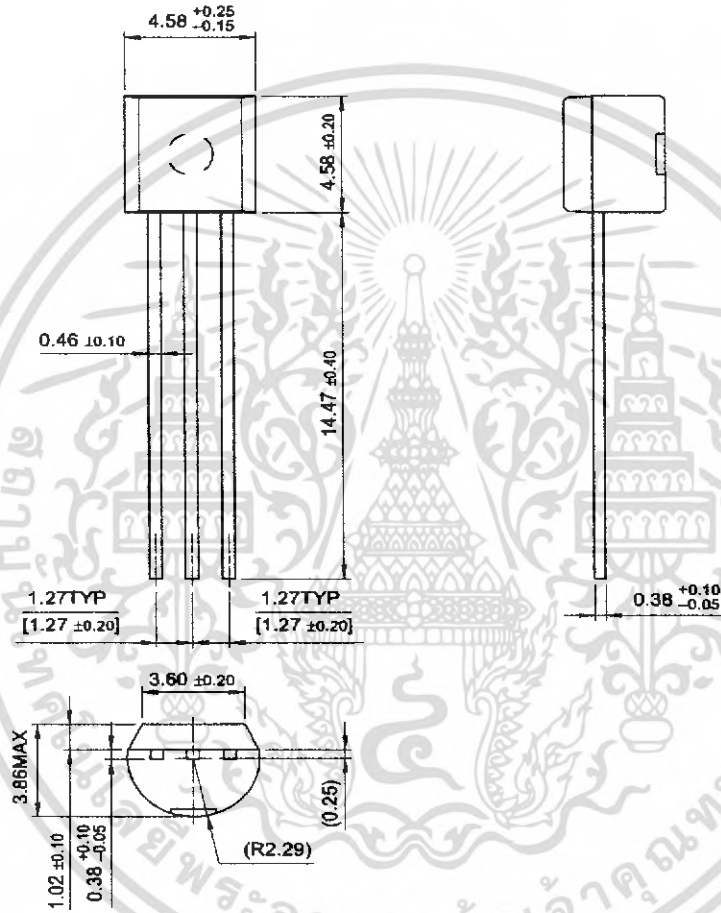
Figure 6. Current Gain Bandwidth Product

เอกสารนี้เป็นเอกสารที่สงวนไว้สำหรับการใช้งานเพื่อการศึกษาเท่านั้น ไม่อนุญาตให้นำไปใช้ประโยชน์ด้านการค้า ไม่ว่ากรณีใดๆ ทั้งสิ้น อีกทั้งห้ามมิให้คัดแปลงเนื้อหา และต้องอ้างอิงถึงเจ้าของเอกสารทุกครั้งที่มีการนำไปใช้

Package Dimensions

TO-92

BC546/547/548/549/550



Dimensions in Millimeters

เอกสารนี้เป็นเอกสารที่สงวนไว้สำหรับการใช้งานเพื่อการศึกษาเท่านั้น ไม่อนุญาตให้นำไปใช้ประโยชน์ด้านการค้า
ไม่ว่ากรณีใดๆ ทั้งสิ้น อีกทั้งห้ามมิให้คัดลอกเนื้อหา และต้องอ้างอิงถึงเจ้าของเอกสารทุกครั้งที่มีการนำไปใช้

TRADEMARKS

The following are registered and unregistered trademarks Fairchild Semiconductor owns or is authorized to use and is not intended to be an exhaustive list of all such trademarks.

ACE [™]	FACT [™]	ImpliedDisconnect [™]	PACMAN [™]	SPM [™]
ActiveArray [™]	FACT Quiet series [™]	ISOPLANAR [™]	POP [™]	Stealth [™]
Bottomless [™]	FAST [®]	LittleFET [™]	Power247 [™]	SuperSOT [™] -3
CoolFET [™]	FAST [™]	MicroFET [™]	PowerTrench [®]	SuperSOT [™] -6
CROSSVOLT [™]	FRFET [™]	MicroPak [™]	QFET [™]	SuperSOT [™] -8
DOVE [™]	GlobalOptoisolator [™]	MICROWIRE [™]	QS [™]	SyncFET [™]
EcoSPARK [™]	GTO [™]	MSX [™]	QT Optoelectronics [™]	TinyLogic [™]
E ² CMOS [™]	HiSeC [™]	MSXPro [™]	Quiet Series [™]	TruTranslation [™]
EnSigna [™]	i ² C [™]	OCX [™]	RapidConfigure [™]	UHC [™]
Across the board. Around the world. [™]		OCXPro [™]	RapidConnect [™]	UltraFET [®]
The Power Franchise [™]		OPTOLOGIC [®]	SILENT SWITCHER [®]	VCX [™]
Programmable Active Droop [™]		OPTOPLANAR [™]	SMART START [™]	

DISCLAIMER

FAIRCHILD SEMICONDUCTOR RESERVES THE RIGHT TO MAKE CHANGES WITHOUT FURTHER NOTICE TO ANY PRODUCTS HEREIN TO IMPROVE RELIABILITY, FUNCTION OR DESIGN. FAIRCHILD DOES NOT ASSUME ANY LIABILITY ARISING OUT OF THE APPLICATION OR USE OF ANY PRODUCT OR CIRCUIT DESCRIBED HEREIN; NEITHER DOES IT CONVEY ANY LICENSE UNDER ITS PATENT RIGHTS, NOR THE RIGHTS OF OTHERS.

LIFE SUPPORT POLICY

FAIRCHILD'S PRODUCTS ARE NOT AUTHORIZED FOR USE AS CRITICAL COMPONENTS IN LIFE SUPPORT DEVICES OR SYSTEMS WITHOUT THE EXPRESS WRITTEN APPROVAL OF FAIRCHILD SEMICONDUCTOR CORPORATION.

As used herein:

1. Life support devices or systems are devices or systems which, (a) are intended for surgical implant into the body, or (b) support or sustain life, or (c) whose failure to perform when properly used in accordance with instructions for use provided in the labeling, can be reasonably expected to result in significant injury to the user.
2. A critical component is any component of a life support device or system whose failure to perform can be reasonably expected to cause the failure of the life support device or system, or to affect its safety or effectiveness.

PRODUCT STATUS DEFINITIONS

Definition of Terms

Datasheet Identification	Product Status	Definition
Advance Information	Formative or In Design	This datasheet contains the design specifications for product development. Specifications may change in any manner without notice.
Preliminary	First Production	This datasheet contains preliminary data, and supplementary data will be published at a later date. Fairchild Semiconductor reserves the right to make changes at any time without notice in order to improve design.
No Identification Needed	Full Production	This datasheet contains final specifications. Fairchild Semiconductor reserves the right to make changes at any time without notice in order to improve design.
Obsolete	Not in Production	This datasheet contains specifications on a product that has been discontinued by Fairchild semiconductor. The datasheet is printed for reference information only.

เอกสารนี้เป็นเอกสารที่สงวนไว้สำหรับการใช้งานเพื่อการศึกษาเท่านั้น ไม่อนุญาตให้นำไปใช้ประโยชน์ด้านการค้า
ไม่ว่ากรณีใดๆ ทั้งสิ้น อีกทั้งห้ามมิให้คัดแปลงเนื้อหา และต้องอ้างอิงถึงเจ้าของเอกสารทุกครั้งที่มีการนำไปใช้

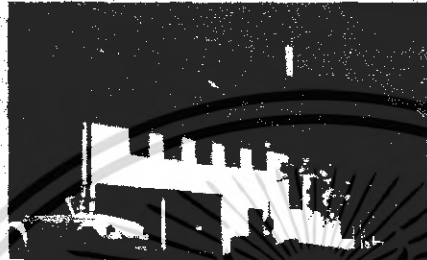
SHARP

..... be sharp

NE80E2E

80 W

Photovoltaic module polycrystalline

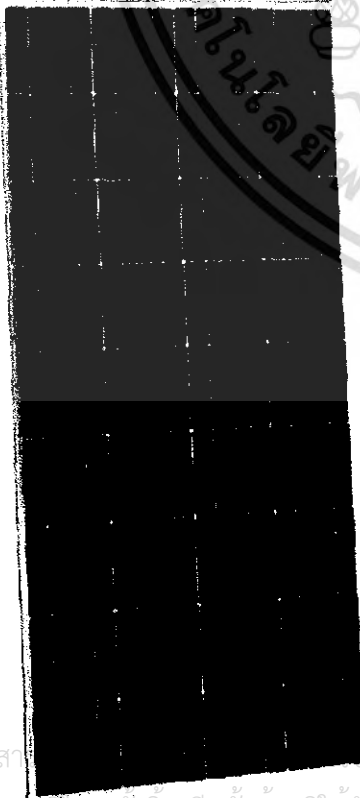


POLYCRYSTALLINE SILICON PHOTOVOLTAIC MODULE WITH 80 W MAXIMUM POWER

Sharp's NE80E2E photovoltaic module is designed for large electrical power requirements. Based on the technology of crystal silicon solar cells cultivated for over 40 years, this module has superb durability to withstand rigorous operating conditions and is suitable for grid connected systems.

Features

- High-power module (80 W) using 125.5 mm square polycrystalline silicon solar cells with 12.6 % module conversion efficiency
- Photovoltaic module with bypass diode minimises the power drop caused by shade. Anti reflection coating and BSF (Back Surface Field) structure to improve cell conversion efficiency: 14.0 %
- Using white tempered glass, EVA resin, and a weather-proof film along with an aluminium frame for extended outdoor use
- DC 12 V system
- Output terminal: Lead wire with waterproof connector



เอกสารนี้จัดทำขึ้นเพื่อการใช้งานเพื่อการศึกษาเท่านั้น ไม่อนุญาตให้นำไปใช้ประโยชน์ด้านการค้า
ไม่ว่ากรณีใดๆ ทั้งสิ้น อีกทั้งห้ามมิให้คัดแปลงเนื้อหา และต้องอ้างอิงถึงเจ้าของเอกสารทุกครั้งที่มีการนำไปใช้

Specifications NE80E2E

Cell	Polycrystalline silicon solar cells, 125.5 mm square
No. of cells and connections	36 in series
Application	DC 12 V system
Maximum system voltage	DC 540 V
Series fuse rating	10 A
Nominal power	80 W
Dimensions	1,200 x 530 x 35 mm
Weight	8.5 kg
Type of output terminal	Lead wire with connector

Absolute maximum ratings

Parameters	Rating	Unit
Operating temperature	-40 to +90	°C
Storage temperature	-40 to +90	°C

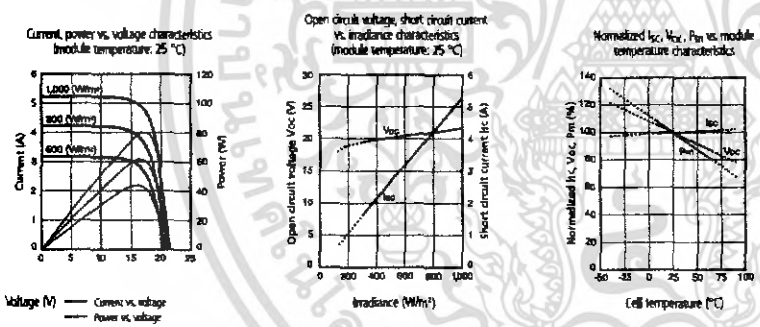
Temperature coefficients

α_{Pm}	-0.485% / °C
α_{Isc}	+0.053% / °C
α_{Voc}	-78.1 mV / °C

Electro-optical characteristics

Parameters	Symbol	Min.	Typ.	Unit	Conditions
Open circuit voltage	V_{oc}	-	21.3	V	Standard test conditions (STC)
Maximum power voltage	V_{pm}	-	17.1	V	
Short circuit current	I_{sc}	-	5.31	A	Irradiance: 1,000 W/m ²
Maximum power current	I_{pm}	-	4.67	A	
Maximum power	P_m	76.0	80.0	W	AM 1.5
Encapsulated solar cell efficiency	η_c	-	14.0	%	Module temperature: 25 °C
Module efficiency	η_m	-	12.6	%	

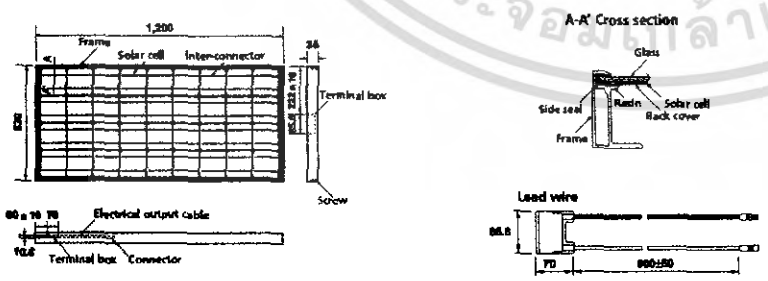
Characteristics



Applications

- Grid connected residential systems
- Office buildings
- Solar power stations
- Solar villages
- Villas, mountain cottages
- Pumps
- Lighting equipment
- Traffic signs
- Radio relay stations
- Beacons
- Telemeter systems
- Telecommunication systems

Outline dimensions



In the absence of confirmation by specification sheets, Sharp takes no responsibility for any defects that may occur in equipment using any Sharp products shown in catalogs, data books, etc. Contact Sharp in order to obtain the latest specification sheets before using any Sharp products.

Specifications are subject to change without notice.

SHARP

Central & Eastern Europe
 Tel: +43-(0)1-72 71 90 · Fax: +43-(0)1-72 71 91 41
 www.sharp-cee.com

France
 Tel: +33-(0)1-49 90 34 00 · Fax: +33-(0)1-48 63 26 21
 www.sharp.fr

Germany & Austria
 Tel: +49-(0)40-2 37 60 · Fax: +49-(0)40-23 76 21 93
 www.sharp.de/solar

Italy
 Tel: +39-02-89 59 51 · Fax: +39-02-89 53 08 95
 www.sharp.it

Spain & Portugal
 Tel: +34-(0)93-5 81 97 00 · Fax: +34-(0)93-6 75 46 11
 www.sharp.es

Nordic countries
 Tel: +46-(0)8-6 34 36 00 · Fax: +46-(0)8-6 34 36 10
 www.sharp.se

Switzerland
 Tel: +41-(0)1-8 46 61 11 · Fax: +41-(0)1-8 46 62 25
 www.sharp.ch

Benelux
 Tel: +31-(0)30-6 35 95 00 · Fax: +31-(0)30-6 35 95 95
 www.sharp.nl | www.sharp.be

United Kingdom
 Tel: +44-(0)1 61-2 05 23 33 · Fax: +44-(0)161-2 05 70 76
 www.sharp.co.uk/solar